



وزارة التعليم العالي والبحث العلمي

جامعة القادسية/كلية التربية

قسم علوم الحياة

تأثير الحديد والزنك النانوي وطريقة إضافتهما والسماذ العضوي
في النمو وإنتاج المواد الفعالة وبعض الخواص التشريحية لنبات
الديباج *Calotropis procera* (Ait.) R.Br

اطروحة مُقدّمة إلى عمادة كلية التربية/جامعة القادسية

وهي جزء من متطلبات نيل شهادة الدكتوراه فلسفة

في علوم الحياة/علم النبات

تقدمت بها

سعدية مهدي كاظم الجوزري

بإشراف

أ.د. عبد الأمير علي ياسين

2017م

1439هـ

بِسْمِ اللَّهِ الرَّحْمَنِ الرَّحِيمِ

﴿ مُتَكِينًا عَلَى فُرُشٍ بَطَائِنُهَا مِنْ

إِسْتَبْرَقٍ وَجَنَى الْجَنَّتَيْنِ دَانٍ ﴾

صدق الله العلي العظيم

سورة الرحمن آية (54)

الإهداء

إلى من بَلَغَ الرسالة وأدى الأمانة ونصح الأمة .. إلى نبي الرحمة ونور العالمين وسرة العلياء سادة البطحاء .. النبي المختار وآله الأطهار.

إلى من كَلَّمَهُ اللهُ بالهيبة والوقار.. والذي

إلى من كَانَ دُعَاؤُهَا سرّاً نجاحي وحنانها بلسم جراحِي.. والذي

إلى الرجل الذي تحملني وتحمل متاعب انجاز بحثي بصدرٍ واسعٍ وصبر

جميل زوجي الكريم

إلى عيوني التي ارى من خلالها العالم وروعته.... أولادي

أهديهم ثمرةً جُهدِي هذا خالصاً لله عزَّ وجل



سعدية

شُكْرٌ وَتَقْدِيرٌ

الحمدُ لله ذي المن والفضل والإحسان، حمداً يليق بجلاله وعظمته. وصلِّ اللهم على سيد العالمين وخاتم الرسل أجمعين محمد وآله الغر الميامين صلاةً تقضي لنا بها الحاجات، وترفعنا بها أعلى الدرجات وتبلغنا بها أقصى الغايات من جميع الخيرات، في الحياة وبعد الممات.

فالشكر لله عز وجلّ أولاً وأخراً، على حسن توفيقه، وكريم عونه وعلى ما منَّ به عليّ من صحةٍ وصبرٍ وسلامةٍ طويلةٍ مدة البحث وإعانتني على إنجاز رسالتي.

كما أتوجّه بالشكر والعرفان إلى رئاسة جامعة القادسية وعمادة كلية التربية ورئاسة قسم علوم الحياة لمنحها فرصة إكمال دراستي وإنجاز أطروحتي فضلاً عن تقديم شكري وإمتناني لأساتذة ومنتسبي قسم علوم الحياة وزملائي من طلبة الدراسات العليا لتعاونهم معي في تذليل عقبات الدراسة وإنجاز الرسالة.

كما أدين بعظيم الفضل والعرفان بعد الله سبحانه وتعالى في إنجاز هذا البحث وإخراجه بالصورة المرجوة حتى أصبح ما هو عليه الآن إلى مشرفي الفاضل الأستاذ الدكتور عبد الأمير علي ياسين الذي منحني الكثير من وقته وجهده وما قدمه لي من توجيهاتٍ سديدة ونصائح قيمة طيلة مدة الدراسة والبحث سائلةً العلي القدير أن يوفقه يوماً لخدمة العلم وطلّابه.

كما يسرني أن أقدم شكري وإمتناني وتقديري للدكتورة الفاضلة سهيلة حسين باجي والدكتورة أزهار عبد الأمير سوسة لما قدمته لي من نصائح وارشادات تخص الجانب التشريحي من البحث.

واقدم جزيل شكري وامتناني الى الدكتور حياوي ويوة الجوذري/ رئيس قسم الانتاج النباتي /كلية الزراعة / جامعة القادسية لما قدمه لي من دعم وارشادات طيلة فترة الدراسة. وأخيراً أخلص عباراتي بالشكر والإمتنان لزملائي طلبة الدراسات العليا وإلى كل يدٍ مدت ليّ العون فإستحقت مني شكرها ولم تسعفني الذاكرة على تذكرها .. والله وليّ التوفيق.



سعدية

أقرار لجنة المناقشة

نشهد نحن اعضاء لجنة المناقشة الموقعين في ادناه بأننا اطلعنا على الاطروحة الموسومة بـ (تأثير الحديد والزنك النانوي وطريقة إضافتهما والسماذ العضوي في النمو وإنتاج المواد الفعالة وبعض الخواص التشريحية لنبات الديباج *Calotropis procera (Ait.) R.Br*)، وقد ناقشنا الطالبة (سعدية مهدي كاظم) في محتوياتها وفيما له علاقة بها بتاريخ 2017/12/12 فوجدناها جديرة بالقبول لنيل شهادة الدكتوراه فلسفة في علوم الحياة/علم النبات بتقدير (امتياز).

رئيس اللجنة

التوقيع:

الاسم: أ.د. سعدون عبد الهادي سعدون

اللقب العلمي: استاذ

التاريخ: / / 2017

عضو اللجنة

التوقيع:

الاسم: أ.م.د. كاظم محمد حسون

اللقب العلمي: استاذ مساعد

التاريخ: 2017/12/26

عضو اللجنة

التوقيع:

الاسم: أ.م.د. ظافر عبد الكاظم جميل

اللقب العلمي: استاذ مساعد

التاريخ: 2017/12/26

عضو اللجنة

التوقيع:

الاسم: أ.د. خضير عباس جدوع

اللقب العلمي: استاذ

التاريخ: 2017/12/28

عضو اللجنة

التوقيع:

الاسم: أ.م.د. أزهار عبد الامير سوسة

اللقب العلمي: استاذ مساعد

التاريخ: 2017/12/26

عضو اللجنة (المشرف)

التوقيع:

الاسم: أ.د. عبد الامير علي ياسين

اللقب العلمي: استاذ

التاريخ: / / 2017

مصادقة عمادة كلية التربية / جامعة القادسية

التوقيع:

الاسم: أ.د. خالد جواد العادلي

اللقب العلمي: استاذ

المنصب: عميد كلية التربية

التاريخ: 2017/12/26

إقرار المشرف

أشهد أنّ إعداد الأطروحة الموسومة بـ (تأثير الحديد والزنك النانوي وطريقة إضافتهما والسماذ العضوي في النمو وإنتاج المواد الفعالة وبعض الخواص التشريحية لنبات الديباج *Calotropis procera (Ait.) R.Br*) جرت بإشرافي في قسم علوم الحياة/ كلية التربية/ جامعة القادسية، وهي جزء من متطلبات نيل شهادة الدكتوراه فلسفة في علوم الحياة/ علم النبات.

التوقيع: 

المشرف: د. عبد الأمير علي ياسين

النقب العلمي: أستاذ

العنوان: كلية التربية/ جامعة القادسية

التاريخ: 2017 / 6 / 29

إقرار رئيس لجنة الدراسات العليا

بناءً على التوصيات المقدمة المتوافرة، أرشح هذه الأطروحة للمناقشة.

التوقيع:

الاسم: د. احمد جاسم حسن

النقب العلمي: أستاذ مساعد

التاريخ: 2017 / 7 / 2

إقرار المفهوم اللغوي

أشهد أن الأظروحة الموسومة بـ (تأثير الحديد والزنك النانوي وطريقة إضافتهما والسماح العضوي في النمو وإنتاج المواد الفعالة وبعض الخواص التشريحية لنبات الديباج *Calotropis procera (Ait.) R.Br*) تمت مراجعتها لغوياً وأسلوبياً من قبلي، وأصبحت بذلك مؤهلة للمناقشة على قدر تعلق الأمر بالسلامة اللغوية.

التوقيع:

الاسم: د. عبد الكاظم جبر عبود

اللقب العلمي: مدرس

التاريخ: 2017 / 7 / 23

الخلاصة

ABSTRACT



الخلاصة:

نُفذت تجربة أصص في أحد المشاتل الخاصة التابعة لمدينة القاسم الواقعة عند (خط طول/44.68 وعرض/ 32.30 وارتفاع 20م فوق مستوى سطح البحر) في موسم النمو (2016 – 2017)، لمعرفة تأثير سبعة تراكيز من مخصبات نانو الحديد والزنك المخليبية، وبطريقتي إضافة الرش الورقي شمل التراكيز (0 و 1 و 2 حديد و 1 و 2 زنك و 1 حديد + 1 زنك و 2 حديد + 2 زنك) غم.لتر⁻¹، والإضافة بطريقة الرسمة (0 و 80 حديد و 160 حديد و 80 زنك و 160 زنك و 80 حديد + 80 زنك و 160 حديد + 160 زنك) ملغم.لتر⁻¹، والسماذ العضوي Drin بتركيزين (0.0 و 5.0) مل.لتر⁻¹ في النمو لنبات الديقاج *Calotropis procera* (Ait.) R.Br ومحتواه المعدني والعضوي والمادة الفعالة وبعض الصفات التشريحية.

صُممت التجربة بالقطاعات العشوائية الكاملة Randomized Complete Blocks Design (RCBD) وبثلاثة مُكررات في تنظيم عاملي لثلاثة عوامل (2×2×7). واستُعمل اختبار أقل فرق معنوي (LSD) Least Significant Difference في مقارنة المُتوسّطات عند مُستوى احتمال 0.05.

نفذت المعاملات بعد وصول النبات الى مرحلة 6-10 أوراق حقيقية واعد تنفيذها بعد ثلاثة أشهر. اخذت القياسات بعد شهر من الإضافة الثانية، وشملت الصفات قيد الدراسة مؤشرات النمو الخضري وانتاج المادة الفعالة والمحتوى المعدني والعضوي للأوراق بالإضافة الى بعض الخواص التشريحية، وعندما أشارت المُعاملات إلى تأثير معنوي أظهرت النتائج:

1- استعمال الحديد النانوي بالتركيز ضعف الموصى به سجل أعلى عدد للأوراق والمساحة الورقية وعدد الفروع حيث بلغ معدل تلك الصفات 83.17 ورقة.نبات⁻¹ و 16001.0 سم² و 3.583 فرع. نبات⁻¹، وأعلى محتوى من الحديد 389.60 مايكروغرام.غم⁻¹ والمادة الفعالة Selinen 5.774%. في حين أعطى التركيز الموصى منه أعلى محتوى من النتروجين 1.298% والبروتين 7.401%. ولم تكن تراكيز نانو الحديد معنوية في زيادة النسبة المئوية للزنك.

2- سجل استعمال نانو الزنك بالتركيز الموصى به أعلى ارتفاع للنبات ومعدل النمو النسبي بعد الرشة الأولى ومحتوى الفسفور والزنك والفينولات الكلية والدليل الثغري للبشرة العليا وبلغ متوسط تلك الصفات (122.58 سم و 0.187 سم.سم⁻¹.اسبوع⁻¹ و 0.6108% و 44.26 مايكروغرام.غم⁻¹ و 10.524 ملغم.غم⁻¹ و 12.93) على التتابع، وتفق التركيز ضعف الموصى بأعلى قطر للساق 3.190 سم والوزن الجاف للمجموعتين الخضري 79.87 غم.نبات⁻¹ والجذري 25.58 غم.نبات⁻¹ ومعدل نمو نسبي بعد الرشة الثانية 0.031 سم.سم⁻¹.اسبوع⁻¹ ومحتوى الأوراق من الكاربوهيدرات الكلية 21.00% وأعلى محتوى من المادتين الفعالتين Phytosterols 20.47% و α -tocopherol 4.896% وسمك القشرة 645.4 مايكرومتر وعدد مجاميع ألياف القشرة 171.3 مجموعة.نبات⁻¹ وسمك اللب 6494.0 مايكرومتر والدليل

الثغري للبشرة السفلى 9.27. سجل استعمال نانو الحديد والزنك معا بالتركيز الموصى أعلى محتوى من البوتاسيوم 0.964% والمادة الفعالة الـ Calotropin 12.86% واكبر قطر لوعية الخشب 55.46 مايكرومتر. في حين تفوق استعمالهما معا بالتركيز ضعف الموصى في محتوى الأوراق من الكلوروفيل الكلي 18.809 ملغم.غم¹ والنسبة المئوية للمغنيسيوم 1.388% والمادة الفعالة Amyrin 16.01% مقارنة بالمعاملات المنفردة.

3- أظهر استعمال طريقة الرش الورقي أعلى ارتفاع للنبات وقطر الساق وعدد الأوراق والمساحة الورقية والوزن الجاف للمجموعين الخضري والجذري ومعدل النمو النسبي للرشة الأولى وأعلى محتوى من Sterols و Selinen و Calotropin و أعلى سمك للقشرة وعدد مجاميع ألياف القشرة و أقطار وحدات الخشب والدليل الثغري للبشرة العليا في حين سجل أعلى معدل لعدد فروع النبات ومعدل النمو النسبي للرشة الثانية وأعلى محتوى معدني وعضوي والمادتين الفعالتين Amyrine و α -tocopherol وسمك اللب مع طريقة الرسمدة ولم تكن طريقة الإضافة معنوية في تأثيرها في الكلوروفيل الكلي.

4- أثر استعمال التركيز 5مل.لتر¹ من السماد العضوي معنوياً في الصفات الخضرية جميعها عدا المساحة الورقية، وسجل أعلى محتوى معدني وعضوي والمادة الفعالة عدا α -tocopherol، وأثر معنوياً في الخواص التشريحية لساق النبات عدا سمك القشرة وأثر سلباً على اقطار وحدات الخشب.

5- سبب التداخل بين تراكيز النانو وطريقة الإضافة بالتوليفتين الموصى بها من نانو الزنك 1غم.لتر¹ بطريقة الرش الورقي ونانو الزنك بالتركيز ضعف الموصى به 160ملغم.لتر¹ مع طريقة الرسمدة زيادة في معظم الصفات قيد الدراسة لنبات الدباج.

6- سجّل التداخل بين تراكيز النانو والسماد العضوي أعلى المتوسطات لغالبية الصفات قيد الدراسة في النباتات بالتركيز ضعف الموصى من نانو الزنك واستعمال السماد العضوي 5 مل. لتر¹ ولم يكن معنوياً في محتوى الأوراق من النتروجين والبروتين والمادة الفعالة Sterols.

7- سجّل التداخل بين طريقة الإضافة للمواد النانوية والسماد العضوي أعلى المتوسطات لغالبية الصفات قيد الدراسة في النباتات المعاملة بطريقة الرسمدة واستعمال السماد العضوي 5 مل. لتر¹ ولم يستجب قطر الساق والصفات التشريحية للساق معنوياً لهذا التداخل.

8- أظهر التداخل الثلاثي بين عوامل التجربة تأثيراً معنوياً في معظم الصفات الخضرية لنبات الدباج والمحتوى المعدني والعضوي والمادة الفعالة في الأوراق والخواص التشريحية للساق والدليل الثغري للأوراق وخاصةً مع توليفاته المكوّنة من تراكيز نانو الزنك (الموصى وضعف الموصى) بطريقة الرش الورقي واستعمال 5مل.لتر¹ من السماد العضوي

قائمة المحتويات

الصفحة	الموضوع	الفقرة
أ - ب	الخلاصة	
ج - ز	قائمة المحتويات	
ح - ي	قائمة الجداول	
4-1	المقدمة	1
29-5	استعراض المراجع	2
5	نبات الديباج (الوصف والتصنيف)	1-2
8	الأهمية الطبية لنبات الديباج	2-2
12	الأهمية الاقتصادية لنبات الديباج	3-2
13	تقانة النانو	4-2
13	التعريف بالنانو	1-4-2
14	أهمية المواد النانوية	2-4-2
14	الخصائص المميزة للمواد النانوية	3-4-2
15	تأثير نانو الحديد في النمو والمحتوى المعدني والعضوي للنبات	4-4-2
18	تأثير نانو الزنك في النمو والمحتوى المعدني والعضوي للنبات	5-4-2
20	التغذية الورقية	5-2
22	الرسمدة	6-2
23	تأثير طريقة الإضافة في مؤشرات النمو الخضري للنبات	1-6-2
24	الأسمدة العضوية	7-2
25	تأثير الأسمدة العضوية في النمو والمحتوى المعدني والعضوي للنبات	1-7-2
27	الخواص التشريحية لساق نبات الديباج	8-2
27	تأثير نانو الزنك والسماذ العضوي في الخواص التشريحية	1-8-2
41-29	المواد وطرائق العمل	3
29	إجراء التجربة	1-3
30	تحضير المعاملات	2-3
31	تحضير محاليل مخصبات نانو الحديد والزنك المخليبي	1-2-3

30	تحضير محاليل الرش الورقي	-2-3 1-1
30	تحضير محاليل الرسمة	-2-3 2-1
30	تحضير محاليل السماد العضوي	2-2-3
31	تنفيذ المُعاملات	3-3
32	الصفات قيد الدراسة	4-3
32	الصفات الخضرية	1-4-3
32	ارتفاع النبات (سم)	-4-3 1-1
32	قطر الساق (مم)	-4-3 2-1
32	عدد الأوراق للنبات (ورقة. نبات ¹)	-4-3 3-1
32	المساحة الورقية (سم ²)	-4-3 4-1
32	عدد الفروع للنبات (فرع. نبات ¹)	-4-3 5-1
32	محتوى الأوراق من الكلوروفيل الكلي (ملغم. غم ¹ وزن طري)	-4-3 6-1
33	الوزن الجاف للمجموع الخضري للنبات (غم. نبات ¹)	-4-3 7-1
33	الوزن الجاف للمجموع الجذري للنبات (غم. نبات ¹)	-4-3 8-1
34	معدل النمو النسبي بعد الرشة الأولى (سم.سم ¹ . اسبوع ¹)	-4-3 9-1
34	معدل النمو النسبي بعد الرشة الثانية (سم.سم ¹ . اسبوع ¹)	-4-3

		10-1
34	المحتوى المعدني والعضوي للأوراق	2-4-3
34	النسبة المئوية للنتروجين في الأوراق (%)	-4-3 1-2
35	النسبة المئوية للبروتين الكلي في الأوراق (%)	-4-3 2-2
35	النسبة المئوية للفسفور في الأوراق (%)	-4-3 3-2
35	النسبة المئوية للبوتاسيوم في الأوراق (%)	-4-3 4-2
36	النسبة المئوية للمغنيسيوم في الأوراق (%)	-4-3 5-2
36	النسبة المئوية للكالسيوم في الأوراق (%)	-4-3 6-2
36	محتوى الأوراق من الحديد مايكروغرام.غرام ¹	-4-3 8-2
36	النسبة المئوية للكربوهيدرات الكلية في الأوراق (%)	-4-3 9-2
37	محتوى الأوراق من الفينولات الكلية	-4-3 10-2
38	التقدير الكمي للمحتوى الكيميائي لأوراق النبات بواسطة كروماتوغرافيا الغاز المتصل بمطياف الكتلة (GC-MS)	3-4-3
39	الاستخلاص	-4-3 1-3
40	تحديد المكونات	-4-3 2-3
41	بعض الخواص التشريحية لنبات الديباج	4-4-3
41	تحضير المقاطع المستعرضة	-4-3 1-4
41	التحليل الإحصائي	5-3
109-42	النتائج	4
42	تأثير نانو الحديد والزنك وطريقة الإضافة والسماد العضوي Drin في متوسط	1-4

	<i>Calotropis</i> (Ait.) R.Br نبات الخضري لنبات الديقاج	
	<i>procera</i>	
42	ارتفاع النبات (سم)	1-1-4
43	قطر الساق (سم)	2-1-4
45	عدد الأوراق للنبات (ورقة. نبات ¹)	3-1-4
47	المساحة الورقية (سم ²)	4-1-4
49	عدد الفروع للنبات (فرع. نبات ¹)	5-1-4
51	محتوى الأوراق من الكلوروفيل الكلي (ملغم. غم ¹ وزن طري)	6-1-4
53	الوزن الجاف للمجموع الخضري للنبات (غم. نبات ¹)	7-1-4
55	الوزن الجاف للمجموع الجذري للنبات (غم. نبات ¹)	8-1-4
57	معدل النمو النسبي بعد الرش الأولى (سم. سم ¹ . اسبوع ¹)	9-1-4
59	معدل النمو النسبي بعد الرش الثانية (سم. سم ¹ . اسبوع ¹)	-1-4 10
60	تأثير نانو الحديد والزنك وطريقة الإضافة والسماذ العضوي Drin في المحتوى المعدني والعضوي لأوراق نبات الديقاج <i>C. procera</i>	2-4
60	النسبة المئوية للنيتروجين في الأوراق (%)	1-2-4
62	النسبة المئوية للبروتين الكلي في الأوراق (%)	2-2-4
64	النسبة المئوية للفسفور في الأوراق (%)	3-2-4
66	النسبة المئوية للبوتاسيوم في الأوراق (%)	4-2-4
68	النسبة المئوية للمغنسيوم في الأوراق (%)	5-2-4
69	النسبة المئوية للكالسيوم في الأوراق (%)	6-2-4
71	محتوى الأوراق من الحديد (مايكروغرام. غم ¹ وزن جاف)	7-2-4
73	محتوى الأوراق من الزنك (مايكروغرام. غم ¹ وزن جاف)	8-2-4
75	النسبة المئوية للكربوهيدرات الكلية في الأوراق (%)	9-2-4
77	محتوى الأوراق من الفينولات الكلية (ملغم. غم ¹ وزن جاف)	-2-4 10
78	تأثير نانو الحديد والزنك وطريقة الإضافة والسماذ العضوي Drin في المحتوى	3-4

	الأوراق من المواد الفعالة لنبات الديباج <i>C. procera</i>	
78	النسبة المئوية للستروولات النباتية في الأوراق (%)	1-3-4
80	النسبة المئوية للامايرين (%)	2-3-4
81	النسبة المئوية لمركب Selinene (%)	3-3-4
83	النسبة المئوية للمادة الفعالة α -tocopherol (%)	4-3-4
85	النسبة المئوية للمادة الفعالة Calotropin (%)	5-3-4
87	تأثير نانو الحديد والزنك وطريقة الإضافة والمخصب العضوي Drin في بعض الصفات التشريحية لنبات الديباج <i>C. procera</i>	4-4
89	سمك طبقة القشرة (مايكرومتر)	1-4-4
90	عدد مجاميع ألياف القشرة (مجموعة نبات ¹)	2-4-4
92	قطر وحدات الخشب (مايكرومتر)	3-4-4
94	سمك اللب (مايكرومتر)	4-4-4
96	دليل الثغور للبشرة العليا	5-4-4
98	دليل الثغور للبشرة السفلى	6-4-4
-110 119	المناقشة	5
-120 121	الإستنتاجات والتوصيات	6
120	الإستنتاجات	1-5
121	التوصيات	2-5
-122 156	المصادر	7
A-B	Summary	

قائمة الجداول

الرقم	العنوان	الصفحة
1	بعض الصفات الكيميائية والفيزيائية لتربة التجربة قبل الزراعة	29
2	مكونات السماد العضوي السائل Drin (حسب نشرته الإرشادية)	31
3	تأثير نانو الحديد والزنك وطريقة الإضافة والسماد العضوي Drin في متوسط ارتفاعالساق لنبات الديباج <i>Calotropis procera</i>	43
4	تأثير نانو الحديد والزنك وطريقة الإضافة والسماد العضوي Drin في متوسط قطر الساق لنبات الديباج <i>Calotropis procera</i>	44
5	تأثير نانو الحديد والزنك وطريقة الإضافة والسماد العضوي Drin في متوسط عدد الأوراق لنبات الديباج <i>Calotropis procera</i> (ورقة نبات ¹)	46
6	تأثير نانو الحديد والزنك وطريقة الإضافة والسماد العضوي Drin في متوسط المساحة الورقية لنبات <i>Calotropis procera</i> (سم ²)	48
7	تأثير نانو الحديد والزنك وطريقة الإضافة والسماد العضوي Drin في عدد الفروع لنبات <i>Calotropis procera</i> (فرع نبات ¹)	50
8	تأثير نانو الحديد والزنك وطريقة الإضافة والسماد العضوي Drin في متوسط محتوى الأوراق من الكلوروفيل الكلي لنبات <i>Calotropis procera</i> (غم. غم ¹ وزن طري)	52
9	تأثير نانو الحديد والزنك وطريقة الإضافة والسماد العضوي Drin في متوسط الوزن الجاف للمجموع الخضري لنبات الديباج <i>Calotropis procera</i> (غم. نبات ¹)	54
10	تأثير نانو الحديد والزنك وطريقة الإضافة والسماد العضوي Drin في متوسط الوزن الجاف للمجموع الجذري لنبات الديباج <i>Calotropis procera</i> (غم. نبات ¹)	56
11	تأثير نانو الحديد والزنك وطريقة الإضافة والسماد العضوي Drin في متوسط معدل النمو النسبي بعد الرشة الأولى لنبات الديباج <i>Calotropis procera</i> (سم.سم ¹ . اسبوع ¹)	58
12	تأثير نانو الحديد والزنك وطريقة الإضافة والسماد العضوي Drin في متوسط	60

	معدل النمو النسبي بعد الرش الثانية لنبات الديباج <i>Calotropis procera</i> (سم.سم ⁻¹ .اسبوع ⁻¹)	
61	تأثير نانو الحديد والزنك وطريقة الإضافة والسماذ العضوي Drin في النسبة المئوية للنيتروجين في أوراق نبات الديباج <i>Calotropis procera</i>	13
63	تأثير نانو الحديد والزنك وطريقة الإضافة والسماذ العضوي Drin في النسبة المئوية للبروتين الكلي في أوراق نبات الديباج <i>Calotropis procera</i>	14
65	تأثير نانو الحديد والزنك وطريقة الإضافة والسماذ العضوي Drin في النسبة المئوية للفسفور في أوراق نبات الديباج <i>Calotropis procera</i>	15
67	تأثير نانو الحديد والزنك وطريقة الإضافة والسماذ العضوي Drin في النسبة المئوية للبوتاسيوم في أوراق نبات الديباج <i>Calotropis procera</i> .	16
69	تأثير نانو الحديد والزنك وطريقة الإضافة والسماذ العضوي Drin في النسبة المئوية للمغنسيوم في أوراق نبات الديباج <i>Calotropis procera</i>	17
70	تأثير نانو الحديد والزنك وطريقة الإضافة والسماذ العضوي Drin في النسبة المئوية للكالسيوم في أوراق نبات الديباج <i>Calotropis procera</i>	18
72	تأثير نانو الحديد والزنك وطريقة الإضافة والسماذ العضوي Drin في محتوى أوراق نبات الديباج من الحديد <i>Calotropis procera</i>	19
74	تأثير نانو الحديد والزنك وطريقة الإضافة والسماذ العضوي Drin في محتوى الزنك في الأوراق نبات الديباج <i>Calotropis procera</i>	20
76	تأثير نانو الحديد والزنك وطريقة الإضافة والسماذ العضوي Drin في النسبة المئوية للكربوهيدرات في أوراق نبات الديباج <i>Calotropis procera</i>	21
78	تأثير نانو الحديد والزنك وطريقة الإضافة والسماذ العضوي Drin في محتوى الأوراق من الفينولات الكلية لنبات الديباج <i>Calotropis procera</i>	22
80	تأثير نانو الحديد والزنك وطريقة الإضافة والسماذ العضوي Drin في النسبة المئوية للستيرولات الكلية في أوراق نبات الديباج <i>Calotropis procera</i>	23
82	تأثير نانو الحديد والزنك وطريقة الإضافة والسماذ العضوي Drin في النسبة المئوية للامايرين لنبات الديباج <i>Calotropis procera</i>	24
84	تأثير نانو الحديد والزنك وطريقة الإضافة والسماذ العضوي Drin في النسبة	25

	المثوية لمركب Selinene لنبات الديقاج <i>Calotropis procera</i>	
86	تأثير نانو الحديد والزنك وطريقة الإضافة والسماذ العضوي Drin في متوسط محتوى الأوراق من α -tocopherol لنبات الديقاج <i>Calotropis procera</i>	26
87	تأثير نانو الحديد والزنك وطريقة الإضافة والسماذ العضوي Drin في النسبة المثوية للمادة الفعالة Calotropin في أوراق نبات الديقاج <i>Calotropis procera</i>	27
91	تأثير نانو الحديد والزنك وطريقة الإضافة والسماذ العضوي Drin في متوسط سمك القشرة لنبات الديقاج <i>Calotropis procera</i>	28
92	تأثير نانو الحديد والزنك وطريقة الإضافة والسماذ العضوي Drin في متوسط عدد مجاميع ألياف القشرة لنبات الديقاج <i>Calotropis procera</i>	29
94	تأثير نانو الحديد والزنك وطريقة الإضافة والسماذ العضوي Drin في متوسط قطر وعاء الخشب لنبات الديقاج <i>Calotropis procera</i>	30
96	تأثير نانو الحديد والزنك وطريقة الإضافة والسماذ العضوي Drin في متوسط سمك اللب لنبات الديقاج <i>Calotropis procera</i>	31
98	تأثير نانو الحديد والزنك وطريقة الإضافة والسماذ العضوي Drin في متوسط دليل الثغورة بشرة عليا لنبات الديقاج <i>Calotropis procera</i>	32
100	تأثير نانو الحديد والزنك وطريقة الإضافة والسماذ العضوي Drin في متوسط دليل الثغورة بشرة سفلى لنبات الديقاج <i>Calotropis procera</i>	33

قائمة الصور واللوحات

الصور		
الرقم	العنوان	الصفحة
1	مراحل النمو المختلفة لنبات الديقاج	5
2	المخصبات النانوية (الحديد والزنك) والمخصب العضوي Drin	31
3	جهاز كروماتوغرافيا الغاز المتصل بمطياف الكتلة (GC-MS)	40
4	مقطع مستعرض في ساق نبات الديقاج يوضح مناطق الساق	89

اللوحات		
الرقم	العنوان	الصفحة
1	1:معاملة السيطرة ،2:المعاملة بالتركيز الموصى من نانو الحديد و3:المعاملة بالتركيز ضعف الموصى من نانو الحديد] بطريقة الرش الوري	101
	[4:المعاملة بالتركيز الموصى من نانو الزنك ،5:المعاملة بالتركيز ضعف الموصى من نانو الزنك و6:المعاملة بالتركيز الموصى من نانو (الحديد+الزنك)] بطريقة الرش الوري	102
	7:المعاملة بالتركيز ضعف الموصى من نانو(الحديد+ الزنك) بطريقة الرش الورقي ،[8:المعاملة بالتركيز الموصى من نانو الحديد و9:المعاملة بالتركيز ضعف الموصى من نانو الحديد] بطريقة الرسمدة	103
	[10:المعاملة بالتركيز الموصى من نانو الزنك، 11:المعاملة بالتركيز ضعف الموصى من نانو الزنك و12:المعاملة بالتركيز الموصى من نانو (الحديد+الزنك)] بطريقة الرسمدة	104
	13: المعاملة بالتركيز الموصى من نانو(الحديد+الزنك) بطريقة الرسمدة، 14: المعاملة بالتركيز 5مل.لتر ⁻¹ سماد عضوي و15:المعاملة بالتركيز الموصى من نانو الحديد المضاف بطريقة الرش الورقي والتركيز 5مل.لتر ⁻¹ سماد عضوي	105
	16: المعاملة بالتركيز ضعف الموصى من نانو الحديد 17: المعاملة بالتركيز الموصى من نانو الزنك و18:المعاملة بالتركيز ضعف الموصى من نانو الزنك] بطريقة الرش الورقي والتركيز 5مل.لتر ⁻¹ سماد عضوي	106
	19: المعاملة بالتركيز الموصى من نانو (الحديد+الزنك) 20: المعاملة بالتركيز ضعف الموصى من نانو(الحديد+ الزنك)] بطريقة الرش الورقي والتركيز 5مل.لتر ⁻¹ سماد عضوي و21:المعاملة بالتركيز الموصى من نانو الحديد بطريقة الرسمدة والتركيز 5مل.لتر ⁻¹ سماد عضوي	107
	22: المعاملة بالتركيز ضعف الموصى من نانو الحديد 23: المعاملة بالتركيز الموصى من نانو الزنك و24:المعاملة بالتركيز ضعف الموصى من نانو الزنك] بطريقة الرسمدة والتركيز 5مل.لتر ⁻¹ سماد عضوي	108
	لمعاملة بالتركيز الموصى من نانو (الحديد+الزنك) 26: المعاملة بالتركيز ضعف	109

	الموصى من نانوا(الحديد+ الزنك) [بطريقة الرسمة والتركيز 5مل.لتر ¹ سماد عضوي	
--	---	--

الفصل الأول

المقدمة

Introduction



1: المقدمة

Introduction

الديباج *Calotropis procera* (Ait.) R.Br نبات شجيري معمر دائم الخضرة يعود إلى العائلة العشارية Asclepiadaceae (Ping-tao وآخرون، 1995). ويتراوح ارتفاع النبات ما بين (2 - 5) م، وتعد المناطق الإستوائية وشبه الإستوائية في أفريقيا وآسيا الموطن الأصلي له ومنها انتشر إلى المناطق المعتدلة من شمال وجنوب شرق آسيا (Hassan وآخرون، 2015 و Moustafa و Sarah، 2017).

بيّن كل من El-Midany (2014) و Moustafa و Sarah (2017) أنّ الديباج ينمو في جميع أنواع الترب لاسيما التربة الرملية القاعدية فضلاً عن تحمّله لمدى واسع من الملوحة والجفاف؛ مما يفسر سبب انتشاره في المناطق القاحلة وشبه القاحلة بوصفه مجتمعات نباتية تقتصر عليه فقط لاحتوائه على مواد كلايكوسيدية مثبطة لنمو النباتات الأخرى. ويعد الديباج واحداً من النباتات السامة لاحتوائه على العديد من المركبات السامة والمميّنة للإنسان والحيوان على حدّ سواء، وهذه السمية العالية للنبات تأتي من احتوائه على مركبات الكاردينوليد Cardenolide التي من أهمها Calotropin و Uscharin و Calotoxin و Calactin والمتواجدة في جميع أجزاء النبات وبشكلٍ مُركّز في العصارة اللبنية؛ إذ تعمل بدورها على تثبيط مضخة الصوديوم - بوتاسيوم ($Na^+ - K^+$ ATPase) في أغشية الخلايا والتي تكون مسؤولة عن إنتاج الطاقة اللازمة لتبادل أيونات الصوديوم والبوتاسيوم عبر أغشية الخلايا (Agrawa وآخرون، 2012)، ويوجد هذا الإنزيم في معظم الخلايا لاسيما خلايا عضلات القلب التي تعد الهدف الرئيس لهذه المركبات (Chan وآخرون، 2017).

تأتي الأهمية الطبية لنبات الديباج من احتوائه على العديد من المواد الفعالة حيويّاً مثل مركبات الكاردينوليدات والراتنج Resins والكلايكوسيدات Glycosides والفينولات Phenoles والتربينات الثلاثية triterpenoids والسكريات والفلافونات Flavonoids والقلويدات Alkaloids والصابونيات Saponins وإنزيمات التحلل البروتيني Proteolytic enzymes، ولذا يعد هذا النبات في قائمة النباتات التي تعد مصدراً مهماً لإنتاج مركبات العقاقير الصيدلانية (فضل، 2014 و Payal و Sharma، 2016 و Ranjan وآخرون، 2017)، التي تتواجد في أجزاء النبات المختلفة كالأوراق والسيقان واللحاء والجذور والأزهار. كما تحوي أوراق النبات على العديد من الكلايكوسيدات ذات التأثير المُحفّز لعمل القلب والمُدِرّ للبول والمضاد للسرطان والمُسرّع من شفاء الكدمات والجروح الخارجية (Murti وآخرون، 2010 و Ranjan وآخرون، 2017).

يُصنّف نبات الديباج ضمن النباتات ذات القيمة العلاجية الكبيرة، فهو يعد عقاراً مهماً لعلاج العديد من الأمراض الشائعة مثل الحمى، والروماتيزم، وعسر الهضم، والسعال والبرد، والأكزيما

والربو وداء الفيل، والغثيان، والتقيؤ، والإسهال، ومضاد للإلتهابات، ومُسكِّن للآلام، ومزيل للتشنجات، ومضاد للأورام، وطارِد للديدان والحشرات فضلاً عن احتوائه على مضادات للأكسدة والجراثيم (Payal و Sharma، 2015 و Abdel-Mageed وآخرون، 2016 و Pawar، 2017). فيما أضاف Kawo وآخرون (2013) أنَّ السائل اللبني للنبات يكون غنياً بالمعادن وخصوصاً الكالسيوم. وفيما يخص الأهمية الإقتصادية للنبات فتأتي من استعماله في إنتاج الوقود الحيوي؛ لذا تمَّ وضعه على رأس مائة نوع من النباتات في إنتاج الوقود الحيوي السائل في المناطق شبه القاحلة وكذلك في إنتاج الخشب وقوداً للطهي، وأنَّ الشعر الحريري المرتبط بالبذور يستعمل لحشو الوسائد التي تستعمل لعلاج آلام الرقبة، والألياف الموجودة في الساق لصناعة الحبال والسجاد وخيوط الخياطة وشباك صيد الأسماك المقاومة للماء العذب والمالح (Payal و Sharma، 2016). ويُستعمل مستخلص الأوراق في صناعة الجبن الطري الأبيض الأفريقي (Wara)، فيما يدخل السائل اللبني في صناعة المطاط إذ يحوي ما يقارب (11 – 23)% من المادة المطاطية Caoutchouc (كاوتشوكية)، فضلاً عن دخوله في صناعة الورق ودباغة الجلود (الشراحي وآخرون، 2009 و Adewumi و Akinloye، 2015 و Mohamed وآخرون، 2017) وأضاف Doshi وآخرون (2012) إن المادة السامة الموجودة في السائل اللبني لنبات الديباج تستعمل لسم السهام والرماح.

وفيما يخص الأثر البيئي للنبات فهو مقاوم للاجهادات المائية والملحية (Ibrahim، 2013)، ومن النباتات الواعدة لمكافحة التلوث (Al-Qahtani، 2012 و Abdullatif وآخرون، 2016 و Galal وآخرون، 2016).

أثبتت النباتات الطبية تاريخياً قيمتها كمصدر للجزيئات ذات الإمكانيات العلاجية، ولا تزال في الوقت الحاضر تمثل مجموعة هامة لتحديد المستحضرات الصيدلانية بشكل رئيسي (Atanasov وآخرون 2015). فهي سهلة التداول نسبياً، لذا اتجهت الأنظار نحو استعمال المواد الفعالة للنباتات في العلاج أو الوقاية من الأمراض بدلاً عن الأدوية المُصنَّعة فهي أمينة، إذا ما تمَّ استعمالها بالكميات المناسبة (Jaradat وآخرون، 2017). لذلك أصبح من الضروري دراسة المكونات الفعالة طبيياً لنبات الديباج وإيجاد تقانات خاصة تزيد من محتواها في النبات لتصبح عملية استخلاصها ذات جدوى إقتصادية، وهي تأتي من أتباع الطرائق الحديثة في التسميد والتعرض للاجهادات المائية والحرارية ومنظمات النمو النباتية بيد أنها إسُعملت بكثرة من قبل الباحثين إلا إن استعمال الأسمدة النانوية يعد من التقانات الحديثة التي تكون أبعادها في أبعاد مقياس النانو Nanoscale إذ انها تزود النبات بواحد أو أكثر من العناصر الغذائية والتي يسهل اختراقها على سطح النبات مما يؤدي إلى تعزيز النمو والغلة (White و Servin، 2016). كما ان استعمالها أدى الى زيادة المواد الفعالة لمجموعة من النباتات الطبية، إلا إنها لم تستعمل مع نبات الديباج ومنها المخصبات النانوية المخليبية للحديد والزنك

والمضافة بطريقة التغذية الورقية تارةً وبالرسمة وتارةً أخرى، فضلاً عن استعمال السماد العضوي بطريقة التغذية الورقية؛ ويُعد استعمال دقائق المواد النانوية تقانة حديثة بات استعمالها في مجالات واسعة من علوم الحياة ومنها إضافتها للتربة لتحسين خواصها أو مكوناتها الحيوية أو إضافتها للنباتات بقصد زيادة نموها وتحسين إنتاجيتها (Prasad وآخرون، 2014 و صالح، 2015 و Duhana وآخرون 2017). كما أن لكل من الحديد والزنك أهمية فسلجية في حياة النبات، فالحديد له دور في بناء الكلوروفيل وعمليات الأكسدة والاختزال داخل النسيج النباتي ومن ضمنها الإنزيمات التنفسية إلى جانب دخوله في تركيب السايبتوكرومات والفريدوكسين المهمة في عملية التمثيل الضوئي، وفي تكوين البروتينات النباتية (الصحاف، 1989 و Barker و Stratton، 2015). أما الزنك فعدهُ McCall وآخرون (2000) أحد أهم العناصر الصغرى في تغذية النبات لما يؤديه من دور مهم في بناء ونمو النبات من خلال اشتراكه باعتباره عاملاً مساعداً لنحو 300 إنزيماً وبروتيناً تشترك في انقسام الخلايا، والتمثيل الغذائي للأحماض النووية وتخليق البروتينات. كما يوجد للزنك دور مهم في إدارة أنواع الأوكسجين التفاعلي وحماية الخلايا النباتية ضد الجذور الحرة (Amiri وآخرون، 2016 و Faizan وآخرون، 2017).

ذكروا كل من النعيمي، (1987) و Mielcarz-Skalska و Smolińska، (2017) بان قاعدية التربة من أهم العوامل التي تؤدي إلى عدم جاهزية العناصر الغذائية للنبات إذ تتعرض العناصر الصغرى مثل الحديد والزنك إلى الترسيب ومن ثم تكوين مركبات معقدة غير جاهزة للامتصاص من قبل الجذور. و اضاف Martin، (2002) أن إضافة الاسمدة بطريقة الرش الورقي على المجموع الخضري للنبات تلبى مُتطلباته من المُغذيات أثناء مراحل النمو الحرجة والحساسة التي تعجز الجذور عن توفيرها. كما أن إمتصاص العناصر الغذائية بواسطة الأوراق عادة يكون أكثر كفاءة وسرعة من الامتصاص عن طريق الجذور لاسيما عندما تكون ظروف التربة غير مناسبة للامتصاص مثل الجفاف والارتفاع والانخفاض الحادين في درجات الحرارة والفقد بالغسل وغيرها من العوامل التي تؤثر على تيسر العناصر للامتصاص (El-Fouly و Romhold، 2000).

1-1: الهدف من الدراسة The Aim of Study

نظراً للأهمية الطبية للمواد الفعالة الموجودة في نبات الديباج وقلّة الدراسات الزراعية بخصوص هذا النبات أصبح التوجه نحو :

1. العمل على زيادة إنتاج هذه المركبات من خلال استعمال المخصبات النانوية وتحديد طريقة الاضافة الأكثر فاعلية في هذا المجال.
2. معرفة تأثير العوامل قيد الدراسة وتداخلاتها في الصفات الخضريّة لنبات الديباج ومحتواه المعدني والعضوي في الأوراق وبعض الصفات التشريحية.

الفصل الثاني

استعراض المراجع

Literature review



Literature Review

2- استعراض المراجع

1-2: نبات الديباج (الوصف والتصنيف) *Calotropis procera* (Ait.) R.Br

الديباج أو (العُشر) نبات شجيريّ معمر دائم الخضرة ينتمي الى العائلة العشارية Asclepiadaceae تشمل هذه العائلة نحو 250 جنسا وأكثر من 2000 نوعا (Ping-tao وآخرون، 1995). موطنه الاصيلي المناطق الاستوائية وشبه الاستوائية في أفريقيا واسيا، ومنها انتشر الى المناطق المعتدلة من شمال وجنوب شرق آسيا (Al-Snafi، 2015). ذكروا Chaudhary وآخرون (2017) ان للديباج عدة أسماء شائعة بحسب المناطق المزروع فيها فيسمى في الجزيرة العربية العشر وفي إنكلترا بـ *Calotrop* وشجرة المطاط *Rubber tree* ، وفي فرنسا تفاح سدوم *Sodom apple* وفي اللغة الايطالية *Calotropo* والاسبانية القطن *Algodón* والهندية المدار *Madar*. ان كلمة *Calotropis* تتألف من مقطعين “*Kalos*” وتعني بالاغريقية (جميل) و “*tropis*” تشير الى الزوايا العميقة من اكليل الازهار الملون وكلمة *Procera* تعني (طويل) (Rahman و Wilcock، 1991).

ينمو الديباج في جميع انواع الترب لكنه يفضل التربة الرملية القاعدية ويتحمل مدى واسع من الملوحة والجفاف لذلك ينتشر في المناطق القاحلة وشبه القاحلة في مجتمعات نباتية تقتصر عليه فقط ؛ بسبب احتوائه على مواد كلايكوسيدية مثبطة لنمو النباتات الأخرى (El-Midany ، 2014 ؛ El-Khatib وآخرون، 2016). ويفضل البيئات التي تتلقى 150-1000 ملم من الأمطار سنويا ومتوسط درجات الحرارة السنوية (20-30) درجة مئوية ويتحمل الانجماد الى درجة (-3 م°)، يتكاثر بالبذور والعُقل Francis (2004) ومتوسط عمره 12 عاما (Yogi وآخرون، 2016).

لاحظوا Hassan وآخرون، (2015) بان جذر الديباج وتدي يمتد في التربة بعمق 3-4 م يكون مكسواً بطبقات فليينية ذات لون أصفر في حين أن جزءه الداخلي لحاء أملس وصمغي يعطي طعما مرا عند تجفيفه والنظام الجذري الثانوي يحتوي فروعا جانبية متخشبة تتجدد بسرعة عند الاصابة، وبينت الدراسات أن المادة الراتنجية في لحاء الجذر تزداد بتقدم عمر النبات. وذكروا Azhar وآخرون، (2014) بان الساق قائم يصل ارتفاعه من 2-5 متر، منها 1متر في السنة الاولى من النمو ويصل متوسط قطر الساق 25 سم عند النبات بارتفاع 5م ، السيقان الفتية رمادية مخضرة اللون ناعمة الملمس مغطاة بشعيرات مائلة إلى اللون الابيض وتكثر تفرعات النبات عند قاعدة الساق.

الأوراق قليلة العدد كبيرة الحجم وسميكة او لحمية ذات ترتيب متقابل تزدهم بالقرب من قمة الساق، ذات اشكال بيضوية مقلوبة *Obovate* (Azhar وآخرون، 2014)، كما اكدوا Sharma وآخرون (2012) بان النصل ذات لون يتراوح بين الأخضر الفاتح الى الغامق مع عروق



صورة 1: مراحل النمو المختلفة لنبات الديباج

بيضاء تقريبا والأوراق غير معنقة يتراوح طولها بين 5-15 سم والعرض 4.5-10 سم والأوراق الحديثة التكوين تغطي بشعيرات كثيفة بيضاء سهلة النزاع تختفي عند النضج وتصبح ملساء باستثناء مناطق العقد والعروق

يُزهر النبات في السنة الثانية من عمره والأزهار منتظمة ثنائية الجنس Bisexual قليلة الرائحة (Ranjan وآخرون، 2017). النورة الزهرية مظلية الشكل تظهر في براعم الأوراق العلوية تحوي من 3-15 زهيرة وتحاط كل نورة بعدد من القنابات مستطيلة الشكل وصغيرة (المسلماني، 2015)، طول الحامل الرئيسي لهذه المجموع من الأزهار 20-55 ملم ، ولكل زهرة سويق طوله 15-25 ملم. الكأس خماسي الاوراق ويبلغ طول الورقة الكاسية Sepalous (7-8) ملم بيضوية الشكل مكسوة بشعيرات من الخارج وذات قمة حادة Acut. اما التوزيع من النوع متحد الاوراق

Gamopetalous ، يبلغ عرض كل ورقة تويجية (2-3) سم وهي بيضاء اللون من الخارج وبنفسجية من الداخل ويكون مركز الزهرة على شكل تاج (Corona Boulos، 2000، Sharma وآخرون 2011). تتجمع خمسة اسدية لتكوين جهاز التكاثر الذكري Androecium، اما الجهاز الانثوي Gynoecium فإنه مكون من مدقة ثنائية الكرابل بهيئة مبيضين متميزين مرتفعين لكل مبيض غرفة واحدة Unilocula، تتحد الاسدية مع المدقة مكونة تركيب يعرف Gynostegium كما ان الازهار تنتج رحيقا ساما لذا يقطع اصحاب المناحل أشجاره القريبة من خلايا النحل (Srivastava وآخرون، 2016). الثمار جرابية Follicles ابعادها (8-14×6-9) سم، شبه دائرية الى بيضوية الشكل تستدير من قمتها، خضراء اللون وملساء تفتتح من تدريز واحد غالبا مايكون التدريز البطني Galal) Ventral suture (آخرون، 2015). كل ثمرة تنتج تقريبا (350-500) بذرة، بيضوية مسطحة ابعادها (6 × 5) ملم، البذور تمتلك خصلا شعرية Comose في احد طرفيها بيضاء حريرية ناعمة ولامعة جداً طولها 3 سم او أكثر تتصل بالبذور من جهة طرفها المدبب ، ومتوسط وزن البذرة الواحدة يتراوح بين 2.7-9.5 ملغم (Francis، 2004).

وقد ذكر Yogi وآخرون (2016) بان جميع أجزاء النبات تحتوي على عصارة لبنية غزيرة لها دور في الدفاع عن النبات ضد العواشب والطفيليات والممرضات وهي عبارة عن مستحلب مائي لخليط من مواد بروتينية وسكرية وقلويدات وأحماض ومواد مخاطية وتانينات وأملاح معدنية ومادة مطاطية Caoutchouc (كاوتشوكية) وهو سام لاحتوائه على كلايكوسيدات ذات تأثيرات سلبية على القلب فضلا عن اوكزالات الكالسيوم (Ranade وآخرون، 2017). كما انه يفرز من خلايا تحوي قنوات إفرازية خاصة توجد في أنسجة النبات، تزداد كثافتها في لب الساق (Oloumi، 2014 و Ranjan وآخرون، 2017). صُنِّفَ نبات الديباج وفقاً لـ Rahman و Wilcock (1991) إلى:

Kingdom	Plantae – Plants
Subkingdom	Tracheobionta – Vascular plants
Superdivision	Spermatophyta – Seed plants
Division	Magnoliophyta – Flowering plants
Class	Magnoliopsida – Dicotyledons
Subclass	Asteridae
Order	Gentianales
Family	Asclepiadaceae – Milkweed family
Genus	Calotropis
Species	procera

2-2: الأهمية الطبية للنبات: Medical Importance of Procera Plant

تكمن أهمية النباتات الطبية في احتوائها على مواد كيميائية ذات فائدة وأهمية لتأثيرها الفسيولوجي ونشاطها الدوائي على أعضاء الجسم البشري والحيواني. وقد نالت هذه النباتات اهتماماً كبيراً منذ القدم وذلك لقدرتها العلاجية الكبيرة في تسكين الآلام والشفاء من الأمراض، وما زال الإعتقاد عليها حتى يومنا هذا، إذ تقوم شركات الأدوية الكبرى بإجراء بحوث مستفيضة على المواد الفعالة النباتية لاستحداث عقاقير جديدة في الطب (Lincheva وآخرون، 2017). ويعد طب الأعشاب مكملاً للعلاجات التقليدية (الصناعية) وتتوقف قدرة تأثيره في أنظمة الجسم على المكونات الكيميائية الفعالة التي يحتوي عليها (Mittal و Gupta ، 2010). وتقدر منظمة الصحة العالمية أن 80 % من سكان العالم يستعملون حالياً الأدوية العشبية في بعض جوانب الرعاية الصحية الأولية (AI- Snafi، 2015). عرف نبات الديباج بخواصه العلاجية عند قدماء المصريين وإلى الآن يستعمل في الطب الشعبي (Yogi وآخرون ، 2016). لقد ذكرت فضل (2014) و Payal و Sharma (2016) بان الديباج يحتوي العديد من المجموع الكيميائية النشطة بايولوجيا، لذا ظهر مؤخرا في قائمة النباتات التي تعد مصدراً مهماً لإنتاج مركبات العقاقير الصيدلانية والتي تتواجد في أجزاء النبات المختلفة كالأوراق والسيقان واللحاء والجذور والازهار بما في ذلك المركبات المنشطة للقلب cardioactive والراتنج resins والكلوكوسيدات glycosides والفينولات Phenoles والتيربينات triterpenoids والكاربوهدرات Carbohydrats والفلافونات flavonoids والقلويدات alkaloids والصابونين saponins وإنزيمات التحلل البروتيني proteolytic enzymes

واشاروا Adebayo وآخرون (2015) و Pawar، (2017) بان الديباج من النباتات المعروفة تجارياً وهو عقار مهم في الطب الهندي البديل (الأيورفيدا) منذ زمن قديم، واطاف كل من Abdel- Mageed وآخرون، (2016) و Kenganora1 وآخرون (2017) استعماله لوحده أو مع أدوية أخرى لعلاج الأمراض الشائعة مثل الحمى والروماتيزم وعسر الهضم والسعال والبرد والأكزيما والربو وداء الفيل والغثيان والتقيؤ والإسهال ومضاداً للالتهابات ومسكناً ومضاداً للأورام وطارداً للديدان والحشرات ويحتوي مضادات الأكسدة ومضاداً للجراثيم ومزيلاً للتشنج فهو ذو قيمة علاجية كبيرة ولكنه مؤذٍ للعين إذا وضع عصيره فيها، ويستعمل مسحوق لحاء الجذر لعلاج الزحار إذ له تأثير مماثل لجذر نبات عرق الذهب *Ipecacuanha cephaelis* L. كما يستعمل لعلاج الصرع والهستيريا والتشنجات والسرطان والثآليل والجذام وداء الفيل والديدان والحمى والنقرس ولدغ الثعابين ودخان (أبخرة) اللحاء يستعمل للسعال والربو (Verma وآخرون 2010).

أما الأوراق فهي تستعمل على شكل كمادة لعلاج ضربة الشمس والسكتة الدماغية ولدغة الافعى والنكاف وجروح الحروق وعلاج (أبو صفار) كما ثبت أن لأوراق الديباج تأثيراً في عضلات

الرحم اذا ما استعملت بشكل كمادات اذ تعمل على زيادة انقباضها مما يسهل الولادة وللسبب نفسه هي مجهزة للأجنة (Al-Snafi, 2015). و اضافوا Kazeem وآخرون ، (2016) أن لمستخلص أوراق الديباج تأثيراً مضاداً لمرض السكري، إذ يعمل على تثبيط الإنزيمات المسؤولة عن التحلل المائي للكربوهيدرات hydrolyzing enzymes مثل ألفا أميليز α -amylase و ألفا كلوكوسايديز α -glucosidase. ومستخلص الازهار مقوٍ عام ويستعمل للجهاز الهضمي ومهدىء ومنشط جنسي ومفيد في السعال والزكام والربو وفقدان الشهية (Khairnar وآخرون، 2012).

في حين ان السائل اللبني يمثل الصورة المستعملة لعلاج الدوار والدمامل والقروح والروماتيزم، وفي أفريقيا يتم استعماله لعلاج آلام الأسنان والزهري واضطرابات الجهاز الهضمي والإسهال والصلع والحمى المتقطعة والروماتيزم والشلل والتخدير الموضعي وان الجرعات الصغيرة منه معرفة ومقشعة في حين تسبب الجرعات الكبيرة القيء والإسهال Murti وآخرون، (2010) وأشار Meena وآخرون (2011) الى اهمية السائل اللبني المستخرج من النبات في إعداد مقويات العين (eye tonics).

وعرف نبات الديباج منذ القدم في ايقاف النزف من الجروح الطفيفة وتعزيزه لإلتئامها، وقد ثبت حديثاً أن سبب ذلك يعود الى احتوائه على إنزيمات البروتيز Cysteine التي تشبه في عملها إنزيمي Thrombin و plasmin فهو ينظم تخثر الدم وانحلال الفيبرين (Venkatesha وآخرون، 2016 و Kenganoral وآخرون، 2017). وبحسب دراسة قام بها (Verma وآخرون، 2010) لاحظ ان أجزاء النبات المختلفة تختلف في نسب استعمالها في التداوي من جزء إلى آخر إذ ان السائل اللبني أكثرها استعمالاً latex بنسبة 28.57% تليه الأوراق 24.67% وتتفاوت بقية أجزاء النبات الأخرى في نسب استعمالها ولكنها جميعاً أقل من النسب السابقة.

من المركبات التي يحتوي عليها نبات الديباج الستيرويدات النباتية Phytosterols وهي مجموعة من المركبات التي تصنف ضمن مجموعة الدهون تشبه الكوليسترول في التركيب والوظيفة ولها القدرة على خفض إجمالي البلازما من البروتين الدهني منخفض الكثافة Low Density Lipoproteins (LDL) والكوليسترول تنافسياً وذلك عن طريق منع امتصاص الكوليسترول من قبل الأمعاء الدقيقة فيؤدي ذلك الى تقليل الضرر الناجم عن أمراض القلب والأوعية الدموية، فهي منتج غذائي وقائي طبيعي لعلاج فرط الكوليسترول في الدم (hypercholesterolemia) (Marangoni و Poli, 2010). وذكروا Ogbe وآخرون ، (2015) بان امتصاص مركبات الفايستوستيرول من قبل الأمعاء الدقيقة يعتمد على نوع المركب وتركيبه الكيميائي (نوع السلسلة الجانبية، كونه مشبعاً او غير مشبع) والمشبعة منها أكثر كفاءة في خفض مستويات الكوليسترول في الدم والشائع منها مركبات

سيتوستيرول (C28) Sitosterol، ستيجماستيرول (C29) Stigmasterol و Campesterol (C28) .

تعد مركبات الفايوتوسيتيرول عنصر أساسي في أغشية جميع الخلايا حقيقية النواة، وظيفتها المقارنة على سيولة الغشاء والنفاذية على الرغم من أن بعضها له وظيفة محددة في نقل الإشارة عبر أغشية الخلايا النباتية. ولها أنشطة مضادة للالتهاب واستحثاث موت الخلايا المبرمج في الخلايا السرطانية والوقاية من الأمراض والالتهاب المفاصل والسل وسرطان عنق الرحم والقولون والثدي وسرطان البروستات وفقدان الشعر و تضخم البروستات الحميد، كما انها مصدر في التركيب الاصطناعي لهرمونات الستيرويد ومشتقاتها (Saeidnia وآخرون 2014). ومن مركباتها المهمة هو مركب اللانوسيتيرول Lanosetrol (C₃₀H₅₀O) الذي يعد من المركبات التي تشير الى استراتيجية جديدة في وقاية عدسة العين من تجميع البروتين ومنع إعتام عدسة العين وعلاجها، اذ يمنع تراكم البروتين من نوع Crystallins داخل الخلايا والمسبب لإعتام عدسة العين اذ يعد السبب الأكثر شيوعا للعمى في العالم (Shanmugam وآخرون 2015). اذ وجد Zhao وآخرون (2015) تأثيرا ملحوظا لهذا المركب في خفض مجاميع البروتين سابقة الذكر في العين وزيادة شفافية العدسة في التجارب المخبرية التي اجريت على الأرانب والكلاب في المختبر وعلاج بعض حالات الإعتام الخلقية عند الاطفال، اذ يعمل على إعادة تذويب البروتينات المتجمعة من الياف الغلوبولين في العدسة ومن هنا جاءت اهمية النبات في اعداد مقويات البصر، فضلا عن ان هذا المركب هو الخطوة الأولى الأساسية في تحديد متوسط التخليق الحيوي للهرمونات الستيرويدية، وفيتامين (د) ومركب Cucurbitacins (Dai وآخرون 2015).

ومن المركبات التربينية triterpenoids الشائعة الاخرى التي يحتوي عليها نبات الديباج الـ Amyrin (المسلماوي، 2015) ذات الصيغة الكيميائية (C₃₀H₅₀O) ويتواجد في أجزاء النبات المختلفة مثل الأوراق واللحاء والخشب والمواد الراتنجية ويتميز بسهولة استخلاصه (Prajna وآخرون، 2016). ويعد من المركبات الحيوية النشطة بيولوجيا التي تلعب دوراً رئيسياً في تأثيراتها المضادة للبكتريا Anti-microbial والفطريات Anti-fungal والالتهابات Anti-inflammatory ويستعمل مضاداً للخلايا السرطانية وقابضاً (Adstringens (Holanda-Pinto وآخرون، 2008 و Melo وآخرون، 2010 و Jorge وآخرون، 2017) .

كما يحتوي نبات الديباج ايضا على مركب Selinene الذي يعود الى مركبات Sesquiterpenes التي تتكون من ثلاث وحدات أيزوبرين، وتركيبه الكيميائي C₁₅H₂₄. وتعد من مكونات الزيوت الأساسية للنبات وءيكون فعالا في مكافحة السرطان ، ومضاداً للأورام

(Asadollahi وآخرون (2008) و Zhong وآخرون (2017)، وله خصائص مضادة للفيروسات وأخرى منكهة وروائح مميزة (Duke وآخرون، 2011).

ويحتوي نبات الديباج أيضا على مركب α -tocophero وهو أحد مضادات الأكسدة والنوع الأكثر نشاطا من مجاميع فيتامين E من الناحية البيولوجية وقابلية الجسم على امتصاصه وايضه وخصائصه المضادة للأكسدة (Laudadio و Tufarelli، 2016)، إذ يخفض من تحول الدهون إلى بيروكسيدات ويخفض من الأضرار التي تحدث للخلايا نتيجة تأثير هذه الجذور الحرة، كما انه يزيد من نشاط وكفاءة إنزيم جلوتاثيون بيروكسيديز (GPX) (Ghanbari وآخرون، 2016). ويساهم بحماية الفيتامينات الأخرى الذائبة في الدهون وخاصة فيتامين A وD3 والكاروتينات من التلف وتقليل الإصابة بالأمراض السرطانية، وينظم عمل الغدة النخامية في قاعدة الدماغ ويؤثر في عملية تحليل الهرمونات التناسلية ويساعد على نمو الأجنة ويقوي القلب والأوعية الدموية (Hattfied وآخرون، 2001؛ Subasree، 2014)، ويزيد الحيوانات المنوية عند الذكور ويقويها وهو عنصر مهم في العديد من مستحضرات التجميل لأنه يحمي الجلد من الآثار الضارة المختلفة للإشعاع الشمسي ويعالج الشيخوخة ويعزز الاستجابة المناعية ويحمي الجسم من الاجهاد والأمراض (Rizvi وآخرون 2014؛ Keen و Hassan، 2016). وقد ذكر Adams (1993) بان هذا المركب يوجد فقط في البلاستيدات الخضراء، اذ يجري تخليقه الحيوي فيها، فهو يحافظ على اغشيتها من الاكسدة اثناء عملية البناء الضوئي ولا يتواجد في الساييتوبلازم.

ومن المركبات النشطة ذات الفعالية السريعة في تنبيه القلب مركب Calotropine وهو من مجموعة مركبات الكلايكوسيدات الاستيرويدية صيغته الكيميائية ($C_{29}H_{40}O_9$) يوجد هذا المركب في معظم الخلايا وتعد عضلات القلب الهدف الرئيس لتأثير هذا المركب الذي يؤدي الى التقليل في عملية التوصيل الكهربائي في القلب مما يؤدي الى نشاط غير طبيعي وأخيراً توقف نشاط القلب؛ نتيجة لتثبيط مضخة الصوديوم بوتاسيوم في أغشية الخلايا والمسؤول عن إنتاج الطاقة اللازمة لتبادل أيونات الصوديوم والبوتاسيوم عبر أغشية الخلايا ($Na^{+}-K^{+} ATPase$) (Agrawa وآخرون، 2012). لذا فالجرعات السامة تؤدي الى خلل في النظم وإرباك في متوسط التوصيل خلال عضلة القلب بينما الجرعات المنخفضة ذات تأثيرات علاجية therapeutic effect لعلاج أمراض القلب الأوعية الدموية (Sharma، 2015). والجرعة القاتلة منه للفئران تقدر بحوالي 0.12 ملغم.كغم⁻¹، ومن الدراسات التي تناولت هذا المركب دراسة للباحث Mo وآخرون، (2016) ذكر فيها تثبيطاً للحيوانات المنوية وإجهاداً للفئران الحوامل نتيجة معاملتها بهذا المركب.

في دراسة للباحثة Mohamed واخرون، (2015) ذكرت عزل 11 مركباً من المركبات التي تؤثر في عمل القلب Cardenolides من نبات الديباج والتي يعزى لها سمية هذا النبات وهي calotropin و uscharin و calotoxin و calactin و Gomphoside و Asclepiain و Uscharidin و Afroside و Proceragenin و Syrogenin. وأظهرت هذه المركبات في الآونة الأخيرة خصائص واعدة في علاج مختلف الأمراض بما في ذلك السرطان Gurung واخرون، (2016) والتليف الكيسي وضمور العضلات وغيرها من الأمراض (Krishna وآخرون 2015).

3-2: الأهمية الاقتصادية للنبات Economic Importance of the Plant

وضعت الولايات المتحدة نبات الديباج على رأس مائة نوع من النباتات التي يمكن الاستفادة منها لإنتاج (الميثان)، عن طريق التخمير اللاهوائي لإنتاج الوقود الحيوي السائل في المناطق شبه القاحلة لقدرته على إنتاج 90 طن. هكتار⁻¹ محصول لمرتين سنويا (Payal و Sharma، 2016). وله مستوى عال من إمكانات التجدد، إذ أنه يحصد 4 مرات في السنة ولا تحتاج زراعته إلى أراضي خصبة (Doshi واخرون، 2012 و Hassan واخرون، 2015). وهو مصنع ينتج الهيدروكربونات التي تكون نسبة الكربون إلى الهيدروجين مماثلة لتلك التي في النفط الخام والقيمة الحرارية لها يمكن أن تقارن مع النفط الخام وزيت الوقود والبنزين ويمكن تحويلها إلى بدائل وقود الديزل والذي يتصف بأنه خالٍ من أكاسيد النيتروجين، وثنائي أكسيد الكبريت والجسيمات العالقة (Garg و Kumari، 2013).

تستعمل الشعيرات الحريرية التي تتواجد بالثمار لحشو الوسائد ويستعمل بديلاً عن القطن والصوف للأغراض الجراحية ويستعمل الخشب في المناطق الصحراوية الفقيرة وقوداً للطهي وفي صناعة الفحم. والسيقان ذات الليف قوية مفيدة في صناعة الحبال والسجاد وخيط الخياطة وشباك صيد السمك التي تتميز بمقاومتها للماء العذب والمالح، وفي إيران تستعمل الألياف تجارياً في تدعيم اللدائن الحرارية إذ يقدر المتوسط السنوي لإنتاج الألياف بـ (500 كغم. هكتار⁻¹)، (Schmelzer و Gurib Fakim، 2013). و صناعة الورق، ومستخلص الأوراق لإنتاج الجبن الإفريقي المعروف بـ (Wara) والعصارة اللبنيّة في صناعة المطاط إذ إن السائل اللبني يحتوي على 11-23% من المطاط (Sharma و Payal، 2015 و Adewumi و Akinloye، 2015 و Orhevba و Taiwo، 2016).

يستعمل قلف السيقان في الهند في إزالة الشعر من الجلود ودباغتها كما يستعمل الفحم لتصنيع البارود ويستعمل السائل اللبني لسم السهام والرماح (Doshi واخرون، 2012 و Lopéz وآخرون 2017). وهو غذاء للجمال والاعنام والماعز خاصة الأزهار والبراعم الفتية في أوقات الجفاف وهو

من النباتات المقاومة للاجهادات المائية والملحية (Ibrahim ، 2013). ويعد من النباتات الواعدة في مكافحة التلوث لقدرة نظامه الجذري على امتصاص العناصر الثقيلة مثل الكاديوم Cd و السيلينيوم Se من دون حدوث ضرر فسلجي له، ويعد النبات مثاليا لرصد انبعاثات غاز ثنائي أكسيد الكبريت من الهواء اذ يعد مؤشراً حيوياً على مدى التراكم الحيوي للرواسب الملوثة عن طريق المغذيات والمعادن ويعزز رطوبة التربة ويعمل على استقرارها ويزيد محتواها العضوي اذ يعد محصول للسماذ الأخضر (Al- Qahtani ، 2012 و Abdullatif وآخرون، 2016 و Galal وآخرون، 2016 و Moustafa و Sarah 2017). واخذ هذا النبات مكان الصدارة في بعض الدول بسبب استعمالاته الدوائية والقيمة الاقتصادية له فهو مصدر رزق لفقراء الصحراء وعلاج وشفاء لسكان المدن (Payal و Sharma، 2015).

4-2: تقانة النانو Nano-Tecnology

تعد هذه التقانة ثورة علمية جديدة يقف عليها العالم اليوم لا تقل أهمية عن الثورة الصناعية التي نقلته إلى عصر الآلات والصناعة أو الثورة التكنولوجية التي نقلته إلى عصر الفضاء، تكنولوجيا النانو الجديدة أصبحت محط اهتمام العالم بشكل كبير، وهي تكنولوجيا المواد أو الدقائق المتناهية الصغر أو ثورة النانو تكنولوجي؛ فهي تقانة واعدة تبشر بقفزة هائلة في جميع فروع العلوم (صالح، 2015). إذ أصبح بالإمكان إنتاج دقائق متناهية الصغر من عناصر مختلفة قادرة على أن تقدم للبشرية ما لم تستطع الجزيئات العادية تقديمه بفعل تغيير الخواص الكيميائية والفيزيائية للمواد النانوية عن الأحجام الجزيئية للمواد وهذا ما أدى إلى زيادة تنافس الشركات في تصنيع هذه المواد التي انتشر في الآونة الأخيرة استعمالها في كافة مجالات صناعة الملابس والدواء والغذاء والمواد الأخرى لاكسابها الملمس والطعم والمذاق المفضل وفي المجال الزراعي في زيادة الإنتاج وامتد استعمالها في إنتاج المخصبات والأسمدة من أجل تقليل الفقد منها عند التطبيق وسرعة تأثيرها ووصولها إلى ما لم تستطع الجزيئات العادية الوصول إليه (الوكيل، 2013 و Khan وآخرون 2017a).

1-4-2: التعريف بالنانو Identification of Nano

كلمة نانو Nano مصطلح مشتق من اللغة اليونانية القديمة وتعني قزم، والمصطلح مشتق أيضاً من الكلمة الإغريقية Midget التي تعني دقيق أو صغير أو قزم، وفي مجال العلوم فإن مصطلح نانو يعني مواد تبلغ أبعاد دقائقها جزءاً من المليار من المتر (10^{-9} م)، وتستعمل هذه الوحدة للتعبير عن أبعاد الأقطار ومقياس ذرات أو دقائق المواد المركبة والجسيمات المجهرية (الإسكندراني، 2010 و Varner، 2010 و Raab وآخرون، 2011).

وتُعرّف المواد النانوية Nano materials بأنها تلك المواد التي تبلغ أحجام دقائقها (أبعادها الداخلية) بين (1 – 100) نانومتر، وبفعل صغر حجم تلك المواد فإنها تسلك سلوكاً مغايراً لسلوك

المواد التقليدية الكبيرة في حجم جزيئاتها، وكذلك في خواصها الفيزيائية والكيميائية (Mazaherinia وآخرون، 2010 و Ghorbani وآخرون، 2011 و Duhana وآخرون 2017).

2-4-2: أهمية المواد النانوية Importance of Nanomaterials

تعد تقانة النانو من أسرع التقانات تطوراً، وهي قد تصبح القوة ذات التأثير الأكبر في التكنولوجيا منذ اكتشاف شبكة الإنترنت؛ إذ أن المادة عندما تكون في حجم أقل من 100 نانومتر تظهر لها خواص جديدة ومخالفة لخواصها المعروفة وفي صورتها الجزيئية الطبيعية (المطيري، 2012 و Ruttkay-Nedecky وآخرون 2017). وهناك عاملان أساسيان في اختلاف سلوك المادة على المستوى النانوي الأول عند زيادة المساحة السطحية للمادة فإن عدد دقائقها الموجودة على السطح يزداد والتي تؤدي بدورها إلى زيادة تفاعل المادة وتصبح ذات نشاط كيميائي أعلى، أما العامل الثاني فهو أن التأثيرات الكمية تظهر بوضوح في هذه المواد عندما تكون على المستوى النانوي، وهذه المواد لم تعد تخضع لقوانين الفيزياء الكلاسيكية بسبب أبعادها الصغيرة التي تقترب من أبعاد الذرة لذا فإنها تخضع لقوانين فيزياء الكم والذي ينعكس على خواصها، الأمر الذي يؤثر بدوره في السلوك البصري والكهربائي والمغناطيسي والميكانيكي للمواد (فيربر، 2008 و White وآخرون، 2013 و Golovina و Kustov، 2013). لذلك فإن تقانة النانو تهتم بإنتاج المواد من خلال التحكم الدقيق في جزيئاتها وذراتها وتوجيهها إلى وجهتها المقصودة لإنتاج مواد ذات صفات محددة فيما يعرف بالتصنيع الجزيئي، فمثلاً التحكم في توجيه الدقائق النانوية في النبات عند التفاعل قد يؤدي إلى زيادة الإنتاج للنبات إذ تكون المواد الناتجة من تقانة النانو أكثر دقة ونقاء وقوة وصلادة من المواد الطبيعية (الدوسري، 2012 و Duhana وآخرون 2017).

2-4-3: الخصائص المميزة للمواد النانوية Properties of Nanomaterials

هناك الكثير من الخصائص الفيزيائية والكيميائية والميكانيكية التي تتميز بها المواد النانوية عن المواد الطبيعية أو المواد ذات الأبعاد الكبيرة؛ إذ نجد أن المواد عندما تكون بهيئة نانوية من (1-100) نانومتر فإنها تُظهر خصائص مغايرة تماماً لخصائصها عندما تكون في حالتها الإعتيادية (Phogat وآخرون، 2016 و Khan وآخرون، 2017b). ومن الخصائص الفيزيائية المميزة للمواد النانوية هي التغير أو القدرة على تغيير الخواص الضوئية عندما يتغير حجم هذه الجسيمات وأشكالها، ومن الخصائص غير الاعتيادية للمواد النانوية هي خاصية الصلابة؛ إذ وجد أن صلابة المواد النانوية تتغير نتيجة صغر حجم الحبيبات المكونة لها والتي تؤدي إلى زيادة المساحة السطحية فتزداد صلابة المواد الفلزية ومقاومتها للاجهاد الواقع عليها، كما تمتلك المواد النانوية نشاط كيميائي كبير نتيجةً لزيادة المساحة السطحية ووجود عدد كبير من الذرات على الأسطح الخارجية لهذه المواد مما تزيد من تفاعلاتها الكيميائية (المطيري، 2012 و Agrawal و Rathore، 2014).

The biological importance of iron

2-4-4: الأهمية الحيوية للحديد

تؤدي الدقائق النانوية أدوراً مهمة في مجالات عدّة لعلوم الحياة منها الطب والصيدلة والحيوان والنبات ففي المجال الطبي يجري تشخيص الأمراض وتوجيه العقاقير إلى مواقع تأثيرها باستعمال دقائق الحديد النانوية ، فضلاً عن علاج العديد من الأمراض والاضطرابات، كما تستعمل في الكشف عن الأمراض بواسطة تقانة التصوير بالرنين المغناطيسي (MRI) والاستشعار الحيوي عن بعد وعلاج ارتفاع درجة حرارة الجسم البشري (Montenegro وآخرون، 2013 و Kostevsek وآخرون، 2015 و Vilas-Boas وآخرون، 2015). وبينّ Sutens وآخرون (2016) إنّ استعمال دقائق الحديد النانوية في الطب الحيوي يأتي من خواصها المغناطيسية مبيّناً التناسب الطردي للعزم المغناطيسي مع حجم تلك الدقائق ضمن المدى المسيطر عليه حيويّاً والذي يتراوح ما بين 7.6 – 19.0 نانومتر. كما ذكر Montenegro وآخرون (2013) بان مركبات الحديد النانوية لها القدرة على تحطيم الملوثات العضوية وقتل مسببات الأمراض الميكروبية لذلك تستعمل في علاج المياه الملوثة، وتعقيم المياه. وأسمدة النانو هي الأدوات المهمة في الزراعة لتحسين متوسطات نمو المحاصيل والغلة والجودة مع زيادة كفاءة استعمال المغذيات، والحد من هدر الأسمدة وتكلفة الزراعة (Singh وآخرون 2017). وتعد الأسمدة النانوية فعالة جداً في إدارة المغذيات الدقيقة في الزراعة مع مرحلة نمو المحاصيل من أجل تطبيق المغذيات وتوفيرها طوال مدة نمو المحاصيل (Phogat وآخرون، 2016). ان استعمال مركبات نانو الحديد في التطبيقات الزراعية يكون أكثر فعالية من حيث استهدافها لأماكن عملها وأقل كلفة من المركبات التقليدية مثل استعمال $(FeSO_4)$ كما ان استعمالها يقلل من الآثار الضارة لتلك المركبات على البيئة (Pozveh وآخرون، 2014 و Siva و Benita ، 2016). وبما أنّ لكل عنصر وظائف أيضاً محددة له في النبات، فإن نقصه (الحديد) يؤدي إلى اضطرابات أيضية تؤدي إلى الحد من نمو ذلك النبات وتطوّره، فضلاً عن انخفاض جودة منتج، ومن الدلائل على ذلك ما يمثله القصور الغذائي لنقص الحديد الذي هو أحد العناصر الصغرى المهمة التي يحتاجها النبات و ثالث المغذيات الأكثر تحديدا لنموه والتمثيل الغذائي بعد النتروجين والفسفور (Siva و Benit، 2016).

2-4-5: تأثير نانو الحديد في النمو والمحتوى المعدني والعضوي للنبات

وجد Briat وآخرون (2007) بأن 80% من الحديد الموجود داخل خلايا النبات يشترك بعملية البناء الضوئي فهو ضروري في تركيب الكلوروفيل بالرغم من أنه ليس مكوناً له، ويحافظ على هيكل البلاستيدات الخضراء ووظائفها، وهو أحد مكونات بروتينات الفيريديوكسين (Ferredoxin) والسايوكروم (Cytochrome) التي تشارك في تفاعلات هذه العملية. يحتاج النبات لعنصر الحديد في عمليات التنفس وتحويل الكربوهيدرات وغيرها من المركبات إلى جزيئات طاقة

بشكل أدينوسين ثلاثي الفوسفات (ATP) إلى جانب دوره في عملية تثبيت النتروجين واختزال النترات (Rout و Sahoo، 2015، Burke و اخرون 2015 و Kim و اخرون ، 2015). وذكر Barker و Stratton (2015) بأن الحديد يشترك بوصفه مساعداً إنزيمياً Co-enzyme لـ 140 إنزيماً فضلاً عن كونه جزءاً من مكونات مضادات الأكسدة الإنزيمية (Catalase و Peroxidase) الحامية للخلايا من الجذور الحرة الناتجة عن عمليات الأكسدة.

وذكر البشبيشي وشريف (1998) ان الحديد الميسر للنبات (الذائب) في المحلول الارضي يوجد على هيئة صورة معدنية مثل $Fe(OH)^{+2}$ و $Fe(OH)_2^{+}$ و Fe^{+3} و Fe^{+2} أو على صورة عضوية ذائبة مثل معقدات الحديد العضوية Fe-organic complexes وان Fe^{+2} هي الصورة النشطة حيوياً داخل النبات وكما هو معروف فإن غالبية الترب بأنواعها المختلفة لا تفتقر إلى الحديد بقدرٍ إفتقارها إلى شكله القابل للتبادل Exchangeable والذوبان Soluble form.

كما يتأثر الحديد المتاح للامتصاص من التربة بالرغم الهيدروجيني pH إذ يكون أكثر وفرةً في الترب الحامضية منها في الترب القاعدية والمتعادلة التي يكون فيها غير قابلٍ للذوبان فضلاً عن المحتوى العضوي والرطوبي للتربة (Hsieh و Waters، 2016). ومع ذلك فيمكن تعديل هذه الخاصية بواسطة التلامس المباشر بين جذور النباتات وجزيئات التربة الحاوية على الحديد إلى جانب ذلك فإن وجود النحاس والمغنيسيوم في التربة يعمل على خفض متوسط امتصاص الحديد بواسطة النبات نتيجةً لحدوث ظاهرة التضاد بين العناصر (Rasool و Ahmad، 2014، Pii و آخرون 2015).

يؤدي نقص الحديد في التربة إلى اصفرار الأوراق الحديثة للنبات بينما تبدو الأوراق المُسنَّة طبيعية، وهذا دليلٌ على أن الحديد من العناصر الساكنة غير المتحركة في النبات أو إنه أقل العناصر قدرةً على الحركة داخل النبات؛ إذ تظهر أعراض نقصه على أوراق الأعشاب بخطوط صفراء أو بيضاء ونتيجةً لذلك فإن إضافته قبل موت أنسجة النبات يمكن أن تُحسِّن من الشكل الظاهري للنبات إلا أن إنتاجيته قد لا تُسترجع بالكامل في الموسم عينه (Erskine و آخرون 1993 و Yousefzadeh و Sabaghnia، 2016 و Tudor و آخرون، 2017).

وإن إحدى طرائق معالجة نقص الحديد هي استعمال الحديد المخليبي (EDTA) Ethylene Di-amin Tetra acetic Acid ومركباته الحاوية على نسبة 9-12% منه والتي تحفظ الحديد بصورة مُيسَّرة لامتصاص النبات فضلاً عن تسهيل انتقاله داخله (النبات)، إلى جانب سهولة ذوبانها وعدم تتحللها في التربة وعدّها النوع الأفضل في حالة الأراضي القلوية والرملية (الشاذلي، 1999 و Rui و اخرون، 2016). فهي أي المركبات المخليبية من الوسائل المتبعة لمعالجة نقص العناصر الصغرى لاسيما في الترب العرافية ذات الطبيعة الكلسية والتفاعل القاعدي الذي تتعرض فيه العناصر

الصغرى إلى التثبيت نتيجةً لارتباطها على سطوح دقائق الطين بشدة إذ يصعب معها امتصاصها عن طريق الجذور ومن ثمّ عدم تحقيق الفائدة منها (علي، 2012).

بيّن El-Nasr وآخرون (2015) أن معاملة نبات الكمثرى *Pyrus serotina* L بثلاثة تراكيز (25 و 125 و 250 ملغم/لتر¹) من نانو الحديد أدى إلى زيادة في مؤشرات النمو الخضري كارتفاع النبات وقطر الساق والمساحة الورقية والوزن الجاف للنبات فضلاً عن المحتوى العضوي في الأوراق المتمثل بالكربوهيدرات الكلية والأحماض الأمينية الكلية ومحتوى الأوراق من الكلوروفيل والنيتروجين والحديد، كما لاحظ أن التركيز 250 جزءاً بالمليون كان أفضل التراكيز من حيث تحقيق أفضل النتائج في المؤشرات سابقة الذكر. وجد Farahani وآخرون (2015) أن إضافة نانو الحديد المخلي بثلاثة تراكيز 0 و 5 و 10 كغم/هكتار¹ مع ماء الري إلى نبات الزعفران *Crocus sativus* L. أدى إلى زيادة عدد الأزهار ووزنها والحاصل عند التركيز 10 كغم/هكتار¹ وتميز التركيز 5 كغم/هكتار¹ بزيادة الوزن الجاف للنبات والأوراق وتركيز الحديد الكلي في الأوراق والمحتوى الأعلى من الكلوروفيل وجد عند معاملة المقارنة ولا توجد فروق معنوية بين تركيزي الحديد المخلي من حيث التأثير في محتوى الأوراق من الكلوروفيل. وقد توصل Kaviani وآخرون (2016) إلى أن معاملة نبات زهرة بنت القنصل *Euphorbia pulcherrima* بخمسة تراكيز من نانو الحديد المخلي (0 و 0.9 و 1.8 و 3.6 و 4.5) ملغم/لتر¹ أدى إلى زيادة معنوية في ارتفاع النبات حيث بلغ أعلى ارتفاع 49.46 سم عند المعاملة 4.5 ملغم/لتر¹، وكان أعلى متوسط لعدد الجذور عند المعاملة 3.6 ملغم/لتر¹ بلغ 9.46 جذراً وتفاوتت نفس المعاملة بمحتوى الأوراق من الكلوروفيل إذ بلغ 6.61 ملغم/لتر¹ ووزن طري مقارنة بمعاملة المقارنة التي بلغت 3.09 ملغم/لتر¹ ووزن طري على التتابع.

وجد Badi وآخرون (2012) فروقا معنوية في الصفات المدروسة لنبات الريحان *Ocimum basilicum* L. عند إضافة أربعة تراكيز من نانو الحديد المخلي رشا على الأوراق (0 و 0.5 و 1 و 1.5) غم/لتر¹ إذ بلغ أعلى متوسط لارتفاع النبات وعدد الافرع لكل نبات والوزن الجاف للأزهار لكل نبات عند المعاملة 1 غم/لتر¹، مقارنة بمعاملة المقارنة. بينما لم تسجل تراكيز نانو الحديد المكونة من (0.5 و 1.5) غم/لتر¹ فروقا معنوية فيما بينها في صفة عدد الأوراق إذ بلغت (18.08 و 16.10 ورقة/نبات¹) على التتابع، مقارنة بمعاملة المقارنة 13.2 ورقة/نبات¹. وأشار Bozorgi (2012) إلى أن استعمال نانو الحديد المخلي رشا على أوراق نبات الباذنجان *Solanum melongena* L. بثلاثة تراكيز (0 و 1 و 2) غم/لتر¹ أدى إلى زيادة معنوية لجميع الصفات المدروسة وسجل أعلى متوسط لارتفاع النبات وعدد الافرع وعدد الثمار عند المعاملة 2 غم/لتر¹ مقارنة بمعاملة المقارنة. كما ذكر Nadi وآخرون (2013) أن لاستعمال نانو الحديد المخلي رشا

على أوراق نبات الباقلاء *Vicia faba* L. بخمسة تراكيز (0 و 2 و 2 و 4 و 6 غم.لتر⁻¹) تأثيراً معنوياً يزداد بزيادة التركيز في حاصل البذور 467.7 غم² والنسبة المئوية لبروتين البذور بلغت 19.3 % والكلوروفيل الكلي 4.52 ملغم.غم⁻¹ التي بلغت اقصاها عند النباتات المعاملة بالتركيز 6 غم.لتر⁻¹ ، بالمقارنة بمعاملة المقارنة، بينما كان أعلى محتوى للأوراق من الحديد 0.75 ملغم.غم⁻¹ عند النباتات المعاملة بالتركيز 4غم.لتر⁻¹. وأشارت Karimi وآخرون، (2014) الى ان استعمال نانو الحديد المخلي بالتراكيز العالية مثبط لنمو النبات عندما استعملوا خمسة تراكيز (0 و 10 و 50 و 100 و 250) ملغم.لتر⁻¹ إضافة الى التربة، اذ ان التركيز 250 جزءاً بالمليون كان ذا تأثير مثبط للصفات الكمية والنوعية لنبات الماش *Vigna radiate* L. وإن أعلى متوسط للوزن الطري للأوراق 1.53غم عند المعاملة 10 جزء بالمليون وأعلى متوسط لارتفاع النبات والوزن الجاف للأوراق (30سم و 0.323غم) على التتابع عند المعاملة 50 جزءاً بالمليون، بينما لم تكن هناك فروق معنوية بين تراكيز النانو الاربعة بالنسبة لطول الجذر بالمقارنة مع معاملة المقارنة. وذكرت الباحثة نفسها ان أعلى محتوى إنزيمي كان لإنزيم Ascorbate peroxidase و Catalase عند المعاملة 10 ملغم.لتر⁻¹ والذي أعطى أعلى محتوى من البروتين.

وفي دراسة للباحث Pariona وآخرون (2016) ذكروا فيها بان استعمال نانو الحديد الحبيبي رشا على أوراق نبات الذرة الصفراء بخمسة تراكيز (0 و 1 و 2 و 4 و 6) غم.لتر⁻¹ ادى الى زيادة معنوية تناسبت طرديا مع زيادة التركيز في كل من ارتفاع وطول الأوراق والكلوروفيل والوزن الجاف للجذر والمجموع الخضري ووزن 1000بذرة مقارنة بمعاملة المقارنة. ولاحظ ايضا ان استعمال التركيز 6 غم.لتر⁻¹ كان مثبط لنمو النبات. وفي تجربة اخرى للباحث Boghori، (2016) على نبات السمسم *Sesamum indicum* L. توصل فيها الى ان استعمال ثلاثة تراكيز من نانو الحديد المخلي (10 و 20 و 30) كغم.هكتار⁻¹ رشا على الأوراق ادى الى زيادة معنوية في بعض الخصائص النوعية والكمية مثل ارتفاع النبات والنسبة المئوية لبروتين البذور ووزن ألف بذرة مقارنة مع المقارنة. وأظهرت دراسة Yousefzadeh و Sabaghnia (2016) بأن استعمال نانو الحديد بأربعة تراكيز (0 و 1 و 2 و 3) غم. لتر⁻¹ على نبات راس التنين *Dracocephalum moldavica* L. أدت إلى زيادة عدد فروع النبات عند التركيز 1 و 3غم.لتر⁻¹ بينما تفوق التركيز 1غم.لتر⁻¹ في الوزن الجاف للنبات والتركيز 2غم.لتر⁻¹ في محتوى الأوراق من الكلوروفيل والفلافونات الكلية والذي تفوق على التراكيز الأقل والأعلى منه في تلك الصفتين.

The biological importance of zinc

2-4-6: الأهمية الحيوية للزنك

يستعمل نانو الزنك على نطاق واسع في مستحضرات التجميل والمواد الغذائية وكثير من التطبيقات البيولوجية والدوائية، فهو عامل مضاد للجراثيم، ينظم المناعة وتكاثر الحيوانات ويعزز النمو، واثبت عدد من الدراسات التي أجريت على الإنسان والحيوان ان استعمال مركبات نانو الزنك باعتبارها مكملات معدنية تعطي نتائج أفضل من مصادر الزنك التقليدية كما يمنع التلوث البيئي بشكل غير مباشر (Swain وآخرون، 2016). وتتميز مركبات الزنك النانوي بسطوح تفاعلية كبيرة وسهولة الذوبان والانتشار مما يجعلها متاحة أكثر للنبات فهو من المغذيات الدقيقة الضرورية لجميع الكائنات الحية. يحتاجه النبات بكميات ضئيلة الا انه يخلق عدم توازن فسيولوجي إذا لم يكن متوفرا بالكمية المطلوبة لأنه منشط لأكثر من 300 إنزيم مقسمة في ستة اصناف مختلفة وهي isomerases ، lyases ، hydrolases ، transferases ، oxidoreductases و ligases (McCall وآخرون، 2000 و Esfandiari وآخرون، 2016). ذكر Sharma وآخرون (1994) دور الزنك بعملية البناء الضوئي حيث يشترك في التفاعلات الحيوية اللازمة لتشكيل الكلوروفيل والكاربوهيدرات ويشترك عاملا مساعدا لعمل إنزيم Carbonic anhydrase الذي يأخذ دور منظم buffer للرقم الهيدروجيني داخل البلاستيدات الخضراء ومن ثم يحافظ على البروتينات من فقدان طبيعتها الحيوية. وهو ايضا ضروري لبناء التربتوفان الذي يعد اللبنة الاساسية في المسار الحيوي لتخليق الأوكسين (IAA و Green، 2016).

وينظم وظائف الثغور من خلال تنظيم محتوى البوتاسيوم في الخلايا (Samreen وآخرون، 2013). وله دور في إدارة أنواع الأوكسجين التفاعلي وحماية الخلايا النباتية من ضغوط الأوكسدة (Amiri وآخرون، 2016 ؛ Venkatachalam وآخرون 2017). وهناك من يعتبر الزنك رابع أهم العناصر الغذائية التي تحدد الحاصل بعد النيتروجين (N) والفسفور (P) والبوتاسيوم (K) (Green و Das، 2016). ويلعب دوراً مهماً في إنتاج الكتلة الحية (Khairi وآخرون، 2016) وتكوين الأحماض النووية والبروتينات وتكوين حبوب اللقاح والإخصاب والإنبات (Hegazy وآخرون، 2016).

إن نقص الزنك نادر في المحاصيل الزراعية ومع هذا نجد أشجار الفاكهة أكثر تعرضا له من غيرها من المحاصيل ويحدث في التربة الرملية بسبب الترشيح وفي التربة العضوية يحبس مع المواد العضوية في مركبات معقدة. ويترسب الزنك في الترب القلوية ذات درجة حموضة pH أكثر من 7.5 والترب ذات التركيز العالي من الفوسفات (Green و Das، 2016). يتأثر امتصاص الزنك من قبل النبات بدرجات الحرارة، ويعد من العناصر غير المتحركة في النباتات فهولا ينتقل بسرعة كافية من الأنسجة القديمة إلى الأنسجة الفتية بعد استنفاد الزنك المتاح من التربة (Bartóg وآخرون، 2016).

يعاني النبات من نقص الزنك عندما يكون نصف الورقة غير متمائلين في الحجم مع ظهور بقع صفراء اوبيضاء فيما بين عروق الأوراق ، وبنفس الوقت فإن الأوراق العلوية تبدو صغيرة الحجم ولها شكل التورد (rosette-shape) نظرا لتقزم السلاميات، وفي حالة النقص الحاد تأخذ كل النبتة اللون الأصفر (Paramo, 2015). وهناك أنواع مختلفة من المركبات التي تعد مصدراً للزنك وأكثرها فاعلية المركبات المخيلية خاصة في الترب القلوية لأنها تتميز بقدرتها العالية على الذوبان في الماء وصعوبة تثبيتها في التربة وبالتالي تيسيرها للنبات، كما تتميز بقدرتها العالية على مقاومة الفقد بالغسل، وان التطبيق الورقي لها أفضل من الاضافة للتربة (باركر، 2014).

2-4-7: تأثير نانو الزنك في النمو والمحتوى المعدني والعضوي للنبات

لاحظت الباحثة Najafivafa وآخرون (2015) ان الرش الورقي لنانو الزنك المخلي في أربعة مستويات (0 و 50 و 100 و 200) ملغم/لتر¹ على نبات الزعتر البري *Satureja hortensis* L. أدى الى زيادة معنوية في مؤشرات النمو للنبات اذ ان أعلى متوسط لقطر الساق بلغ 0.500 سم وأعلى عدد أوراق للنبات بلغ 33 ورقة/نبات¹ عند التركيز 200 ملغم مقارنة بمعاملة المقارنة كما ان التركيز سابق الذكر تفوق في محتوى الأوراق من الكلوروفيل 0.790 ملغم /لتر¹. كما ادى الرش الورقي لنانو الزنك المخلي الى تحسين نوعية الثمار لنبات الرمان *Punica granatum cv.* من حيث الزيادة المعنوية للسكريات الذائبة الكلية والمركبات الفينولية الكلية وزيادة نشاط مضادات الأوكسدة في حين لم تتأثر صبغة الانثوسيانين مقارنة بمعاملة المقارنة (Davaranah وآخرون، 2016). وذكر Burman وآخرون (2013) ان الرش الورقي لشتلات نبات الحمص (*Cicer arietinum L.*) بتركيزي 1.5 أو 10 جزءاً بالمليون بمحلول مائي من أوكسيد الزنك النانوي أدى الى افضل استجابة في الوزن الجاف عند المعاملة 1.5 جزءاً بالمليون وان التركيز 10 جزءاً بالمليون ادى الى آثار سلبية في نمو الجذور وأكد ترافق ذلك مع انخفاض نشاط الإنزيمات المضادة للأوكسدة مثل superoxide dismutase و peroxidase. كما وجد Mosanna و Behrozyar (2015) ان استعمال نانو الزنك المخلي على نبات الذرة الصفراء بطريقتي اضافة (الرش الورقي والتربة) ادى الى فروق معنوية في مؤشرات النمو نسبة الى مجموعة المقارنة اذ بلغ أعلى متوسط لامتلاء البذور عند طريقة الاضافة الى التربة 0.022 غم/يوم¹ وأعلى حاصل للبذور بلغ 852 غم/متر² عند معاملة الرش الورقي مقارنة بمعاملة المقارنة التي بلغت 505 غم/متر². وذكر Afshar وآخرون (2014) ان استعمال مركب الزنك النانوي رشا على الأوراق ادى الى زيادة حاصل نبات الحنطة وكانت الزيادة طردية مع زيادة التركيز اذ بلغ أعلى متوسط عند التركيز 60 غم /لتر¹ وكانت الأعلى في عدد البذور لكل سنبله.

5-2: التغذية الورقية Foliar Nutrition

تعني إضافة المغذيات التي يحتاجها النبات عن طريق رش محاليلها على المجموع الخضري بتركيزٍ مُعينٍ وفي وقتٍ مُناسبٍ ليتسنى للنبات امتصاصها عن طريق الثغور الموجودة في الأوراق أو عبْرَ جُدر الخلايا وأغشيتها لِتُشارك في العمليات الحيوية للنبات فتزداد صفاته الخضرية والنوعية تفادياً للمعوقات التي تُقلل من جاهزية العناصر المُغذية للنبات في التربة (Jamal وآخرون، 2007).

بيّن Mostafavi، (2012) أنّ الجفاف والاختلاف في درجة حرارة التربة فضلا عن ظروف تتعلق بالنبات نفسه كامتلاكه مجموعاً جذرياً ضعيفاً أو قليل التفرع يقتصر انتشاره على الطبقة السطحية من التربة مما لا يُمكن النبات من امتصاص المغذيات بالكمية التي يحتاجها وهنا يأتي دور التغذية الورقية في توفير تلك المغذيات.

إنّ طريقة الرش الورقي يُمكن أن تُلبي حاجة النبات الأساسية للعناصر المغذية فضلا عن انها ذات كفاءة عالية في ائصال المغذيات للنبات مقارنةً بإضافتها إلى التربة إذا ما تمّ استعمالها على وفق متطلبات النبات (El-Magd و El-Azab، 2015، و Ali وآخرون، 2016).

وعلى رغم من مميّزات التغذية الورقية إلا إنها ليست بديلاً عن التسميد الأرضي وإنما تُعد مكملةً له (Wojcik، 2004). وبيّن كل من Ali و Ali (2016) أنّ التغذية الورقية تعد مناسبة جداً من الناحية الإقتصادية؛ كونها تُقلل الحاجة إلى كمياتٍ كبيرة من المغذيات ولا سيما الكبرى منها. كما أنّ سرعة الاستجابة من الميّزات المهمة للتغذية الورقية لأنه من خلالها يُمكن إضافة المغذيات حسب حاجة النبات ومراحل نموه (Esfandiari وآخرون، 2016).

إنّ الخطوة الرئيسية في هذه عملية امتصاص المغذيات هي الإنتقال خلال الأغشية الحيوية للخلايا بناءً على الفرق في الجهد المائي؛ أي العجز في الجهد الكيميائي أو الطاقة الكيميائية أو في الضغط الإنتشاري بين محلول الرش وخلايا الورقة وتركيز العنصر (Kannan، 1986 و Minzhe، 2015). وذكر Fernández وآخرون (2013) أنّ هنالك مسالك عدّة يتم عن طريقها دخول عناصر المحاليل المغذية المستعملة بطريقة الرش الورقي، فقد يكون من خلال خلايا البشرة التي تُغلف العروق الرئيسية والثانوية للورقة أو عن طريق الثغور ثم إلى داخل الفراغات الهوائية أو من خلال التشققات التي تحدث عادةً بين طبقة الكيوتكل إذ يكون الإختراق عبر مسامات مُنفذة للماء داخل الكيوتكل. في حين أشار كل من Yeats و Rose (2013) و Fernández وآخرون (2016) إلى وجود قنوات بروتوبلازمية خارجية Ectodesmata أسفل طبقة الكيوتكل تعمل على ربط السطح الخارجي بجدران خلايا البشرة (تمتد من أغشية خلايا البشرة لتفتح أسفل طبقة الكيوتكل مباشرةً). يتضح من ذلك أنّ امتصاص المحاليل المغذية في الأوراق يتم عن طريق سطوح الأوراق، ويرى بعض الباحثين مثل Wang و Song (2008) و Zhao وآخرون (2013) و Etxeberria وآخرون (2016) إنّ الخلايا

الحارسة تكون متخصصة لنهاذ الأيونات الموجودة في محلول الرش حسب قطرها وأن السطح السفلي للأوراق أكثر أهمية في امتصاص المغذيات بسبب احتوائه على العدد الأكبر من الثغور أو القنوات البروتوبلازمية الخارجية مقارنةً بالسطح العلوي.

وقد أشار كلٌّ من Winkler و Zotz (2009) و Galavi وآخرين (2011) إلى أنّ امتصاص العناصر عن طريق الأوراق قد يتطلب صرف طاقة أي أنها عملية امتصاص حيوية (Active uptake)، ومما يُدلّل على حيوية النقل عبر الأغشية أنّ متوسط امتصاص الفسفور عند رشه على الأوراق زاد بمقدار 22% بوجود الأوكسجين ذلك لأن امتصاص الفسفور يعتمد على الطاقة الناتجة من عمليتي البناء الضوئي والتنفس.

وبيّن Fernández وآخرون (2013) و Noaema وآخرون (2016) أهمية استعمال التغذية الورقية للنبات في عدة أسباب منها تزويد النباتات بالمغذيات التي يصعب امتصاصها عن طريق الجذور مثل الكالسيوم والحديد والكبريت وغيرها من المغذيات التي تظهر غالباً كأعراض نقص على النباتات بفعل عوامل تتعلّق بالمغذيات أو البيئة المحيطة بها، وتجنّب زيادة مياه الري خاصةً في فصل الشتاء إذ تقل حاجة النبات للماء فتستعمل التغذية الورقية لإعطاء المغذيات للنبات وتقليل الرطوبة الأرضية تجنّباً للمشاكل الناجمة عن استعمال الري، وإيصال المغذيات إلى داخل النبات لتجنّب الأثر التضادي للعناصر المغذية في التربة والذي يحصل نتيجةً للتفاعلات الجانبية للعناصر المغذية مع مكونات التربة المؤدية إلى ارتباط الكالسيوم والفسفور والحديد والكبريت وغيرها من العناصر في التربة مما يؤثر في جاهزيتها للامتصاص، والحصول على نتائج سريعة إذ أن التسميد الورقي له نتائج أسرع من التسميد الأرضي خصوصاً في التربة التي توجد بها مشاكل ملوحة عالية أو قلوية أو كلسية. إنّ اختيار الوقت والتركيز المناسبين للتغذية الورقية لهما دورٌ كبيرٌ في رفع كفاءة الرش إذ تكون الاستفادة منهما أعلى ما يكون. ومن المهم في طريقة الرش الورقي تجنّب الأوقات التي يكون فيها التبخر عالياً ليتسنى للورقة امتصاص أكبر قدر ممكن من المحلول المتواجد على سطحها فكلما زاد الوقت الذي تبقى فيه المغذيات بشكل محلول على سطح الورقة كانت الاستفادة من المغذيات أكبر (Fernández وآخرون، 2013). أما في حالة جفاف المحلول على سطح الورقة بسرعة فيؤدي ذلك إلى تراكم المغذيات على السطح دون امتصاصها مما ينجّم عنه حرقاً على سطح الورقة، وتعتبر فترات المساء والصباح الباكر أفضل الأوقات للتسميد الورقي بسبب تدني درجات الحرارة فيها وقلة النسغ (Arnall وآخرون، 2012).

وعلى الرغم من ميّزات التغذية الورقية وما تضمّنته من إمكانية خلط الأسمدة مع المبيدات ومُنظّمات النمو وتوفير فرصة تقليل إستهلاك الطاقة اللازمة لإنقال أيونات العناصر ضمن النبات، إلا أنّ هنالك أموراً عدة متعلّقة بالنبات في تحديد التركيز الأمين والكفوء للمحلول المغذي المضاف

منها نوع وعمر النبات والتي يجب أن تُحظى بالاهتمام في عملية التغذية الورقية ليتم الرش بحسب الاحتياجات الغذائية للنبات وتجثُّب الرش في حال كون التربة جافة أو رطبة جداً (Hu و Schmidhalter، 2005 و Hussein و Khursheed، 2014). يؤدي استعمال الأسمدة الورقية السائلة Liquid foliar fertilizers بدلاً عن الأسمدة المعدنية إلى التقليل من التلوث الناتج عن استعمال الأسمدة المعدنية المصنَّعة ذات التأثير السلبي على التربة والبيئة (Murtic وآخرون، 2012). كما تتميز الأسمدة الورقية بأنها مزيج متكامل من العناصر الكبرى (N و P و K و S و Mg و Ca) والصغرى مثل (Fe و Cu و Zn و B و Mn و Mo) التي تكون بطبيعة غروية غير متبلورة مكونةً مزيجاً معقد التركيب ذائب في الماء (Stewart وآخرون، 2005).

ذكر كل من Camacho-Cristóbal وآخرون (2008) و Hassan وآخرون (2010) أن الأسمدة الورقية بفعل محتواها المتوازن من العناصر المغذية للنبات تؤدي إلى زيادة نشاط الأوكسينات (IAA) المحفزة لنمو النبات والجذور من خلال تأثيرها في استطالة الخلايا وتنشيط عملية التنفس وتشجيع نمو الجذور العرضية. وأوضح Osman وآخرون، (2014) أن المغذيات الورقية المتوازنة تُحسن من قابلية النبات على النمو في الترب الفقيرة والملحية مُساعدةً بذلك على نمو وتطور النباتات. وذكر Tudor وآخرون (2017) بان الأسمدة الورقية هي من أفضل الطرائق لعلاج نقص الحديد عند النبات.

2-6: الرسمدة Fertigation

الري التسميدي أو الرسمدة أو الفتركة هو اضافة المواد الكيميائية المختلفة القابلة للذوبان في الماء، مثل الأسمدة أو محسنات التربة في أنظمة الري الزراعية بما في ذلك أنظمة التنقيط أو الري بالرش التي تعد الأكثر شيوعاً في استعمال هذه الطريقة أو الاضافة في خزانات المياه والماء سيوزع السماد في التربة (Elhindi وآخرون، 2016). وذكر علي، (2012) ان مصطلح الرسمدة أو الفتركة جاء تعريباً للاسم الانكليزي Fertigation الذي هو ناتج من كلمتي Fertilization + Irrigation . ويُنقل بحسب الوثائق الأثرية ان هذا النظام استخدم من قبل البابليين في اثناء اوصول المياه العذبة الغنية بالأوكسجين والمواد المغذية الى حدائق بابل المعلقة (Hagin وآخرون، 2003).

تعد هذه الطريقة عادة أفضل الممارسات لإدارة المياه وكفاءة المواد الغذائية وتحافظ على خصوبة التربة بعد الحصاد وطريقة فعالة من حيث تقليل الكلفة في مجالات اضافة الأسمدة الزراعية. ومن أهم فوائد هذا الاسلوب أو التقانة هي اضافة العناصر المغذية بشكل يتناسب مع نمو المحاصيل بحيث يمكن تلبية الاحتياجات الغذائية لها بدقة ومن ثم تحقيق عوائد عالية (Elhindi وآخرون، 2016). علاوةً على ذلك فإنه إذا ما أُديرت بشكل صحيح يمكن أن تقلل من متوسطات استعمال

الأسمدة بشكل عام وأقل استهلاكاً للوقود وانخفاض متطلبات العمل وتقلل من الأثر البيئي الضار وتوفير المواد الغذائية في منطقة الجذر ومن ثم زيادة امتصاص العناصر وزيادة العائد من المحصول. وإن الإضافة بهذه الطريقة تكون أكثر دقة وتجانساً في محيط النظام الجذري وفي منطقة الجذور الفعالة مما يؤدي إلى زيادة كفاءة استعمال السماد ومن ثم تقليل كلف الإنتاج. وهناك إمكانية لخلط المحلول السمادي المضاف مع تراكيز صغيرة من المغذيات الصغرى التي من الصعوبة إضافتها بصورة مضبوطة ودقيقة للتربة ومن ثم الوصول إلى أعلى إنتاج باستعمال كميات أقل من الأسمدة (Muthukrishnan و Fanish، 2013).

وذكر Darwish وآخرون، (2006) و Šimůnek وآخرون، (2016) أن من أهم مزايا إضافة الأسمدة مع مياه الري هي الاقتصاد في الطاقة والتقليل من رص التربة التي من الممكن أن يتسبب من مكائن نثر السماد وتقليل فقدان المغذيات المضافة وغسلها من خلال المقارنة على كمية الماء المضافة والمقارنة على حركة العناصر المتحركة في التربة فضلاً عن الجاهزية العالية للعناصر الغذائية المضافة إذ تكون المغذيات أكثر جاهزية بشكل يتناسب مع الامتصاص، أي تكون جاهزة حيويًا، وأكثر من 95% من المغذيات تمتص بواسطة جذور النباتات ومن الأهداف المرغوبة في الري المسمد تقليل التأثير السلبي على البيئة المتسبب عن الغسل العالي للسماد خارج المنطقة الجذرية. وإن من أهم صفات السماد في الري المسمد هي الذوبان 100% بالماء والذي يتأثر بدرجة الحرارة والايصالية وكمية المياه (Chandel و Kachwaya، 2015). ومن الصفات الأخرى قدرة السماد على الحركة والتفاعل مع التربة وأوساط النمو الأخرى إذ إن الأسمدة تختلف في قابليتها على الحركة مع ماء الري المتغلغل في التربة ومن الصفات الأخرى للري التسميدي أن يكون السماد متجانساً بعد الذوبان في الماء وغير قابل للترسيب. ومن إستراتيجيات الري المسمد تجنب التراكيز العالية من السماد المضاف كي لا يحدث أي أثر سلبي في النبات وإن يضاف محلول السماد في منطقة الجذور لضمان بقاء السماد في المنطقة ذات الكثافة العالية من الجذور (Šimůnek وآخرون، 2016). وذكر Hagin وآخرون، (2003) في حالة استعمال المغذيات الدقيقة على شكل مركبات مخلبية لا ينبغي أن تكون مختلطة مع محاليل الأسمدة الأخرى أي يجب أن تستعمل محاليلها وحدها وعلى وجه الخصوص مع المحاليل الحامضية لأن هذه المركبات تتلف الحوامض.

2-6-1: تأثير طريقة الإضافة في مؤشرات النمو الخضري للنبات

توصل Bozorgi (2012) إلى أن الرش الورقي للحديد النانوي المخلبي على نبات الباذنجان بتركيزين (1 و 2) غم/لتر¹ يؤدي إلى زيادة معنوية في ارتفاع النبات وعدد الفروع والحاصل عند التركيز 2 غم/لتر¹. وتوصل Afshar وآخرون (2013) إلى النتيجة نفسها عند رش نبات اللوبيا بالحديد النانوي بربعة تراكيز (0 و 0.5 و 1 و 1.5 غم/لتر¹) إذ كان التأثير إيجابياً في الصفات كلها

التي تم دراستها والمتمثلة بارتفاع النبات وعدد الفروع ووزن 1000 بذرة. وذكر Moghadam واخرون (2012) ان استعمال الحديد النانوي المخليبي مع ماء الري على نبات السبانخ *Spinacia oleracea* L. بالتركيز (0 و 2 و 4 طن.هكتار⁻¹) ادى الى زيادة في الوزن الجاف للنبات بلغت 58% وارتفاع النبات وصلت الى 47% وان دليل المساحة الورقية وعدد الأوراق وصل الى اقصاه مع استعمال التركيز 4 طن.هكتار⁻¹ من الحديد النانوي. وقد استعمل الباحث Mohamadipoor واخرون (2013) الحديد النانوي بطريقتي اضافة مرة بالرش الورقي بالتركيز 1.08 غم لكل اصيص والثانية اضافة الى ماء السقي بالتركيز 3.25 غم لكل اصيص على نبات *Spathyphyllum illusion* توصل فيها الى ان عدد الأوراق كان مع طريقة الرسمة أعلى من الرش الورقي اما بالنسبة لارتفاع النبات فلم يكن هناك فرق معنوي بين الطريقتين بينما تفوقت طريقة الرش الورقي في الوزن الجاف للمجموع الخضري والكلوروفيل الكلي. ولاحظ Ebrahimian و Playán (2014) زيادة معنوية في كفاءة استعمال المغذيات وصلت الى (70-89)٪، عند اتباع طريقة الري المسمد مقارنة بالطرق التقليدية. وفي دراسة اخرى للباحثين Mosanna و Behrozyar (2015) استعمالها فيها نانو الزنك بطريقتي اضافة رش ورقي و اضافة للتربة على نبات الذرة، ان استعمال الاضافة الى التربة زاد من متوسط البذور الى 37% في حين ازيد الوزن الجاف للنبات بنسبة 24% مع طريقة الرش الورقي. وتوصل Zarandi واخرون (2015) الى النتيجة نفسها على نبات الذرة الصفراء *Zea mays* L. ايضا عندما استعمل نانو الزنك المخليبي بطريقة الرش الورقي اذ ادى استعمالها الى زيادة معنوية في ارتفاع النبات والكلوروفيل الكلي والوزن النوعي للورقة مقارنة بما حققته نباتات المقارنة. وذكر Davarpanaha واخرون (2016) ان الرش الورقي لنانو الزنك على نبات الرمان أدى الى تحسين الخواص الفيزيائية للثمار وزاد من محتواها من الكاربوهيدرات الكلية والفينولات وان الإنزيمات المضادة للاكسدة زادت معنويا بالإضافة الى صبغة الانثوسيانين .

7-2: الأسمدة العضوية Organic fertilizers

الاسمدة العضوية هي مواد طبيعية ذات أصل بيولوجي أو معدني منخفضة في تراكيز العناصر الغذائية أو منخفضة الذوبان أو أنها منخفضة في ذوبانها وعناصرها الغذائية معا فهي عادة مواد معتدلة، وغير كاوية Caustic ، وإذا احتكّت بالمحاصيل، لا تحرق أو تجفّ أوراق أو جذور النباتات. واستعمال الأسمدة العضوية طريقة لإعادة تدوير المواد التي قد تتلف خلاف ذلك. ومن أكثر التقانات التي توجه إليها الباحثون استعمال المخصبات العضوية ذات المنشأ النباتي الآمنة بيئياً وغير الضارة للإنسان والحيوان. تتميز هذه المواد بقدرتها على تنشيط النمو النباتي وزيادة الإنتاج مع المحافظة على أسباب السلامة والصحة البيئيتين (بوراس واخرون، 2011).

وتقسم المواد العضوية بحسب التركيب الكيميائي الى مركبات عضوية لاتحتوي على عنصر النايتروجين وتشمل (الكاربوهيدرات والسيليلوز وهيموسيلوز والسكريات الأحادية والمتعددة واللكنين والأحماض العضوية وأملاحها والدهون والزيوت) ومركبات عضوية نايتروجينية وتشمل (البروتينات والبروتينات النووية والبيبتيدات المتعددة والأحماض الأمينية والبيورينات والأحماض النووية) (Havlin وآخرون، 2005).

ان الأحماض الأمينية احد انواع الاسمدة العضوية التي تعمل بوصفها وسيطاً مهماً من اجل إكمال دورة كرب Krebs cycle التي تعد واحدة من المسارات المهمة في مجموعة التفاعلات التي يتم فيها أكسدة السكر الى ثنائي أوكسيد الكربون والماء المصاحب لتوليد الطاقة على شكل مركب ATP لذا فهي تلعب دوراً مهماً في تحفيز عمليات البناء الضوئي في النبات (Abd El-al، 2009). فضلاً عن عملها باعتبارها مضاداتٍ للأكسدة غير الإنزيمية، اذ تعمل بوصفها مادةً كاتسة للتخلص من الجذور الحرة الناتجة من الاجهادات التي يتعرض لها النبات (Esan و Fasasi، 2013). والأحماض الأمينية هي مكونات أساسية في عملية التمثيل الغذائي للنبات وتجهيزها بشكل مباشر له يزيد من تكوين البروتينات وتعد مصدراً مهماً لمركبات الأيض الثانوي وحوامل للنيتروجين العضوي بين أعضاء النبات (Dinkeloo وآخرون 2017).

2-9-1: تأثير الأسمدة العضوية في النمو والمحتوى المعدني والعضوي للنبات

أظهرت النتائج التي توصل اليها الجودري،(2014) بأن الرش الورقي لنبات الديباج بتركيز 2غم.لتر⁻¹ بالأحماض الأمينية يؤدي الى نتائج معنوية في الصفات المدروسة جميعها من ارتفاع النبات وقطر الساق وعدد الأوراق وعدد الافرع ومحتوى الأوراق من N و P و K وتركيز المادة الفعالة الـ Calotropin في الأوراق مقارنة بمعاملة المقارنة. وبين Koksai وآخرون، (1999) بان استعمال الأحماض الأمينية رشا على الأوراق لثلاث مرات خلال 15 يوم ولثلاث سنوات على أوراق نبات الكمثرى *Pyrus communis L.* اثرت معنوياً في الصفات المدروسة وتوقت معاملة الرش بالأحماض الأمينية في طول النبات ومحتوى الأوراق من الحديد والزنك والنحاس والمنغنيز . وكانت نسبة الزيادة في المحصول الكلي 64% للسنة الثالثة ، وارتفاع النبات بنسبة 70% للسنة الثالثة، وازداد محتوى الأوراق من الحديد للعام الثالث ، و نسبة زيادة محتوى الزنك بنسبة 11% للسنة الثالثة. هذا وقد أوضحت دراسة Khattab و Shaban (2012) على نبات الرمان أن تأثير الرش بالأحماض الأمينية بتركيزين (8 و 16) غم. شجرة⁻¹ يؤدي إلى تفوق العديد من الصفات الخضرية المدروسة طردياً مع زيادة التراكييز لاسيما عدد الفروع المتكوّنة حديثاً وارتفاع النبات والمساحة الورقية وعدد الأوراق لكل نبات وكذلك النسبة المئوية للمادة الجافة للمجموعين الخضري والجذري ومحتوى الأوراق من الكلوروفيل الكلي مقارنةً بنباتات المقارنة ذات المتوسطات الأقل للصفات. وأظهرت البيانات التي

توصل اليها Abdel-Mawgoud وآخرون (2011) التحسن الملحوظ في مؤشرات النمو لنبات الفاصوليا الخضراء *Phaseolus vulgaris* L. ولموسمين على التتابع عند الرش بالمنتج العضوي Manni-Plex الذي يتكون من مزيج من الأحماض الأمينية بتركيزين (1 و 2 مل.لتر⁻¹)، وهذه المؤشرات شملت ارتفاع النبات وعدد الأوراق والأوزان الرطبة والجافة بينما عدد افرع النبات بشكل كبير. وان المحتوى البروتيني كان أكثر المؤشرات استجابة لهذا المنتج في حين لم يتأثر محتوى الأوراق من الكلوروفيل لم يتأثر معنويا بالمعاملة وتميزت معاملة المقارنة بأعلى محتوى من الكلوروفيل. من ناحية أخرى ازداد محتوى الأوراق من N، P بشكل كبير نتيجة الرش الورقي بالأحماض الأمينية. وجد كاظم وكاظم، (2013) عند دراسة تأثير الأحماض الأمينية على نبات الطماطة (صنف شهيرة) رشا على الأوراق بتركيز 1 مل لتر⁻¹ بانها أعطت أعلى القيم بفروق معنوية في صفات متوسط ارتفاع النبات (سم) ومتوسط قطر الساق (ملم) وعدد الأوراق ومحتوى الكلوروفيل. وجدَ Sadak وآخرون (2015) أن معاملة نبات البأقلاء باربعة تراكيز (0 و 500 و 1000 و 1500) ملغم. لتر⁻¹ من خليط الأحماض الأمينية أدت إلى زيادة المحتوى الكيميائي للأوراق (المعدني والعضوي) المتمثل بـ K و Ca و Na و Mg والكاربوهيدرات الكلية. بينت Tarraf وآخرون،(2015) لدى معاملتها لنبات الحلبة *Trigonella foenum-graecum* L. بثلاثة تراكيز من خليط الأحماض الأمينية (0.0 و 0.625 و 1.25 غم. لتر⁻¹) رشا على الأوراق، ان رش الخليط عزز النمو الخضري لنباتات الحلبة، خصوصا مع التركيز 1.25 غم. لتر⁻¹ كما أظهرت البيانات أن النيتروجين الكلي، و النسبة المئوية للزيت الأساسي والعائد جاءت بالاتجاه نفسه. لاحظ الشمري،(2015) ان الرش الورقي لاربعة أصناف من الفلفل الأخضر *Capsicum annuum* L. بالسماذ العضوي الهيومات بتركيزين (10 و 30) غم. لتر⁻¹ لتر ادى الى تفوق معنوي في جميع الصفات المدروسة حيث بلغ أعلى متوسط لارتفاع النبات عند النباتات المسددة بالهيومك 122.92 سم بينما بلغ سمك الساق (ملم) 2.645 ملم وعدد الافرع نبات⁻¹ 9.477 فرع. نبات⁻¹ وكمية فيتامين C في الثمار 84.02 (ملغم / 100 غم وزن طري). مقارنة بالنباتات غير المسددة التي بلغ متوسط ارتفاعها 90.34 سم، 2.356 ملم و 8.774 فرعاً و 74.53 (ملغم. 100 غم⁻¹ وزن طري) على التتابع. أظهرت النتائج التي حصلت عليها معلا وآخرون، (2015) عند استعمالها المخصب العضوي "هيومكس" بطريقتي اضافة التغذية الجذرية والورقية بتركيز (2 و 4 غم.لتر⁻¹) بمتوسط ثلاث مرات على نبات الفاصوليا. تفوق طريقة التغذية الورقية بالمقارنة مع التغذية الجذرية بالنسبة لبعض المؤشرات كالوزن الجاف للنبات (6.89 غم) والمساحة الورقية (4595.44 سم²) ودليل المساحة الورقية (2.55) وعدد النورات الزهرية (15.3 نورة.نبات⁻¹) وحاصل النبات (156.9 غم.نبات⁻¹). كما ذكر Staugaitis وآخرون (2017) ان الرش الورقي للأحماض الأمينية مع النتروجين العضوي على

أوراق نبات الحنطة بتركيز 2 لتر.هكتار¹ أدى الى زيادة حاصل الحبوب في حين لم يكن لها تأثير معنوي في البروتين الخام والنشا في الحبوب.

8-2: الخواص التشريحية لساق نبات الديباج

لاحظوا Sharma وآخرون، (2011) بان البشرة تمثل الطبقة الخارجية من الساق مكونة من صف واحد من الخلايا uniseriate يغطيها كيوكل سميك وتحتوي على شعيرات أحادية متعددة الخلايا ذات شكل برميلي إلى مستطيل مرتبة بطريقة متراسة. والقشرة تتكون من عدد قليل من الطبقات والتي تتمثل بالنسيج الكولنكيمي Collenchyma مثنخ الزوايا وتحتوي على البلاستيدات الخضراء تستقر في الخلايا البرنكيمية Parenchyma وهي ذات مسافات بينية عديدة. وذكروا Rajesh وآخرون،(2014) وجود البشرة الداخلية Endodermes في الساق وهي مكونة من صف واحد من الخلايا Uniseriate تشكل حلقة متموجة حول الأنسجة الوعائية (يفصل القشرة عن الأنسجة الأساسية) والخلايا ذات أشكال برميلية مستطيلة تترتب بطريقة متراسة. شريط كاسبار مميز يفتقد الى التسمك ، مع ذلك يحوي حبوب النشا، الدائرة المحيطية Precycle تكون على شكل بقع صغيرة من ألياف النسيج السكرنكيمي قليلة الخلايا الحشوية والنمو الثانوي واضح والأنسجة الوعائية تتكون من اللحاء الابتدائي، واللحاء الثانوي، وطبقة الكامبيوم، والخشب الثانوي، والخشب الابتدائي، والخشب الثانوي الذي يشكل منطقة واسعة وكثيفة ويتكون من الأوعية والقسيبات وقطر الوعاء الخشبي 42.3 مايكرومتر تقريبا. والخشب الأولي يظهر بالقرب من اللب ويقع اللحاء أسفل الخشب الأولي في منطقة اللب وتتكون من مجاميع من اللحاء الداخلي. واذاف Hassan وآخرون،(2015) ان اللب Pith يحتل مركز الساق يتكون من خلايا حشوية رقيقة الجدران والعديد من حويصلات السائل اللبني.

وصف El-Midany،(2014) الثغور بانها متوازية مع الخلايا الثغرية وأبعادها (24.0 × 18.1) μm ، فتحة الثغرة من السطح هو 22.0 مايكرومتر مربع ، ويبلغ طوله الفتحة من 10.0 μm و عرض 2.7 μm ، في حين أن كثافة الثغور هي 105.0 مم²، والتي تعد مجموعة أنموذجية للنباتات الجفافية xerophytic.

1-8-2: تأثير نانو الزنك والسماذ العضوي في الخواص التشريحية

لاحظ Pokhrel و Dubey (2013) زيادة في طول خلايا جذر نبات الذرة في منطقة الاستطالة عندما استعمل نانو الزنك الحبيبي بالتركيز 1000 مايكروغرام.مل¹ مقارنة مع معاملة المقارنة، في حين لم يلاحظ التأثير نفسه في نبات الهانة *Brassica oleracea* var. capitata L. اذ ان خلايا جذر النبات المعامل بنفس التركيز من نانو الزنك كانت غير منتظمة وذات طول أقصر من معاملة المقارنة، وان نباتي التجربة لم يظهر اى استجابة للتركيز السابق في قطر وعاء الخشب.

Literature Review.....استعراض المراجع

في دراسة اخرى لـ Agamy واخرون (2012) على نبات الحنطة اكد فيها زيادة معنوية في النسيج السكرنكيمي والبرنكيمي عندما استعمل التركيزين (0 و15) طن.هكتار⁻¹ من السماد العضوي.

الفصل الثالث

المواد وطرائق العمل

Materials and

Methods



Materials and Methods

3- المواد وطرائق العمل

1-3: تنفيذ التجربة The Conducting Experiment

نفذت التجربة في الموسم الربيعي (2016 – 2017) بهدف تحديد إستجابة نبات الدبياج *Calotropis procera* لتراكيز مختلفة من مخصبات الحديد والزنك النانويين المخليبين وطريقة الاضافة والسماذ العضوي Drin كل على انفراد وتداخلاتها في النمو والمحتوى المعدني والعضوي والمادة الفعالة في الأوراق وبعض الصفات التشريحية. تم الحصول على بذور نبات الدبياج من كلية الزراعة جامعة القادسية. ونفذت التحاليل الخاصة بالصفات الفيزيائية والكيميائية لتربة التجربة في مختبر كلية العلوم/ جامعة بغداد كما موضَّح في جدول (1).

جدول 1: بعض الصفات الكيميائية والفيزيائية لتربة التجربة قبل الزراعة

وحدة القياس	القيمة	الصفة	
—	7.90	pH	
دسي سيمينز. م ⁻¹	6.72	EC	
%	0.64	المادة العضوية	
مايكروغرام. غم ⁻¹	10.02	N	العناصر الجاهزة
مايكروغرام. غم ⁻¹	5.83	P	
مايكروغرام. غم ⁻¹	100.14	K	
%	58	Sand رمل	مفصولات التربة
%	14	Clay طين	
%	28	Silt غرين	
مزيجة رملية Sandy loam		نسجة التربة Soil texture	

تضمَّنت التجربة ثلاثة عوامل (2 × 2 × 7) بتجربة عاملية factorial، الأول سبعة تراكيز من المخصبات النانوية وبطريقتي اضافة الرش الورقي شملت التراكيز (0 و 1 حديد و 2 حديد و 1¹ زنك و 2² زنك و 1¹ حديد + 1¹ زنك و 2² حديد + 2² زنك) غم. لتر⁻¹ والرسمدة (الاضافة مع ماء الري) شملت التراكيز (0 و 80 حديد و 160 حديد و 80 زنك و 160 زنك و 80 حديد + 80 زنك و 160 حديد + 160 زنك) ملغم. لتر⁻¹، اي التركيز الموصى وضعف الموصى به لكلا الطريقتين وحسب النشرة الارشادية المرفقة وطريقة الاضافة لتراكيز النانو تمثل العامل الثاني اما العامل الثالث فهو تركيزان من السماذ العضوي Drin (0 و 5) مل. لتر⁻¹ وبثلاثة مكررات لكل معاملة وبواقع 28 اصيص لكل مكرر. نفذت التجربة في أصص سعة

الأصيص الواحد 15 كغم تربة بأبعاد (30 × 40) سم، ملئت الاصص بترية مضاف لها البتموس بنسبة 2:1 تربة قبل الزراعة. وتمت زراعة البذور بتاريخ 2016/5/1 بواقع 3 بذرات لكل اصيص خفت الى نبات واحد بعد الانبات. أجريت عمليات الخدمة من ري الشتلات وإزالة الأعشاب يدوياً كلما دعت الحاجة لذلك. وقورنت المتوسطات حسب اختبار (Least significant differences) (LSD) على مستوى احتمال 0.05 (الراوي وخلف الله 1980).

2-3: تحضير المعاملات Treatments Preparation

1-2-3: تحضير محاليل مخصبات نانو الحديد والزنك المخلبي

Preparation of Nano Iron and Zinc fertilizer Solutions

1-1-2-3: تحضير محاليل الرش الورقي

Treatments of foliar spray

حُضِّرَت محاليل نانو الحديد المخلبي المجهز من شركة Sepehr Parmis الايرانية الحاوي على الحديد النانوي بنسبة 13%، اذ وُزِّنَ منه 1 غم و 2 غم كل على انفراد وُدُوَّبَ كل منها في 1 لتر من الماء العادي فأصبح لدينا تركيزان من نانو الحديد المخلبي هي (1 و 2) غم. لتر⁻¹ ليكون التركيز اغم.لتر⁻¹ التركيز الموصى والتركيز 2غم. لتر⁻¹ التركيز ضعف الموصى به وحسب ماورد في نشرته الارشادية (صورة 1) ، أما معاملة المقارنة فشملت الرش بالماء العادي فقط. وبنفس الطريقة تم تحضير محاليل تركيزها (1 ، 2) غم. لتر⁻¹ من نانو الزنك المخلبي والمجهز من نفس الشركة والحاوي على الزنك بنسبة 20%.

2-1-2-3: تحضير محاليل طريقة الرسمة Treatments addition with fertigation

حُضِّرَت محاليل نانو الحديد المخلبي من اذابة 80 ملغم من المخصب النانوي في 1 لتر من الماء العادي ليكون التركيز الموصى به ثم 160 ملغم في 1 لتر من الماء العادي ليكون التركيز ضعف الموصى وحسب ماورد في نشرته الارشادية اخذين بنظر الاعتبار وزن الاصيص، اما معاملة المقارنة فقد اضيف لها لتر من الماء العادي فقط . وبنفس الطريقة تم تحضير تراكييز نانو الزنك 80 ملغم.لتر⁻¹ و 160 ملغم.لتر⁻¹ لتكون التركيز الموصى وضعف الموصى وحسب نشرته الارشادية.

2-2-3: السماد العضوي (Drin) Foliar Fertilizer

إِسْتُعْمِلَ السماد العضوي السائل (Drin) ايطالي المنشأ) المستورد من قِبَل شركة ارض سبار للمستلزمات الزراعية (بغداد/ العراق) (صورة 1) والمكوّن من نتروجين عضوي وكاربون عضوي ومجموعة من الاحماض الامينية كما هي واردة في جدول (2). أُخِذَ حجم واحد من السماد الورقي هو (5 مل) وأكْمَل بالماء العادي إلى اللتر في دورق سعة 1 لتر فأصبح لدينا تركيز 5م.لتر⁻¹ من السماد الورقي وحسب نشرته الارشادية، أما معاملة المقارنة فشملت الرش بالماء العادي فقط.

جدول (2): مكونات السماد العضوي السائل Drin

العنصر	و : و (%)	و : ح (%)
النتروجين العضوي (N)	6.3	7.56
الكاربون العضوي (C)	19	22.8
مجموع الاحماض الامينية	39	46.8



صورة 2: المخصبات النانوية (الحديد والزنك) والسماد العضوي Drin

3-3: تنفيذ المُعاملات Treatments Application

رُشَّتْ تراكيز النانو أولاً وبطريقتي الاضافة (الرش الورقي) حتى الببل الكامل للاوراق و(الرسمدة) اضافة النانو الى النبات مع ماء السقي بالقرب من منطقة الجذر وبعد 72 ساعة رشّت النباتات بالسماد العضوي بعد وصول النباتات الى (6- 10) اوراق حقيقية اي بعد شهرين من زراعة البذور، وسُقيت النباتات قبل المُعاملة لِضمان كفاءتها في اِمتصاص المادة المرشوشة. اِسْتُعْمِلت المرشَّة اليدوية سعة 2 لتر في تنفيذ المُعاملات وبضع قطرات من المادة الناشرة (الزاهي) لضمان كسر الشد السطحي لمحلول الرش (الصحاف، 1989). كما تمت عملية الرش للتراكيز المستعملة في الصباح الباكر مع مُراعاة فصل النباتات وتربة الاصص بقطع من النايلون أثناء الرش لضمان عدم تطاير الرذاذ بين المُعاملات المُتجاورة وعدم وصول المخصبات الى تربة الاصص اما طريقة الاضافة الى التربة فقد اضيفت التراكيز التي تم تحضيرها سابقا بطريقة الرسمدة (اي اذابة المخصبات في لتر من

الماء العادي بحيث يكفي لسقي تربة الاصيص). تمت الإضافة للمرة الثانية بعد مرور 3 أشهر على الإضافة الأولى وأُتبعَت الخطوات نفسها المذكورة في الرشّة الأولى مع الرشّة الثانية.

4-3: الصفات قيد الدراسة Studied Characteristics

أُخذت القياسات للصفات قيد الدراسة لجميع النباتات في كُل مُكرّر من كُل مُعاملة بعد مرور شهر على الإضافة الثانية من المخصبات النانوية والسماذ الورقي وعندما كان (عمر النبات 6 أشهر)، وهي كالآتي:

1-4-3: الصفات الخضرية Vegetative Characteristics

1-1-4-3: ارتفاع النبات (سم) Plant Height (cm)

قِيَسَ ارتفاع النباتات بإستعمال المسطرة المترية ابتداءً من سطح التربة في الأصيل إلى قمة النبات ولجميع نباتات مكررات المعاملة، بعدها إستُخرج المتوسط من حاصل قسمة مجموع ارتفاع النباتات في كل معاملة على عددها.

2-1-4-3: قطر الساق (سم) Stem Diameter (cm)

قِيَسَ قطر الساق للنبات من منطقة السلامة الأولى القريبة من سطح التربة في الأصيل بإستعمال جهاز القدمة الألكترونية (Vernier Caliper Digital) صيني المنشأ لجميع النباتات من كُل معاملة، بعدها إستُخرج المتوسط من حاصل قسمة مجموع أقطار سيقان النباتات في كل معاملة على عددها.

3-1-4-3: عدد الأوراق للنبات (ورقة. نبات⁻¹)

Leaves Number per Plant (Leaf. Plant⁻¹)

حُسِبَ عدد الأوراق لجميع النباتات من كُل معاملة، بعدها إستُخرج المتوسط من حاصل قسمة مجموع عدد أوراق النباتات في كل معاملة على عدد نباتات المعاملة.

4-1-4-3: قياس المساحة الورقية (سم²) leaf area (cm²)

حُسِبَت المساحة الورقية بأخذ مساحة جميع الأوراق النباتية في كل معاملة بعد ستة اشهر من زراعة البذور ولجميع نباتات التجربة بواسطة جهاز قياس مساحة المسطح الورقي Portable Laser Leaf area métiér، امريكي الصنع والمجهز من شركة CID Bio-Science, Inc.

5-1-4-3: عدد الفروع للنبات (فرع. نبات⁻¹)

Branches Number per Plant (Branch. Plant⁻¹)

حُسِبَ عدد الفروع لجميع النباتات من كُل معاملة بعد ستة اشهر من الزراعة، بعدها إستُخرج المتوسط من حاصل قسمة مجموع عدد فروع النباتات في كل معاملة على عدد نباتات المعاملة.

6-1-4-3: محتوى الأوراق من الكلوروفيل الكلي (ملغم. غم⁻¹ وزن طري)

Leaves Content of Total Chlorophyll (mg. g⁻¹ FW)

قُدِّرَ مُحتوى الأوراق من الكلوروفيل الكلي إستناداً إلى طريقة (Mackinney, 1941)، وذلك بأخذ 1 غم من الأوراق النباتية الطرية وتقطيعها إلى قطع صغيرة ومن ثم سحقها في هاون خزفي بوجود 10 مل من الأسيتون Aceton بتركيز 80%، بعدها فُصل الراشح عن الراسب بإستعمال جهاز الطرد المركزي Centrifuge نوع Hettich EBA 35 ألماني المنشأ بسرعة 3000 دورة. دقيقة⁻¹ لمدة 15 دقيقة. كُرِّرت عملية فصل الراشح عن الراسب عدة مرات حتى زوال الصبغة الخضراء من الراسب، بعدها قيسَت الكثافة الضوئية للراشح بواسطة جهاز المطياف الضوئي Spectrophotometer (نوع Bichrom–Libra S22–UK 2005) عندَ الطولين الموجيين (663 نانومتر لكلوروفيل a و 645 نانومتر لكلوروفيل b)، وبتطبيق المُعادلة التالية حُسِبَ محتوى الأوراق من الكلوروفيل الكلي:

$$\text{Total chlorophyll (mg. g tissue}^{-1}\text{)} = [20.2(D_{645}) + 8.02(D_{663})] \times \frac{V}{1000 \times W}$$

إذ أن: V = الحجم النهائي للراشح (مل). D = الكثافة الضوئية للكلوروفيل المستخلص. W = الوزن الطري للأوراق (غم).

3-4-1-7: الوزن الجاف للمجموع الخضري للنبات (غم. نبات⁻¹)

Dry Weight of Plant Vegetative Part (g. Plant⁻¹)

حُسِبَ الوزن الجاف للمجموع الخضري للنبات بعد إقتلاعه بعناية من التربة وغسله وتنظيفه من الأتربة العالقة به بعد ذلك وُضِعَ المجموع الخضري لكل نبات داخل كيس سيلوفان ومن ثم وُضِعَ في فرن كهربائي متجدد الهواء (نوع Hirayama ياباني المنشأ) على درجة حرارة 70°م لمدة 48 ساعة لحين ثبات الوزن بعدها وُزِنَ بالميزان الألكتروني الحساس (نوع Metler HK 160 سويسري المنشأ) لإحساب الوزن الجاف للمجموع الخضري لكل نبات من نباتات المعاملة ومن ثم إستخرج متوسط الوزن الجاف للمجموع الخضري للنبات بقسمة مجموع أوزان النباتات على عددها.

3-4-1-8: الوزن الجاف للمجموع الجذري للنبات (غم. نبات⁻¹)

Dry Weight of Plant Root Part (g. Plant⁻¹)

حُسِبَ الوزن الجاف للمجموع الجذري للنبات بعد إقتلاعه بعناية من التربة وفصل المجموع الجذري عن المجموع الخضري (الفقرة: 3-4-1-7). وغُسِلَ ونُظِّفَ من بقايا الطين العالق به، بعد ذلك وُضِعَ المجموع الجذري لكل نبات داخل كيس سيلوفان ومن ثم وُضِعَ في فرن كهربائي متجدد الهواء (نوع Hirayama ياباني المنشأ) على درجة حرارة 70°م لمدة 48 ساعة لحين ثبات الوزن بعدها وُزِنَ بواسطة الميزان الألكتروني الحساس نوع Metler HK 160 سويسري المنشأ لإحساب الوزن

الجاف للمجموع الجذري لكل نبات من نباتات المعاملة ومن ثم إستخرج متوسط الوزن الجاف للمجموع الجذري للنبات بقسمة مجموع أوزان النباتات على عددها.

3-4-1-9: معدل النمو النسبي بعد الرشة الاولى (سم.سم⁻¹.اسبوع⁻¹)

Relative growth rate after primary foliar (cm.cm⁻¹.week⁻¹)

تم قياس ارتفاع النباتات بعد 8 اسابيع من الانبات وقبل معاملة النباتات بعوامل الدراسة ثم حسب ارتفاع النبات مرة اخرى بعد الرشة الاولى بـ 4 اسابيع اي عمر النبات 12 اسبوع ولجميع النباتات لكل مكرر ثم استخرج معدل النمو النسبي بالاعتماد على المعادلة وحسب ماورد في Hunt (1982) :

$$RGR = (\ln L_2 - \ln L_1) / (t_2 - t_1)$$

RGR = معدل النمو النسبي و $\ln L_2$ = اللوغارتم الطبيعي لمعدل ارتفاع النبات بعد 4 اسابيع من معاملة النبات بعوامل الدراسة (المعاملة الاولى)، $\ln L_1$ = اللوغارتم الطبيعي لمعدل ارتفاع النبات بعد 8 اسابيع من الانبات وقبل معاملة النباتات بعوامل الدراسة
($t_2 - t_1$) = تمثل الفرق الزمني بين القياس الاول والثاني لمعدل ارتفاع النبات اي 4 اسابيع، ومن ثم إستخرج متوسط معدل النمو النسبي للنبات بقسمة مجموع معدلات النباتات لكل معاملة على عددها.

3-4-1-10: معدل النمو النسبي بعد الرشة الثانية

اتبع نفس الخطوات الواردة في الفقرة (3-4-1-9) ولكن بعد الرشة الثانية اذ تم قياس معدل ارتفاع النباتات ولجميع المكررات بعد 8 اسابيع من اخر قياس للارتفاع (عمر النبات 5 اشهر) ليمثل القياس الاول لارتفاع النبات بعد الرشة الثانية وبعد 4 اسابيع من القياس الاول اخذ القياس الثاني وحسب معدل النمو النسبي بالاعتماد على المعادلة الواردة في الفقرة السابقة ولجميع النباتات من كل مكرر.

3-4-2: المحتوى المعدني والعضوي للأوراق

Mineral and Organic Contents of Leaves

3-4-2-1: النسبة المئوية للنتروجين في الأوراق (%)

Nitrogen Percentage in Leaves (%)

قيس تركيز النتروجين في عينات الأوراق بحسب طريقة (Cresser و Parson ، 1979)، وذلك بوزن 0.2 غم من المادة الجافة المطحونة ووضعها في دورق الهضم الزجاجي سعة 100 مل وأضيف لها 5 مل من حامض الكبريتيك المركز (H₂SO₄) و 2 مل من حامض البيروكلوريك المركز (HClO₄) كعامل مساعد. وضع الدورق على صفيحة التسخين ورُفعت درجة الحرارة تدريجياً إلى 420 م° (حتى أصبح المحلول رائقاً) ثم بُردَ الدورق وأكمل الحجم إلى 100 مل بإضافة الماء المقطر، بعدها أُخذَ 10 مل من الدورق وأضيفَ له 10 مل من هيدروكسيد الصوديوم (NaOH) بتركيز 40 % ووضع في أنبوبة التفاعل وتم التقطير في دورق او انبوبة حاوية على 50 مل من

محلول حامض البوريك (H_3BO_3) بتركيز 4% في جهاز تقطير النتروجين (الماكروكلدال (Macrokjeldhal) لجمع الأمونيا حتى أصبح حجم المحلول 150 مل وقُفَّت عملية التقطير. سُحِّحَ حامض البوريك الحاوي على الأمونيا مع حامض الكبريتيك (0.05 مولاري) ثم حُسِبَ حجم الحامض المُستهلك (في عملية التسحيح)، وبتطبيق المُعادلة الآتية قُدِّرَت النسبة المئوية للنتروجين الكُلِّي:

$$100 \times \frac{\text{حجم } H_2SO_4 \text{ المستهلك} \times \text{العيارية} \times 14 \times \text{حجم التخفيف}}{\text{وزن العينة} \times 1000} = N \%$$

3-2-4-3: النسبة المئوية للبروتين الكلي في الأوراق (%)

Total Protein Percentage in Leaves (%)

قُدِّرَت النسبة المئوية للبروتين الكُلِّي في الأوراق من حساب النسبة المئوية للنتروجين في الأوراق بجهاز الماكروكلدال (الفقرة: 3-2-4-3) بحسب طريقة (A.O.A.C. ، 2000) ووفق المُعادلة الآتية:

$$[\text{النسبة المئوية للبروتين الكلي في الأوراق} = \text{النسبة المئوية للنتروجين في الأوراق} \times 6.25]$$

3-2-4-3: النسبة المئوية للفسفور في الأوراق (%)

Phosphorus Percentage in Leaves (%)

قيسَ تركيز الفسفور في عينات الأوراق المهضومة بالطريقة اللونية Colorimetric method بحسب ما وصفه Pratt و Chapman (1961) وباستعمال جهاز المطياف الضوئي Spectrophotometer (نوع Bichrom – Libra S22–UK 2005) عند طول موجي 420 نانومتر، وبالإستعانة بالمنحنى القياسي للفسفور إستُخْرِجَ تركيز الفسفور ثم قُدِّرَت نسبته المئوية.

3-2-4-4: النسبة المئوية للبوتاسيوم في الأوراق (%)

Potassium Percentage in Leaves (%)

قيسَ تركيز البوتاسيوم في عينات الأوراق المهضومة بحسب طريقة Greweling و Barker (1967). وباستعمال جهاز مطياف الإمتصاص الذري Atomic Absorption Spectrophotometer (نوع Jenway – PFP7–UK 2002) عند طول موجي 766.4 نانومتر، وبالإستعانة بالمنحنى القياسي له إستُخْرِجَ تركيز البوتاسيوم ثم قُدِّرَت نسبته المئوية.

3-4-2-5: النسبة المئوية للمغنيسيوم في الأوراق (%)

Magnesium Percentage in Leaves (%)

قيسَ تركيز المغنيسيوم في عينات الأوراق المهضومة بحسب طريقة Berry و Johnson (1966). وباستعمال جهاز مطياف الإمتصاص الذري Atomic Absorption Spectrophotometer نوع Jenway – PFP7–UK 2002 عند الامتصاص الضوئي 285.2 نانومتر، وبالإستعانة بالمنحنى القياسي له إستخرجَ تركيز المغنيسيوم ثم قُدِّرت نسبته المئوية.

3-4-2-6: النسبة المئوية للكالسيوم في الأوراق (%)

Calcium Percentage in Leaves (%)

قيسَ تركيز الكالسيوم في عينات الأوراق المهضومة بحسب طريقة Berry و Johnson (1966)، وباستعمال جهاز مطياف الإمتصاص الذري Atomic Absorption Spectrophotometer (نوع Jenway – PFP7–UK 2002) عند طول موجي 422.6 نانومتر، وبالإستعانة بالمنحنى القياسي له إستخرجَ تركيز الكالسيوم ثم قُدِّرت نسبته المئوية.

3-4-2-7: محتوى الأوراق من الحديد (مايكروغرام.غم⁻¹ وزن جاف)

Leaves Content of Ferric ($\mu\text{g.g}^{-1}$ DW)

قُدِّرَ عنصر الحديد للعينات الورقية المهضومة باستخدام جهاز طيف الامتصاص الذري Atomic Absorption- Spectrophotometer وعلى طول موجي 248.3 نانوميتر للعينات الورقية المهضومة ومعايرتها مع المنحنى القياسي لكبريتات الحديدوز (Piper، 1950).

3-4-2-8: محتوى الأوراق من الزنك (مايكروغرام.غم⁻¹ وزن جاف)

Leaves Content of Zinc ($\mu\text{g.g}^{-1}$ DW)

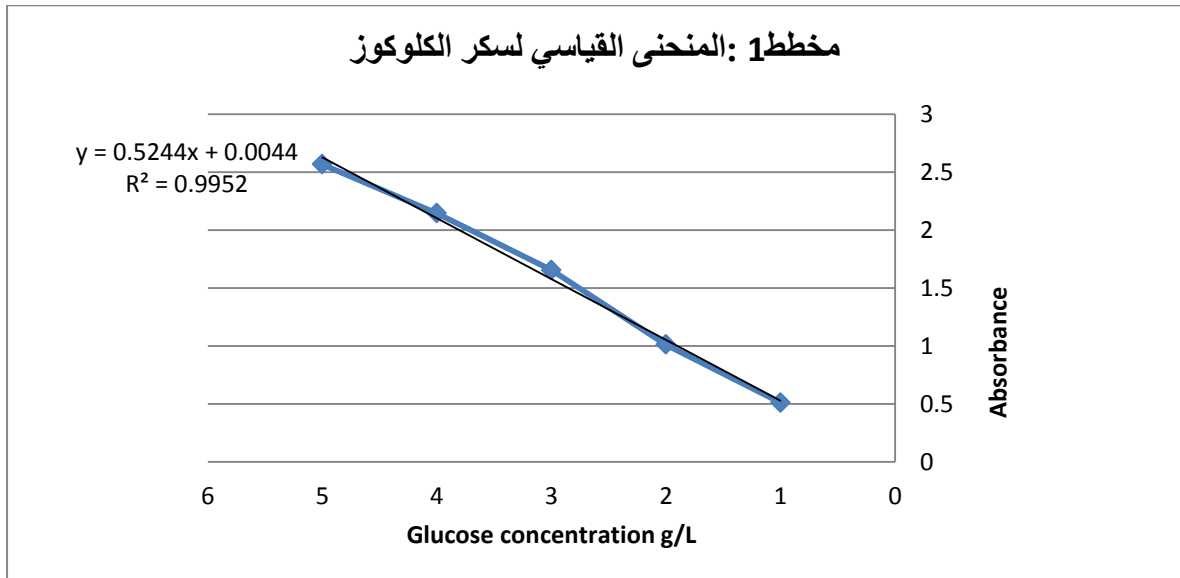
تم احتساب عنصر الزنك للعينات الورقية المهضومة باستخدام جهاز الأمتصاص الذري Atomic Absorption Spectrophotometer وعلى طول موجي (213.9 نانوميتر) وتمت معايرتها مع المحلول القياسي لفوسفات الزنك وحسب ماجاء في (Thimmaiah و Campus، 2004).

3-4-2-9: النسبة المئوية للكاربوهيدرات الكلية

Total Carbohydrates percentage in leaves (%) :

قدر محتوى الاوراق من الكاربوهيدرات وفق طريقة Campus و Thimmaiah (2004) وذلك بأخذ 100ملغم وزن جاف من الورقة الرابعة لكل معاملة ووضعت في حمام مائي لمدة ثلاث ساعات

بعد اضافة 5مل من حامض الهيدروكلوريك (2.5) نورمالي وترك ليبرد في درجة حرارة الغرفة وتم معادلته بواسطة كاربونات الصوديوم الصلبة حتى توقف التفاعل، وأكمل الحجم بالماء المقطر الى 100مل ونبذه مركزياً بواسطة جهاز الطرد المركزي (Hettich EBA 35، ألماني المنشأ)، أخذ منه 0.1 مل واكمل الحجم بالماء المقطر الى 1مل وأضيف له 1مل من فينول تركيزه 5% و 5 مل من حامض الكبريتيك بتركيز 96% ثم وضع المحلول في جهاز هزاز لمدة 10 دقائق بعدها في حمام مائي 25-30 م° لمدة 20 دقيقة وترك لتتخفف درجة حرارته وان ظهور اللون البرتقالي يدل على أيجابية التفاعل. اعدت تراكيز المنحنى القياسي للكلوكوز من خلال أخذ حجوم مختلفة (0 و 0.2 و 0.4 و 0.6 و 0.8 و 1) مل من المحلول القياسي للكلوكوز المحضّر مسبقاً ثم قيست النسبة المئوية للكربوهيدرات باستخدام جهاز المطياف الضوئي (Bichrom – Libra S22–UK 2005، بريطاني المنشأ) على الامتصاص الضوئي 490 نانوميتر.

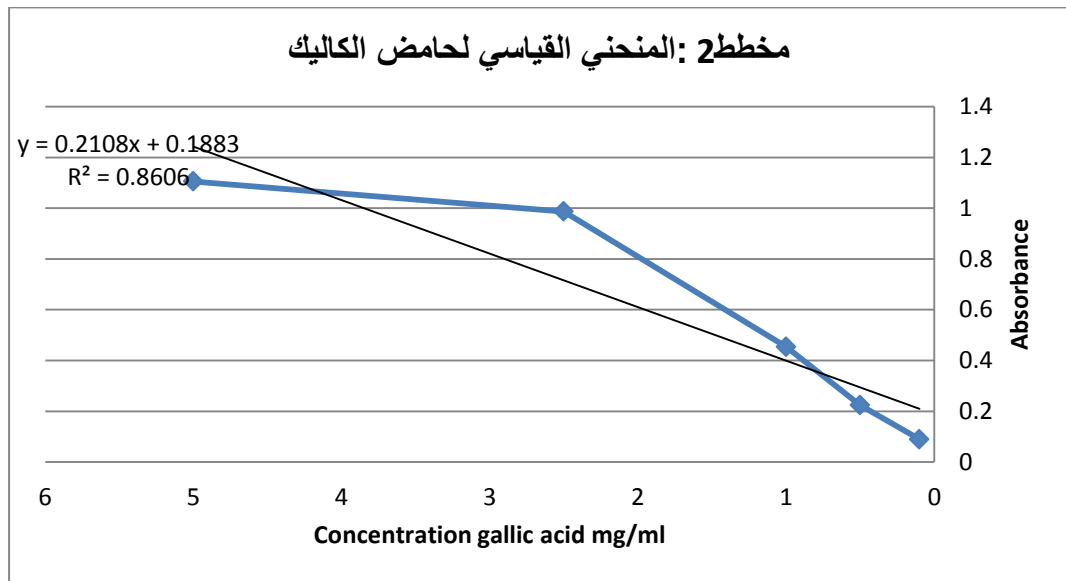


10-2-4-3: الفينولات الكلية Total phenols

غُسلت أوراق الديباج قيد الدراسة غسلاً جيداً بالماء للتخلص من الأتربة والعوالق، ثم جففت ، وسحقت بمطحنة كهربائية وقدرت الفينولات الكلية بوضع 1غم من مسحوق الاوراق من كل معاملة في هاون مع 5مل من الايثانول 80% مع التحريك المستمر، عرضت العينة بعد ذلك للطرد المركزي 10.000 دورة بالدقيقة لمدة 20 دقيقة للتخلص من البقايا الصلبة واستخلصت العينة ثلاث مرات بالايثانول وجمعت المستخلصات المتتابعة ورشحت بواسطة مرشح متصل بمحفنة طبية تبلغ سعة فتحاته 0.45 مايكرومتر وجففت بالتبخير، ثم اذيب المتبقي في 5مل من الماء المقطر وأخذ منه 1مل في انبوبة اختبار وأكمل الحجم الى 3مل بالماء المقطر ثم اضيف له 0.5 مل من كاشف فولن بعد ثلاث

المواد وطرائق العمل.....Materials and Methods

دقائق اضيف 2مل من كاربونات الصوديوم 20% خلط جيدا ثم وضع بالماء المغلي لمدة دقيقة وبرد سريعا وجرى تقدير الفينولات الكلية في المستخلص النهائي بطريقة فولن Folin وكما وصفها Thimmaiah و Campus (2004) وذلك باستعمال كاشف فولن وعلى طول موجي 650 nm بواسطة UV- visible-spectrophotometer . وتم تحضير المنحني القياسي standard curve من اذابة 100 ملغم من المركب القياسي Gallic acid (C₇H₆O₅) في 100 مل ماء مقطر بعدها اخذت حجوم متدرجة منه (0 و 0.2 و 0.4 و 0.6 و 0.8 و 1) مل على التتابع ثم وزعت على مجموعة انابيب Tubes تحتوي على 0.5 مل من كاشف فولن و 2 مل كاربونات الصوديوم واكمل الحجم الى 3 مل بالماء المقطر، ثم وضعت الانابيب الحاوية على المحاليل القياسية standard في الجهاز الهزاز Shaker بصورة سريعة وتركت لمدة نصف ساعة وقيست الامتصاصية لها باستعمال UV- visible spectrophotometer عند طول موجي 650 nm وبعدها تم عمل المنحني القياسي وسقطت عليه القراءات واستخرجت النتائج.



3-4-3: التقدير الكمي للمحتوى الكيميائي لأوراق النبات بواسطة كروماتوغرافيا الغاز المتصل بمطياف الكتلة (GC-MS)

Quantitative estimation of chemical content of plant leaves by gas chromatography related to mass spectrometry(GC-MS)

3-4-3-1: الاستخلاص Extract

تمت عملية الإستخلاص وفقاً لطريقة Hussein وآخرون، (1994) مع بعض التحوير إذ إستخلص (1) غم من مطحون الاوراق الجاف بواسطة (10) مل من الميثانول (99%) مع التحريك لمدة (5) دقائق بعدها تُترك لمدة (6) ساعات في مكان مظلم وبدرجة حرارة الغرفة اخذ الراشح والراسب أُعيد إستخلاصه ب 10 مل كلوروفورم (نقي) بعدها جُمع الراشح (الأول والثاني) ثم جرى ترشيحه بواسطة مرشح متصل بمحقة طبية تبلغ سعة فتحاته 0.45 مايكرومتر، ثم بعد ذلك أُضيف له الهكسان (99%) بحجم (1) مل كي يتم تركيز المستخلص، كما ويتم سحب الجزء الطافي الذي يقوم الهكسان بفصله ليتم بعد ذلك تقدير المواد الفعالة فيه.

أجري التحليل باستخدام جهاز GC-MS (SHIMADZU MS 2010) ياباني الصنع الذي يضم وحدة التحديد التلقائي [AOC-20i+s] auto sampler للمركبات وكروماتوغرافيا الغاز المربوطة باداة الطيف الكتلي، ووفقا للظروف التالية :

- عمود الفصل من نوع -5MS capillary column (cross bond 5% diphenyl- 95% dimethylpolysiloxane); 30m (L) × 0.32 mm (i.d.) with a 0.25 µm film thickness
- غاز الهليوم يمثل الطور المتحرك (99.99%) استعمل كغاز ناقل بمعدل تدفق مستمر 1.2 مل دقيقة⁻¹
- حجم السائل المحقون 1 مايكرو لتر ويعمل بنسبة انقسام (30)
- درجة حرارة الحاقن 250 م°
- درجة حرارة المصدر الايوني 200 م°
- الضغط داخل الجهاز 49.5 kPa وتدفق العمود 1 مل دقيقة⁻¹
- بداية برمجت درجة حرارة الفرن تلقائيا على 40 م° (درجة حرارة متساوية لمدة 3 دقيقة) ثم ازدادت تدريجيا بزيادة قدرها 15 م° دقيقة⁻¹ وصولا الى 180 م° ، ثم 10 م° كل 3 دقائق وصولا الى 300 م° بعدها تستقر درجة الحرارة على 280 م° لمدة 9 دقائق حتى النهاية.
- الوقت الكلي لبدء وانتهاء تشغيل الجهاز لكل عينة 48 دقيقة.
- واستند تحديد المقدار النسبي لكل مكون على مقارنة متوسط مساحة قمته الى اجمالي المناطق معتمدين على برنامج TurboMass Ver 5.2.0 في التعامل مع الاطياف الكتلية والمرئية (Mass spectra and chromatograms) المزود به الجهاز.

2-3-4-3: تحديد المكونات Determination of compounds

جرى تحديد المكونات اعتمادا على تفسير الطيف الكتلي للـ GC-MS باستعمال القاعدة البيانية التابعة للمعهد الوطني للقياس والتكنولوجيا (NIST) National Institute Standard and Technology بوجود اكثر من 62000 نمط معروف ومقارنة الطيف الناتج للمكون المجهول مع طائفة من المكونات المعروفة والمخزونة في (NIST) للتأكد من الاسم والوزن الجزيئي وبنية مكونات مواد الاختبار. وقد تم اجراء هذا الاختبار في مختبرات ابحاث الاغذية و حماية المستهلك في كلية الزراعة - جامعة البصرة. وبالاعتماد على اهمية واعلى نسبة مئوية تم اختيار المركبات الفعالة التالية:

- النسبة المئوية للـ Phytoterols
- النسبة المئوية للامايرين Amyrin
- النسبة المئوية للـ Selinen
- النسبة المئوية للمادة الفعالة الـ α -tocopherol
- النسبة المئوية للـ Calotropin



صورة 3: جهاز كروماتوغرافيا الغاز المتصل بمطياف الكتلة (GC-MS)

3-4-4: بعض الخواص التشريحية لنبات الديباج

3-4-4-1: تحضير المقاطع المستعرضة: preparation of cruse section

أخذت المقاطع المستعرضة من العينات الطرية للساق من السلامة الخامسة باستخدام شفرة حادة تحت المجهر التشريحي بطريقة القطع باليد الحرة Free-hand sectioning method، قطعت إلى مقاطع رقيقة بشكل مستوي وغير مائل وتم نقل هذه المقاطع بالفرشاة إلى شرائح زجاجية حاوية على صبغة السفرانين وتركت لمدة خمس دقائق. ثم نقلت إلى شرائح زجاجية أخرى حاوية على الكليسيرين ووضع غطاء الشريحة برفق لتفادي تكون الفقاعات الهوائية بعدها وضعت على صفيحة ساخنة hot plate للتخلص من الفقاعات المتكونة. فحصت الشرائح (بعد تحضيرها) تحت المجهر الضوئي المركب وسجلت القياسات بواسطة عدسة عينية مزودة بالمسطرة المترية Ocular micrometer وقد درست الصفات الآتية: سمك القشرة وعدد مجاميع الياف القشرة وسمك اللب تحت القوة الصغرى X4 للمجهر المركب وقيس قطر الوعاء الخشبي في الحزم الوعائية تحت القوة X40 للمجهر المركب في حين حضرت شرائح البشرة العليا والسفلى من العينات الطرية للأوراق بطريقة السلخ Stripping off method ، وذلك باتباع الخطوات الواردة في (الخرجي وعزيز، 1989) :

1- المعامل الثغري للبشرة العليا (دليل الثغور) Stomatal index: حُسب المعامل الثغري للبشرة العليا تحت قوة التكبير X4 وفقا للمعادلة التالية: (الخرجي وعزيز، 1989)

$$\text{المعامل الثغري} = \frac{\text{عدد الثغور}}{\text{عدد الثغور} + \text{عدد خلايا البشرة الاعتيادية}} \times 100$$

2- المعامل الثغري للبشرة السفلى (دليل الثغور): Stomatal index حُسب المعامل الثغري للبشرة السفلى تحت قوة التكبير X4 باتباع المعادلة المذكورة في الفقرة السابقة (1)

3-4: التحليل الإحصائي Statistical analysis

أُعتمد تصميم القطاعات العشوائية الكاملة (RCBD) Randomized Complete Block Design وفق تنظيم عاملي لتجربة عاملية Factorial Experiment ذات ثلاثة عوامل ، شمل العامل الأول سبعة تراكيز من المخصبات النانوية المختلفة ، والعامل الثاني تضمن طريقتي إضافة (الرش الورقي والرسمدة) اما العامل الثالث فشمّل تركيزين من السماد العضوي السائل Drin (0 و 5) مل/لتر¹ بثلاثة مُكررات لكل مُعاملة ، وقورنت متوسطات المُعاملات باستخدام اختبار أقل فرق معنوي (LSD) Least Significant Difference عند مُستوى إحتمال 0.05 باستخدام برنامج Gen Stat Discovery Edition3 المجهر من شركة (VSN international ,USA).

الفصل الرابع

النتائج

Results



4- النتائج
4-1: تأثير الحديد والزنك النانوي وطريقة إضافتهما والسماذ العضوي Drin في متوسط صفات النمو الخضري

4-1-1: إرتفاع النبات (سم) Plant Height (cm)

لوحظ من البيانات الواردة في جدول (3) التأثير المعنوي لعوامل الدراسة وتداخلاتها في متوسط إرتفاع النبات إذ أعطت جميع معاملات النانو زيادة معنوية في متوسط إرتفاع النبات بلغ أعلاها 122.58 سم بتأثير معاملة الزنك النانوي بالتركيز الموصى، مقارنةً بمتوسط الصفة نفسها بتأثير المعاملات الأخرى بضمنها معاملة المقارنة التي سجّلت أقل متوسط لإرتفاع النبات بلغ 82.00 سم ولم تختلف معاملات الموصى وضعف الموصى به من نانو الحديد وضعف الموصى من نانو الزنك عن بعضهما معنويا الا انها أعلى من معاملة المقارنة اذ بلغت (114.58 و 116.67 و 116.75) سم على التتابع. وتفوّقت معاملة الرش الورقي معنوياً في متوسط إرتفاع نباتاتها البالغ 112.69 سم، على متوسط إرتفاع نباتات معاملة الإضافة مع ماء السقي الذي بلغ 107.17 سم. وأثر السماذ العضوي معنوياً في متوسط إرتفاع النبات الذي ازداد من 106.95 سم عند معاملة المقارنة إلى 112.90 سم عند معاملة السماذ العضوي بتركيز 5 مل لتر⁻¹.

يوضح التداخل الثنائي المعنوي بين تراكيز النانو وطريقة الإضافة أن التوليفة المكوّنة من نانو الزنك بالتركيز الموصى (1غم لتر⁻¹) بطريقة الرش الورقي سجّلت أعلى متوسطاً لإرتفاع النبات بلغ (125.50 سم) متفوّقة بذلك على متوسطات إرتفاع النباتات الأخرى بتأثير توليفات معاملات التداخل الأخرى بضمنها توليفتا المقارنة التي سجّلت كل منهما 82.00 سم. ولم يظهر التداخل الثنائي بين تراكيز النانو والسماذ العضوي تأثيراً معنوياً في متوسط إرتفاع النبات. يتضح من التداخل الثنائي المعنوي بين طريقة الإضافة والسماذ العضوي انه لم تظهر طريقة الرش الورقي من دون استعمال السماذ العضوي و طريقتا الإضافة (الرش الورقي والرسمدة) مع السماذ العضوي فرقا معنوياً في اطوال نباتاتها حيث بلغت (112.19 و 113.19 و 112.62) سم، على التتابع الا ان جميعها كانت أعلى من متوسط إرتفاع النباتات بتأثير طريقة الرسمدة ومن دون استعمال السماذ العضوي والبالغة 101.71 سم.

وأوضح التداخل الثلاثي المعنوي لعوامل الدراسة ان إرتفاع النباتات الناتجة من توليفات الرش الورقي للتركيز الموصى من نانو الحديد 1غم لتر⁻¹ والتركيز الموصى من نانو الزنك 1غم لتر⁻¹ و 5 مل لتر⁻¹ من السماذ العضوي (121.00 و 130.33 سم) على التتابع لم تختلف عن بعضها معنوياً كما لم تختلف عن توليفات الإضافة عن طريق الرسمدة للتركيز ضعف الموصى من نانو الحديد 160 ملغم لتر⁻¹ والتركيز الموصى وضعف الموصى من نانو الزنك (80 ملغم لتر⁻¹ و 160 ملغم لتر⁻¹)

النتائج **Results**

(5 مل. لتر⁻¹ سماد العضوي (121.67 و 126.67 و 125.33) سم، على التتابع الا ان جميعها كانت أعلى من معاملات المقارنة التابعة لها 79.00 و 75.33 سم على التتابع.

جدول (3): تأثير الحديد والزنك النانوي وطريقة إضافتهما والسماد العضوي Drin وتداخلاتها في متوسط ارتفاع الساق (سم)

طريقة الإضافة	تراكيز النانو	السماد العضوي مل.لتر ⁻¹		متوسط طرق الإضافة
		5	0	
رش ورقي ^Z	0	85.00	79.00	82.00
	Fe موصى	121.00	113.33	117.17
	ضعف الموصى Fe	116.33	117.67	117.00
	Zn موصى	130.33	120.67	125.50
	ضعف الموصى Zn	110.33	122.00	116.17
	Zn+Fe موصى	117.00	117.67	117.33
	ضعف الموصى Zn+Fe	112.33	115.00	113.67
رسمة ^Y	0	88.67	75.33	82.00
	Fe موصى	112.33	111.67	112.00
	ضعف الموصى Fe	121.67	111.00	116.33
	Zn موصى	126.67	112.67	119.67
	ضعف الموصى Zn	125.33	109.33	117.33
	Zn+Fe موصى	112.00	101.00	106.50
	ضعف الموصى Zn+Fe	101.67	91.00	96.33
LSD 0.05	التداخل الثنائي	6.97		2.63
	التداخل الثلاثي	9.85		
تراكيز النانو × السماد العضوي		طريقة الإضافة × السماد العضوي		
تراكيز النانو	السماد العضوي مل.لتر ⁻¹		متوسط تراكيز النانو	طريقة الإضافة
	5	0		
0	82.00	86.83	77.17	رش ورقي
	114.58	116.67	112.50	
	116.67	119.00	114.33	
113.19	122.58	128.50	116.67	رسمة
	116.75	117.83	115.67	
	111.92	114.50	109.33	
112.62	105.00	107.00	103.00	متوسط السماد العضوي
	112.90	106.95		
LSD 0.05		4.93		2.63
التداخل الثنائي		N.S		3.72

Z: الموصى وفق النشرة الإرشادية 1 غم. لتر⁻¹ وضعف الموصى 2 غم. لتر⁻¹ رشاً على الأوراق لكل من نانو الحديد والزنك.
Y: الموصى وفق النشرة الإرشادية 80 ملغم. لتر⁻¹ وضعف الموصى 160 ملغم. لتر⁻¹ مع ماء الري لكل من نانو الحديد والزنك.

2-1-4: قطر الساق (سم) Stem Diameter (cm)

يتضح من جدول (4) أن جميع تراكيز نانو الحديد ونانو الزنك (الموصى وضعف الموصى كل على انفراد مع اضافتهما معا وفق التركيز الموصى وضعف الموصى لم تختلف اقطار سيقان النباتات المعاملة بها الا انها اختلفت معنوياً عن معاملة المقارنة البالغة 2.534 سم، وكان أعلى قطر 3.190 سم

النتائج Results

جدول (4): تأثير الحديد والزنك النانوي وطريقة إضافتهما والسماذ العضوي Drin وتداخلاتها في متوسط قطر الساق (سم)

طريقة الإضافة	تراكيز النانو × طريقة الإضافة	السماذ العضوي مل.لتر ⁻¹		تراكيز النانو	طريقة الإضافة
		5	0		
3.223	2.677	2.891	2.464	0	رش ورقي ^Z
	3.517	3.864	3.170	Fe موسى	
	3.544	4.020	3.205	Fe ضعف الموصى	
	3.562	3.209	2.581	Zn موسى	
	2.895	3.407	3.681	Zn ضعف الموصى	
	3.395	3.408	3.381	Zn+Fe موسى	
	3.138	3.143	3.133	Zn+Fe ضعف الموصى	
2.767	2.391	2.406	2.377	0	رسمدة ^Y
	2.584	2.751	2.417	Fe موسى	
	2.816	2.940	2.792	Fe ضعف الموصى	
	2.953	3.230	2.677	Zn موسى	
	2.734	2.636	2.833	Zn ضعف الموصى	
	2.955	3.128	2.782	Zn+Fe موسى	
	2.932	2.941	2.924	Zn+Fe ضعف الموصى	
0.177	0.271	التداخل الثنائي		LSD 0.05	
		0.665		التداخل الثلاثي	
طريقة الإضافة × السماذ العضوي			تراكيز النانو × السماذ العضوي		
طريقة الإضافة	السماذ العضوي مل.لتر ⁻¹	متوسط تراكيز النانو	السماذ العضوي مل.لتر ⁻¹		تراكيز النانو
			5	0	
رش ورقي	3.336	3.111	2.534	2.598	2.471
			3.050	2.957	3.143
			3.107	3.435	2.778
رسمدة	2.833	2.700	2.924	3.069	2.779
			3.190	3.122	3.257
			3.126	3.168	3.081
متوسط السماذ العضوي	3.084	2.905	3.035	3.042	3.028
0.177		LSD 0.05	0.332	LSD 0.05	
N.S		0.271		التداخل الثنائي	

Z: الموصى وفق النشرة الإرشادية 1 غم. لتر⁻¹ وضعف الموصى 2 غم. لتر⁻¹ رشاً على الأوراق لكل من نانو الحديد والزنك.
Y: الموصى وفق النشرة الإرشادية 80 ملغم. لتر⁻¹ وضعف الموصى 160 ملغم. لتر⁻¹ مع ماء الري لكل من نانو الحديد والزنك.

عند النباتات المعاملة بالتركيز ضعف الموصى من نانو زنك. كما يتضح من الجدول نفسه ان معاملة الرش الورقي تفوقت معنوياً على معاملة الرسمدة (الإضافة مع مياه السقي) حيث بلغت 3.223 سم مقارنةً 2.767 سم لمعاملة الرسمدة. كما تفوّقت معاملة السماذ العضوي 5 مل.لتر⁻¹ بمتوسط اقطار سيقان نباتاتها (3.084 سم) مقارنةً بمعاملة عدم استعماله 2.905 سم.

أوضح التداخل الثنائي بين تراكيز النانو وطريقة الإضافة ان جميع تراكيز نانو الحديد والزنك (الموصى وضعف الموصى) مع اضافتهما معا وفق (الموصى وضعف الموصى) كانت أعلى بطريقة الرش الورقي من مثيلاتها المستعملة مع مياه الري (الرسمدة) عدا التركيز ضعف الموصى من نانو

الزنك اذ لم تختلف نباتاتها في قطر الساق باختلاف طريقة الإضافة حيث بلغت 2.895 و 2.734 سم على التتابع الا انهما أعلى من معاملي المقارنة التابعة لهما 2.677 و 2.391 سم للرش الورقي والرسمدة على التتابع. وظهر التداخل بين تراكيز النانو والسماذ العضوي ان استعمال الحديد النانوي بالتركيز ضعف الموصى والزنك النانوي بالتركيز الموصى به لكل منهما تفوقا في اقطار سيقان نباتاتها مع استعمال السماذ العضوي حيث بلغ (3.435 و 3.069 سم) مقارنة بعدم استعمال السماذ العضوي الذي انخفض الى (2.778 و 2.779 سم) على التتابع. بينما لم تختلف معنويا التراكيز الموصى بها من نانو الحديد وضعف الموصى من نانو الزنك لكل منها مع أو من دون استعمال السماذ العضوي وكذا الحال عند خليط كل منها مع الموصى وضعف الموصى كل على انفراد الا ان جميعها اختلفت عن معاملة المقارنة البالغة 2.471 سم. ولم يظهر تداخل عامل طريقة الإضافة وتراكيز السماذ العضوي تأثيرا معنويا في صفة قطر الساق.

واظهر التداخل الثلاثي لعوامل الدراسة ان أعلى قطر لسيقان النباتات الناتجة كان عند المعاملة التي اشتملت على الموصى وضعف الموصى من نانو الحديد بطريقة الرش الورقي مع 5 مل لتر¹ سماذ عضوي حيث كانت الأعلى ضمن جميع المعاملات الاخرى حيث بلغت كل منها (3.864 و 4.020 سم) على التتابع. في حين سجلت معاملة المقارنة التابعة لها أقل متوسط لقطر الساق بلغ 2.464 سم.

3-1-4: عدد الأوراق للنبات (ورقة. نبات¹)

Leaves Number per Plant (Leaf. Plant¹)

أظهرت نتائج جدول (5) أن متوسط عدد الأوراق لنبات الديباج زاد بشكل معنوي مع جميع معاملات النانو وسجلت أعلى متوسطاً بلغ (80.42 و 83.17 و 79.00) ورقة. نبات¹ عند نانو الحديد بتركيزه الموصى وضعف الموصى ونانو الزنك بتركيزه الموصى، على التتابع مقارنةً بمتوسط عدد الأوراق لنباتات معاملة المقارنة الذي بلغ 61.08 ورقة. نبات¹. كما تُشير النتائج أيضاً إلى أن معاملات النانو لم تعط للنباتات المعاملة بها فرقاً معنوياً فيما بينها في عدد الأوراق بقدر ما أعطته لنباتات معاملة المقارنة. وظهرت معاملة الرش الورقي متوسطاً لعدد الأوراق بلغ 76.29 ورقة. نبات¹ واختلف معنوياً عن متوسط عدد الأوراق لنباتات طريقة الرسمدة الذي بلغ (71.67 و 71.67) ورقة. نبات¹. كما أعطى السماذ العضوي 5 مل. لتر¹ أعلى متوسط لعدد الأوراق بلغ (78.05) ورقة. نبات¹ مقارنةً بمتوسط عدد الأوراق لنباتات المقارنة (69.90) ورقة. نبات¹.

النتائج Results

جدول (5): تأثير الحديد والزنك النانوي وطريقة إضافتهما والسماذ العضوي Drin وتداخلاتها في متوسط عدد الأوراق (ورقة. نبات⁻¹)

طريقة الإضافة	تراكيز النانو × طريقة الإضافة	السماذ العضوي مل.لتر ⁻¹		تراكيز النانو	طريقة الإضافة	
		5	0			
76.29	56.50	55.33	57.67	0	رش ورقي ^Z	
	79.00	80.67	77.33	Fe موصى		
	85.50	87.67	83.33	Fe ضعف الموصى		
	83.33	84.33	82.33	Zn موصى		
	75.33	87.33	63.33	Zn ضعف الموصى		
	84.17	91.33	77.00	Zn+Fe موصى		
	70.17	62.67	77.67	Zn+Fe ضعف الموصى		
71.67	65.67	78.33	53.00	0	رسمة ^Y	
	81.83	82.33	81.33	Fe موصى		
	80.83	87.33	74.33	Fe ضعف الموصى		
	74.67	75.00	74.33	Zn موصى		
	70.33	86.00	54.67	Zn ضعف الموصى		
	62.50	72.67	52.33	Zn+Fe موصى		
	65.83	61.67	70.00	Zn+Fe ضعف الموصى		
3.88	10.27	التداخل الثنائي		LSD 0.05		
N.S						
طريقة الإضافة × السماذ العضوي			تراكيز النانو × السماذ العضوي			
طريقة الإضافة		متوسط تراكيز النانو	السماذ العضوي مل.لتر ⁻¹		تراكيز النانو	
5	0		5	0		
78.48	74.10	رش ورقي	61.08	66.83	55.33	0
			80.42	81.50	79.33	Fe موصى
			83.17	87.50	78.83	Fe ضعف الموصى
77.62	65.71	رسمة	79.00	79.67	78.33	Zn موصى
			72.83	83.67	62.00	Zn ضعف الموصى
			73.33	82.00	64.67	Zn+Fe موصى
78.05	69.90	متوسط السماذ العضوي	68.00	62.17	73.83	Zn+Fe ضعف الموصى
3.88	LSD 0.05	7.26	LSD 0.05			
N.S			10.27			التداخل الثنائي

Z: الموصى وفق النشرة الإرشادية 1 غم. لتر⁻¹ وضعف الموصى 2 غم. لتر⁻¹ رشاً على الأوراق لكل من نانو الحديد والزنك.
Y: الموصى وفق النشرة الإرشادية 80 ملغم. لتر⁻¹ وضعف الموصى 160 ملغم. لتر⁻¹ مع ماء الري لكل من نانو الحديد والزنك.

واظهر التداخل الثنائي المعنوي بين تراكيز النانو وطريقة الإضافة أنّ معاملة الرش الورقي لنانو الزنك بالتركيز الموصى به (83.33 ورقة. نبات⁻¹) أعطت عدداً من الأوراق تفوق على مثيلاتها الناتجة من الرسمة (74.67 ورقة. نبات⁻¹)، وكذا الحال بالنسبة للمعاملة التي اشتملت على التركيز الموصى من نانو (الحديد + الزنك) بطريقة الرش الورقي والبالغة (84.17 ورقة. نبات⁻¹) تفوقت على مثيلتها بطريقة الرسمة (إضافة تراكيز النانو مع ماء السقي) البالغة 62.50 ورقة. نبات⁻¹. ومما يجدر ذكره ان جميع معاملات التداخل كانت أعلى معنوياً من معاملة المقارنة البالغة 56.50 ورقة. نبات⁻¹. أوضح التداخل الثنائي بين تراكيز النانو والسماذ العضوي ان معظم توليفات تراكيز نانو

الحديد ونانو الزنك مع استعمال 5مل.لتر⁻¹ من السماد العضوي كانت أعلى من مثيلاتها التي لم تشتمل على السماد العضوي وان تفاوتت بالاختلافات المعنوية الا ان جميعها أعلى من معاملة المقارنة البالغة 55.33 ورقة.نبات⁻¹. ولم يعط التداخل الثنائي بين طريقة الإضافة وتراكيز السماد العضوي تأثيراً معنوياً لعدد الأوراق بالرغم من وجود فروق بين التوليفات في عدد الأوراق للنباتات إلا أنها لم تكن بالقدر المعنوي الذي يسمح في اعتماد التوليفة الأفضل في ذلك المجال مما يُشير إلى اعتماد تراكيز أعلى للسماد العضوي من المستعملة حالياً أو عدم استعمالها كونها لم تكن بالتأثير المعنوي المطلوب. ولم يعط التداخل الثلاثي بين عوامل الدراسة تأثيراً معنوياً لعدد الأوراق بالرغم من وجود فروق بين التوليفات في عدد الأوراق للنباتات إلا أنها لم تكن بالقدر المعنوي الذي يسمح في اعتماد التوليفة الأفضل في ذلك المجال.

4-1-4: المساحة الورقية (سم².نبات⁻¹) Leaf Area (cm².plant⁻¹)

أظهرت البيانات الواردة في جدول (6) تأثير عوامل الدراسة المعنوي في متوسط المساحة الورقية لنبات الديباج. حيث ازدادت المساحة الورقية إلى 16001.0 سم² للنباتات المعاملة بالتركيز ضعف الموصى من نانو الحديد والتي لم تختلف معنوياً عن النباتات المعاملة بالتركيز الموصى من نانو الزنك 14701.0 سم². والمعاملة الاخيرة اختلفت عن بقية المعاملات الاخرى ومعاملة المقارنة البالغة 6774.0 سم². وان طريقة الإضافة رشا على الأوراق أعطت نباتاتها أعلى متوسط للمساحة الورقية بلغ 12729.0 سم² مقارنةً بطريقة الرسمة التي بلغت 11930.0 سم². ولم يكن للسماد العضوي تأثير معنوي في متوسط المساحة الورقية لعدم وجود فرق معنوي بين معاملة المقارنة والنباتات المعاملة بالتركيز 5مل.لتر⁻¹.

وأظهر التداخل الثنائي بين عاملي تراكيز النانو وطريقة اضافتها تفوق معاملة نانو الحديد بالتركيز الموصى والمضافة بطريقة الرسمة 15579.0 سم² على مثيلتها المضافة بالرش الورقي 11910.0 سم². ولم يختلف تركيزا نانو الحديد الموصى وضعف الموصى المضاف عن طريق الرسمة عن بعضهما في صفة المساحة الورقية حيث بلغا (15579.0 و 16220.0 سم²) على التتابع. كما ان الرش الورقي لنانو الزنك بالتركيز الموصى 14617.0 سم² لم يختلف معنوياً على معاملة طريقة اضافته عن طريق الري (الرسمة) 14786.0 سم² وينطبق الحال نفسه على معاملة ضعف الموصى من نانو الزنك حيث بلغا (11543.0 و 11704.0 سم²) لمعاملي الرش الورقي والرسمة على التتابع. وأضح التداخل بين تراكيز النانو والسماد العضوي أن التوليفة المتضمنة التركيز ضعف الموصى من نانو الحديد مع التركيز 5مل.لتر⁻¹ من السماد العضوي حققت أعلى متوسطاً للمساحة الورقية بلغ 16476.0 سم² التي تفوقت بدورها معنوياً على مثيلاتها من التوليفات المتضمنة السماد العضوي أو معاملة المقارنة التي بلغت نباتاتها أقل متوسطاً للمساحة الورقية

النتائج **Results**

6695.0 سم²، لكنها لم تختلف معنوياً عن بعض التوليفات التي شملت (الموصى وضعف الموصى من نانو الحديد والموصى من نانو الزنك) ومن دون استعمال السماد العضوي وقد بلغ (15222.0 و 15526.0 و 15427.0 سم²) على التتابع، وهذا ما يرجح استعمال التراكيز المنخفضة من مخصبات النانو لجدواها الاقتصادية عند استهداف صفة المساحة الورقية لنبات الدجاج ومن دون استعمال السماد العضوي. يلاحظ من التداخل الثنائي بين طريقة الإضافة والسماد العضوي ان توليفتي استعمال السماد العضوي مع طريقتي الإضافة (الرش الورقي والرسمدة) لم تختلف عن بعضها معنوياً بتسجيلها (12233.0 و 12475.0) سم²، على التتابع في حين ان عدم استعماله مع طريقة الرش الورقي سجلت تفوقاً معنوياً على طريقة الرسمدة مع عدم استعماله ايضاً اذ بلغت كل منهما (13224.0 و 11386.0 سم²) على التتابع.

جدول (6): تأثير الحديد والزنك النانوي وطريقة إضافتهما والسماد العضوي Drin وتداخلاتها في متوسط المساحة الورقية (سم²)

طريقة الإضافة	تراكيز النانو × طريقة الإضافة	السماد العضوي مل.لتر ⁻¹		تراكيز النانو	طريقة الإضافة	
		5	0			
12729.0	7097.0	6305.0	7890.0	0	رش ورقي ^Z	
		11910.0	9600.0	14219.0		Fe موصى
		15782.0	14659.0	16905.0		Fe ضعف الموصى
		14617.0	12101.0	17134.0		Zn موصى
		11543.0	13134.0	9951.0		Zn ضعف الموصى
		13331.0	13619.0	13043.0		Zn+Fe موصى
		14821.0	14215.0	15427.0		Zn+Fe ضعف الموصى
11930.0	6451.0	7402.0	5501.0	0	رسمدة ^Y	
		15579.0	14932.0	16226.0		Fe موصى
		16220.0	18293.0	14147.0		Fe ضعف الموصى
		14786.0	15850.0	13721.0		Zn موصى
		11704.0	10996.0	12411.0		Zn ضعف الموصى
		8429.0	8213.0	8645.0		Zn+Fe موصى
		10344.0	11638.0	9050.0		Zn+Fe ضعف الموصى
698.2	2143.3	التداخل الثنائي		LSD 0.05		
3016.9				التداخل الثلاثي		
طريقة الإضافة × السماد العضوي		تراكيز النانو × السماد العضوي				
السماد العضوي مل.لتر ⁻¹	طريقة الإضافة	متوسط تراكيز النانو	السماد العضوي مل.لتر ⁻¹		تراكيز النانو	
		5	0	5		0
12233.0	13224.0	رش ورقي	6774.0	6853.0	6695.0	0
			13744.0	12266.0	15222.0	Fe موصى
			16001.0	16476.0	15526.0	Fe ضعف الموصى
12475.0	11386.0	رسمدة	14701.0	13976.0	15427.0	Zn موصى
			11623.0	13065.0	10181.0	Zn ضعف الموصى
			10880.0	10916.0	10844.0	Zn+Fe موصى
12354.0	12305.0	متوسط السماد العضوي	12583.0	12926.0	12239.0	Zn+Fe ضعف الموصى
N.S		LSD 0.05	1508.5	LSD 0.05		
1140.3		2143.3				التداخل الثنائي

Z: الموصى وفق النشرة الإرشادية 1 غم. لتر⁻¹ وضعف الموصى 2 غم. لتر⁻¹ رشاً على الأوراق لكل من نانو الحديد والزنك.
Y: الموصى وفق النشرة الإرشادية 80 ملغم. لتر⁻¹ وضعف الموصى 160 ملغم. لتر⁻¹ مع ماء الري لكل من نانو الحديد والزنك.

أوضح التداخل الثلاثي المعنوي بين عوامل الدراسة أن التوليفات المُتضمّنة نانو الحديد بتركيز ضعف الموصى 160 ملغم. لتر⁻¹ بطريقة الرسمة مع السماد العضوي بتركيز 5 مل. لتر⁻¹ ونانو الزنك بالتركيز الموصى 1 غم. لتر⁻¹ بطريقة الرش الورقي من دون استعمال السماد العضوي حققت أعلى متوسطاً للمساحة الورقية بلغ (18293.0 و 17134.0 سم²) على التتابع. ولم يختلفا عن بعضهما معنويًا مقارنة مع التوليفات الأخرى للتداخل أو مقارنة بمعاملة المقارنة التي أعطت لنباتاتها أقل مساحة ورقية (5501.0 سم²).

4-1-5: عدد الفروع للنبات (فرع. نبات⁻¹)

Branches Number per Plant (Branch. Plant⁻¹)

تشير نتائج جدول (7) إلى عدم وجود اختلاف معنوي بين معاملات نانو الحديد بالتركيز الموصى وضعف الموصى ونانو الزنك بالتركيز الموصى في عدد الأفرع إذ بلغت (3.250 و 3.583 فرع. نبات⁻¹)، على التتابع. إلا أنها اختلفت معنويًا عن باقي المعاملات الأخرى ومعاملة المقارنة البالغة 2.333 فرع. نبات⁻¹. ومما تجدر الإشارة إليه أن التركيز ضعف الموصى من نانو الحديد والبالغ 3.583 فرع. نبات⁻¹ تفوّت في الاختلاف المعنوي عن بقية المعاملات إلا أنه اختلف معنويًا عن معاملة نانو الزنك بالتركيز ضعف الموصى البالغة 2.667 فرع. نبات⁻¹. وسجّلت معاملة طريقة الرسمة أعلى متوسطاً لعدد الفروع بلغ (3.238) فرع. نبات⁻¹، مقارنةً بمتوسط عدد الفروع لنباتات الرش الورقي (2.833 فرع. نبات⁻¹). وأعطى السماد العضوي هو الآخر تأثيراً معنويًا لعدد الفروع الذي زاد من 2.714 فرع. نبات⁻¹ عند نباتات معاملة المقارنة إلى 3.357 فرع. نبات⁻¹ مع التركيز 5 مل. لتر⁻¹ من السماد العضوي التي أعطت لنباتاتها أعلى متوسط لعدد الفروع.

بيّن التداخل الثنائي المعنوي بين تراكيز النانو وطريقة الإضافة أنّ التوليفة المكوّنة من نانو الزنك بالتركيز الموصى بطريقة الرسمة أعطت أعلى متوسطاً لعدد الفروع 4.167 فرع. نبات⁻¹ تلاه التوليفتان المكونتان من التركيز ضعف الموصى من نانو الحديد مع الرش الورقي والتركيز الموصى من نانو الحديد مع طريقة الرسمة التي سجّلت كل منهما متوسط لعدد الفروع بلغ 3.667 فرع. نبات⁻¹ مقارنةً بالتوليفات الأخرى أو مقارنةً بمعاملة المقارنة (2.233 فرع. نبات⁻¹). وأوضح التداخل الثنائي المعنوي بين تراكيز النانو والسماد العضوي أنّ التوليفات المكوّنة من تراكيز النانو والسماد العضوي بالتركيز 5 مل. لتر⁻¹ أعطت أعلى متوسطاً لعدد الفروع مقارنةً بعدد الفروع لمعاملة المقارنة (2.167 فرع. نبات⁻¹) أو مقارنةً بالتوليفات الأخرى التي لم تشمل على السماد العضوي، وإن أعلى متوسط لعدد الفروع عند التركيز ضعف الموصى من نانو الحديد و الموصى من نانو الزنك مع 5 مل. لتر⁻¹ من السماد العضوي واللّتين سجّلتا قيمةً متساوية لعدد الفروع إذ بلغ كل

النتائج **Results**

منهما 4.000 فرع نبات¹. بيّن التداخل الثنائي المعنوي بين طريقة الإضافة والسماذ العضوي أنّ توليفة استعمال 5مل لتر¹ سماذ عضوي مع طريقتي الإضافة (الرش الورقي والرسمدة) تفوقت على مثيلاتها التي لم يستعمل معها السماذ العضوي. وان أعلى عددا لفروع النباتات بلغ 3.381 فرع نبات¹ مع التوليفة المكوّنة من طريقة الرسمدة مع 5مل لتر¹ من السماذ العضوي مقارنة بأقل متوسط 2.333 فرع نبات¹ كان عند طريقة الرش الورقي ومن دون استعمال السماذ العضوي.

جدول (7): تأثير الحديد والزنك النانوي وطريقة إضافتهما والسماذ العضوي Drin وتداخلاتها في متوسط عدد الفروع (فرع نبات¹)

طريقة الإضافة	تراكيز النانو × طريقة الإضافة	السماذ العضوي مل.لتر ¹		تراكيز النانو	
		5	0		
2.833	1.733	2.333	1.133	0	
	2.833	3.333	2.333	Fe موصى	
	3.667	4.000	3.333	ضعف الموصى Fe	
	2.766	4.000	1.533	Zn موصى	
	2.500	2.000	3.000	ضعف الموصى Zn	
	3.333	4.667	2.000	Zn+Fe موصى	
	3.000	3.000	3.000	ضعف الموصى Zn+Fe	
3.238	2.233	2.667	1.500	0	
	3.667	3.333	4.000	Fe موصى	
	3.500	4.000	3.000	ضعف الموصى Fe	
	4.167	4.000	4.333	Zn موصى	
	2.833	2.667	3.000	ضعف الموصى Zn	
	3.416	4.000	2.833	Zn+Fe موصى	
	3.000	3.000	3.000	ضعف الموصى Zn+Fe	
0.234	0.620	التداخل الثنائي		LSD 0.05	
0.877 التداخل الثلاثي					
طريقة الإضافة × السماذ العضوي		تراكيز النانو × السماذ العضوي			
طريقة الإضافة	السماذ العضوي مل.لتر ¹	متوسط تراكيز النانو	السماذ العضوي مل.لتر ¹		تراكيز النانو
			5	0	
رش ورقي	3.333	2.333	2.333	2.500	2.167
			3.250	3.333	3.167
			3.583	4.000	3.167
رسمدة	3.381	3.095	3.417	4.000	2.833
			2.667	3.000	2.333
			3.000	3.333	2.667
متوسط السماذ العضوي	3.357	2.714	3.000	3.000	3.000
0.234		LSD 0.05	0.438	LSD 0.05	
0.331		0.620 التداخل الثنائي			

Z: الموصى وفق النشرة الإرشادية 1 غم. لتر¹ وضعف الموصى 2 غم. لتر¹ رشاً على الأوراق لكل من نانو الحديد والزنك.
Y: الموصى وفق النشرة الإرشادية 80 ملغم. لتر¹ وضعف الموصى 160 ملغم. لتر¹ مع ماء الري لكل من نانو الحديد والزنك.

أوضح التداخل الثلاثي المعنوي بين عوامل الدراسة أن التوليفة المتضمنة التركيز الموصى من نانو (حديد+زنك) بطريقة الرش الورقي واستعمال 5مل لتر¹ من السماذ العضوي أعطت أعلى متوسط لعدد الفروع بلغ 4.667 فرع نبات¹ تلتها التوليفة المكونة من نانو الزنك بالتركيز

الموصى المضاف بطريقة الرسمدة ومن دون استعمال السماد العضوي التي بلغت 4.333 فرع.نبات⁻¹ واللتان لم يختلفا عن بعضهما معنويا وعن بعض التوليفات من نانو الحديد والزنك بتراكيزها الموصى بها وضعف الموصى واضافتها معا وفق التركيز الموصى وضعف الموصى والتي بلغت متوسطا متساويا لعدد الفروع بلغ 4.000 فرع.نبات⁻¹، مقارنة بـ (1.133 و 1.500 فرع.نبات⁻¹) لمعاملي المقارنة العائدة لها وعلى التتابع.

4-1-6: محتوى الأوراق من الكلوروفيل الكلي (ملغم. غم⁻¹ وزن طري)

Leaves Content of Total Chlorophyll (mg. g⁻¹ FW)

يتضح من بيانات الجدول (8) ان استعمال نانو الحديد والزنك بالتركيز الموصى به وضعف الموصى لم يؤد الى اختلافات معنوية فيما بينها في متوسط محتوى الأوراق من الكلوروفيل الكلي. فعلى سبيل المثال بلغ محتوى أوراق النباتات المعاملة بنانو الحديد الموصى 17.820 ملغم.غم⁻¹ ولضعف الموصى 18.134 ملغم.غم⁻¹، وللنباتات المعاملة بنانو الزنك الموصى 18.039 ملغم.غم⁻¹ ولضعف الموصى 18.236 ملغم.غم⁻¹ كما لم تختلف المعاملات التي اشتملت على نانو (حديد+ زنك) بالتركيز الموصى 18.652 ملغم.غم⁻¹ وزن طري عن معاملة نانو (الحديد+الزنك) بالتركيز ضعف الموصى 18.809 ملغم.غم⁻¹ الا انهما اختلفا معنويا عن معاملة المقارنة البالغة 17.636 ملغم.غم⁻¹. كما تفاوتت باقي المعاملات في الاختلاف المعنوي عن معاملة المقارنة. لم تكن طريقة الإضافة معنوية في تأثيرها في محتوى الأوراق من الكلوروفيل الكلي. وتفوّقت معاملة السماد العضوي بالتركيز (5مل.لتر⁻¹) معنوياً بمحتوى أوراق نباتاتها من الكلوروفيل الكلي على نباتات المقارنة، إذ سجّلت بالترتيب المذكور (18.571 و 17.808) ملغم.غم⁻¹ وزن طري.

ولوحظ من التداخل الثنائي المعنوي بين تراكيز النانو وطريقة الإضافة أنّ اضافة نانو الحديد والزنك بالتركيز الموصى مع الرش الورقي تفوقت على مثيلاتها مع طريقة الرسمدة إذ بلغت مع الرش الورقي (18.002 و 18.686) ملغم.غم⁻¹ على التتابع في حين بلغت مع الرسمدة (17.639 و 17.391) ملغم.غم⁻¹ وزن طري واللتان لم تختلفا معنويا عن معاملة المقارنة 17.706 ملغم.غم⁻¹ وزن طري. في حين سجل ان التركيز الموصى وضعف الموصى من نانو (حديد+زنك) مع طريقة الرسمدة أعلى متوسطا للكلوروفيل الكلي في الأوراق (19.033 و 18.941) ملغم.غم⁻¹ وزن طري على التتابع، والتي تفوّقت على جميع متوسطات التوليفات الأخرى بما فيها مثيلاتها بطريقة الرش الورقي (18.272 و 18.678) ملغم.غم⁻¹ وزن طري على التتابع. يلاحظ من التداخل الثنائي المعنوي بين تراكيز النانو والسماد العضوي أنّ استعمال السماد العضوي 5مل.لتر⁻¹ مع كل تركيز من تراكيز النانو تفوقت على مثيلاتها من توليفات عدم استعماله. كما ان توليفات استعمال السماد العضوي منفردا أو مع تركيز النانو تفوقت معنويا على معاملة المقارنة البالغة 16.935 ملغم.غم⁻¹ وزن طري، وان

Results النتائج

أعلى محتوى من الكلوروفيل الكلي كان عند توليفي التركيز الموصى وضعف الموصى من نانو (حديد + زنك) بلغ (18.982 و18.970) ملغم.غم⁻¹ وزن طري على التتابع.
التداخل الثلاثي لم يظهر معنوية في تأثيره على محتوى الأوراق من الكلوروفيل الكلي بالرغم من وجود فروق في محتوى الأوراق من الكلوروفيل الكلي لكنها لا تصل الى مستوى المعنوية.

جدول (8): تأثير نانو الحديد والزنك النانوي وطريقة إضافتهما والسماذ العضوي Drin وتداخلاتها في متوسط محتوى الأوراق من الكلوروفيل الكلي ملغم.غم⁻¹

طريقة الإضافة	تراكيز النانو × طريقة الإضافة	السماذ العضوي مل.لتر ⁻¹		تراكيز النانو	طريقة الإضافة	
		5	0			
18.207	17.565	17.902	17.228	0	رش ورقي ^Z	
	18.002	18.198	17.806	Fe موصى		
	18.065	18.457	17.672	ضعف الموصى Fe		
	18.686	19.184	18.189	موصى Zn		
	18.179	18.768	17.589	ضعف الموصى Zn		
	18.272	18.840	17.705	موصى Zn+Fe		
	18.678	18.663	18.693	ضعف الموصى Zn+Fe		
18.172	17.706	18.769	16.642	0	رسمة ^Y	
	17.639	17.927	17.350	Fe موصى		
	18.204	19.039	17.368	ضعف الموصى Fe		
	17.391	17.806	16.975	موصى Zn		
	18.293	18.678	17.907	ضعف الموصى Zn		
	19.033	19.124	18.941	موصى Zn+Fe		
	18.941	18.634	19.247	ضعف الموصى Zn+Fe		
N.S	0.642	التداخل الثنائي		LSD 0.05		
N.S التداخل الثلاثي						
طريقة الإضافة × السماذ العضوي		تراكيز النانو × السماذ العضوي				
السماذ العضوي مل.لتر ⁻¹	طريقة الإضافة	متوسط تراكيز النانو	السماذ العضوي مل.لتر ⁻¹		تراكيز النانو	
			5	0		
18.573	رش ورقي	17.636	18.336	16.935	0	
		17.820	18.063	17.578	Fe موصى	
		18.134	18.748	17.520	ضعف الموصى Fe	
18.568	رسمة	18.039	18.495	17.582	موصى Zn	
		18.236	18.723	17.748	ضعف الموصى Zn	
		18.652	18.982	18.323	موصى Zn+Fe	
18.571	17.808	متوسط السماذ العضوي	18.809	18.970	18.648	ضعف الموصى Zn+Fe
0.242	LSD 0.05	0.454	LSD 0.05			
N.S		0.642 التداخل الثنائي				

Z: الموصى وفق النشرة الإرشادية 1 غم. لتر⁻¹ وضعف الموصى 2 غم. لتر⁻¹ رشاً على الأوراق لكل من نانو الحديد والزنك.
Y: الموصى وفق النشرة الإرشادية 80 ملغم. لتر⁻¹ وضعف الموصى 160 ملغم. لتر⁻¹ مع ماء الري لكل من نانو الحديد والزنك.

4-1-7: الوزن الجاف للمجموع الخضري للنبات (غم. نبات¹)

Dry Weight of Plant Vegetative Part (g. Plant¹)

يلاحظ من نتائج التحليل الإحصائي المبيّنة في جدول (9) التأثير المعنوي لعوامل الدراسة وتداخلاتها في متوسط الوزن الجاف للمجموع الخضري إذ أعطت جميع معاملات تراكيز النانو زيادة معنوية في متوسط الوزن الجاف للمجموع الخضري إلا أنها لم تختلف معنوياً فيما بينها ولكنها تفوّقت على نباتات معاملة المقارنة حيث بلغت (69.45 و 75.38 و 76.47 و 79.87 و 77.68 و 74.67) غم. نبات¹ لكل من نانو الحديد ونانو الزنك بالتركيز الموصى وضعف الموصى وإضافتهما معا وفق الموصى وضعف الموصى به، على التتابع في حين بلغت لنباتات المقارنة 62.73 غم. نبات¹. وفي السياق نفسه تفوّقت معاملة الرش الورقي في متوسط الوزن الجاف للمجموع الخضري لنباتاتها الذي بلغ 78.98 غم. نبات¹، معنوياً على نباتات معاملة طريقة الرسمة التي بلغت 68.37 غم. نبات¹. وأثّر السماد العضوي معنوياً في متوسط الوزن الجاف للمجموع الخضري؛ إذ أحرز التركيز 5 مل لتر¹ تفوّقاً معنوياً في الوزن الجاف للمجموع الخضري بلغ 77.02 غم. نبات¹ مقارنة بما سجّلته معاملة المقارنة إذ بلغت 70.34 غم. نبات¹.

ان التداخل الثنائي بين تراكيز النانو وطريقة الإضافة لم يكن معنوياً في تأثيره في الوزن الجاف للمجموع الخضري. وأظهر التداخل الثنائي بين تراكيز النانو والسماد العضوي أن المعاملات المتضمنة السماد العضوي بتركيز 5 مل لتر¹ مع جميع تراكيز النانو (الموصى وضعف الموصى لكل من نانو الحديد والزنك وإضافتهما معا وفق التركيز الموصى وضعف الموصى به) أحرزت أعلى المتوسطات لأوزان نباتاتها الجافة تفوّقت فيها على نظيراتها المتضمنة تراكيز النانو فقط من دون استعمال السماد العضوي إذ سجّلت (71.48 و 77.70 و 82.38 و 88.32 و 83.10 و 75.80) غم. نبات¹، على التتابع مقارنة بما سجّلته مثيلاتها المتضمنة تراكيز النانو من دون استعمال السماد العضوي والتي بلغت (67.43 و 73.05 و 70.57 و 71.42 و 72.27 و 73.53) غم. نبات¹، بالترتيب والتي بدورها تفوّقت معنوياً على ما أحرزته معاملة المقارنة التي بلغت 54.08 غم. نبات¹. لوحظ من تأثير التداخل الثنائي بين طريقة الإضافة والسماد العضوي أن التوليفة المكوّنة من طريقة الرش الورقي مع السماد العضوي بتركيز 5 ملغم. لتر¹ 84.65 غم. نبات¹ تفوّقت معنوياً على جميع التوليفات الأخرى المتضمنة طريقة الرسمة مع السماد العضوي بتركيز 5 ملغم. لتر¹ وطريقتي الإضافة (الرش الورقي والرسمة) من دون استعمال السماد العضوي والتي بلغت (69.40 و 73.32 و 67.35) غم. نبات¹، على التتابع.

جدول (9): تأثير الحديد والزنك النانوي وطريقة إضافتهما والسماذ العضوي Drin وتداخلاتها في متوسط الوزن الجاف للمجموع الخضري (غم.نبات⁻¹) لنبات

طريقة الإضافة	تراكيز النانو × طريقة الإضافة	السماذ العضوي مل.لتر ⁻¹		تراكيز النانو	طريقة الإضافة
		5	0		
78.98	68.19	82.65	53.73	0	رش ورقي ^Z
	74.75	78.23	71.27	Fe موصى	
	83.77	93.77	73.77	Fe ضعف الموصى	
	80.53	87.03	74.03	Zn موصى	
	87.42	97.30	77.53	Zn ضعف الموصى	
	78.17	74.47	81.87	Zn+Fe موصى	
	80.62	79.07	82.17	Zn+Fe ضعف الموصى	
68.37	57.27	60.10	54.43	0	رسمة ^Y
	63.17	62.73	63.60	Fe موصى	
	66.98	63.64	70.33	Fe ضعف الموصى	
	72.42	77.73	67.10	Zn موصى	
	72.32	79.33	65.30	Zn ضعف الموصى	
	77.75	73.73	81.77	Zn+Fe موصى	
	68.72	72.53	64.90	Zn+Fe ضعف الموصى	
3.38	N.S		التداخل الثنائي		LSD 0.05
			12.64		
طريقة الإضافة × السماذ العضوي			تراكيز النانو × السماذ العضوي		
طريقة الإضافة	السماذ العضوي مل.لتر ⁻¹		متوسط تراكيز النانو	تراكيز النانو	
	5	0		5	0
رش ورقي	84.65	73.32	62.73	71.38	54.08
			69.45	71.48	67.43
			75.38	77.70	73.05
رسمة	69.40	67.35	76.47	82.38	70.57
			79.87	88.32	71.42
			77.68	83.10	72.27
متوسط السماذ العضوي	77.02	70.34	74.67	75.80	73.53
3.38	LSD 0.05		6.32	LSD 0.05	
4.78			8.93		
			التداخل الثنائي		

Z: الموصى وفق النشرة الإرشادية 1 غم. لتر⁻¹ وضعف الموصى 2 غم. لتر⁻¹ رشاً على الأوراق لكل من نانو الحديد والزنك.
Y: الموصى وفق النشرة الإرشادية 80 ملغم. لتر⁻¹ وضعف الموصى 160 ملغم. لتر⁻¹ مع ماء الري لكل من نانو الحديد والزنك.

أشارت نتائج التداخل الثلاثي بين تراكيز النانو وطريقة الإضافة والسماذ العضوي إلى أن جميع توليفات النانو بطريقة الرش الورقي مع ومن دون استعمال السماذ العضوي كانت أعلى من توليفاتها المناظرة لها عند طريقة الرسمة، وأن أفضل التوليفات من العوامل هي تراكيز النانو المتضمنة (التركيز ضعف الموصى من نانو الحديد والتركيز الموصى وضعف الموصى من نانو الزنك) بطريقة الرش الورقي مع استعمال التركيز 5 مل.لتر⁻¹ والتي أعطت أعلى متوسط للوزن الجاف للمجموع الخضري (93.77 و 87.03 و 97.30) غم.نبات⁻¹ على التتابع والتي لم تختلف عن بعضها معنوياً بالمقارنة مع توليفة المقارنة التي أعطت أقل متوسطاً للوزن الجاف للمجموع الخضري 53.73 غم.نبات⁻¹.

4-1-8: الوزن الجاف للمجموع الجذري للنبات (غم. نبات⁻¹)

Dry Weight of Plant Root System (g. Plant⁻¹)

بيّنت نتائج جدول (10) تأثير معاملات النانو في متوسط الوزن الجاف للمجموع الجذري اذ ظهر ان المعاملات التي شملت التركيز ضعف الموصى من نانو الزنك ومعاملة التركيز الموصى من نانو (حديد+ زنك) والتي لم تختلف معنوياً فيما بينها بتسجيلها (25.58 و 24.78) غم. نبات⁻¹، على التتابع تفوّقت معنوياً على جميع معاملات النانو الاخرى بضمنها نباتات معاملة المقارنة التي سجّلت 17.36 غم. نبات⁻¹. وأثّرت طريقة الإضافة تأثيراً معنوياً على متوسط الوزن الجاف للمجموع الجذري؛ إذ حقّقت طريقة الرش الورقي أعلى متوسطاً للوزن الجاف لجذور نباتاتها بلغ 22.47 غم. نبات⁻¹ متفوقاً على متوسط الوزن الجاف لنباتات طريقة الرسمدة اذ بلغ 21.79 غم. نبات⁻¹. وتفوّقت معاملة السماد الورقي بتركيز 5 مل. لتر⁻¹ في متوسط الوزن الجاف للمجموع الجذري 23.25 غم. نبات⁻¹ على معاملة المقارنة (21.01 غم. نبات⁻¹).

وأظهر التداخل الثنائي المعنوي بين تراكيز النانو وطريقة الإضافة أن التوليفة المكوّنة من نانو الزنك بالتركيز ضعف الموصى بطريقة الرسمدة أعطت أعلى متوسط للوزن الجاف للمجموع الجذري بلغ 28.92 غم. نبات⁻¹ والتي تفوقت معنوياً على جميع متوسطات التوليفات الاخرى بضمنها معاملة المقارنة التي بلغت 15.68 غم. نبات⁻¹. وأظهر تأثير التداخل الثنائي بين تراكيز النانو والسماد العضوي أن توليفات تراكيز النانو المكوّنة من (نانو الحديد بالتركيز الموصى، و نانو الزنك بالتركيز ضعف الموصى والتركيز الموصى من نانو (حديد +الزنك) مع السماد العضوي بتركيز 5 مل. لتر⁻¹ والتوليفة المكونة من التركيز ضعف الموصى من نانو الزنك بدون استعمال السماد العضوي أعطت نباتاتها أعلى متوسطاً للوزن الجاف للمجموع الجذري بلغ (25.83 و 25.92 و 26.88 و 25.25) غم. نبات⁻¹ على التتابع والتي لم تختلف عن بعضها معنوياً ولكنها تفوّقت بشكلٍ معنوي على ما سجّلته جميع التوليفات الاخرى بضمنها توليفة المقارنة التي بلغ متوسط الوزن الجاف للمجموع الجذري لنباتاتها 15.33 غم. نبات⁻¹. أظهر التداخل الثنائي بين طريقة الإضافة والسماد العضوي أن التوليفة المتضمنة طريقة الرسمدة مع استعمال السماد العضوي 5مل. لتر⁻¹ أعطت أعلى وزن جاف لجذورها بلغ 24.26 غم. نبات⁻¹ والتي تفوقت معنوياً على التوليفة المماثلة لها ومن دون استعمال السماد العضوي 19.32 غم. نبات⁻¹، في حين ان استعمال طريقة الرش الورقي مع استعمال السماد العضوي ومن دونه لم تختلف عن بعضها معنوياً اذ أعطت لنباتاتها (22.70 و 22.25) غم. نبات⁻¹، على التتابع.

أشار التداخل الثلاثي المعنوي بين عوامل الدراسة أن أعلى متوسطاً سجّلته الدراسة الحالية كان بتأثير توليفتي التراكيز (ضعف الموصى من نانو الزنك والتركيز الموصى من نانو (حديد +زنك)

النتائج **Results**

والمضافة بطريقة الرسمة مع السماد العضوي (30.10 و 29.63) غم نبات⁻¹ ، على التتابع والتي لم تختلف عن بعضها معنوياً مقارنة بأقل متوسط للصفة قيد الدراسة 15.37 غم نبات⁻¹ عند نباتات المقارنة. في حين مع الرش الورقي تفوقت جميع توليفات تراكيز النانو مع استعمال السماد العضوي على مثيلاتها التي لم يستعمل معها السماد العضوي في متوسط الوزن الجاف للمجموع الجذري وان أعلى وزن بلغ 26.00 غم نبات⁻¹ عند التوليفة المتضمنة التركيز الموصى من نانو الحديد مقارنة بالتوليفات الأخرى عند طريقة الإضافة نفسها أو مقارنة بمعاملة المقارنة 15.30 غم نبات⁻¹ .

جول (10): تأثير الحديد والزنك النانوي وطريقة إضافتهما والسماد العضوي Drin في متوسط الوزن الجاف للمجموع الجذري (غم نبات⁻¹)

طريقة الإضافة	تراكيز النانو	السماد العضوي مل.لتر ⁻¹			
		5	0		
رش ورقي ^Z	0	22.77	15.30		
	Fe موصى	26.00	25.07		
	Fe ضعف الموصى	25.03	23.87		
	Zn موصى	22.30	21.10		
	Zn ضعف الموصى	22.73	21.77		
	Zn+Fe موصى	24.13	23.50		
	Zn+Fe ضعف الموصى	20.77	20.27		
رسمة ^Y	0	16.00	15.37		
	Fe موصى	25.67	17.50		
	Fe ضعف الموصى	22.90	17.90		
	Zn موصى	19.13	21.60		
	Zn ضعف الموصى	30.10	27.73		
	Zn+Fe موصى	29.63	21.83		
	Zn+Fe ضعف الموصى	23.37	16.30		
0.48	1.27	التداخل الثنائي			
1.79					
التداخل الثلاثي		LSD 0.05			
طريقة الإضافة × السماد العضوي		تراكيز النانو × السماد العضوي			
طريقة الإضافة	السماد العضوي مل.لتر ⁻¹	متوسط تراكيز النانو	السماد العضوي مل.لتر ⁻¹		تراكيز النانو
			5	0	
رش ورقي	22.25	22.70	17.36	19.38	15.33
			23.56	25.83	21.28
			22.43	23.97	20.88
رسمة	24.26	19.32	21.03	20.72	21.35
			25.58	25.92	25.25
			24.78	26.88	22.67
متوسط السماد العضوي	23.25	21.01	20.18	20.07	20.28
0.48	LSD 0.05	0.89	LSD 0.05		
0.68	التداخل الثنائي 1.27				

Z: الموصى وفق النشرة الإرشادية 1 غم. لتر⁻¹ وضعف الموصى 2 غم. لتر⁻¹ رشاً على الأوراق لكل من نانو الحديد والزنك.
Y: الموصى وفق النشرة الإرشادية 80 ملغم. لتر⁻¹ وضعف الموصى 160 ملغم. لتر⁻¹ مع ماء الري لكل من نانو الحديد والزنك.

4-1-9: متوسط النمو النسبي بعد الرشة الأولى (سم.سم⁻¹.اسبوع⁻¹)

Relative growth rate after primary foliar application (cm.cm⁻¹.week⁻¹)

أشارت نتائج جدول (11) إلى أنّ متوسط متوسط النمو النسبي لنبات الدجاج زاد معنوياً مع جميع تراكيز النانو [الموصى وضعف الموصى من نانو الحديد و الموصى وضعف الموصى من نانو الزنك و اضافتهما معا (حديد+زنك) وفق التركيز الموصى وضعف الموصى به] اذ سجّلت (0.170 و 0.182 و 0.187 و 0.184 و 0.164 و 0.179) سم.سم⁻¹.اسبوع⁻¹، على التتابع مقارنةً بمتوسط متوسط النمو النسبي لنباتات معاملة المقارنة البالغ 0.125 سم.سم⁻¹.اسبوع⁻¹. ان طريقة الإضافة لم تظهر تأثيراً معنوياً في متوسط النمو النسبي. وسجّلت معاملة السماد العضوي 5مل.لتر⁻¹ تفوقاً معنوياً بأعلى نمو نسبي بلغ 0.180 سم.سم⁻¹.اسبوع⁻¹، مقارنةً بمتوسط متوسط النمو النسبي لنباتات المقارنة 0.160 سم.سم⁻¹.اسبوع⁻¹.

ولم يعط التداخل الثنائي بين تراكيز النانو وطريقة الإضافة تأثيراً معنوياً لمتوسط النمو النسبي بالرغم من وجود فروقٍ بين التوليفات في متوسط النمو النسبي للنباتات إلا أنها لم تكن بالقدر المعنوي الذي يسمح في اعتماد التوليفة الأفضل في ذلك المجال. أظهر التداخل الثنائي بين تراكيز النانو والسماد العضوي المعنوي أن المعاملات النانوية المتضمنة السماد العضوي كانت أعلى من مثيلاتها التي لم تشمل على السماد العضوي عدا معاملة نانو الزنك بالتركيز الموصى حيث كان أعلى من دون سماد عضوي 0.193 سم.سم⁻¹.اسبوع⁻¹ مقارنةً باستعمال السماد العضوي معه 0.181 سم.سم⁻¹.اسبوع⁻¹، وكذا الحال مع التركيز الموصى من نانو (حديد+زنك) البالغة 0.175 سم.سم⁻¹.اسبوع⁻¹ من دون استعمال السماد العضوي في حين مع استعمال السماد العضوي 0.153 سم.سم⁻¹.اسبوع⁻¹ الا انها جميعاً كانت أعلى من معاملة المقارنة البالغة 0.088 سم.سم⁻¹.اسبوع⁻¹. حقق التداخل الثنائي المعنوي بين طريقة الإضافة والسماد العضوي تفوقاً معنوياً عند التوليفة المكونة من طريقة الرش الورقي مع استعمال التركيز 5مل.لتر⁻¹ من السماد العضوي والذي بلغ 0.192 سم.سم⁻¹.اسبوع⁻¹ مقارنةً مع التوليفة المكونة من نفس طريقة الإضافة ومن دون استعمال السماد العضوي والتي بلغت أقل متوسط 0.154 سم.سم⁻¹.اسبوع⁻¹، في حين ان توليفتي طريقة الرسمة مع ومن دون استعمال السماد العضوي لم تختلفا عن بعضهما معنوياً بتسجيلهما (0.167 و 0.169) سم.سم⁻¹.اسبوع⁻¹ على التتابع .

ومن تداخل عوامل الدراسة الثلاثة يظهر أن استعمال السماد العضوي مع جميع تراكيز النانو المضافة بطريقة الرش الورقي أعطت متوسطاً لمتوسط النمو النسبي اكبر من مثيلاتها التي أضيفت بطريقة الرسمة مع استعمال السماد العضوي. وان أعلى متوسط نمو نسبي كان عند التوليفة المكونة من نانو الحديد بالتركيز ضعف الموصى بطريقة الرش الورقي مع استعمال السماد العضوي حيث

النتائج Results

بلغت 0.241 سم.سم⁻¹ اسبوع⁻¹ مقارنة بأقل نمو نسبي عند معامليتي المقارنة التابعة لها (0.092 و 0.083) سم.سم⁻¹ اسبوع⁻¹.

جدول (11): تأثير الحديد والزنك النانوي وطريقة إضافتهما والسماذ العضوي Drin وتداخلاتها في متوسط معدل النمو النسبي (سم.سم⁻¹ اسبوع⁻¹) بعد الرشوة الأولى

طريقة الإضافة	تراكيز النانو × طريقة الإضافة	السماذ العضوي مل.لتر ⁻¹		تراكيز النانو	طريقة الإضافة
		5	0		
0.174	متوسط طرق الإضافة	0.124	0.157	0.092	0
		0.158	0.194	0.122	Fe موصى
		0.201	0.241	0.161	Fe ضعف الموصى
		0.195	0.174	0.217	Zn موصى
		0.183	0.209	0.158	Zn ضعف الموصى
		0.170	0.171	0.168	Zn+Fe موصى
		0.188	0.220	0.157	Zn+Fe ضعف الموصى
0.168	متوسط طرق الإضافة	0.127	0.170	0.083	0
		0.183	0.152	0.213	Fe موصى
		0.164	0.146	0.183	Fe ضعف الموصى
		0.179	0.189	0.169	Zn موصى
		0.195	0.195	0.196	Zn ضعف الموصى
		0.158	0.154	0.162	Zn+Fe موصى
		0.169	0.175	0.164	Zn+Fe ضعف الموصى
N.S	N.S	التداخل الثنائي		LSD 0.05	
		0.056		التداخل الثلاثي	
طريقة الإضافة × السماذ العضوي		تراكيز النانو × السماذ العضوي			
طريقة الإضافة	السماذ العضوي مل.لتر ⁻¹	متوسط تراكيز النانو	السماذ العضوي مل.لتر ⁻¹		تراكيز النانو
			5	0	
0.192	0.154	رش ورقى	0.125	0.163	0.088
			0.170	0.173	0.168
			0.182	0.193	0.172
0.169	0.167	رسمة	0.187	0.181	0.193
			0.184	0.202	0.167
			0.164	0.153	0.175
0.180	0.160	متوسط السماذ العضوي	0.179	0.197	0.161
0.015	LSD 0.05	0.028	LSD 0.05		
0.021			0.039		التداخل الثنائي

Z: الموصى وفق النشرة الإرشادية 1 غم. لتر⁻¹ وضعف الموصى 2 غم. لتر⁻¹ رشاً على الأوراق لكل من نانو الحديد والزنك.
Y: الموصى وفق النشرة الإرشادية 80 ملغم. لتر⁻¹ وضعف الموصى 160 ملغم. لتر⁻¹ مع ماء الري لكل من نانو الحديد والزنك.

4-1-10: معدل النمو النسبي بعد الرشة الثانية (سم.سم⁻¹.اسبوع⁻¹)

Relative growth rate after second foliar application (cm.cm⁻¹.week⁻¹)

أظهرت نتائج التحليل الإحصائي لعوامل الدراسة لمتوسط معدل النمو النسبي بعد الرشة الثانية ولمدة اربعة أسابيع في جدول (12) أنه بتأثير جميع التراكيز النانوية ازداد معدل النمو النسبي معنويًا مقارنة بمعاملة المقارنة التي اعطت اقل متوسط للنمو بلغ 0.021 سم.سم⁻¹.اسبوع⁻¹ وان اسرع النباتات نموا بعد الرشة الثانية كانت النباتات المعاملة بالتركيز ضعف الموصى من نانو الزنك 0.031 سم.سم⁻¹.اسبوع⁻¹ مقارنة بالتراكيز النانوية الاخرى. وتشير النتائج الواردة في الجدول نفسه الى التفوق المعنوي لطريقة الرش الورقي بتسجيلها 0.031 سم.سم⁻¹.اسبوع⁻¹ مقارنة بطريقة الرسمدة 0.023 سم.سم⁻¹.اسبوع⁻¹. وان استعمال السماد العضوي بتركيز 5مل.لتر⁻¹ ادى الى زيادة معنوية في متوسط النمو النسبي بلغت 0.029 سم.سم⁻¹.اسبوع⁻¹ مقارنة بمعاملة المقارنة 0.026 سم.سم⁻¹.اسبوع⁻¹.

وأظهرَ التداخل الثنائي بين تراكيز النانو وطريقة الإضافة أن استعمال تراكيز النانو مع طريقة الرش الورقي تفوقت معنويًا على مثيلاتها التي أضيفت بطريقة الرسمدة وان التوليفة المُكوَّنة من نانو الزنك بتركيز ضعف الموصى بطريقة الرش الورقي أعطت أعلى متوسطاً لمعدل النمو النسبي بلغ 0.040 سم.سم⁻¹.اسبوع⁻¹ والتي تفوقت معنويًا على جميع متوسطات التوليفات الاخرى بضمنها التوليفات التي شملت تراكيز النانو بطريقة الرش الورقي أو بالمقارنة مع معاملة المقارنة (0.022) سم.سم⁻¹.اسبوع⁻¹.

وأظهرَ التداخل الثنائي بين تراكيز النانو والسماد العضوي أن استعمال السماد العضوي 5مل.لتر⁻¹ مع جميع التراكيز النانوية أعطت زيادة في متوسط النمو النسبي تفوقت على مثيلاتها التي لم يستعمل معها السماد العضوي عدا التركيز الموصى من نانو الزنك والتركيز الموصى الخليط من نانو (الحديد+زنك) والتي بلغت مع السماد العضوي (0.026 و 0.022) على التتابع مقارنة مع عدم استعماله والبالغة (0.030 و 0.031) سم.سم⁻¹.اسبوع⁻¹ على التتابع ايضا. ومما يجدر ذكره ان تراكيز النانو مع ومن دون استعمال السماد العضوي تفوقت معنويًا على معاملة المقارنة 0.013 سم.سم⁻¹.اسبوع⁻¹. وان التوليفة التي تضمنت التركيز الموصى من نانو الحديد مع استعمال التركيز 5مل.لتر⁻¹ تفوقت على التوليفات الاخرى اذ بلغ 0.034 سم.سم⁻¹.اسبوع⁻¹. التداخل الثنائي بين طريقة الإضافة والسماد العضوي غير معنوي في تأثيره على هذه الصفة. ولم يعط التداخل الثلاثي بين عوامل الدراسة تأثيراً معنوياً لمعدل النمو النسبي. ويتضح من الجدولين (11 و12) ان نمو النبات يكون اسرع بعد الرشة الأولى لتراكيز النانو من النمو بعد الرشة الثانية وهذا ما يؤكد على اهمية اضافة المخصبات في أوقاتها لجدواها الاقتصادية في زيادة نمو النبات.

جدول (12): تأثير الحديد والزنك النانوي وطريقة الإضافة والسماذ العضوي Drin وتداخلاتها في متوسط معدل النمو النسبي (سم.سم⁻¹.أسبوع⁻¹) بعد الرش الثانية

طريقة الإضافة	تراكيز النانو × طريقة الإضافة	السماذ العضوي مل.لتر ⁻¹		تراكيز النانو	طريقة الإضافة	
		5	0			
0.031	0.022	0.027	0.016	0	رش ورقي ^Z	
		0.040	0.026	Fe موسى		
		0.036	0.036	Fe ضعف الموصى		
		0.027	0.031	Zn موسى		
		0.040	0.038	Zn ضعف الموصى		
		0.030	0.036	Zn+Fe موسى		
		0.027	0.028	Zn+Fe ضعف الموصى		
0.023	0.021	0.034	0.009	0	رسمة ^Y	
		0.028	0.025	Fe موسى		
		0.022	0.018	Fe ضعف الموصى		
		0.029	0.030	Zn موسى		
		0.022	0.023	Zn ضعف الموصى		
		0.022	0.026	Zn+Fe موسى		
		0.023	0.016	Zn+Fe ضعف الموصى		
0.002	0.006	التداخل الثنائي		LSD 0.05		
N.S					التداخل الثلاثي	
طريقة الإضافة × السماذ العضوي			تراكيز النانو × السماذ العضوي			
السماذ العضوي مل.لتر ⁻¹	طريقة الإضافة	متوسط تراكيز النانو	السماذ العضوي مل.لتر ⁻¹		تراكيز النانو	
			5	0		
0.031	0.030	رش ورقي	0.021	0.030	0.013	0
			0.030	0.034	0.026	Fe موسى
			0.028	0.029	0.027	Fe ضعف الموصى
0.026	0.021	رسمة	0.028	0.026	0.030	Zn موسى
			0.031	0.033	0.030	Zn ضعف الموصى
			0.026	0.022	0.031	Zn+Fe موسى
0.029	0.026	متوسط السماذ العضوي	0.025	0.028	0.022	Zn+Fe ضعف الموصى
0.002	LSD 0.05	0.004	LSD 0.05			
N.S			0.006			التداخل الثنائي

Z: الموصى وفق النشرة الإرشادية 1 غم. لتر⁻¹ وضعف الموصى 2 غم. لتر⁻¹ رشاً على الأوراق لكل من نانو الحديد والزنك.
Y: الموصى وفق النشرة الإرشادية 80 ملغم. لتر⁻¹ وضعف الموصى 160 ملغم. لتر⁻¹ مع ماء الري لكل من نانو الحديد والزنك.

2-4: تأثير نانو الحديد والزنك وطريقة الإضافة والسماذ العضوي Drin في المحتوى المعدني والعضوي

1-2-4: النسبة المئوية للنيتروجين في الأوراق (%)

Nitrogen Percentage in Leaves (%)

يبين الجدول (13) أنّ معاملة النباتات بالتركيز الموصى من نانو الحديد والتركيز الموصى من نانو الزنك وازدافتهما معا وفق التركيز الموصى به وضعف الموصى اعطت محتوى من النيتروجين بلغ (1.298 و 1.267 و 1.229 و 1.214 %) على التتابع، إذ لم تختلف عن بعضها

النتائج **Results**

معنويا لكنها تفوّقت معنويا على نباتات معاملة المقارنة 0.984% التي أعطت أقل محتوى للصفة المذكورة. وتفوقت معاملة طريقة الرش الورقي بمحتوى نباتاتها من النتروجين (1.240%) على معاملة الرسمة (الإضافة مع ماء السقي)، إذ بلغت (1.125%). وفي الإتجاه نفسه فأَنَّ النباتات التي رشت بالسماذ العضوي أعطت أعلى نسبة مئوية للنتروجين في أوراقها بلغت 1.305% مقارنة مع نباتات معاملة المقارنة 1.067%.

جدول (13): تأثير الحديد والزنك النانوي وطريقة الإضافة والسماذ العضوي Drin وتداخلاتها في النسبة المئوية للنتروجين في الأوراق

طريقة الإضافة	تراكيز النانو × طريقة الإضافة	السماذ العضوي مل.لتر ⁻¹		تراكيز النانو	طريقة الإضافة	
		5	0			
1.240	1.090	1.317	0.897	0	رش ورقي ^Z	
	1.292	1.290	1.293	Fe ^{موصى}		
	1.078	1.040	1.117	Fe ^{ضعف الموصى}		
	1.522	1.880	1.163	Zn ^{موصى}		
	1.162	1.220	1.103	Zn ^{ضعف الموصى}		
	1.318	1.643	0.977	Zn+Fe ^{موصى}		
	1.218	1.460	1.010	Zn+Fe ^{ضعف الموصى}		
1.125	0.878	1.063	0.793	0	رسمة ^Y	
	1.305	1.493	1.117	Fe ^{موصى}		
	1.172	1.270	1.073	Fe ^{ضعف الموصى}		
	1.013	0.977	1.050	Zn ^{موصى}		
	1.157	1.130	1.183	Zn ^{ضعف الموصى}		
	1.140	1.207	1.073	Zn+Fe ^{موصى}		
	1.210	1.377	1.043	Zn+Fe ^{ضعف الموصى}		
0.097	0.258	التداخل الثنائي		LSD 0.05		
		0.365		التداخل الثلاثي		
طريقة الإضافة × السماذ العضوي			تراكيز النانو × السماذ العضوي			
طريقة الإضافة		متوسط تراكيز النانو		تراكيز النانو		
السماذ العضوي مل.لتر ⁻¹		السماذ العضوي مل.لتر ⁻¹		السماذ العضوي مل.لتر ⁻¹		
5	0	5	0	5	0	
1.407	1.073	رش ورقي	0.984	1.090	0.878	0
			1.298	1.392	1.205	Fe ^{موصى}
			1.125	1.155	1.095	Fe ^{ضعف الموصى}
1.202	1.063	رسمة	1.267	1.428	1.107	Zn ^{موصى}
			1.159	1.175	1.143	Zn ^{ضعف الموصى}
			1.229	1.425	1.033	Zn+Fe ^{موصى}
1.305	1.067	متوسط السماذ العضوي	1.214	1.418	1.010	Zn+Fe ^{ضعف الموصى}
0.097	LSD 0.05	0.182	LSD 0.05			
0.138	N.S					التداخل الثنائي

Z: الموصى وفق النشرة الإرشادية 1 غم. لتر⁻¹ وضعف الموصى 2 غم. لتر⁻¹ رشاً على الأوراق لكل من نانو الحديد والزنك.
Y: الموصى وفق النشرة الإرشادية 80 ملغم. لتر⁻¹ وضعف الموصى 160 ملغم. لتر⁻¹ مع ماء الري لكل من نانو الحديد والزنك.

وظهرَ من التداخل الثنائي بين تراكيز النانو وطريقة الإضافة أن استعمال طريقة الرش الورقي للتراكيز النانوية لم تختلف معنويا عن مثيلاتها التي اضيفت مع مياه الري في محتوى الاوراق من

النتروجين عدا التركيز الموصى به من نانو الزنك الذي تفوق معنوياً مع الرش الورقي على طريقة الرسمة إذ أعطى مع الرش الورقي 1.522% في حين مع الرسمة بلغ 1.013%. لم يكن التداخل الثنائي بين تراكيز النانو والسماذ العضوي معنوياً في تأثيره في النسبة المئوية للنتروجين بالرغم من وجود فروق بين التوليفات لكنها لا ترتقي إلى مستوى المعنوية. أظهر التداخل الثنائي بين طريقة الإضافة والسماذ العضوي أن استعمال السماذ العضوي مع طريقتي الإضافة (الرش الورقي والرسمة) أعطى لنباتاته نسبة مئوية من النتروجين تفوقت معنوياً على توليفات عدم استعماله، وأن أعلى نسبة مئوية للنتروجين بلغت 1.407% عند المعاملة التي شملت طريقة الرش الورقي مع استعمال السماذ العضوي 5مل/لتر⁻¹ بالمقارنة مع أقل محتوى عند التوليفة التي شملت طريقة الرسمة وعدم استعمال السماذ العضوي 1.063%.

أظهر التداخل الثلاثي المعنوي لعوامل الدراسة أن النباتات التي تم معاملتها بالتراكيز النانوية اختلفت نسبة النتروجين في أوراقها بحسب توليفاتها من طريقة الإضافة ففي الوقت الذي بلغت أعلى نسبة نتروجين (1.880 و 1.643%) مع طريقة الرش الورقي عند التوليفة المكوّنة من التركيز الموصى من نانو الزنك والتركيز الموصى نانو (حديد+زنك) مع 5مل/لتر⁻¹ من السماذ العضوي على التتابع كان أعلى محتوى للأوراق من النتروجين (1.493 و 1.377%) مع طريقة الرسمة عند التوليفة المكوّنة من التركيز الموصى من نانو الحديد والتركيز ضعف الموصى من نانو (حديد+زنك) مع 5مل/لتر⁻¹ من السماذ العضوي على التتابع، مقارنة بالتوليفات الأخرى أو مقارنة بمعاملتي المقارنة التابعة لها (0.897 و 0.793%) على التتابع.

2-2-4: النسبة المئوية للبروتين الكلي في الأوراق (%)

Total Protein Percentage in Leaves (%)

يظهر من بيانات جدول (14) أنّ معاملة النباتات بالتركيز الموصى من نانو الحديد ونانو الزنك تفوّقت بمحتوى أوراق نباتاتها من البروتين (7.401 و 7.375%) بالترتيب، على النباتات المعاملة بالتركيز ضعف الموصى من نانو الحديد و نانو الزنك والتي بلغت (6.427 و 6.846%) على التتابع، وأن إضافتهما معاً بالتركيز الموصى تفوق على التركيز ضعف الموصى منهما إذ بلغا (7.254 و 7.154%) على التتابع، وأن معاملة المقارنة سجلت أقل محتوى من البروتين في الأوراق 6.164%. وأعطت معاملة طريقة الرش الورقي لنباتاتها نسبة مئوية للبروتين (7.214%) تفوقت معنوياً على ما أعطته معاملة الرسمة إذ بلغت (6.678%). وفي الإتجاه نفسه فإنّ النباتات التي رشت بالسماذ العضوي 7.538% تفوقت معنوياً على معاملة المقارنة البالغة 6.354%.

وظهر من التداخل الثنائي بين تراكيز النانو وطريقة الإضافة أن التوليفة المكوّنة من التركيز الموصى من نانو الزنك والمضافة بطريقة الرش الورقي تفوقت نباتاتها معنوياً في النسبة المئوية

النتائج **Results**

للبروتين 8.680% على جميع التوليفات الاخرى من ضمنها معاملة المقارنة التي بلغت أقل محتوى من البروتين 6.268%. ولم تعط التداخلات الثنائية بين تراكيز النانو والسماذ العضوي من جهة اخرى تأثيراً معنوياً في متوسط للنسبة المئوية للبروتين. وأشار التداخل الثنائي المعنوي بين طريقة الإضافة والسماذ العضوي الى ان النباتات التي استعمل معها السماذ العضوي مع طريقتي الإضافة أعطت نسبة مئوية للبروتين تفوقت من خلالها معنوياً مثيلاتها مع عدم استعماله، وإن التوليفة المكونة من طريقة الرش الورقي مع السماذ العضوي أعطت أعلى نسبة مئوية للبروتين بلغت 8.000% مقارنة مع التوليفات الاخرى.

جدول (14): تأثير الحديد والزنك النانوي وطريقة إضافتهما والسماذ العضوي Drin في النسبة المئوية للبروتين في الأوراق

طريقة الإضافة	تراكيز النانو × طريقة الإضافة	السماذ العضوي مل.لتر ⁻¹		تراكيز النانو	طريقة الإضافة
		5	0		
7.214	6.268	7.483	5.053	0	رش ورقي ^Z
	7.263	7.310	7.217	Fe ^{موصى}	
	6.480	6.253	6.707	Fe ^{ضعف الموصى}	
	8.680	10.447	6.913	Zn ^{موصى}	
	7.052	7.790	6.313	Zn ^{ضعف الموصى}	
	7.300	7.987	6.613	Zn+Fe ^{موصى}	
	7.453	8.730	6.177	Zn+Fe ^{ضعف الموصى}	
6.678	6.060	7.087	5.033	0	رسمة ^Y
	7.538	8.533	6.543	Fe ^{موصى}	
	6.373	7.253	5.493	Fe ^{ضعف الموصى}	
	6.070	5.983	6.157	Zn ^{موصى}	
	6.640	6.350	6.930	Zn ^{ضعف الموصى}	
	7.208	6.900	7.517	Zn+Fe ^{موصى}	
	6.855	7.423	6.287	Zn+Fe ^{ضعف الموصى}	
0.387	1.024	التداخل الثنائي		LSD _{0.05}	
		1.449		التداخل الثلاثي	
طريقة الإضافة × السماذ العضوي		تراكيز النانو × السماذ العضوي			
السماذ العضوي مل.لتر ⁻¹	طريقة الإضافة	متوسط تراكيز النانو	السماذ العضوي مل.لتر ⁻¹		تراكيز النانو
			5	0	
8.000	رش ورقي	6.164	7.285	5.043	0
		7.401	7.922	6.880	Fe ^{موصى}
		6.427	6.753	6.100	Fe ^{ضعف الموصى}
7.076	رسمة	7.375	8.215	6.535	Zn ^{موصى}
		6.846	7.070	6.622	Zn ^{ضعف الموصى}
		7.254	7.443	7.065	Zn+Fe ^{موصى}
7.538	6.354	7.154	8.077	6.232	Zn+Fe ^{ضعف الموصى}
0.387	LSD _{0.05}	0.724	LSD _{0.05}		
0.547	N.S				التداخل الثنائي

Z: الموصى وفق النشرة الإرشادية 1 غم. لتر⁻¹ وضعف الموصى 2 غم. لتر⁻¹ رشاً على الأوراق لكل من نانو الحديد والزنك.
Y: الموصى وفق النشرة الإرشادية 80 ملغم. لتر⁻¹ وضعف الموصى 160 ملغم. لتر⁻¹ مع ماء الري لكل من نانو الحديد والزنك.

ويظهر من التداخل الثلاثي المعنوي ان النباتات التي تم معاملتها بتركيز النانو اختلفت نسبة البروتين فيها بحسب توليفاتها من طريقة الإضافة ففي الوقت الذي بلغت أعلى نسبة للبروتين مع طريقة الرش الورقي (10.447 و 8.730%) عند التوليفتين المكوّنتين من التركيز الموصى من نانو الزنك والتركيز ضعف الموصى نانو (حديد+زنك) مع 5مل.لتر⁻¹ سماد عضوي على التابع كانت أعلى نسبة للبروتين (8.533 و 7.423%) مع طريقة الرسمة عند توليفتي التركيز الموصى من نانو الحديد والتركيز ضعف الموصى من نانو (حديد+زنك) مع 5مل.لتر⁻¹ من السماد العضوي على التابع، ، مقارنة بالتوليفات الاخرى ومعاملتي المقارنة التابعة لها (5.053 و 5.033%).

4-2-3: النسبة المئوية للفسفور في الأوراق (%)

Phosphorus Percentage in Leaves (%)

اظهر الجدول (15) التفوق المعنوي للتركيز النانوية بمحتوى أوراق نباتاتها من الفسفور مقارنة بمعاملة المقارنة التي بلغت أقل نسبة مئوية من الفسفور بتسجيلها 0.5050%. وان اعلى محتوى للفسفور بلغ 0.6108% عند النباتات التي تم معاملتها بالتركيز الموصى به من نانو الزنك والتي بدورها تفوقت معنوياً على جميع التركيزات النانوية الأخرى. وبيّن التأثير المعنوي لطريقة الإضافة أنّ النباتات التي أضيفت لها تراكيز النانو بطريقة الرسمة (مع مياه الري) سجّلت أعلى نسبة مئوية للفسفور في أوراقها بلغت 0.5664% والتي تفوقت معنوياً على ما سجّلته النباتات التي استعملت طريقة الرش الورقي البالغة 0.5500%. وتفوّقت معاملة السماد العضوي بتركيز 5 مل.لتر⁻¹ بمحتوى أوراق نباتاتها من الفسفور البالغ 0.5881% معنوياً على نباتات معاملة المقارنة التي سجّلت 0.5283%.

وأظهرَ التداخل الثنائي المعنوي بين طريقة الإضافة وتراكيز النانو التفوق المعنوي للتوليفة المكونة من نانو الزنك بالتركيز الموصى والمضافة بطريقة الرش الورقي البالغة 0.6967% على جميع التوليفات الاخرى للتداخل، تلاه استعمال التوليفة المكونة من التركيز ضعف الموصى من نانو الحديد والتركيز ضعف الموصى من نانو الزنك والمضافة مع ماء الري (الرسمة) والتي أعطت محتوى متساوياً من الفسفور اذ بلغتا 0.6317% لكل منهما، مقارنةً بالتوليفات الاخرى أو مقارنة بمعاملة المقارنة التابعة لها 0.4967% التي أعطت أقل محتوى من الفسفور. وأشارَ التداخل الثنائي بين تراكيز النانو والسماد العضوي إلى أنّ توليفات استعمال السماد العضوي مع جميع تراكيز النانو تفوّقت على نظيراتها من توليفات عدم استعماله، هذا وأن توليفة التركيز الموصى من نانو الزنك مع 5 مل. لتر⁻¹ من السماد العضوي تفوقت معنوياً على جميع التوليفات الاخرى في النسبة المئوية للفسفور التي بلغت 0.6850%، وان أقل محتوى بلغ 0.4967% عند معاملة المقارنة. وبين

النتائج

التداخل المعنوي بين طريقة الإضافة والسماذ العضوي أن توليفات استعمل السماذ العضوي مع طريقتي الإضافة (الرش الورقي والرسمدة) تفوّقت معنوياً على نظيراتها من توليفات عدم استعماله، هذا وأن طريقة الرسمدة مع 5 مل. لتر⁻¹ من السماذ العضوي حقّقت أعلى نسبة مئوية من الفسفور بلغت 0.6071 % مقارنةً بباقي التوليفات الأخرى.

جدول (15): تأثير الحديد والزنك النانوي وطريقة إضافتهما والسماذ العضوي Drin وتداخلاتها في النسبة المئوية للفسفور في الأوراق نبات الديباج

طريقة الإضافة	تراكيز النانو × طريقة الإضافة	السماذ العضوي مل.لتر ⁻¹		تراكيز النانو	طريقة الإضافة	
		5	0			
0.5500	0.5133	0.5200	0.5067	0	رش ورقي ^Z	
	0.5333	0.5367	0.5300	Fe موسى		
	0.5083	0.4833	0.5333	Fe ضعف الموصى		
	0.6967	0.8333	0.5600	Zn موسى		
	0.5217	0.5067	0.5367	Zn ضعف الموصى		
	0.5050	0.5033	0.5067	Zn+Fe موسى		
	0.5717	0.6000	0.5433	Zn+Fe ضعف الموصى		
0.5664	0.4967	0.5067	0.4867	0	رسمدة ^Y	
	0.5533	0.6100	0.5067	Fe موسى		
	0.6317	0.7300	0.5333	Fe ضعف الموصى		
	0.5250	0.5367	0.5133	Zn موسى		
	0.6317	0.6667	0.5967	Zn ضعف الموصى		
	0.5717	0.6033	0.5400	Zn+Fe موسى		
	0.5500	0.5967	0.5033	Zn+Fe ضعف الموصى		
0.0161	0.0427	التداخل الثنائي		LSD 0.05		
0.0603				التداخل الثلاثي		
طريقة الإضافة × السماذ العضوي			تراكيز النانو × السماذ العضوي			
السماذ العضوي مل.لتر ⁻¹		طريقة الإضافة	متوسط تراكيز النانو	السماذ العضوي مل.لتر ⁻¹		تراكيز النانو
5	0			5	0	
0.5690	0.5310	رش ورقي	0.5050	0.5133	0.4967	0
			0.5458	0.5733	0.5183	Fe موسى
			0.5700	0.6067	0.5333	Fe ضعف الموصى
0.6071	0.5257	رسمدة	0.6108	0.6850	0.5367	Zn موسى
			0.5767	0.5817	0.5667	Zn ضعف الموصى
			0.5383	0.5533	0.5233	Zn+Fe موسى
0.5881	0.5283	متوسط السماذ العضوي	0.5608	0.5983	0.5233	Zn+Fe ضعف الموصى
0.0161	LSD 0.05	0.0302	LSD 0.05			
0.0228	0.0427					التداخل الثنائي

Z: الموصى وفق النشرة الإرشادية 1 غم. لتر⁻¹ وضعف الموصى 2 غم. لتر⁻¹ رشاً على الأوراق لكل من نانو الحديد والزنك.
Y: الموصى وفق النشرة الإرشادية 80 ملغم. لتر⁻¹ وضعف الموصى 160 ملغم. لتر⁻¹ مع ماء الري لكل من نانو الحديد والزنك.

أظهر التداخل الثلاثي لعوامل الدراسة أن استعمال السماذ العضوي مع جميع تراكيز النانو والمضافة بطريقة الرسمدة أعطت أعلى من مثيلاتها التي لم يستعمل معها السماذ العضوي، في حين

ان الزيادة تذبذبت مع طريقة الرش الورقي اعتمادا على التراكيز النانوية المستعملة. وان أعلى نسبة مئوية للفسفور في الأوراق كانت عند النباتات التي رشت بالتركيز الموصى من نانو الزنك والمُعاملة بـ 5 مل/لتر¹ من السماد العضوي إذ سجّلت 0.8333% والتي تفوّقت معنوياً على جميع النسب الأخرى بتأثير التوليفات الأخرى تلاه التركيز ضعف الموصى من نانو الحديد والمضاف بطريقة الرسمة واستعمال 5 مل/لتر¹ من السماد العضوي البالغة 0.7300%.

4-2-4: النسبة المئوية للبوتاسيوم في الأوراق (%)

Potassium Percentage in Leaves (%)

بيّن جدول (16) أنّ النسبة المئوية للبوتاسيوم في الأوراق زادت بشكلٍ معنوي مع تراكيز النانو المكونة من (ضعف الموصى من نانو الحديد والتركيز الموصى وضعف الموصى من نانو الزنك وضاافتهما معا بالتركيز الموصى) والتي أعطت للنباتات المعاملة بها أعلى نسبة للبوتاسيوم بلغت (0.920 و 0.933 و 0.898 و 0.964%) على التتابع، والتي لم تختلف معنوياً عن بعضها لكنها تفوّقت معنوياً على نسبته في نباتات المقارنة (0.775%). وأعطت طريقة الرسمة هي الأخرى تفوّقاً معنوياً للبوتاسيوم بلغ 0.903% مقارنةً بنسبة البوتاسيوم في أوراق نباتات طريقة الرش الورقي 0.854%. وفي اتجاهٍ آخر أعطت معاملة السماد العضوي تفوّقاً معنوياً في النسبة المئوية للبوتاسيوم حيث بلغت 0.996% مقارنةً بنسبته في أوراق نباتات المقارنة 0.760%.

زاد التداخل الثنائي المعنوي بين تراكيز النانو وطريقة الإضافة من نسبة البوتاسيوم في أوراق نبات الديباج وخاصةً مع توليفتيه المُكوّنتين من التركيز الموصى من نانو (الحديد+الزنك) والمضافة بطريقة الرسمة والتوليفة المكونة من التركيز الموصى من نانو الزنك والمضاف بطريقة الرش الورقي البالغة (1.078 و 1.015%) على التتابع واللتين لم تختلفا معنوياً عن بعضهما ولكنهما تفوقتا معنوياً على جميع التوليفات الأخرى للتداخل بضمنها نسبة البوتاسيوم في أوراق نباتات معاملتي المقارنة التابعة لهما البالغة (0.800 و 0.750%). وأوضح التداخل الثنائي المعنوي بين تراكيز النانو والسماد العضوي أنّ النسبة المئوية للبوتاسيوم في أوراق النباتات المعاملة بالسماد العضوي مع جميع التراكيز النانوية تفوقت معنوياً على مثيلاتها من عدم استعماله. فمع استعمال السماد العضوي أعلى نسبة مئوية للبوتاسيوم ظهرت عند معاملة النباتات بالتركيز الموصى من نانو (الحديد+الزنك) حيث بلغت 1.097% مقارنةً بالتوليفات الأخرى، أو مقارنةً بمعاملة المقارنة التي أعطت أقل محتوى من البوتاسيوم والبالغة 0.718%. وفي السياق نفسه أظهرَ التداخل الثنائي بين طريقة الإضافة والسماد العضوي أنّ أعلى نسبة مئوية للبوتاسيوم في النباتات المستعمل معها السماد العضوي كانت

النتائج **Results**

عند استعمال طريقة الرسمدة إذ بلغت 1.047% والتي تفوقت معنوياً على جميع التوليفات الأخرى للتداخل.

جدول (16): تأثير الحديد والزنك النانوي وطريقة إضافتهما والسماذ العضوي Drin وتداخلاتها في النسبة المئوية للبولتاسيوم في الأوراق

طريقة الإضافة	تراكيز النانو × طريقة الإضافة	السماذ العضوي مل.لتر ⁻¹		تراكيز النانو	طريقة الإضافة
		5	0		
0.854	0.750	0.753	0.747	0	رش ورقي ^Z
	0.763	0.783	0.743	Fe موسى	
	0.892	1.020	0.763	Fe ضعف الموصى	
	1.015	1.237	0.793	Zn موسى	
	0.833	0.930	0.737	Zn ضعف الموصى	
	0.850	0.907	0.793	Zn+Fe موسى	
	0.877	0.990	0.763	Zn+Fe ضعف الموصى	
0.903	0.800	0.910	0.690	0	رسمدة ^Y
	0.890	1.037	0.743	Fe موسى	
	0.948	1.170	0.727	Fe ضعف الموصى	
	0.852	0.953	0.750	Zn موسى	
	0.963	1.113	0.813	Zn ضعف الموصى	
	1.078	1.287	0.870	Zn+Fe موسى	
	0.787	0.860	0.713	Zn+Fe ضعف الموصى	
0.042	0.111	التداخل الثنائي		LSD 0.05	
		0.157		التداخل الثلاثي	
طريقة الإضافة × السماذ العضوي			تراكيز النانو × السماذ العضوي		
طريقة الإضافة		متوسط تراكيز النانو	السماذ العضوي مل.لتر ⁻¹		تراكيز النانو
			5	0	
0.946	0.763	رش ورقي	0.775	0.832	0.718
			0.827	0.910	0.743
			0.920	1.095	0.745
1.047	0.758	رسمدة	0.933	1.095	0.772
			0.898	1.022	0.775
			0.964	1.097	0.832
0.996	0.760	متوسط السماذ العضوي	0.832	0.925	0.738
0.042	LSD 0.05	0.078	LSD 0.05		
0.059			0.111		التداخل الثنائي

Z: الموصى وفق النشرة الإرشادية 1 غم. لتر⁻¹ وضعف الموصى 2 غم. لتر⁻¹ رشاً على الأوراق لكل من نانو الحديد والزنك.
Y: الموصى وفق النشرة الإرشادية 80 ملغم. لتر⁻¹ وضعف الموصى 160 ملغم. لتر⁻¹ مع ماء الري لكل من نانو الحديد والزنك.

وفي التداخل الثلاثي ظهر أن النباتات المستعمل معها السماذ العضوي ولجميع تراكيز النانو ومع طريقتي الإضافة (الرش الورقي والرسمدة) أعطت أعلى من مثيلاتها التي لم تشتمل على استعمال السماذ العضوي، وان أعلى نسبة مئوية للبولتاسيوم كانت عند التوليفة المكونة من التركيز الموصى من نانو (الحديد+الزنك) مع طريقة الرسمدة والتوليفة المكونة من نانو الزنك بالتركيز الموصى بطريقة الرش الورقي واستعمال 5 مل.لتر⁻¹ من السماذ العضوي البالغة (1.287)

و1.237%) على التتابع واللتين لم تختلفا عن بعضهما معنويا ولكنهما تفوقتا معنويا على معاملتي المقارنة التابعة لهما (0.690 و 0.747%) في النسبة المئوية للبوتاسيوم.

4-2-5: النسبة المئوية للمغنيسيوم في الأوراق (%)

Magnesium Percentage in Leaves (%)

يُظهر جدول (17) التفوق المعنوي لتراكيز النانو عند التركيز الموصى وضعف الموصى به من نانو (حديد+زنك) في زيادة النسبة المئوية للمغنيسيوم في الأوراق إلى (1.307 و 1.388%) على التتابع، واللتين تفوقتا معنويا على معاملة المقارنة التي بلغت نسبتها 1.071%. كما تفوقت معاملة الرسمة معنويا في النسبة المئوية للمغنيسيوم في أوراق نباتاتها على نباتات معاملة الرش الورقي (1.327 و 1.050%) على التتابع. وأوضح التأثير المعنوي للسماد العضوي بالتركيز 5مل.لتر⁻¹ في النسبة المئوية للمغنيسيوم أنها زادت بشكل معنوي من 1.060% لنباتات المقارنة إلى 1.303% لنباتات معاملة استعماله.

أظهر التداخل الثنائي بين التراكيز النانوية وطريقة الإضافة أنّ جميع التراكيز النانوية المضافة بطريقة الرسمة (مع ماء الري) أعطت أعلى من مثيلاتها التي أضيفت بطريقة الرش الورقي، وأن التوليفات التي شملت استعمال طريقة الرسمة مع التركيز الموصى من نانو الحديد والتركيز الموصى وضعف الموصى من نانو (الحديد+زنك) أعطت أعلى نسبة مئوية من المغنيسيوم بلغت (1.418 و 1.472 و 1.562%) على التتابع، مقارنة بالتوليفات الأخرى أو مقارنة بمعاملة

المقارنة 1.275%. ويلاحظ من التداخل الثنائي بين تراكيز النانو والسماد العضوي تأثير السماد العضوي في زيادة النسبة المئوية من المغنيسيوم مع جميع تراكيز النانو المستعملة مقارنة بمثيلاتها التي لم يستعمل معها، وإن البيانات في الجدول نفسه تشير الى التفوق المعنوي لتراكيز النانو المكونة من نانو(الحديد + الزنك) بالتركيز الموصى وضعف الموصى مع استعمال السماد العضوي والتي أعطت أعلى نسبة مئوية من المغنيسيوم في الأوراق بلغت (1.545 و 1.667%) على التتابع، بالمقارنة مع التوليفات الأخرى للتداخل أو معاملة المقارنة 1.018%. وفيما يخص التداخل الثنائي بين طريقة الإضافة والسماد العضوي فإن توليفة الرش الورقي مع استعمال السماد العضوي سجّلت أقل نسبة للمغنيسيوم في الأوراق بلغت 0.988%، في حين حصل العكس مع توليفة الرسمة واستعمال السماد العضوي التي سجّلت لنباتاتها بتأثير طريقة الرسمة أعلى نسبة مئوية للمغنيسيوم في الأوراق بلغت 1.617% متفوقة معنويا على نسب باقي التوليفات الأخرى.

ومن تداخل عوامل الدراسة (الثلاثة) يظهر بأن أعلى نسبة مئوية للمغنيسيوم في الأوراق كانت من نصيب النباتات المُعاملة بتوليفات كل من التركيز الموصى وضعف الموصى من نانو (الحديد+

النتائج **Results**

الزنك) بطريقة الرسمة والتركيز 5 مل. لتر⁻¹ من السماد العضوي، إذ سجّلت نسبة مئوية لكل منها بلغت (1.993 و 2.017%) على التتابع، والتي حَقَّقت أعلى نسبة مئوية للمغنيسيوم في الأوراق سجّلتها الدراسة الحالية مقارنةً بما سجّلته التوليفات الأخرى للتداخل أو التداخلات الأخرى.

جدول (17): تأثير الحديد والزنك النانوي وطريقة إضافتهما والسماد العضوي Drin وتداخلاتها في النسبة المئوية للمغنيسيوم في الأوراق

طريقة الإضافة	تراكيز النانو × طريقة الإضافة	السماد العضوي مل.لتر ⁻¹		تراكيز النانو	طريقة الإضافة	
		5	0			
1.050	0.861	0.953	0.770	0	رش ورقي ^Z	
	0.975	0.897	1.053	Fe الموصى		
	1.105	0.907	1.303	Fe ضعف الموصى		
	1.028	0.917	1.140	Zn الموصى		
	1.027	1.030	1.023	Zn ضعف الموصى		
	1.142	1.097	1.187	Zn+Fe الموصى		
	1.215	1.317	1.113	Zn+Fe ضعف الموصى		
1.327	1.275	1.383	1.167	0	رسمة ^Y	
	1.418	1.627	1.210	Fe الموصى		
	1.215	1.637	0.793	Fe ضعف الموصى		
	1.310	1.600	1.020	Zn الموصى		
	1.035	1.063	1.007	Zn ضعف الموصى		
	1.472	1.993	0.950	Zn+Fe الموصى		
	1.562	2.017	1.107	Zn+Fe ضعف الموصى		
0.098	0.258	التداخل الثنائي		LSD 0.05		
		0.365		التداخل الثلاثي		
طريقة الإضافة × السماد العضوي			تراكيز النانو × السماد العضوي			
طريقة الإضافة		متوسط تراكيز النانو	السماد العضوي مل.لتر ⁻¹		تراكيز النانو	
السماد العضوي مل.لتر ⁻¹			5	0		
5	0					
0.988	1.084	رش ورقي	1.071	1.123	1.018	0
			1.144	1.207	1.082	Fe الموصى
			1.160	1.272	1.048	Fe ضعف الموصى
1.617	1.036	رسمة	1.169	1.258	1.080	Zn الموصى
			1.031	1.047	1.015	Zn ضعف الموصى
			1.307	1.545	1.068	Zn+Fe الموصى
1.303	1.060	متوسط السماد العضوي	1.388	1.667	1.110	Zn+Fe ضعف الموصى
0.098	LSD 0.05	0.183	LSD 0.05			
0.138			0.258		التداخل الثنائي	

Z: الموصى وفق النشرة الإرشادية 1 غم. لتر⁻¹ وضعف الموصى 2 غم. لتر⁻¹ رشاً على الأوراق لكل من نانو الحديد والزنك.
Y: الموصى وفق النشرة الإرشادية 80 ملغم. لتر⁻¹ وضعف الموصى 160 ملغم. لتر⁻¹ مع ماء الري لكل من نانو الحديد والزنك.

4-2-6: النسبة المئوية للكالسيوم في الأوراق (%)

Calcium Percentage in Leaves (%)

يُظهر جدول (18) التأثير المعنوي لعوامل الدراسة في النسبة المئوية للكالسيوم في أوراق نبات الديباج التي زادت بزيادة التركيز من الموصى الى ضعف الموصى لكل من نانو الحديد والزنك

النتائج

واضافتهما معا بالتركيز الموصى وضعف الموصى به، وان أعلى نسبة بلغت 1.983% عند للنباتات المعاملة بالتركيز ضعف الموصى من نانو (Zn +Fe) والذي تفوقَ معنوياً على جميع التراكيز النانوية الاخرى بضمنها معاملة المقارنة التي بلغت أقل محتوى 1.541%. وتفوقت طريقة الرسمة في زيادة نسبة الكالسيوم معنوياً إذ بلغت 1.935%، مقارنة بما سجلته معاملة الرش الورقي البالغة 1.647%. وان استعمال السماد العضوي أثر معنوياً في زيادة النسبة المئوية للكالسيوم حيث سجل 1.949% مقارنةً بعدم استعماله البالغة 1.633%.

جدول (18): تأثير الحديد والزنك النانوي وطريقة إضافتهما والسماد العضوي Drin وتداخلاتها في النسبة المئوية للكالسيوم في الأوراق

طريقة الإضافة	تراكيز النانو	السماد العضوي مل.لتر ⁻¹		متوسط طرق الإضافة		
		5	0			
رش ورقي ^Z	0	1.577	1.507	1.647		
	Fe موصى	1.527	1.560			
	Fe ضعف الموصى	1.397	1.787			
	Zn موصى	1.730	1.597			
	Zn ضعف الموصى	1.573	1.660			
	Zn+Fe موصى	1.623	1.657			
	Zn+Fe ضعف الموصى	2.053	1.823			
رسمة ^Y	0	1.587	1.493	1.935		
	Fe موصى	2.157	1.580			
	Fe ضعف الموصى	2.517	1.573			
	Zn موصى	2.393	1.557			
	Zn ضعف الموصى	2.190	1.887			
	Zn+Fe موصى	2.567	1.537			
	Zn+Fe ضعف الموصى	2.407	1.647			
التداخل الثنائي		0.213		LSD 0.05		
التداخل الثلاثي		0.150				
طريقة الإضافة × السماد العضوي		تراكيز النانو × السماد العضوي				
طريقة الإضافة		متوسط تراكيز النانو	السماد العضوي مل.لتر ⁻¹			
			5	0		
رش ورقي	1.639	1.656	1.541	1.582	1.500	0
			1.703	1.837	1.570	Fe موصى
			1.818	1.957	1.680	Fe ضعف الموصى
رسمة	2.260	1.610	1.819	2.062	1.577	Zn موصى
			1.828	1.882	1.773	Zn ضعف الموصى
			1.846	2.095	1.597	Zn+Fe موصى
متوسط السماد العضوي		1.983	2.230	1.735	Zn+Fe ضعف الموصى	
LSD 0.05		0.106	LSD 0.05			
0.080		0.150			التداخل الثنائي	

Z: الموصى وفق النشرة الإرشادية 1 غم. لتر⁻¹ وضعف الموصى 2 غم. لتر⁻¹ رشاً على الأوراق لكل من نانو الحديد والزنك.
Y: الموصى وفق النشرة الإرشادية 80 ملغم. لتر⁻¹ وضعف الموصى 160 ملغم. لتر⁻¹ مع ماء الري لكل من نانو الحديد والزنك.

وأظهرَ التداخل الثنائي المعنوي بين تراكيز النانو وطريقة الإضافة تفوقاً معنوياً لتوليفات استعمال تراكيز النانو بطريقة الرسمة على مثيلاتها التي أضيفت رشا على الأوراق، وان أعلى نسبة مئوية للكالسيوم في الأوراق (2.052%) كانت عند النباتات المعاملة بالتركيز الموصى من نانو (الحديد+الزنك) والمضافة بطريقة الرسمة مقارنةً بنسب باقي توليفات التداخل الأخرى بضمنها توليفة المقارنة التي سجّلت أقل نسبة بلغت 1.540%.

أوضحَ التداخل المعنوي بين تراكيز النانو والسماذ العضوي أن التوليفات المتضمنة استعمال السماذ العضوي مع المخصب النانوي بجميع تراكيزه سجّلت زيادة في نسبة الكالسيوم المئوية في أوراق نباتاتها تفوّقت فيها على مثيلاتها التي لم يستعمل معها السماذ العضوي، وأن أعلى نسبة للكالسيوم بلغت مع توليفة التركيز ضعف الموصى من نانو (الحديد+الزنك) والسماذ العضوي 5 مل. لتر⁻¹ 2.230% مقارنةً بالتوليفات الأخرى للتداخل الثنائي. وببيّنَ التداخل الثنائي بين طريقة الإضافة والسماذ العضوي أن التوليفة المكوّنة من طريقة الرسمة مع السماذ العضوي بالتركيز 5 مل. لتر⁻¹ والبالغة (2.260)%، تفوقت معنوياً على التوليفات الأخرى للتداخل المتضمنة طريقة الرش الورقي مع ومن دون استعمال السماذ العضوي وتوليفة طريقة الرسمة من دون استعمال السماذ العضوي إذ سجلت كل منها (1.639 و 1.656 و 1.610) % على التتابع، والتي لم تختلف عن بعضها معنوياً.

أظهرَ التداخل الثلاثي المعنوي لعوامل الدراسة أن جميع توليفات تراكيز النانو(الموصى وضعف الموصى من نانو الحديد والتركيز الموصى وضعف الموصى من نانو الزنك واضافتها معا وفق التركيز الموصى وضعف الموصى به والتي أضيفت بطريقة الرسمة مع استعمال السماذ العضوي حققت لنباتاتها أعلى نسبة مئوية للكالسيوم بلغت (2.157 و 2.517 و 2.393 و 2.190 و 2.567 و 2.407) % على التتابع، مقارنةً بباقي النسب بتأثير التوليفات الثلاثية الأخرى بضمنها معاملة المقارنة 1.493%.

4-2-7: محتوى الأوراق من الحديد (مايكروغرام.غم⁻¹ وزن جاف)

Leaves Content of Ferric ($\mu\text{g.g}^{-1}$ DW)

أوضحت البيانات الواردة في جدول (19) أنّ مُعاملة النباتات بنانو الحديد التركيز (الموصى وضعف الموصى) والتركيز الموصى وضعف الموصى من نانو (الحديد+الزنك) تفوّقت بمحتوى أوراقها من الحديد (367.80 و 389.60 و 355.80 و 375.80 مايكروغرام.غم⁻¹) معنوياً على نباتات معاملة المقارنة (262.90 مايكروغرام.غم⁻¹) التي تفوّقت بدورها على محتوى أوراق نباتات معاملتي نانو الزنك بالتركيز (الموصى وضعف الموصى) التي أعطت محتوى متساوياً من الحديد بلغ لكل منهما (243.80) مايكروغرام.غم⁻¹. هذا وان النباتات المعاملة بطريقة الرسمة أعطت أوراقها

النتائج **Results**

محتوى من الحديد بلغ 345.40 مايكرو غرام. غم⁻¹ متفوقة معنوياً على النباتات التي استعمل معها طريقة الرش الورقي بمتوسطها البالغ 294.50 مايكرو غرام. غم⁻¹. وأعطت معاملة السماد العضوي 5 مل. لتر⁻¹ لنباتاتها محتوى من الحديد 361.20 مايكرو غرام. غم⁻¹ تفوق معنوياً على معاملة المقارنة، إذ بلغ 278.60 مايكرو غرام. غم⁻¹.

جدول (19): تأثير الحديد والزنك النانوي وطريقة إضافتهما والسماد العضوي Drin وتداخلاتها في محتوى الأوراق من الحديد (مايكرو غرام. غم⁻¹)

طريقة الإضافة	تراكيز النانو × طريقة الإضافة	السماد العضوي مل. لتر ⁻¹		تراكيز النانو	طريقة الإضافة
		5	0		
294.50	250.20	284.00	216.30	0	رش ورقي ^Z
	352.80	372.70	333.00	Fe موسى	
	386.00	378.00	394.00	Fe ضعف الموصى	
	199.80	221.30	178.30	Zn موسى	
	206.50	223.30	189.70	Zn ضعف الموصى	
	310.70	309.70	311.70	Zn+Fe موسى	
	355.30	394.70	316.00	Zn+Fe ضعف الموصى	
345.40	275.70	321.00	230.30	0	رسمة ^Y
	382.80	478.00	287.70	Fe موسى	
	393.20	504.30	282.00	Fe ضعف الموصى	
	287.70	308.00	267.30	Zn موسى	
	281.00	304.30	257.70	Zn ضعف الموصى	
	401.00	469.00	333.00	Zn+Fe موسى	
	396.30	489.00	303.70	Zn+Fe ضعف الموصى	
16.56	43.80	التداخل الثنائي		LSD 0.05	
		61.95		التداخل الثلاثي	
التداخل الثنائي طريقة الإضافة × السماد العضوي			التداخل الثنائي تراكيز النانو × السماد العضوي		
السماد العضوي مل. لتر ⁻¹		متوسط تراكيز النانو		السماد العضوي مل. لتر ⁻¹	
5	0			5	0
312.00	277.00	رش ورقي	262.90	302.50	223.30
			367.80	425.30	310.30
			389.60	441.20	338.00
410.50	280.20	رسمة	243.80	264.70	222.80
			243.80	263.80	223.70
			355.80	389.30	322.30
361.20	278.60	متوسط السماد العضوي	375.80	441.80	309.80
16.56	LSD 0.05	30.97	LSD 0.05		
23.41	التداخل الثنائي	43.80		التداخل الثنائي	

Z: الموصى وفق النشرة الإرشادية 1 غم. لتر⁻¹ وضعف الموصى 2 غم. لتر⁻¹ رشاً على الأوراق لكل من نانو الحديد والزنك.
Y: الموصى وفق النشرة الإرشادية 80 ملغم. لتر⁻¹ وضعف الموصى 160 ملغم. لتر⁻¹ مع ماء الري لكل من نانو الحديد والزنك.

أظهرَ التداخل الثنائي بين تراكيز النانو وطريقة الإضافة أن توليفات طريقة الرسمة مع تراكيز النانو أعطت لنباتاتها محتوى من الحديد تفوقَ على ما أعطته نباتات نفس التراكيز من النانو مع طريقة الرش الورقي. وأنَّ أعلى محتوى للحديد كان عند النباتات التي تم معاملتها بالتركيز الموصى وضعف

الموصى من نانو (الحديد+ الزنك) مع طريقة الرسمة (مع ماء الري) البالغة (401.00 و 396.30) مايكروغرام.غم⁻¹ على التتابع، مقارنة بالتوليفات الاخرى أو مقارنة بأقل محتوى سجل عند توليفتي استعمال نانو الزنك بالتركيز (الموصى وضعف الموصى) مع طريقة الرش الورقي والبالغة (199.80 و 206.50) مايكروغرام.غم⁻¹ على التتابع.

أظهرَ التداخل الثنائي بين تراكيز النانو والسماذ العضوي ان استعمال السماذ العضوي مع جميع التراكيز النانوية جعلها تفوقت في محتوى أوراق نباتاتها من الحديد على مثيلاتها من عدم استعماله، وان التوليفات التي شملت نانو الحديد (التركيز الموصى وضعف الموصى) والتركيز الموصى وضعف الموصى من نانو (الحديد+زنك) مع استعمال 5مل.لتر⁻¹ من السماذ العضوي بلغت (425.30 و 441.20 و 389.30 و 441.80) مايكروغرام.غم⁻¹ على التتابع والتي لم تختلف معنويا عن بعضها ولكنها تفوقت معنويا على جميع التوليفات الاخرى للتداخل بضمنها معاملة المقارنة البالغة 223.30 مايكروغرام.غم⁻¹. وفيما يخص التداخل المعنوي بين طريقة الإضافة والسماذ العضوي فإنَّ النباتات المعاملة بالسماذ العضوي مع طريقتي الإضافة (الرش الورقي والرسمة) تفوقت معنويًا على مثيلاتها التي لم يستعمل معها السماذ العضوي الذي حَقَّقَ لها أعلى محتوى من الحديد في أوراقها بلغ (312.00 و 410.50) مايكروغرام.غم⁻¹ وزن جاف، على التتابع مقارنةً بنباتات توليفتي عدم استعمال السماذ العضوي مع طريقتي الإضافة (الرش الورقي والرسمة) (277.00 و 280.20) مايكروغرام.غم⁻¹ على التتابع.

أظهر التداخل الثلاثي لعوامل الدراسة التفوق المعنوي لتراكيز النانو والمضافة بطريقة الرسمة مع السماذ العضوي على مثيلاتها التي أضيفت بطريقة الرش الورقي مع استعمال السماذ العضوي. وان أعلى محتوى للحديد بلغ (478.00 و 504.30 و 469.00 و 489.00 مايكروغرام.غم⁻¹) عند التوليفات التي تضمنت استعمال طريقة الرسمة مع نانو الحديد بالتركيز (الموصى وضعف الموصى) ونانو (الحديد+ الزنك) بالتركيز الموصى وضعف الموصى مع استعمال السماذ العضوي 5 مل.لتر⁻¹ على التتابع والتي تفوقت معنويا على جميع التوليفات الاخرى من ضمنها معاملة المقارنة البالغة 230.30 مايكروغرام.غم⁻¹.

4-2-8: محتوى الأوراق من الزنك (مايكروغرام.غم⁻¹ وزن جاف)

Leaves Content of Zinc ($\mu\text{g.g}^{-1}$ DW)

اشار الجدول (20) الى أنَّ مُعاملة النباتات بالتركيز الموصى به من نانو الزنك أعطى محتوى من الزنك (44.26 مايكروغرام.غم⁻¹) وتفقَّ معنويًا على جميع التراكيز النانوية الاخرى، وان استعمال التركيز الموصى وضعف الموصى من نانو الحديد أعطى متوسطين (34.12 و 35.50)

النتائج **Results**

مايكرو غرام.غم⁻¹ على التتابع لم يختلفا معنوياً عن معاملة المقارنة 32.87 مايكرو غرام.غم⁻¹ التي بلغت أقل محتوى من الزنك. وفي السياق نفسه نجد ان النباتات المعاملة بطريقة الرش الورقي أعطت محتوى من الزنك بلغ 39.55 مايكرو غرام.غم⁻¹ تفوق معنوياً على النباتات المعاملة بطريقة الرسمة 36.98 مايكرو غرام.غم⁻¹. وتفوقت معاملة السماد العضوي 5 مل.لتر⁻¹ معنوياً بمحتوى أوراق نباتاتها من الزنك 41.81 مايكرو غرام.غم⁻¹ على معاملة المقارنة التي بلغت 34.72 مايكرو غرام.غم⁻¹.

جدول (20): تأثير الحديد والزنك النانوي وطريقة إضافتهما والسماد العضوي Drin وتداخلاتها في محتوى الزنك في الأوراق

طريقة الإضافة	تراكيز النانو	السماد العضوي مل.لتر ⁻¹		متوسط طرق الإضافة
		5	0	
رش ورقي ^Z	0	35.16	31.77	33.46
	Fe موصى	38.07	31.50	34.78
	ضعف الموصى Fe	40.05	35.25	37.65
	موصى Zn	50.25	43.32	46.79
	ضعف الموصى Zn	47.25	38.94	43.10
	Zn+Fe موصى	46.63	33.01	39.82
	ضعف الموصى Zn+Fe	38.69	43.78	41.24
رسمة ^Y	0	34.17	30.37	32.27
	Fe موصى	37.53	29.38	33.46
	ضعف الموصى Fe	39.28	27.40	33.34
	موصى Zn	50.23	33.25	41.74
	ضعف الموصى Zn	40.29	37.64	38.97
	Zn+Fe موصى	42.50	35.47	38.98
	ضعف الموصى Zn+Fe	45.20	35.02	41.24
LSD 0.05	التداخل الثنائي	5.84		1.56
التداخل الثلاثي		N.S		
تراكيز النانو × السماد العضوي		طريقة الإضافة × السماد العضوي		
تراكيز النانو	السماد العضوي مل.لتر ⁻¹	متوسط تراكيز النانو	طريقة الإضافة	
			5	0
0	Fe موصى	32.87	34.66	31.07
		34.12	37.80	30.44
		35.50	39.67	31.33
Fe موصى	ضعف الموصى Fe	44.26	50.24	38.29
		41.03	43.77	38.29
		39.40	44.56	34.24
Zn موصى	ضعف الموصى Zn	40.67	41.94	39.40
		41.81	34.72	34.72
		41.81	34.72	34.72
LSD 0.05	التداخل الثنائي	2.92	LSD 0.05	
التداخل الثلاثي		2.21		
التداخل الثلاثي		4.13		

Z: الموصى وفق النشرة الإرشادية 1 غم. لتر⁻¹ وضعف الموصى 2 غم. لتر⁻¹ رشاً على الأوراق لكل من نانو الحديد والزنك.
Y: الموصى وفق النشرة الإرشادية 80 ملغم. لتر⁻¹ وضعف الموصى 160 ملغم. لتر⁻¹ مع ماء الري لكل من نانو الحديد والزنك.

ولم يعط التداخل الثنائي بين تراكيز النانو وطريقة الإضافة تأثيراً معنوياً في محتوى الأوراق من الزنك. وأظهرَ التداخل الثنائي المعنوي بين تراكيز النانو والسماذ العضوي إنه مع استعمال السماذ العضوي أعطت النباتات المعاملة بالتراكيز النانوية محتوى من الزنك تفوق معنوياً على نظيراتها مع عدم استعماله عدا التركيز ضعف الموصى من نانو (الحديد+الزنك) الذي لم يختلف معنوياً عن نظيره الذي لم يستعمل معه السماذ العضوي (41.94 و 39.40 مايكروغرام.غم⁻¹). وتفوقت التوليفة المتضمنة نانو الزنك بالتركيز الموصى مع السماذ العضوي بتركيز 5 مل.لتر⁻¹ معنوياً في تسجيل أعلى متوسطاً لمحتوى الأوراق من الزنك بلغ 50.24 مايكروغرام.غم⁻¹ مقارنة بالتوليفات الأخرى أو مقارنةً بمعاملة المقارنة 31.07 مايكروغرام.غم⁻¹.

كما ان التداخل المعنوي بين طريقة الإضافة والسماذ العضوي اشار الى ان معاملة الأوراق بالسماذ العضوي مع طريقتي الإضافة (الرش الورقي والرسمدة) تفوقت معنوياً على مثيلاتها التي لم يستعمل معها السماذ العضوي الذي حقق لها أعلى محتوى من الزنك في أوراقها بلغ (42.30 و 41.31) مايكروغرام.غم⁻¹ وزن جاف، على التتابع مقارنةً بنباتات توليفتي عدم استعمال السماذ العضوي مع طريقتي الإضافة (الرش الورقي والرسمدة) (36.80 و 32.65) مايكروغرام.غم⁻¹ على التتابع أيضاً.

ومن تداخل عوامل الدراسة الثلاثة يظهر أن استعمال التراكيز النانوية المشتملة على التركيز الموصى وضعف الموصى من نانو الزنك والتركيز الموصى وضعف الموصى من نانو (الحديد+زنك) مع طريقتي الإضافة (الرش الورقي والرسمدة) واستعمال 5 مل. لتر⁻¹ من السماذ العضوي تفوقت على التوليفات الأخرى للتداخل فمع الرش الورقي بلغت (50.25 و 47.25 و 46.63 و 38.69 مايكروغرام.غم⁻¹) على التتابع، وباستعمال طريقة الرسمدة بلغت (50.23 و 40.29 و 42.50 و 45.20 مايكروغرام.غم⁻¹) على التتابع مقارنةً بالتوليفات الأخرى أو مقارنةً بمعاملتي المقارنة التابعة لها التي بلغت (31.77 و 30.37 مايكروغرام.غم⁻¹).

4-2-9: النسبة المئوية للكربوهيدرات الكلية في الأوراق (%)

Total Carbohydrates Percentage in Leaves (%)

بيّنت نتائج جدول (21) التفوق المعنوي للتراكيز النانوية على معاملة المقارنة، وان أعلى نسبة مئوية للكربوهيدرات بلغت 21.00% عند استعمال التركيز ضعف الموصى من نانو الزنك والتي تفوقت على التراكيز النانوية الأخرى. وان طريقة الإضافة أثرت معنوياً في النسبة المئوية للكربوهيدرات الكلية في الأوراق إذ بلغت 18.91% في نباتات طريقة الرسمدة مقارنةً بنباتات طريقة الرش الورقي 16.78%. وأعطت معاملة السماذ العضوي 5 مل.لتر⁻¹ تفوقاً معنوياً للنسبة

النتائج **Results**

المئوية للكربوهيدرات الكلية في الأوراق بلغت 18.86% مقارنةً بما أعطته معاملة المقارنة من نسبة مئوية بلغت 16.82%.

جدول (21): تأثير الحديد والزنك النانوي وطريقة إضافتهما والسماذ العضوي Drin وتداخلاتها في النسبة المئوية للكربوهيدرات الكلية في أوراق

طريقة الإضافة	تراكميز النانو × طريقة الإضافة	السماذ العضوي مل.لتر ⁻¹		تراكميز النانو	طريقة الإضافة	
		5	0			
16.78	11.52	11.67	11.37	0	رش ورقي ^Z	
	17.08	21.00	13.17	Fe موسى		
	16.23	18.90	13.57	Fe ضعف الموصى		
	16.03	14.80	17.27	Zn موسى		
	20.25	21.77	18.73	Zn ضعف الموصى		
	19.57	20.63	18.50	Zn+Fe موسى		
	16.75	18.70	14.80	Zn+Fe ضعف الموصى		
18.91	15.37	18.43	12.30	0	رسمة ^Y	
	21.20	21.67	20.73	Fe موسى		
	20.12	20.37	19.87	Fe ضعف الموصى		
	18.03	18.63	17.43	Zn موسى		
	21.75	22.73	20.77	Zn ضعف الموصى		
	19.98	20.80	19.17	Zn+Fe موسى		
	15.90	13.97	17.83	Zn+Fe ضعف الموصى		
0.82	2.18	التداخل الثنائي		LSD 0.05		
		3.08		التداخل الثلاثي		
طريقة الإضافة × السماذ العضوي			تراكميز النانو × السماذ العضوي			
السماذ العضوي مل.لتر ⁻¹		طريقة الإضافة	متوسط تراكميز النانو	السماذ العضوي مل.لتر ⁻¹		تراكميز النانو
5	0			5	0	
18.21	15.34	رش ورقي	13.44	15.05	11.83	0
			19.14	21.33	16.95	Fe موسى
			18.18	19.63	16.72	Fe ضعف الموصى
19.51	18.30	رسمة	17.03	16.72	17.35	Zn موسى
			21.00	22.25	19.75	Zn ضعف الموصى
			19.78	21.72	17.83	Zn+Fe موسى
18.86	16.82	متوسط السماذ العضوي	16.33	16.33	16.32	Zn+Fe ضعف الموصى
0.82	LSD 0.05	1.54	LSD 0.05			
1.16	التداخل الثنائي 2.18					

Z: الموصى وفق النشرة الإرشادية 1 غم. لتر⁻¹ وضعف الموصى 2 غم. لتر⁻¹ رشاً على الأوراق لكل من نانو الحديد والزنك.
Y: الموصى وفق النشرة الإرشادية 80 ملغم. لتر⁻¹ وضعف الموصى 160 ملغم. لتر⁻¹ مع ماء الري لكل من نانو الحديد والزنك.

أوضح التداخل الثنائي بين تراكميز النانو وطريقة الإضافة أن التوليفات المتضمنة استعمال طريقة الرسمة مع جميع التراكميز النانوية أعطت محتوى من الكربوهيدرات أعلى من مثيلاتها التي أضيفت بطريقة الرش الورقي عدا التركيز ضعف الموصى من نانو (الحديد+الزنك) إذ بلغ مع الرش الورقي 16.75% في حين مع طريقة الرسمة بلغ 15.90%. هذا وأن أعلى نسبة للكربوهيدرات الكلية بلغتها نباتات طريقة الرسمة كانت مع نانو الحديد بالتركيز الموصى والتركيز ضعف الموصى من نانو الزنك إذ بلغ كلٌ منهما (21.20 و 21.75)% على التتابع.

أظهرَ التداخل الثنائي المعنوي بين تراكيز النانو والسماذ العضوي ان استعمال السماذ العضوي مع جميع التراكيز النانوية تفوقت معنوياً على مثيلاتها من عدم استعماله عدا التركيز الموصى من نانو الزنك والتركيز ضعف الموصى من نانو (الحديد + الزنك) إذ أعطى كل منهما مع استعمال السماذ العضوي (16.72 و 16.33%) على التتابع، ومع عدم استعماله بلغ كل منهما (17.35 و 16.32%) على التتابع أيضاً. وان استعمال توليفاته المُكوّنة من (نانو الحديد بالتركيز الموصى و نانو الزنك بالتركيز ضعف الموصى واستعمالهما معا بالتركيز الموصى) مع 5مل لتر⁻¹ من السماذ العضوي سجّلت أعلى نسبة مئوية للكربوهيدرات الكلية في الأوراق بلغت (21.33 و 22.25 و 21.72%)، على التتابع والتي لم تختلف معنوياً فيما بينها. وبينَ التداخل الثنائي بين طريقة الإضافة والسماذ العضوي أن طريقتي الإضافة (الرش الورقي والرسمدة) مع السماذ العضوي بتركيز 5 مل. لتر⁻¹ سجّلا أعلى نسبة مئوية للكربوهيدرات الكلية في أوراق نباتاتهما بلغت (18.21 و 19.51%)، على التتابع مقارنةً بنظيراتها من توليفتي عدم استعماله والبالغة (15.34 و 18.30%) على التتابع.

يلاحظ من التداخل الثلاثي المعنوي لعوامل الدراسة ان استعمال السماذ العضوي مع تراكيز النانو وبطريقتي الإضافة (الرش الورقي والرسمدة) أعطت محتوى من الكربوهيدرات أعلى مما أعطته التراكيز النانوية ذاتها مع عدم استعماله عدا التركيز الموصى لنانو الزنك بطريقة الرش الورقي والتركيز ضعف الموصى من نانو (الحديد+الزنك) بطريقة الرسمدة إذ حصل العكس فمع استعمال السماذ العضوي بلغت (14.80 و 13.97%) على التتابع، ومع عدم استعماله أعطت (17.27 و 17.83%) على التتابع. وإن أعلى نسبة مئوية من الكربوهيدرات الكلية للدراسة الحالية بلغت 22.73% كانت مع استعمال نانو الزنك بالتركيز ضعف الموصى والمضاف بطريقة الرسمدة واستعمال التركيز 5مل. لتر⁻¹ من السماذ العضوي مقارنة بالتوليفات الأخرى أو مقارنة بمعاملة المقارنة التابعة لها والتي بلغت 12.30%.

4-2-10: محتوى الأوراق من الفينولات الكلية (ملغم.غم⁻¹ وزن جاف)

Leaves Content of Total Phenols (mg.g⁻¹ DW)

أوضحت بيانات الجدول (22) التفوق المعنوي لتراكيز النانو في زيادة محتوى الأوراق من الفينولات الكلية معنوياً في جميع تراكيزه مقارنة بمعاملة المقارنة، وان التركيز الموصى وضعف الموصى من نانو الزنك بلغت أعلى محتوى من الفينولات الكلية (10.524 و 10.016 ملغم.غم⁻¹) مقارنةً بمحتوى نباتات المعاملات الأخرى للنانو أو مقارنة بمعاملة المقارنة التي سجلت أقل محتوى من الفينولات الكلية 7.142 ملغم.غم⁻¹. وفي التأثير المعنوي لطريقة الإضافة في محتوى الأوراق من الفينولات الكلية لوحظ التفوق المعنوي لطريقة الرسمدة إذ سجلت 9.391 ملغم.غم⁻¹

النتائج **Results**

مقارنة بمحتوى نباتات طريقة الرش الورقي 8.607 ملغم.غم⁻¹ التي بلغت أقل محتوى. وتفاوتت معاملة السماد العضوي 5 مل.لتر⁻¹ معنوياً بمحتوى أوراق نباتاتها من الفينولات الكلية 10.033 ملغم.غم⁻¹ على نباتات المقارنة 7.965 ملغم.غم⁻¹.

جدول (22): تأثير الحديد والزنك النانوي وطريقة إضافتهما والسماد العضوي Drin وتداخلاتها في محتوى الأوراق من الفينولات الكلية (ملغم.غم⁻¹)

طريقة الإضافة	تراكيز النانو × طريقة الإضافة	السماد العضوي مل.لتر ⁻¹		تراكيز النانو	طريقة الإضافة	
		5	0			
8.607	6.878	9.213	4.543	0	رش ورقي ^Z	
	7.482	8.263	6.700	Fe موسى		
	7.327	8.293	6.360	Fe ضعف الموصى		
	11.042	12.040	10.043	Zn موسى		
	10.030	13.563	6.497	Zn ضعف الموصى		
	8.495	7.257	9.733	Zn+Fe موسى		
	8.997	9.933	8.060	Zn+Fe ضعف الموصى		
9.391	7.405	9.990	4.820	0	رسمة ^Y	
	10.817	13.073	8.560	Fe موسى		
	10.998	13.190	8.807	Fe ضعف الموصى		
	10.007	10.807	9.207	Zn موسى		
	10.002	10.070	9.933	Zn ضعف الموصى		
	9.328	8.607	10.050	Zn+Fe موسى		
	7.178	6.160	8.197	Zn+Fe ضعف الموصى		
0.265	0.700	التداخل الثنائي		LSD 0.05		
		0.990		التداخل الثلاثي		
طريقة الإضافة × السماد العضوي			تراكيز النانو × السماد العضوي			
طريقة الإضافة		متوسط تراكيز النانو	السماد العضوي مل.لتر ⁻¹		تراكيز النانو	
			5	0		
9.795	7.420	رش ورقي	7.142	9.602	4.682	0
			9.149	10.668	7.630	Fe موسى
			9.112	10.642	7.583	Fe ضعف الموصى
10.271	8.510	رسمة	10.524	11.423	9.625	Zn موسى
			10.016	11.817	8.215	Zn ضعف الموصى
			8.912	7.932	9.892	Zn+Fe موسى
10.033	7.965	متوسط السماد العضوي	8.088	8.047	8.128	Zn+Fe ضعف الموصى
0.265	LSD 0.05	0.495	LSD 0.05			
0.374			0.700		التداخل الثنائي	

Z: الموصى وفق النشرة الإرشادية 1 غم. لتر⁻¹ وضعف الموصى 2 غم. لتر⁻¹ رشاً على الأوراق لكل من نانو الحديد والزنك.
Y: الموصى وفق النشرة الإرشادية 80 ملغم. لتر⁻¹ وضعف الموصى 160 ملغم. لتر⁻¹ مع ماء الري لكل من نانو الحديد والزنك.

ولوحظ من التداخل الثنائي المعنوي بين تراكيز النانو وطريقة الإضافة أن أعلى متوسطاً لمحتوى الأوراق من الفينولات الكلية كان بتأثير الرش الورقي لنانو الزنك بالتركيز الموصى حيث بلغت 11.042 ملغم.غم⁻¹ تبعثها توليفتا نانو الحديد بالتركيز الموصى وضعف الموصى والمضافة مع ماء الري (الرسمة) إذ بلغت (10.817 و 10.998 ملغم.غم⁻¹) على التتابع، والتي لم تختلف معنوياً

عن بعضها ولكنها تفوقت معنوياً على جميع التوليفات الأخرى بضمنها معاملتنا المقارنة التابعة لها (6.878 و 7.405 ملغم.غم⁻¹).

يُشير التداخل الثنائي المعنوي بين تراكيز النانو والسماذ العضوي إلى التفوق المعنوي لجميع تراكيز النانو مع ومن دون استعمال السماذ العضوي على معاملة المقارنة 4.682 ملغم.غم⁻¹، وان أعلى متوسطاً للفينولات الكلية في الأوراق كان بتأثير توليفة السماذ العضوي (5مل.لتر⁻¹) مع التركيز الموصى وضعف الموصى من نانو الزنك التي تفوّقت معنوياً على جميع متوسطات التوليفات الأخرى بتسجيلها محتوى فينولي بلغ (11.423 و 11.817 ملغم.غم⁻¹) على التتابع. وأشار التداخل المعنوي بين طريقة الإضافة والسماذ العضوي إلى أنّ توليفة استعمال السماذ العضوي مع طريقتي الإضافة (الرش الورقي والرسمدة) تفوّقت معنوياً في محتوى أوراقها من الفينولات الكلية (9.795 و 10.271 ملغم.غم⁻¹) على التتابع، على مثيلاتها من توليفات طريقة الإضافة (الرش الورقي والرسمدة) ومن دون استعمال السماذ العضوي التي بلغت (7.420 و 8.510 ملغم.غم⁻¹) بالترتيب.

ومن تداخل عوامل الدراسة الثلاثة يظهر أن استعمال طريقة الرش الورقي مع التركيز الموصى وضعف الموصى من نانو الزنك و5مل.لتر⁻¹ من السماذ العضوي كان الأفضل معنوياً في زيادة محتوى الأوراق من الفينولات الكلية ضمن توليفاتها حيث بلغ (12.040 و 13.563 ملغم.غم⁻¹) على التتابع. في حين مع طريقة الرسمدة كان استعمال كل من التركيز الموصى وضعف الموصى من نانو الحديد والسماذ العضوي الأفضل معنوياً في تفوّق تلك التوليفتين على توليفاتها بمتوسطها (13.073 و 13.190 ملغم.غم⁻¹) على التتابع.

3-4: تأثير نانو الحديد والزنك وطريقة الإضافة والسماذ العضوي Drin في محتوى الأوراق من المواد الفعالة

1-3-4: محتوى الأوراق من الستيرويدات النباتية (%)

Phytosterols content in Leaves(%)

يلاحظ من نتائج الجدول (23) التأثير المعنوي للتركيز النانوية في محتوى الأوراق من الستيرويدات الكلية إذ ازداد بزيادة التركيز من الموصى الى ضعف الموصى مع نانو الحديد ونانو الزنك واضافتها معا وفق التركيز الموصى وضعف الموصى به، وان أعلى محتوى بلغ 20.47% عند التركيز ضعف الموصى من نانو الزنك مقارنة بالتركيز النانوية الأخرى أو مقارنة بأقل محتوى عند معاملة المقارنة البالغة 14.76%. ويشير الجدول نفسه الى التأثير المعنوي لطريقة الإضافة إذ ان أعلى متوسطاً للنسبة المئوية للستيرويدات الكلية بلغ 19.19% للنباتات التي استعملت فيها طريقة الرش الورقي مقارنة بـ 17.12% عند النباتات التي استعملت طريقة الرسمدة. وان

النتائج Results

لاستعمال السماد العضوي تأثير معنوي في زيادة متوسط النسبة المئوية للستروولات الكلية من 16.34% عند نباتات معاملة المقارنة الى 19.91% مع التركيز 5مل.لتر⁻¹ من السماد العضوي.

جدول (23): تأثير الحديد والزنك النانوي وطريقة إضافتهما والسماد العضوي Drin وتداخلاتها في النسبة المئوية للستروولات الكلية في الأوراق

طريقة الإضافة	تراكيز النانو	السماد العضوي مل.لتر ⁻¹		متوسط طرق الإضافة
		5	0	
رش ورقي ^Z	0	13.78	18.37	16.02
	Fe موسى	16.96	19.93	18.44
	Fe ضعف الموسى	20.83	21.22	20.98
	Zn موسى	19.91	20.69	20.30
	Zn ضعف الموسى	19.96	22.55	21.26
	Zn+Fe موسى	16.33	21.04	18.68
	Zn+Fe ضعف الموسى	16.71	20.88	18.69
رسمة ^Y	0	11.61	15.39	13.50
	Fe موسى	16.65	20.13	18.39
	Fe ضعف الموسى	13.24	19.60	16.42
	Zn موسى	14.73	19.11	16.92
	Zn ضعف الموسى	18.63	20.72	19.68
	Zn+Fe موسى	14.58	19.04	16.81
	Zn+Fe ضعف الموسى	14.27	22.00	18.13
LSD 0.05	التداخل الثنائي	N.S		1.00
	التداخل الثلاثي	3.73		
طريقة الإضافة × السماد العضوي		تراكيز النانو × السماد العضوي		
طريقة الإضافة	السماد العضوي مل.لتر ⁻¹	متوسط تراكيز النانو	السماد العضوي مل.لتر ⁻¹	
			5	0
رش ورقي	20.40	17.87	14.76	16.88
			18.42	20.03
			18.70	19.41
رسمة	19.43	14.82	18.61	19.90
			20.47	21.64
			17.52	20.09
متوسط السماد العضوي	19.91	16.34	18.41	21.44
LSD 0.05	1.00	LSD 0.05	1.86	LSD 0.05
1.41		N.S		

Z: الموسى وفق النشرة الإرشادية 1 غم. لتر⁻¹ وضعف الموسى 2 غم. لتر⁻¹ رشاً على الأوراق لكل من نانو الحديد والزنك.
Y: الموسى وفق النشرة الإرشادية 80 ملغم. لتر⁻¹ وضعف الموسى 160 ملغم. لتر⁻¹ مع ماء الري لكل من نانو الحديد والزنك.

ولم تعط التداخلات الثنائية بين تراكيز النانو وطريقة الإضافة من جهة وتراكيز النانو والسماد العضوي من جهة أخرى، تأثيراً معنوياً في متوسط النسبة المئوية للستروولات الكلية. ومن التداخل الثنائي المعنوي بين طريقة الإضافة والسماد العضوي لوحظ أن توليفات استعمال السماد العضوي مع طريقتي الإضافة تفوقت معنوياً على مثيلاتها من عدم استعماله، إذ بلغت النسبة المئوية مع طريقتي الإضافة (الرش الورقي والرسمة) واستعمال السماد العضوي (20.40 و 19.43%) على التتابع

واللتين لم تختلفا عن بعضهما معنويا مقارنة بما حققته الطريقتان (الرش الورقي والرسمدة) من دون استعماله (17.87 و 14.82%) اللتان اختلفتا عنه معنويا.

وان التداخل الثلاثي لعوامل الدراسة يشير الى أن التوليفات التي شملت استعمال السماد العضوي مع تراكيز النانو والمضافة بطريقتي الإضافة (الرش الورقي والرسمدة) تفوقت (تارة معنويا وتارة اخرى غير معنويا) على مثيلاتها التي لم يستعمل معها السماد العضوي. وان التوليفتين المكونة من [التركيز ضعف الموصى من نانو الزنك مع طريقة الرش الورقي والتركيز ضعف الموصى من نانو (الحديد + الزنك) مع طريقة الرسمدة و 5 مل. لتر⁻¹ من السماد العضوي] أعطت أعلى نسبة مئوية للستيرولات الكلية بلغت (22.55 و 22.00% على التتابع) مقارنة بأقل نسبة عند معاملتي المقارنة التابعة لها (13.78 و 11.61%) على التتابع.

ومما يجدر ذكره انه من بين الستيرولات النباتية التي تم ملاحظتها في الدراسة الحالية مركب اللانوسيتيرول Lanosetrol وهو احد المركبات التي تشير الى استراتيجية جديدة في وقاية عدسة العين من تجميع البروتين ومنع إعتام عدسة العين وعلاجها.

4-3-2: محتوى الأوراق من الامايرين (%)

Amyrin content in Leaves(%)

أشارت نتائج جدول (24) إلى أن النسبة المئوية للامايرين في أوراق نبات الديباج زادت بشكل معنوي مع جميع معاملات النانو وسجلت معاملة التركيز ضعف الموصى من نانو (الحديد +زنك) أعلى نسبة بلغت 16.01%، والذي لم يختلف معنويا عن ماسجله التركيز الموصى من نانو الحديد والذي بلغت فيه النسبة المئوية 15.89% مقارنة بمعاملة المقارنة التي بلغت أقل متوسطا 11.83%. وتفوقت طريقة الرسمدة في النسبة المئوية للامايرين عندما بلغت 15.30% مقارنة بما حققته طريقة الرش الورقي التي بلغت 13.62%. كما تشير نتائج الجدول نفسه الى التأثير المعنوي لاستعمال السماد العضوي 5 مل. لتر⁻¹ اذ أعطى أعلى نسبة مئوية للامايرين بلغت 15.23% مقارنة بما حققته نباتات المقارنة 13.69%.

يشير التأثير المعنوي للتداخل الثنائي بين تراكيز النانو وطريقة الإضافة الى ان استعمال تراكيز النانو مع طريقة الرسمدة تفوقت في النسبة المئوية للامايرين على مثيلاتها التي استعملت بطريقة الرش الورقي، وان أعلى نسبة مئوية للامايرين كانت عند التوليفة المكونة من التركيز ضعف الموصى من نانو (الحديد + الزنك) والمضافة مع مياه الري والتي بلغت 17.33% تلاه التركيز الموصى من نانو الحديد والمضاف بنفس الطريقة 16.07% واللذين لم يختلفا عن بعضهما معنويا مقارنة بأقل نسبة مئوية للامايرين عند معاملة المقارنة 11.03%.

جدول(24): تأثير الحديد والزنك النانوي وطريقة إضافتهما والسماذ العضوي Drin وتداخلاتها في النسبة المئوية للاماييرين في الأوراق

طريقة الإضافة	تراكميز النانو × طريقة الإضافة	السماذ العضوي مل.لتر ⁻¹		تراكميز النانو	طريقة الإضافة
		5	0		
13.62	12.62	15.60	9.65	0	رش ورقي ^Z
	15.71	15.13	16.30	Fe موسى	
	13.26	15.60	14.07	ضعف الموصى Fe	
	13.11	15.13	13.91	Zn موسى	
	13.26	12.46	13.63	ضعف الموصى Zn	
	12.65	13.14	12.16	Zn+Fe موسى	
	14.69	14.91	14.48	ضعف الموصى Zn+Fe	
15.30	11.03	12.65	9.41	0	رسمة ^Y
	16.07	16.17	15.98	Fe موسى	
	15.64	16.00	15.28	ضعف الموصى Fe	
	15.33	17.34	13.33	Zn موسى	
	15.96	17.92	14.00	ضعف الموصى Zn	
	15.73	17.21	14.25	Zn+Fe موسى	
	17.33	19.43	15.24	ضعف الموصى Zn+Fe	
0.84	2.22	التداخل الثنائي		LSD 0.05	
N.S التداخل الثلاثي					
طريقة الإضافة × السماذ العضوي			تراكميز النانو × السماذ العضوي		
السماذ العضوي مل.لتر ⁻¹	طريقة الإضافة	متوسط تراكميز النانو	السماذ العضوي مل.لتر ⁻¹		تراكميز النانو
			5	0	
13.78	رش ورقي	11.83	14.13	9.53	0
		15.89	15.65	16.14	Fe موسى
		14.45	14.23	14.67	ضعف الموصى Fe
16.67	رسمة	14.22	14.83	13.62	Zn موسى
		14.61	15.40	13.81	ضعف الموصى Zn
		14.19	15.17	13.20	Zn+Fe موسى
15.23	13.69	16.01	17.07	14.96	ضعف الموصى Zn+Fe
0.84	LSD 0.05	1.57	LSD 0.05		
1.19	2.22 التداخل الثنائي				

Z: الموصى وفق النشرة الإرشادية 1 غم. لتر⁻¹ وضعف الموصى 2 غم. لتر⁻¹ رشاً على الأوراق لكل من نانو الحديد والزنك.
Y: الموصى وفق النشرة الإرشادية 80 ملغم. لتر⁻¹ وضعف الموصى 160 ملغم. لتر⁻¹ مع ماء الري لكل من نانو الحديد والزنك.

ويشير التداخل الثنائي المعنوي بين تراكميز النانو والسماذ العضوي الى ان استعمال السماذ العضوي مع التراكميز النانوية أعطت اعلى من مثيلاتها مع عدم استعماله عدا التركيز الموصى وضعف الموصى من نانو الحديد إذ حصل العكس فمع استعمال السماذ العضوي بلغت (15.65 و 14.23%) على التتابع، وفي حالة عدم استعماله بلغت (16.14 و 14.67%) على التتابع ايضاً. وان أعلى نسبة مئوية للاماييرين كانت عند التركيز ضعف الموصى من نانو (الحديد+الزنك) مع استعمال السماذ العضوي 5مل.لتر⁻¹ البالغة 17.07% مقارنة بأقل محتوى للمادة المذكورة مع معاملة المقارنة 9.53%. أوضح التداخل الثنائي بين طريقة الإضافة والسماذ العضوي أن التوليفة المتضمنة طريقة

الرسمدة مع السماد العضوي بتركيز 5 مل. لتر⁻¹ حققت أعلى نسبة مئوية للامايرين (16.67%) تفوقت معنوياً على نسب جميع التوليفات الثنائية الأخرى للتداخل.

ولم يُظهر التداخل الثلاثي بين عوامل الدراسة وجود تأثير معنوي في النسبة المئوية للامايرين بالرغم من تفوق توليفات تراكيز النانو بطريقة الرسمدة والسماد العضوي على مثيلاتها المُتضمنة طريقة الرش الورقي ذات المتوسطات الأقل .

3-3-4: محتوى الأوراق من مركب السيلينين Selinene (%)

Selinene content in Leaves(%)

أظهرَ جدول (25) التفوق المعنوي لنانو الحديد بالتركيز ضعف الموصى في تسجيل أعلى نسبة مئوية لمركب Selinene في أوراق نبات الديباج بلغ 5.774% مقارنةً بالتراكيز الأخرى من النانو والتي تفوقت بدورها معنوياً على معاملة المقارنة 2.458%. وفي الإتجاه نفسه أحرزت معاملة الرش الورقي أعلى نسبة مئوية لـ Selinene بلغ 4.392%، متفوقاً معنوياً على محتوى نباتات معاملة الرسمدة الذي بلغ 3.928%. وإن استعمال السماد العضوي بالتركيز 5 مل. لتر⁻¹ لم يكن معنوياً في تأثيره في النسبة المئوية للسيلينين Selinene .

لوحظَ من التداخل الثنائي بين تراكيز النانو وطريقة الإضافة أنَّ التوليفة المُكوَّنة من نانو الحديد بالتركيز ضعف الموصى مع طريقتي الإضافة (الرش الورقي والرسمدة) أعطت للنباتات المُعاملة بها أعلى محتوى من الـ Selinene إذ انها مع الرش الورقي بلغت 6.302% والتي تفوقت معنوياً على جميع نسب توليفات التداخل الثنائي الأخرى، ومع الإضافة مع ماء الري سجّلت

5.247% والتي لم تختلف معنوياً عن معاملي الرش الورقي لنانو الزنك بالتركيز الموصى ومعاملة نانو (حديد+زنك) بالتركيز ضعف الموصى ورسمدة التركيز ضعف الموصى من نانو الزنك والبالغة (5.115 و 4.340 و 5.100%)، على التتابع مقارنةً بالتوليفات الأخرى أو مقارنةً بمعالتي المقارنة التابعة لها (2.765% و 2.150%). التداخل الثنائي بين تراكيز النانو والسماد العضوي يشير الى تفوق المعنوي (للتراكيز ضعف الموصى من نانو الحديد والتركيز الموصى من نانو الزنك) منفردة (عدم استعمال السماد العضوي) والتي حققت أعلى نسبة مئوية لـ Selinene بلغت 6.990% و 5.805%)، على التتابع واللذين تفوقا معنوياً على جميع التوليفات الأخرى للتداخل بضمنها معاملة المقارنة 2.250%. ومن التداخل الثنائي المعنوي بين طريقة الإضافة والسماد العضوي يتضح ان استعمال طريقة الرش الورقي مع عدم استعمال السماد العضوي تفوق معنوياً على جميع التوليفات الأخرى للتداخل بتسجيله 4.784% مقارنةً بالتوليفات الأخرى.

النتائج **Results**

وأشارَ التداخل الثلاثي المعنوي لعوامل الدراسة الى أن معاملة استعمال طريقة الرش الورقي لنانو الحديد بالتركيز ضعف الموصى واستعمال السماد العضوي تفوّقت معنوياً على جميع التوليفات الأخرى للتداخل اذ بلغت 7.717 % ، في حين مع طريقة الرسمة بلغ أعلى متوسطاً للمادة الفعالة المذكورة 5.683% عند التركيز ضعف الموصى من نانو الزنك واستعمال السماد العضوي مقارنة بمعامليتي المقارنة التابعة لهما (2.687 و 1.813%).

جدول (25): تأثير الحديد والزنك النانوي وطريقة إضافتهما والسماد العضوي Drin وتداخلاتها في النسبة المئوية لمركب Selinene

طريقة الإضافة	تراكيز النانو × طريقة الإضافة	السماد العضوي مل.لتر ⁻¹		تراكيز النانو	طريقة الإضافة	
		5	0			
4.392	متوسط طرق الإضافة	2.765	2.843	2.687	0	
		4.192	4.197	4.187	Fe موصى	
		6.302	7.717	4.887	Fe ضعف الموصى	
		5.115	5.217	5.013	Zn موصى	
		4.075	3.580	4.570	Zn ضعف الموصى	
		3.957	4.073	3.840	Zn+Fe موصى	
		4.340	4.207	4.473	Zn+Fe ضعف الموصى	
3.928	رسمدة ^Y	2.150	2.487	1.813	0	
		3.443	3.647	3.240	Fe موصى	
		5.247	5.263	5.230	Fe ضعف الموصى	
		3.868	2.140	5.597	Zn موصى	
		5.100	5.683	4.517	Zn ضعف الموصى	
		4.128	4.783	3.473	Zn+Fe موصى	
		3.557	5.040	2.073	Zn+Fe ضعف الموصى	
0.347	0.919	التداخل الثنائي		LSD 0.05		
				1.299	التداخل الثلاثي	
طريقة الإضافة × السماد العضوي		تراكيز النانو × السماد العضوي				
السماد العضوي مل.لتر ⁻¹	طريقة الإضافة	متوسط تراكيز النانو	السماد العضوي مل.لتر ⁻¹		تراكيز النانو	
			5	0		
4.000	رش ورقي	2.458	2.665	2.250	0	
		3.818	3.922	3.713	Fe موصى	
		5.774	4.558	6.990	Fe ضعف الموصى	
4.001	رسمدة	4.492	3.178	5.805	Zn موصى	
		4.588	4.632	4.543	Zn ضعف الموصى	
		4.043	4.428	3.657	Zn+Fe موصى	
4.001	4.319	متوسط السماد العضوي	3.948	4.623	3.273	Zn+Fe ضعف الموصى
N.S		LSD 0.05	0.649	LSD 0.05		
0.491				0.919	التداخل الثنائي	

Z: الموصى وفق النشرة الإرشادية 1 غم. لتر⁻¹ وضعف الموصى 2 غم. لتر⁻¹ رشاً على الأوراق لكل من نانو الحديد والزنك.
Y: الموصى وفق النشرة الإرشادية 80 ملغم. لتر⁻¹ وضعف الموصى 160 ملغم. لتر⁻¹ مع ماء الري لكل من نانو الحديد والزنك.

4-3-4: محتوى الأوراق من المادة الفعالة الفا توكوفيرول (%)

α -tocopherol content in leaves (%)

بيّنت نتائج التحليل الإحصائي للبيانات الواردة في جدول (26) أنّ النسبة المئوية للمادة الفعالة α -tocopherol في أوراق نبات الدجاج مع معاملة نانو الزنك بالتركيز (الموصى وضعف الموصى) أعطت أعلى نسبة بلغت (4.855 و 4.896%) على التتابع، متفوّقة معنوياً على جميع تراكيز النانو الأخرى والتي بدورها تفوّقت معنوياً على معاملة المقارنة التي سجّلت 2.924%. وأظهرت طريقة الإضافة تأثيراً معنوياً في النسبة المئوية للمادة الفعالة α -tocopherol إذ سجّلت النباتات التي استعملت طريقة الرسمدة أعلى نسبة لأوراقها بلغت 4.351% مقارنةً بما سجّلته النباتات التي استعملت طريقة الرش الورقي 4.065%. لم تحقق معاملة السماد العضوي بتركيز 5 مل. لتر⁻¹ تأثيراً معنوياً في النسبة المئوية من المادة الفعالة α -tocopherol.

أظهر التداخل الثنائي المعنوي بين تراكيز وطريقة الإضافة تفوّق توليفتي نانو الزنك بالتركيز الموصى وضعف الموصى مع طريقة الرسمدة معنوياً في تسجيل أعلى نسبة للنباتاتها من المادة الفعالة α -tocopherol بلغت (5.200 و 5.247%)، على التتابع مقارنةً بما سجّلته التوليفات الأخرى أو مقارنة بنباتات معاملة المقارنة التي سجلت أقل نسبة 2.943% من المادة نفسها. وأوضح تداخل تراكيز النانو والسماد العضوي ان استعمال تراكيز النانو مع السماد العضوي لم تعطِ فرقا معنوياً فيما بينها (4.205 و 4.045 و 4.400 و 4.642 و 4.528 و 4.142%) لكل من نانو الحديد و نانو الزنك بالتركيز الموصى وضعف الموصى و اضافتهما معا وفق التركيز الموصى وضعف الموصى به، في حين ان التراكيز النانوية سابقة الذكر تذبذبت فيما بينها معنوياً مع عدم استعمال السماد العضوي، وأن التركيز الموصى وضعف الموصى من نانو الزنك ومن دون استعمال السماد العضوي حقّقت نباتاتها أعلى نسبة مئوية من المادة الفعالة α -tocopherol في الأوراق بلغت (5.310 و 5.150%) على التتابع، مقارنةً بالتوليفات الأخرى. وان التداخل الثنائي المعنوي بين طريقة الإضافة والسماد العضوي أظهر تفوّق توليفة الرسمدة مع السماد الورقي بتركيز 5 مل. لتر⁻¹ بأعلى نسبة مئوية من المادة الفعالة α -tocopherol بلغت 4.527% مقارنةً بما سجّلته التوليفات الأخرى.

ومن التداخل الثلاثي المعنوي لعوامل الدراسة ظهر تفوق نانو الزنك بتركيزه الموصى وضعف الموصى وبطريقتي الإضافة مع ومن دون استعمال السماد العضوي، إذ بلغ (5.200 و 5.347%) على التتابع مع الرش الورقي وعدم استعمال السماد العضوي، وبلغ أعلى محتوى (5.540%) مع التركيز ضعف الموصى من نانو الزنك بطريقة الرسمدة واستعمال السماد العضوي تلاه التركيز الموصى من (نانو الزنك) وبنفس طريقة الإضافة وعدم استعمال السماد العضوي إذ

النتائج

سجل (5.520%)، مقارنةً بالنسبة المئوية للمادة الفعالة α -tocopherol بتأثير التوليفات الأخرى أو مقارنة بمعاملتي المقارنة التابعة لها (2.547 و 2.350%).

جدول (26): تأثير الحديد والزنك النانوي وطريقة إضافتهما والسماذ العضوي Drin وتداخلاتها في النسبة المئوية للمادة الفعالة α -tocopherol في الأوراق

طريقة الإضافة	تراكيز النانو × طريقة الإضافة	السماذ العضوي مل.لتر ⁻¹		تراكيز النانو	طريقة الإضافة
		5	0		
4.065	2.905	3.263	2.547	0	رش ورقي ^Z
	4.100	4.033	4.167	Fe موسى	
	4.463	4.540	4.387	Fe ضعف موسى	
	4.560	3.920	5.200	Zn موسى	
	4.545	3.743	5.347	Zn ضعف موسى	
	4.240	4.360	4.120	Zn+Fe موسى	
	3.645	3.173	4.117	Zn+Fe ضعف موسى	
4.351	2.943	3.537	2.350	0	رسمة ^Y
	4.267	4.377	4.157	Fe موسى	
	4.062	3.550	4.573	Fe ضعف موسى	
	5.200	4.880	5.520	Zn موسى	
	5.247	5.540	4.953	Zn ضعف موسى	
	4.117	4.697	3.537	Zn+Fe موسى	
	4.621	5.110	4.133	Zn+Fe ضعف موسى	
0.259	0.686	التداخل الثنائي		LSD 0.05	
		0.970		التداخل الثلاثي	
طريقة الإضافة × السماذ العضوي		تراكيز النانو × السماذ العضوي			
طريقة الإضافة	السماذ العضوي مل.لتر ⁻¹	متوسط تراكيز النانو	السماذ العضوي مل.لتر ⁻¹		تراكيز النانو
			5	0	
3.862	4.269	رش ورقي	2.924	3.400	2.448
			4.183	4.205	4.162
			4.263	4.045	4.480
4.527	4.175	رسمة	4.855	4.400	5.310
			4.896	4.642	5.150
			4.153	4.528	3.778
4.195	4.222	متوسط السماذ العضوي	4.183	4.142	4.225
N.S	LSD 0.05	0.485			LSD 0.05
0.366		0.686			
		التداخل الثنائي			

Z: الموصى وفق النشرة الإرشادية 1 غم. لتر⁻¹ وضعف الموصى 2 غم. لتر⁻¹ رشاً على الأوراق لكل من نانو الحديد والزنك.
Y: الموصى وفق النشرة الإرشادية 80 ملغم. لتر⁻¹ وضعف الموصى 160 ملغم. لتر⁻¹ مع ماء الري لكل من نانو الحديد والزنك.

3-4-5: محتوى الأوراق من المادة الفعالة كالتروبين (%)

Calotropin content in leaves (%)

يظهر من بيانات جدول (27) التفوق المعنوي لتراكيز النانو المستعملة على معاملة المقارنة في زيادة النسبة المئوية من المادة الفعالة Calotropin في الأوراق، إذ أعطى التركيز ضعف الموصى

النتائج Results

جدول (27): تأثير الحديد والزنك النانوي وطريقة إضافتهما والسماذ العضوي Drin وتداخلاتها في النسبة المئوية للمادة الفعالة Calotropin في الأوراق

طريقة الإضافة	تراكيز النانو × طريقة الإضافة	السماذ العضوي مل.لتر ⁻¹		تراكيز النانو	طريقة الإضافة	
		5	0			
11.31	9.51	11.37	7.65	0	رش ورقي ^Z	
	10.44	11.59	9.30	Fe الموصى		
	12.43	13.56	11.30	Fe ضعف الموصى		
	10.80	10.89	10.71	Zn الموصى		
	11.59	12.89	10.29	Zn ضعف الموصى		
	13.74	15.14	12.33	Zn+Fe الموصى		
	10.69	11.54	9.85	Zn+Fe ضعف الموصى		
10.15	7.81	10.72	4.91	0	رسمة ^Y	
	9.89	10.47	9.32	Fe الموصى		
	11.92	13.40	10.44	Fe ضعف الموصى		
	9.42	10.44	8.39	Zn الموصى		
	10.34	10.72	9.97	Zn ضعف الموصى		
	11.98	14.04	9.91	Zn+Fe الموصى		
	9.70	11.00	8.40	Zn+Fe ضعف الموصى		
0.60	N.S		التداخل الثنائي		LSD 0.05	
			2.27			
طريقة الإضافة × السماذ العضوي			تراكيز النانو × السماذ العضوي			
السماذ العضوي مل.لتر ⁻¹		طريقة الإضافة	متوسط تراكيز النانو	السماذ العضوي مل.لتر ⁻¹		تراكيز النانو
5	0			5	0	
12.40	11.14	رش ورقي	8.66	11.04	6.28	0
			10.17	11.03	9.31	Fe الموصى
			12.18	13.58	10.77	Fe ضعف الموصى
10.23	8.73	رسمة	10.11	10.56	9.65	Zn الموصى
			10.22	10.30	10.13	Zn ضعف الموصى
			12.86	14.59	11.12	Zn+Fe الموصى
11.77	9.48	متوسط السماذ العضوي	10.20	11.27	9.12	Zn+Fe ضعف الموصى
0.60	LSD 0.05		1.13	LSD 0.05		
N.S			1.60			
			التداخل الثنائي			

Z: الموصى وفق النشرة الإرشادية 1 غم. لتر⁻¹ وضعف الموصى 2 غم. لتر⁻¹ رشاً على الأوراق لكل من نانو الحديد والزنك.
Y: الموصى وفق النشرة الإرشادية 80 ملغم. لتر⁻¹ وضعف الموصى 160 ملغم. لتر⁻¹ مع ماء الري لكل من نانو الحديد والزنك.

من نانو الحديد والتركيز الموصى من نانو (الحديد+الزنك) أعلى نسبة مئوية من المادة الفعالة Calotropin بلغت (12.18 و 12.86%) على التتابع، والتي لم تختلف عن بعضها معنوياً لكنها تفوقت معنوياً على التراكيز الأخرى للنانو والتي بدورها لم تختلف عن بعضها معنوياً واختلقت معنوياً عن معاملة المقارنة التي بلغت أقل محتوى 8.66%. وتفوقت معاملة الرش الورقي بنسبة المادة الفعالة Calotropin البالغ 11.31% معنوياً على نباتات معاملة الرسمة التي سجّلت

10.15%. وبيّن التأثير المعنوي لاستعمال السماد العضوي أنّ النباتات المستعمل معها السماد العضوي 5مل.لتر⁻¹ تفوّقت بمحتوى أوراقها من المادة الفعالة نفسها (11.77%) معنوياً على ما سجّلته نباتات المقارنة 9.48%.

لم يكن التداخل الثنائي بين تراكيز النانو وطريقة الإضافة معنوياً في النسبة المئوية للمادة الفعالة Calotropin. التداخل الثنائي المعنوي بين تراكيز النانو والسماد العضوي أظهر أنّ استعمال السماد العضوي مع تراكيز النانو تفوق في النسبة المئوية للـ Calotropin على مثيلاتها التي لم يستعمل معها السماد العضوي، وأن التوليفة المشتمة على التركيز الموصى من نانو(الحديد+ الزنك) تفوّقت في تسجيل أعلى نسبة من الـ Calotropin بلغ 14.59%، تلاه التركيز ضعف الموصى من نانو الحديد 13.58% والذين لم يختلفا عن بعضهما معنوياً لكنهما تفوقا معنوياً على ما سجّلته التوليفات الأخرى من النسبة المئوية للمادة الفعالة بضمنها معاملة المقارنة التي سجلت أقل نسبة مئوية للمادة المذكورة 6.28%. التداخل الثنائي بين طريقة الإضافة والسماد العضوي لم يكن معنوياً في النسبة المئوية للمادة الفعالة Calotropin بالرغم من وجود فروق بين التوليفات كانت واضحة مع استعمال طريقة الرش الورقي مع ومن دون استعمال السماد العضوي.

ومن التداخل الثلاثي لعوامل الدراسة ظهر أنّ النباتات المُعاملة بالسماد العضوي (5 مل. لتر⁻¹) مع جميع تراكيز النانو وبطريقتي الإضافة حقّقت نسبة مئوية من المادة الفعالة Calotropin أعلى من مثيلاتها التي لم يستعمل معها السماد العضوي، كما ان توليفات استعمال طريقة الرش الورقي مع تراكيز النانو مع استعمال السماد العضوي أعطت أعلى من مثيلاتها المشتمة على استعمال طريقة الرسمدة. هذا وان أعلى نسبة مئوية للمادة الفعالة المذكورة كانت عند التوليفة المكونة من التركيز الموصى من نانو (الحديد+ الزنك) مع طريقتي الإضافة (الرش الورقي والرسمدة) مع استعمال السماد العضوي بلغ (15.14 و 14.04%) على التتابع، تلاه التركيز ضعف الموصى من نانو الحديد مع طريقتي الإضافة (الرش الورقي والرسمدة) مع استعمال السماد العضوي (13.56 و 13.40%) والتي لم تختلف معنوياً عن بعضها للمادة نفسها، مقارنة بالتوليفات الأخرى أو مقارنة بأقل نسبة مئوية عند معاملي المقارنة (الرش الورقي والرسمدة) (7.65 و 4.91%) على التتابع.

4-4: تأثير نانو الحديد والزنك وطريقة الإضافة والسماد العضوي Drin في بعض الصفات التشريحية

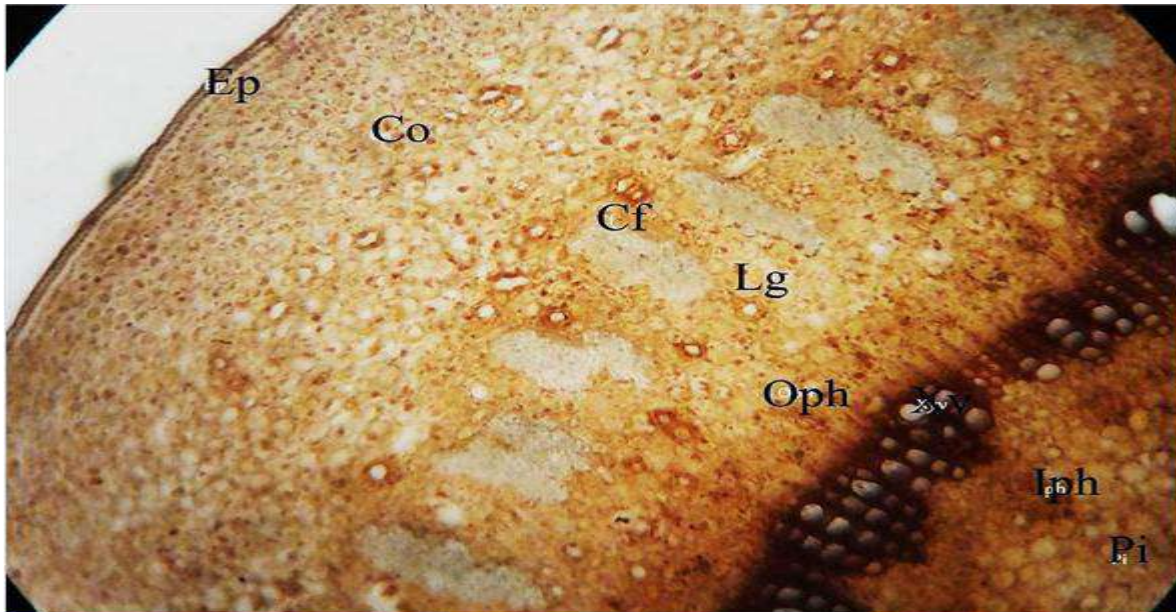
يتضح من ملاحظة المقاطع النسيجية المأخوذة من منتصف السلامة الخامسة لوحة 1 صورة (1) لنبات الديباج أنها كانت دائرية تقريباً، والبشرة تمثل الطبقة الخارجية من الساق مكونة من صف واحد من الخلايا Uniseriate مكعبة الى برميلية الشكل متراسة ومحاطة بكيوتكل (Cuticle) سميك. القشرة تلي البشرة تتكون من عدد قليل من الطبقات والتي تمثل النسيج

النتائج Results

الكولنكيمي (collenchyma) مثنخ الزوايا والقشرة تحتوي على البلاستيدات الخضراء تستقر في الخلايا الحشوية وهي ذات مسافات بينية عديدة. طبقة البشرة الداخلية (Endodermis) تتكون من صف واحد من الخلايا تشكل حلقة متموجة حول الأنسجة الوعائية والخلايا ذات اشكال برميلية مستطيلة تترتب بطريقة متراسة.

والدائرة المحيطية (Pericycle) مكونة من تجمعات صغيرة من ألياف النسيج السكرنكيمي (Sclerenchymatous) الذي يحافظ على الانسجة الوعائية من المؤثرات الخارجية، تفصله القليل من الخلايا الحشوية Parenchyma، والحزم الوعائية من النوع ثنائية الجانب Bicollateral vascular bundle، وللنظام الوعائي نمو ثانوي واضح ويتكون من اللحاء الابتدائي واللحاء الثانوي وطبقة الكامبيوم والخشب الثانوي والخشب الابتدائي. واللُب (Pith) يحتل مركز الساق يتكون من خلايا حشوية رقيقة الجدران والعديد من حويصلات السائل اللبني.

ومما يجدر ذكره انه من خلال دراسة المقاطع العرضية لساق نبات الدبياج بتاثير عوامل الدراسة وعلى وجه الخصوص التراكيز النانوية يمكن ملاحظة التغير الحاصل في اشكال اقطار اوعية الخشب اذ ان الزيادة في قطر الاوعية بعضها على حساب البعض الاخر أدى الى تغير اشكال بعضها من الدائري تقريبا والمتسلسل في نبات المقارنة الى الغير منتظم في الشكل والترتيب، ويشمل هذا التغير اشكال واحجام مجاميع الياف القشرة ايضا اذ اصبحت اكبر حجما واكثر عددا في المقاطع التشريحية للنباتات التي تم معاملتها بالتراكيز النانوية.



صورة (1): مقطع مستعرض في ساق نبات الدبياج يوضح مناطق الساق من الخارج الى الداخل. وتمثل Ep: البشرة، Co: القشرة، Cf: ألياف القشرة، Lg: غدة لبينية، Oph: اللحاء الخارجي، Xv: أوعية الخشب، Iph: اللحاء الداخلي، Pi: اللب.

4-4-1: سمك طبقة القشرة (مايكرومتر) Cortical thickness (μm)

من النتائج الواردة في الجدول (28) تبين ان استعمال تراكيز النانو زاد معنويا من سمك طبقة القشرة لساق نبات الديباج في جميع التراكيز المستعملة. ويزداد هذا التأثير بزيادة التركيز من الموصى الى ضعف الموصى في التراكيز المنفردة اذ ازداد سمك القشرة من 594.40 مايكرومتر عند التركيز الموصى من نانو الحديد الى 636.70 مايكرومتر عند التركيز ضعف الموصى اللوحة 1 صورة (2و3). ومن 612.70 مايكرومتر عند التركيز الموصى من نانو الزنك الى 645.40 مايكرومتر عند التركيز ضعف الموصى اللوحة 1 صورة (4 و5)، في حين انعكس التأثير عند استعمال التركيز ضعف الموصى من نانو (الحديد + الزنك) الذي قلل من سمك القشرة عن سمكها بتاثير التركيز الموصى من نانو (الحديد + الزنك) اذ بلغ كل منهما (586.70 و 631.40 مايكرومتر) اللوحة (1) صورة (6 و7)، على التتابع كما ان اقل متوسطا لسمك القشرة كان عند معاملة المقارنة التي بلغ 449.80 مايكرومتر اللوحة 1 صورة 1، وان جميع تراكيز النانو لم تختلف معنويا عن بعضها. ومن الجدول نفسه يلاحظ التأثير المعنوي لطريقة الإضافة اذ ان أعلى متوسط لسمك القشرة بلغ 610.80 مايكرومتر اللوحة (1) للنباتات التي استعملت فيها طريقة الرش الورقي مقارنة بـ 576.90 مايكرومتر عند النباتات التي استعملت طريقة الرسمدة اللوحة (1). ولم يعط استعمال التركيز 5مل.لتر⁻¹ من السماد العضوي تأثيرا معنويا في متوسط سمك القشرة اللوحة 1 صورة (14) .

ومن التداخل الثنائي المعنوي بين تراكيز النانو وطريقة الإضافة لوحظ أن التوليفة المكوّنة من التركيز ضعف الموصى من نانو الزنك بطريقة الرش الورقي اللوحة 1 صورة (5) سجّلت أعلى متوسطاً لسمك القشرة بلغ 712.00 مايكرومتر تلاه التركيز ضعف الموصى من نانو الحديد اللوحة 1 صورة (3) وبنفس طريقة الإضافة اذ بلغ 672.10 مايكرومتر متفوّقة بذلك على متوسطات سمك القشرة للنباتات الأخرى بتأثير توليفات معاملات التداخل الأخرى بضمنها توليفة المقارنة التي سجّلت (502.50 مايكرومتر). أظهرَ التداخل الثنائي المعنوي بين تراكيز النانو والسماد العضوي ان استعمال نانو الزنك بالتركيز الموصى وضعف الموصى مع استعمال السماد العضوي 5مل.لتر⁻¹ سجل أعلى سمك للقشرة بلغ (675.40 و 665.40 مايكرومتر) على التتابع، ومما يمكن ملاحظة ان تراكيز النانو المستعمله جميعها تفوقت معنويا على التركيز المنفرد للسماد العضوي الذي بلغ أقل متوسطاً بلغ 418.30 مايكرومتر. وان التداخل الثنائي بين طريقة الإضافة والسماد العضوي لم يكن معنويا في صفة سمك القشرة.

ومن التداخل الثلاثي لعوامل الدراسة ظهرَ أن التوليفات التي شملت التركيز ضعف الموصى من نانو الزنك مع طريقة الرش الورقي والسماد العضوي (5 مل. لتر⁻¹) اللوحة 1 صورة (18) والتركيز الموصى من نانو الزنك مع طريقة الرسمدة والسماد العضوي (5 مل. لتر⁻¹) اللوحة 1

النتائج Results

صورة (23) والتركيز الموصى من نانو (الحديد +الزنك) مع طريقة الرش الورقي ومن دون استعمال السماد العضوي سجّلت لنباتاتها أعلى متوسطاً لسمك القشرة والتي بلغت (770.00 و 742.50 و716.70 مايكرومتر على التتابع) والتي لم تختلف عن بعضها معنوياً، بالمقارنة مع معاملتي المقارنة (483.30 و479.20 مايكرومتر).

جدول (28): تأثير الحديد والزنك النانوي وطريقة إضافتهما والسماد العضوي Drin وتداخلاتها في متوسط سمك القشرة مايكرومتر

طريقة الإضافة	تراكيز النانو	السماد العضوي مل.لتر ⁻¹		طريقة الإضافة	متوسط طرق الإضافة		
		5	0				
رش ورقي ^Z	0	521.70	483.30	0	610.80		
	Fe موصى	475.00	595.80	Fe موصى			
	Fe ضعف الموصى	640.00	704.20	Fe ضعف الموصى			
	Zn موصى	608.30	562.50	Zn موصى			
	Zn ضعف الموصى	770.00	654.10	Zn ضعف الموصى			
	Zn+Fe موصى	619.00	716.70	Zn+Fe موصى			
	Zn+Fe ضعف الموصى	592.50	608.30	Zn+Fe ضعف الموصى			
رسمة ^Y	0	315.00	479.20	0	576.90		
	Fe موصى	623.30	683.30	Fe موصى			
	Fe ضعف الموصى	594.20	608.30	Fe ضعف الموصى			
	Zn موصى	742.50	537.50	Zn موصى			
	Zn ضعف الموصى	560.80	596.70	Zn ضعف الموصى			
	Zn+Fe موصى	615.00	575.00	Zn+Fe موصى			
	Zn+Fe ضعف الموصى	529.30	616.70	Zn+Fe ضعف الموصى			
التداخل الثنائي		80.12		30.28			
التداخل الثلاثي		113.31		LSD 0.05			
طريقة الإضافة × السماد العضوي			تراكيز النانو × السماد العضوي				
طريقة الإضافة	السماد العضوي مل.لتر ⁻¹		متوسط تراكيز النانو	السماد العضوي مل.لتر ⁻¹		تراكيز النانو	
	5	0		5	0		
رش ورقي	603.80	617.80	449.80	418.30	481.20	0	
			594.40	549.20	639.60	Fe موصى	
			636.70	617.10	656.20	Fe ضعف الموصى	
رسمة	568.60	585.20	612.70	675.40	550.00	Zn موصى	
			645.40	665.40	625.40	Zn ضعف الموصى	
			631.40	617.00	645.80	Zn+Fe موصى	
متوسط السماد العضوي	586.20	601.50	586.70	560.90	612.50	Zn+Fe ضعف الموصى	
N.S		LSD 0.05		56.65		LSD 0.05	
N.S				80.12		التداخل الثنائي	

Z: الموصى وفق النشرة الإرشادية 1 غم. لتر⁻¹ وضعف الموصى 2 غم. لتر⁻¹ رشا على الأوراق لكل من نانو الحديد والزنك.
Y: الموصى وفق النشرة الإرشادية 80 ملغم. لتر⁻¹ وضعف الموصى 160 ملغم. لتر⁻¹ مع ماء الري لكل من نانو الحديد والزنك.

4-4-2: عدد مجاميع الياف القشرة (مجموعة نبات¹)

Number of Cortical fiber groups (group.plant¹)

أشارت نتائج جدول (29) إلى أن متوسط عدد الياف القشرة لنبات الدبياج زاد بشكلٍ معنوي مع جميع معاملات النانو وسجّلت أعلى متوسطاً بلغ 171.30 مجموعة نبات¹ عند التركيز ضعف الموصى من نانو الزنك اللوحة 1 صورة (5) والذي تفوق معنوياً على جميع التراكيز الأخرى بضمنها معاملة المقارنة اللوحة 1 صورة (1) التي بلغت أقل متوسطاً 117.10 مجموعة نبات¹.

جدول (29): تأثير الحديد والزنك النانوي وطريقة الإضافة والسماذ العضوي Drin وتداخلاتها في متوسط عدد مجاميع الياف القشرة

طريقة الإضافة	تراكميز النانو × طريقة الإضافة	السماذ العضوي مل.لتر ⁻¹		تراكميز النانو	طريقة الإضافة	
		5	0			
153.10	126.00	124.70	127.30	0	رش ورقي ^Z	
				Fe موصى		
				Fe ضعف الموصى		
				Zn موصى		
				Zn ضعف الموصى		
				Zn+Fe موصى		
				Zn+Fe ضعف الموصى		
144.00	108.20	131.00	85.30	0	رسمة ^Y	
				Fe موصى		
				Fe ضعف الموصى		
				Zn موصى		
				Zn ضعف الموصى		
				Zn+Fe موصى		
				Zn+Fe ضعف الموصى		
4.66	N.S	التداخل الثنائي		LSD 0.05		
		17.43		التداخل الثلاثي		
طريقة الإضافة × السماذ العضوي			تراكميز النانو × السماذ العضوي			
طريقة الإضافة		متوسط تراكميز النانو		تراكميز النانو		
السماذ العضوي مل.لتر ⁻¹		السماذ العضوي مل.لتر ⁻¹		السماذ العضوي مل.لتر ⁻¹		
5	0	5	0	5	0	
154.70	151.60	رش ورقي	117.10	127.80	106.30	0
			150.30	147.80	152.80	Fe موصى
			148.20	153.20	143.30	Fe ضعف الموصى
148.80	139.20	رسمة	155.30	155.80	154.80	Zn موصى
			171.30	193.00	149.70	Zn ضعف الموصى
			147.50	138.50	156.50	Zn+Fe موصى
151.70	145.40	متوسط السماذ العضوي	150.20	146.00	154.30	Zn+Fe ضعف الموصى
4.66	LSD 0.05	8.72	LSD 0.05			
N.S		12.33				التداخل الثنائي

Z: الموصى وفق النشرة الإرشادية 1 غم. لتر⁻¹ وضعف الموصى 2 غم. لتر⁻¹ رشاً على الأوراق لكل من نانو الحديد والزنك.
Y: الموصى وفق النشرة الإرشادية 80 ملغم. لتر⁻¹ وضعف الموصى 160 ملغم. لتر⁻¹ مع ماء الري لكل من نانو الحديد والزنك.

وسجّلت معاملة الرش الورقي متوسطاً لعدد الياف القشرة بلغ 153.10 مجموعة نبات¹ مقارنةً بمتوسط عدد المجاميع لنباتات طريقة الرسمدة الذي بلغ 144.00 مجموعة نبات¹. وان استعمال السماد العضوي 5 مل. لتر¹ أعطى أعلى متوسطاً لعدد المجاميع بلغ 151.70 مجموعة نبات¹ مقارنةً بمتوسط عدد المجاميع لنباتات المقارنة 145.40 مجموعة نبات¹.

ولم يعط التداخل الثنائي بين تراكيز النانو وطريقة الإضافة تأثيراً معنوياً في عدد الياف القشرة. ويشير التداخل الثنائي المعنوي بين تراكيز النانو والسماد العضوي الى ان التوليفة المتضمنة التركيز ضعف الموصى من نانو الزنك مع استعمال السماد العضوي أعطت أعلى متوسطاً لعدد الياف القشرة بلغ 193.00 مجموعة نبات¹، والذي تفوق معنوياً على جميع التراكيز الاخرى بضمنها معاملة المقارنة التي بلغت أقل متوسطاً 106.30 مجموعة نبات¹. وان التداخل الثنائي بين طريقة الإضافة والسماد العضوي لم يكن معنوي في تأثيره في عدد الياف القشرة.

أوضح التداخل الثلاثي المعنوي بين عوامل الدراسة أن التوليفة المتضمنة التركيز ضعف الموصى من نانو الزنك مع طريقتي الإضافة (الرش الورقي والرسمدة) واستعمال السماد العضوي تفوق في عدد الياف القشرة، إذ مع الرش الورقي تفوق معنوياً على جميع توليفات التداخل الثلاثي عندما بلغت 210.00 مجموعة نبات¹، في حين بلغ مع الرسمدة 176.00 مجموعة نبات¹ مقارنة مع التوليفات الاخرى التي تذبذبت في تأثيرها على عدد الياف القشرة اعتماداً على التركيز وطريقة اضافتها أو مقارنة مع (127.30 و 85.30) مجموعة نبات¹ لمعاملي المقارنة التابعة لها.

4-4-3: قطر وحدات الخشب (مايكرومتر)

The vessel diameter in the vascular bundles (µm)

من نتائج الجدول (30) يتضح التأثير المعنوي لعوامل الدراسة في قطر أوعية الخشب لنبات الدبباج أنه بتأثير تراكيز النانو بلغ أعلى متوسطاً لقطر الوعاء 55.46 مايكرومتر عند النباتات المعاملة بالتركيز الموصى من نانو (الحديد+الزنك) اللوحة 1 صورة (6) والذي لم يختلف معنوياً عما حققه التركيز الموصى من نانو الحديد 53.23 مايكرومتر اللوحة 1 صورة (2) ولكنهما اختلفا معنوياً عن جميع التراكيز الاخرى بضمنها معاملة المقارنة التي بلغت نباتاتها أقل متوسطاً لقطر الوعاء بلغ 34.46 مايكرومتر. وتشير النتائج الواردة في الجدول نفسه الى ان طريقة الرش الورقي تفوقت معنوياً على معاملة الرسمدة اذ سجل كل منهما (48.72 و 46.60 مايكرومتر)، على التتابع. وان استعمال السماد العضوي بالتركيز 5مل. لتر¹ اثر سلبي على قطر الوعاء اذ قلل معنوياً من قطر الوعاء 43.97 مايكرومتر مقارنة بمعاملة المقارنة التي بلغت 51.35 مايكرومتر.

النتائج Results

جدول (30): تأثير الحديد والزنك النانوي وطريقة إضافتهما والسماد العضوي Drin وتداخلاتها في متوسط قطر وعاء مايكرومتر

طريقة الإضافة	تراكميز النانو	السماد العضوي مل.لتر ⁻¹		طريقة الإضافة	متوسط طرق الإضافة
		5	0		
رش ورقي ^Z	0	42.50	36.00	39.25	48.72
	Fe موصى	57.92	48.50	53.21	
	ضعف الموصى Fe	45.75	56.58	51.08	
	Zn موصى	44.08	48.17	46.12	
	ضعف الموصى Zn	44.92	61.58	53.25	
	Zn+Fe موصى	38.25	60.25	49.25	
	ضعف الموصى Zn+Fe	45.17	52.67	48.92	
رسمة ^Y	0	36.67	22.67	29.67	46.60
	Fe موصى	46.33	60.17	53.25	
	ضعف الموصى Fe	39.33	56.83	48.08	
	Zn موصى	41.92	55.25	48.58	
	ضعف الموصى Zn	52.67	62.67	57.67	
	Zn+Fe موصى	34.67	55.75	45.21	
	ضعف الموصى Zn+Fe	45.67	41.83	43.75	
LSD 0.05	التداخل الثنائي		6.41	2.02	
	التداخل الثلاثي		9.07		
تراكميز النانو × السماد العضوي			طريقة الإضافة × السماد العضوي		
تراكميز النانو	السماد العضوي مل.لتر ⁻¹		متوسط تراكميز النانو	طريقة الإضافة	
	5	0		5	0
0	39.58	29.33	34.46	رش ورقي	45.48
Fe موصى	52.12	54.33	53.23		
ضعف الموصى Fe	37.54	56.71	47.12		
Zn موصى	43.00	51.71	47.35	رسمة	42.46
ضعف الموصى Zn	48.79	62.12	47.23		
Zn+Fe موصى	36.46	58.00	55.46		
Zn+Fe ضعف الموصى	45.42	47.25	46.33	متوسط السماد العضوي	43.97
LSD 0.05	LSD 0.05		4.53	LSD 0.05	2.02
التداخل الثنائي			6.41	N.S	

Z: الموصى وفق النشرة الإرشادية 1 غم. لتر⁻¹ وضعف الموصى 2 غم. لتر⁻¹ رشاً على الأوراق لكل من نانو الحديد والزنك.
Y: الموصى وفق النشرة الإرشادية 80 ملغم. لتر⁻¹ وضعف الموصى 160 ملغم. لتر⁻¹ مع ماء الري لكل من نانو الحديد والزنك.

وأظهر تأثير التداخل الثنائي بين تراكميز النانو وطريقة الإضافة أن استعمال تركيز النانو المكونة من (التركيز الموصى من نانو الحديد والتركيز الموصى وضعف الموصى من نانو الزنك) مع طريقة الرسمة اللوحة 1 صورة (8 و9) واللوحة 4 صورة (10 و11) أعطت زيادة في متوسط قطر الوعاء بلغت (53.25 و48.58 و57.67 مايكرومتر) على التتابع أعلى من مثيلاتها التي أضيفت بطريقة الرش الورقي اللوحة 1 صورة (2 و3) واللوحة 1 صورة (4 و5) والتي بلغت (53.21 و46.12 و53.25 مايكرومتر) على التتابع والتي تفوقت معنوياً على معاملتي المقارنة التابعة لها

(39.25 و 29.67 مايكرومتر). وأظهرَ التداخل الثنائي بين تراكيز النانو والسماذ العضوي أن استعمال السماذ العضوي بتركيز 5مل/لتر¹ مع تراكيز النانو أعطى لنباتاته اقطارا لوحداث الخشب أقل مما أعطته التراكيز نفسها لنباتاتها مع عدم استعماله اذ بلغت (54.33 و 56.71 و 51.71 و 62.12 و 58.00 و 47.25 مايكرومتر) على التتابع ومع استعمال السماذ العضوي بلغت (52.12 و 37.54 و 43.00 و 48.79 و 36.46 و 45.42 مايكرومتر على التتابع) في حين انها جميعا تفوقت معنويا على معاملة المقارنة التي بلغت أقل متوسطاً لقطر الوعاء 29.33 مايكرومتر. التداخل الثنائي بين طريقة الإضافة والسماذ العضوي غير معنوي في تأثيره في هذه الصفة.

وان التداخل الثلاثي بين عوامل الدراسة يشير الى انه مع طريقة الرش الورقي أعطت التوليفتان المكونتان من نانو الزنك ونانو(الحديد+الزنك) بالتركيز الموصى مع عدم استعمال السماذ العضوي تفوقا في قطر أوعية نباتاتها بلغ (61.58 و 60.25 مايكرومتر) على التتابع مقارنة مع التوليفات الاخرى لطريقة الرش الورقي مع ومن دون استعمال السماذ العضوي أو مقارنة مع معاملة المقارنة 36.00 مايكرومتر، في حين تفوقت مع طريقة الرسمة توليفتا كل من التركيز الموصى من نانو الحديد والتركيز ضعف الموصى من نانو الزنك ومن دون استعمال السماذ العضوي التي بلغت (60.17 و 62.67 مايكرومتر) والتي تفوقت معنويا على مثيلاتها التي تضمنت استعمال السماذ العضوي.

4-4-4: سمك اللب (مايكرومتر) Pith thickness

لوحظَ من البيانات الواردة في جدول (31) التأثير المعنوي لعوامل الدراسة وتداخلاتها في متوسط سمك اللب إذ أعطت جميع معاملات النانو زيادة معنوية في متوسط سمك اللب وكان أعلى متوسط بتأثير تراكيز (الموصى من نانو الحديد والموصى و ضعف الموصى من نانو الزنك و اضافتهما معا بالتركيز الموصى به) (6017.0 و 6441.0 و 6494.0 و 6346.0 مايكرومتر) على التتابع والتي تفوقت معنويا على التراكيز الاخرى بضمنها معاملة المقارنة التي أعطت أقل متوسط من سمك اللب 4035.0 مايكرومتر.

وتفوّقت معاملة الرسمة معنوياً في متوسط سمك لب نباتاتها البالغ 5826.0 مايكرومتر، على متوسط سمك اللب عند معاملة الرش الورقي الذي بلغ 5590.0 مايكرومتر. وأثر السماذ العضوي معنوياً على سمك اللب الذي ازداد من 5434.0 مايكرومتر عند معاملة المقارنة إلى 5982.0 مايكرومتر بتأثير استعمال السماذ العضوي بتركيز 5 مل/لتر¹.

النتائج Results

جدول (31): تأثير الحديد والزنك النانوي وطريقة إضافتهما والسماذ العضوي Drin وتداخلاتها في متوسط سمك اللب مايكرومتر

طريقة الإضافة	تراكيز النانو	السماذ العضوي مل.لتر ⁻¹		طريقة الإضافة	متوسط طرق الإضافة		
		5	0				
رش ورقي ^Z	0	4167.0	4200.0	4183.0	5590.0		
	Fe موصى	5500.0	5508.0	5504.0			
	ضعف الموصى Fe	4942.0	5917.0	5429.0			
	Zn موصى	6783.0	5792.0	6287.0			
	ضعف الموصى Zn	7983.0	4742.0	6362.0			
	Zn+Fe موصى	6300.0	5867.0	6083.0			
	ضعف الموصى Zn+Fe	5058.0	5500.0	5279.0			
رسمة ^Y	0	5663.0	2108.0	3888.0	5826.0		
	Fe موصى	6258.0	6800.0	6529.0			
	ضعف الموصى Fe	5408.0	5667.0	5538.0			
	Zn موصى	7633.0	5554.0	6594.0			
	ضعف الموصى Zn	6500.0	6750.0	6625.0			
	Zn+Fe موصى	7158.0	6058.0	6608.0			
	ضعف الموصى Zn+Fe	4592.0	5417.0	5004.0			
التداخل الثنائي		769.9		205.8	LSD 0.05		
التداخل الثلاثي		769.9		544.4			
تراكيز النانو × السماذ العضوي			طريقة الإضافة × السماذ العضوي				
تراكيز النانو	السماذ العضوي مل.لتر ⁻¹		طريقة الإضافة	السماذ العضوي مل.لتر ⁻¹			
	5	0		5	0		
0	4035.0	4917.0	رش ورقي	5819.0	5361.0		
	6017.0	5779.0		6254.0	Fe موصى		
	5483.0	5175.0		5792.0	ضعف الموصى Fe		
Zn موصى	6441.0	7208.0	رسمة	6145.0	5508.0		
	6494.0	7242.0				5746.0	ضعف الموصى Zn
	6346.0	6729.0				5962.0	Zn+Fe موصى
Zn+Fe موصى	5142.0	4825.0	متوسط السماذ العضوي	5982.0	5434.0		
LSD 0.05		384.9	LSD 0.05		205.8		
التداخل الثنائي		544.4		N.S			

Z: الموصى وفق النشرة الإرشادية 1 غم. لتر⁻¹ وضعف الموصى 2 غم. لتر⁻¹ رشاً على الأوراق لكل من نانو الحديد والزنك.
Y: الموصى وفق النشرة الإرشادية 80 ملغم. لتر⁻¹ وضعف الموصى 160 ملغم. لتر⁻¹ مع ماء الري لكل من نانو الحديد والزنك.

ومن التداخل الثنائي المعنوي بين تراكيز النانو وطريقة الإضافة لوحظ أن توليفات استعمال نانو الحديد ونانو الزنك بالتركيز الموصى وضعف الموصى وإضافتهما معا بالتركيز الموصى والتي أضيفت بطريقة الرسمة أعطت لنباتاتها متوسطاً لسمك اللب أعلى من مثيلاتها التي تضمنت الإضافة بطريقة الرش الورقي إذ بلغت (6529.0 و 5538.0 و 6594.0 و 6625.0 و 6608.0 مايكرومتر) على التتابع مع الرسمة و (5504.0 و 5429.0 و 6287.0 و 6362.0 و 6083.0 مايكرومتر) على

التتابع مع الرش الورقي. وان التراكيز النانوية المستعملة مع طريقتي الإضافة تفوقت معنوياً على معاملتي المقارنة التابعة لها والتي بلغت (4183.0 و 3888.0 مايكرومتر).

وأظهرَ التداخل الثنائي بين تراكيز النانو والسماذ العضوي التفوقَ المعنوي لتراكيز النانو المكونة من نانو الزنك بالتركيز الموصى وضعف الموصى و التركيز الموصى من نانو (الحديد+ زنك) مع استعمال السماذ العضوي إذ سجّلت (7208.0 و 7242.0 و 6729.0 مايكرومتر)، على التتابع على مثيلاتها التي لم يستعمل معها السماذ العضوي التي بلغت (5673.0 و 5746.0 و 5962.0 مايكرومتر)، على التتابع ايضاً، وان أقل سمك للـب سجل عند معاملة المقارنة 3154.0 مايكرومتر. أما التداخل الثنائي بين طريقة الإضافة والسماذ العضوي فلم يكن تأثيره معنوياً في سمك اللب الا ان هناك ميلا للمعاملات التي اشتملت على اضافة السماذ العضوي عند طريقتي الإضافة لأن تكون أعلى من مثيلاتها التي لم يستعمل معها السماذ العضوي.

أشار التداخل الثلاثي المعنوي لعوامل الدراسة إلى تفوق المعاملات التي تضمنت استعمال نانو الزنك بالتركيز ضعف الموصى بطريقة الرش الورقي مع استعمال السماذ العضوي والتركيز الموصى من نانو الزنك والتركيز الموصى من نانو (الحديد+ الزنك) مع الرسمة واستعمال السماذ العضوي حيث بلغ كل منها (7983.0 و 7633.0 و 7158.0 مايكرومتر)، على التتابع والتي لم تختلف عن بعضها معنوياً مقارنة بالتوليفات الأخرى من المعاملات أو مقارنة بمعاملتي المقارنة (4200.0 و 2108.0 مايكرومتر).

4-4-5: دليل الثغور للبشرة العليا *Stomata index of adexul epidermis*

يشير الجدول (32) إلى تأثير عوامل الدراسة وتداخلاتها في دليل الثغور للبشرة العليا لنباتات التجربة ويلاحظ من الجدول ان جميع تراكيز النانو لم تختلف معنوياً عن بعضها في تأثيرها في دليل الثغور للبشرة العليا ولكنها تفوقت معنوياً على معاملة المقارنة التي بلغ دليل الثغور فيها أقل متوسطاً 7.41 في حين بلغ أعلى متوسط لدليل الثغور 12.93 عند التركيز الموصى من نانو الزنك. ومن الجدول نفسه يلاحظ التأثير المعنوي لطريقة الإضافة على دليل الثغور إذ تفوقت طريقة الرش الورقي معنوياً بتسجيلها أعلى متوسطاً لدليل الثغور بلغ 12.15 مقارنة بما حققته طريقة الرسمة 10.63. كما ان استعمال السماذ العضوي بالتركيز 5مل.لتر⁻¹ أدى الى زيادة بلغت 12.22 في دليل الثغور تفوقت فيها معنوياً على معاملة المقارنة التي بلغت 10.55.

وأظهرَ تأثيرَ التداخل الثنائي بين تراكيز النانو وطريقة الإضافة أن معاملة استعمال التركيز الموصى من نانو الزنك مع طريقة الرش الورقي تفوقت معنوياً على جميع التوليفات الأخرى بضمنها التوليفات التي شملت تراكيز النانو مع طريقة الرسمة عندما سجلت 15.97 لدليل الثغور. ومع طريقة الرسمة كان أعلى متوسطاً لدليل الثغور عند التركيز الموصى من نانو الحديد الذي بلغ 12.85، كما

النتائج **Results**

ان استعمال تراكيز النانو مع طريقتي الإضافة تفوق معنويا على معاملتي المقارنة التي بلغ متوسط دليل الثغور للبشرة العليا فيهما (7.72 و 6.69). ويلاحظ من تأثير التداخل الثنائي المعنوي بين تراكيز النانو والسماذ العضوي التفوق المعنوي للتوليفتين المكونتين من نانو الحديد بالتركيز الموصى ونانو الزنك بالتركيز ضعف الموصى مع استعمال السماذ العضوي على مثيلاتها من عدم استعماله اذ بلغت مع السماذ العضوي (15.05 و 14.07) ومن دون استعماله بلغت (10.04 و 9.03) بالترتيب المذكور سابقا مقارنة بالتوليفات الأخرى أو مقارنة بمعاملة المقارنة التي بلغ متوسط دليل الثغور للبشرة العليا فيها 6.15.

جدول (32): تأثير الحديد والزنك النانوي وطريقة إضافتهما والسماذ العضوي Drin وتداخلاتها في متوسط الدليل الثغوري للبشرة العليا لأوراق

طريقة الإضافة	تراكيز النانو	السماذ العضوي مل.لتر ⁻¹		متوسط طرق الإضافة
		5	0	
رش ورقي ^Z	0	6.26	9.19	7.72
	Fe موصى	8.41	16.78	12.59
	ضعف الموصى Fe	11.11	12.94	12.02
	Zn موصى	14.96	16.98	15.97
	ضعف الموصى Zn	9.45	12.48	10.96
	Zn+Fe موصى	11.41	12.89	12.15
	ضعف الموصى Zn+Fe	13.89	13.25	13.57
رسمة ^Y	0	6.03	7.34	6.69
	Fe موصى	11.67	14.02	12.85
	ضعف الموصى Fe	11.22	11.36	11.29
	Zn موصى	9.36	11.40	10.38
	ضعف الموصى Zn	8.60	14.67	11.63
	Zn+Fe موصى	12.46	10.23	11.35
	ضعف الموصى Zn+Fe	9.90	10.50	10.20
LSD 0.05	التداخل الثنائي	2.27		0.86
التداخل الثلاثي		3.22		
تراكيز النانو × السماذ العضوي		طريقة الإضافة × السماذ العضوي		
تراكيز النانو	السماذ العضوي مل.لتر ⁻¹	متوسط تراكيز النانو	طريقة الإضافة	
			5	0
0	6.15	8.67	7.41	13.09
Fe موصى	10.04	15.05	12.54	11.21
ضعف الموصى Fe	11.16	12.15	11.65	
Zn موصى	13.66	12.19	12.93	رسمة
ضعف الموصى Zn	9.03	14.07	11.55	
Zn+Fe موصى	11.94	11.06	11.50	
ضعف الموصى Zn+Fe	11.89	12.38	12.14	متوسط السماذ العضوي
LSD 0.05	LSD 0.05	1.61	0.86	
التداخل الثنائي		2.22		
N.S				

Z: الموصى وفق النشرة الإرشادية 1 غم. لتر⁻¹ وضعف الموصى 2 غم. لتر⁻¹ رشاً على الأوراق لكل من نانو الحديد والزنك.
Y: الموصى وفق النشرة الإرشادية 80 ملغم. لتر⁻¹ وضعف الموصى 160 ملغم. لتر⁻¹ مع ماء الري لكل من نانو الحديد والزنك.

ولم يعط التداخل الثنائي بين طريقة الإضافة والسماذ العضوي تأثيراً معنوياً في متوسط دليل الثغور للبشرة العليا.

أشارَ التداخل الثلاثي المعنوي لعوامل الدراسة الثلاث إلى أن أعلى متوسطاً سجّلته الدراسة الحالية كان بتأثير الرش الورقي للتركيز الموصى من نانو الحديد ونانو الزنك مع استعمال 5مل/لتر¹ من السماذ العضوي حيث بلغ كل منهما (16.78 و 16.98) على التتابع واللتين لم تختلفا عن بعضهما معنوياً مقابل أقل متوسطاً بلغ 6.26 عند نباتات المقارنة.

4-4-6: دليل الثغور للبشرة السفلى Stomata index of abexul epidermis

أشار الجدول (33) إلى التأثير المعنوي لعوامل الدراسة وتداخلاتها في دليل الثغور للبشرة السفلى لنبات الديباج ويلاحظ من الجدول ان جميع تراكيز النانو تفوقت معنوياً على معاملة المقارنة، وان أعلى متوسطاً لدليل الثغور بلغ (9.04 و 9.27) عند التركيز الموصى وضعف الموصى من نانو الزنك، في حين أقل متوسطاً كان عند معاملة المقارنة التي بلغت 5.96. ومن الجدول نفسه يلاحظ التأثير المعنوي لطريقة الإضافة في دليل الثغور اذ تفوقت طريقة الرش الورقي معنوياً بأعلى متوسطاً بلغ 8.98 مقارنة بما حققته طريقة الرسمدة 7.43. وان استعمال السماذ العضوي بتركيز 5مل/لتر¹ تفوق في الدليل الثغري للبشرة السفلى معنوياً عندما سجل 8.55 مقارنة بما سجّلته معاملة المقارنة التي بلغت 7.87.

ويلاحظ من نتائج الجدول نفسه ان التداخل الثنائي بين تراكيز النانو وطريقة الإضافة لم يكن معنوياً في الصفة سابقة الذكر. وأظهرَ التداخل الثنائي بين تراكيز النانو والسماذ العضوي أن استعمال السماذ العضوي مع التراكيز النانوية تفوق في الدليل الثغوري على معاملات عدم استعماله عدا معاملتي استعمال التركيز الموصى وضعف الموصى من نانو (الحديد+الزنك) إذ حصل العكس فمع السماذ العضوي بلغا (7.89 و 7.42) على التتابع، في حين أعطت مع عدم استعماله دليل ثغري للبشرة السفلى بلغ (8.75 و 8.35). وإن أعلى متوسطاً للدليل الثغري بلغ 10.18 عند التوليفة المُكوّنة من (نانو الحديد بالتركيز الموصى) مع السماذ العضوي بتركيز 5مل/لتر¹ والتي لم تختلف معنوياً عن توليفتي (التركيز الموصى وضعف الموصى من نانو الزنك مع استعمال السماذ العضوي) التي أعطت نباتاتها متوسطاً لدليل الثغور بلغ (9.81 و 9.99) على التتابع مقارنة بالتوليفات الأخرى أو مقارنة بمعاملة المقارنة التي بلغت 4.76. وبين التداخل الثنائي بين طريقة الإضافة والسماذ العضوي ان تأثيره المعنوي كان مع استعمال طريقة الرش الورقي مع السماذ العضوي بتركيز 5مل/لتر¹ والتي تفوق معنوياً عندما سجل 10.07 على باقي التوليفات الأخرى.

ومن تداخل عوامل الدراسة الثلاثة يظهر أن التوليفات المكونة من تراكيز النانو بطريقة الرش الورقي مع استعمال السماذ العضوي تفوقت على مثيلاتها التي شملت طريقة الرسمدة مع استعمال

النتائج **Results**

السماذ العضوي، وان التوليفة المتضمنة الرش الورقي لنانو الحديد بالتركيز الموصى مع استعمال السماذ العضوي 5مل.لتر⁻¹ سجلت نباتاتها أعلى متوسطاً لدليل الثغور بشرة سفلى بلغ 12.86 والتي لم تختلف معنوياً عن التوليفات التي شملت (التركيز الموصى وضعف الموصى من نانو الزنك بطريقة الرش الورقي مع استعمال السماذ العضوي 5مل.لتر⁻¹ والتي بلغ متوسط الدليل الثغري فيها للبشرة السفلى (10.79 و 11.69) على التتابع مقارنة بالتوليفات الأخرى.

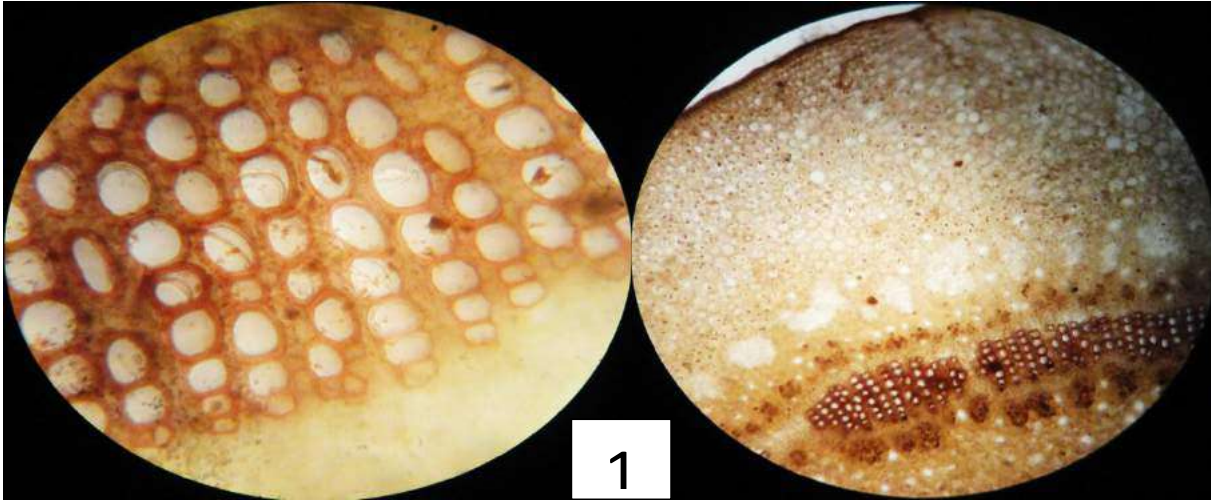
جدول (33): تأثير نانو الحديد والزنك وطريقة الإضافة والسماذ العضوي Drin في متوسط دليل الثغرة للبشرة السفلى لأوراق نبات الديباج *Calotropis procera*

طريقة الإضافة	تركيز النانو	السماذ العضوي مل.لتر ⁻¹		متوسط طرق الإضافة
		5	0	
رش ورقي ^Z	0	8.37	4.15	6.26
	Fe موصى	12.86	6.52	9.69
	ضعف الموصى Fe	9.64	6.76	8.20
	Zn موصى	11.69	9.90	10.80
	ضعف الموصى Zn	10.79	9.44	10.12
	Zn+Fe موصى	8.99	9.18	9.08
	ضعف الموصى Zn+Fe	9.15	8.31	8.73
رسمة ^Y	0	5.93	5.37	5.65
	Fe موصى	7.49	8.04	7.76
	ضعف الموصى Fe	7.19	9.45	8.32
	Zn موصى	5.92	8.63	7.28
	ضعف الموصى Zn	9.20	7.66	8.43
	Zn+Fe موصى	7.79	7.32	7.55
	ضعف الموصى Zn+Fe	5.68	8.38	7.03
التداخل الثنائي	0.64		N.S	
	2.38		التداخل الثلاثي	
LSD 0.05				
طريقة الإضافة × السماذ العضوي		تراكيز النانو × السماذ العضوي		
طريقة الإضافة	السماذ العضوي مل.لتر ⁻¹	متوسط تراكيز النانو	السماذ العضوي مل.لتر ⁻¹	
			5	0
رش ورقي	10.07	7.89	5.96	7.15
			8.73	10.18
			8.26	8.42
رسمة	7.03	7.84	9.04	9.81
			9.27	9.99
			8.32	7.89
متوسط السماذ العضوي	8.55	7.87	7.88	7.42
LSD 0.05		1.19	LSD 0.05	
0.90		1.68		
		التداخل الثنائي		

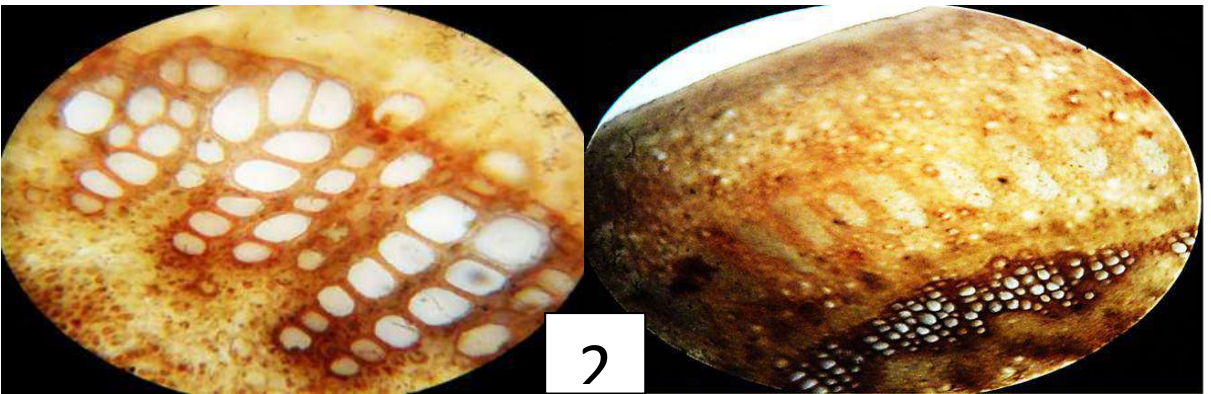
Z: الموصى وفق النشرة الإرشادية 1 غم. لتر⁻¹ وضعف الموصى 2 غم. لتر⁻¹ رشاً على الأوراق لكل من نانو الحديد والزنك.
Y: الموصى وفق النشرة الإرشادية 80 ملغم. لتر⁻¹ وضعف الموصى 160 ملغم. لتر⁻¹ مع ماء الري لكل من نانو الحديد والزنك.

B

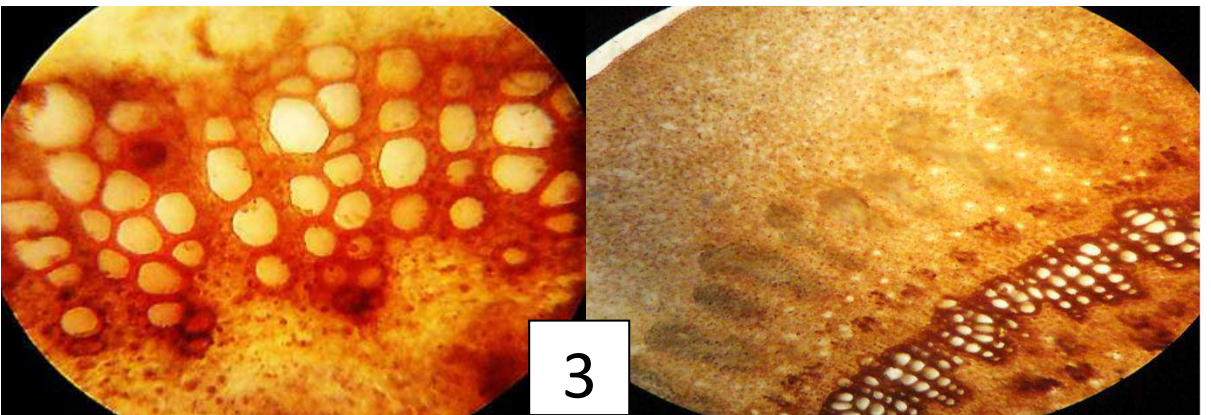
A



1

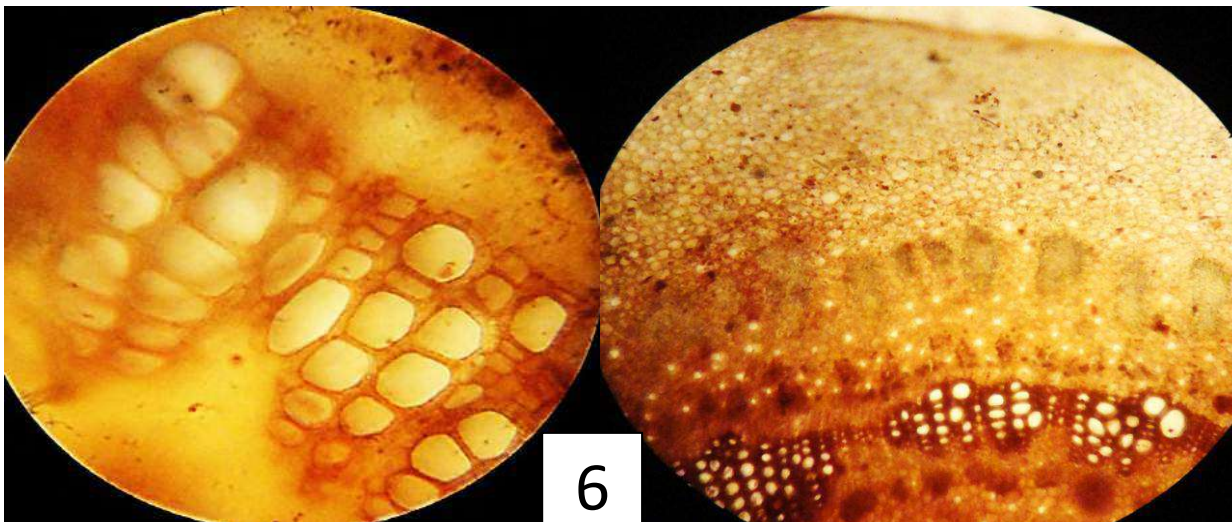
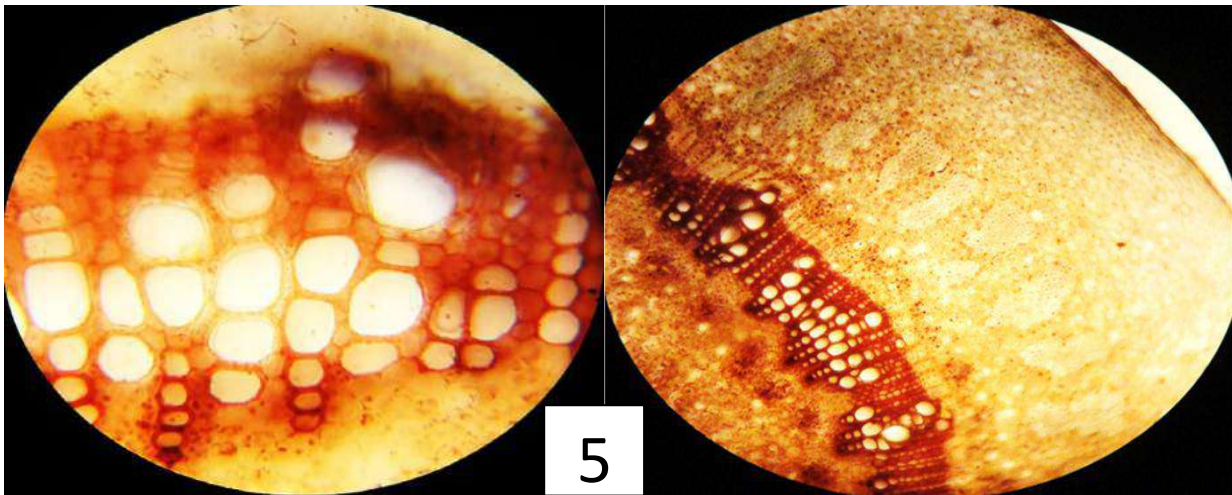
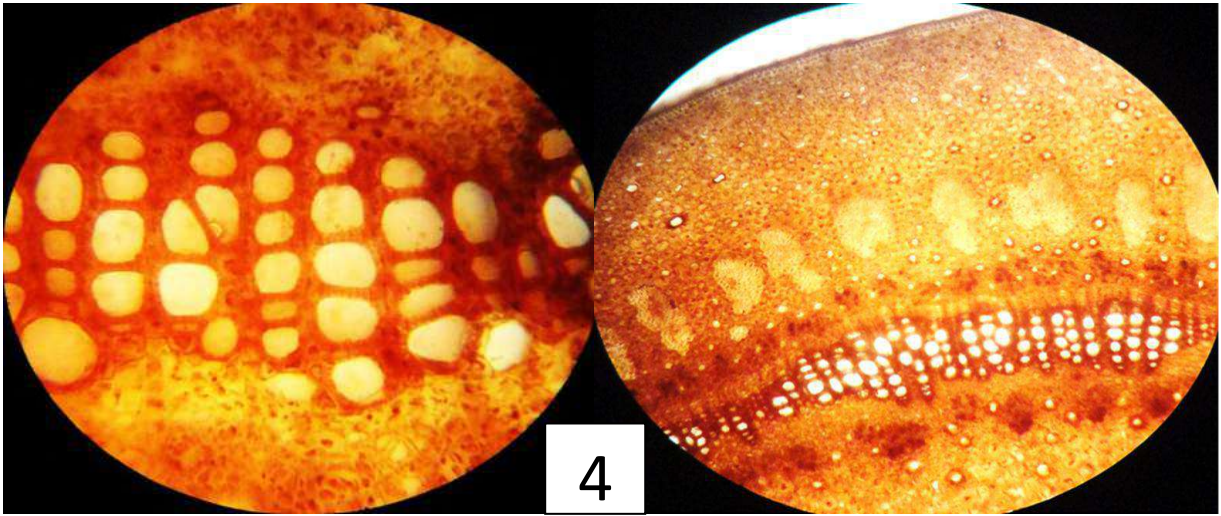


2

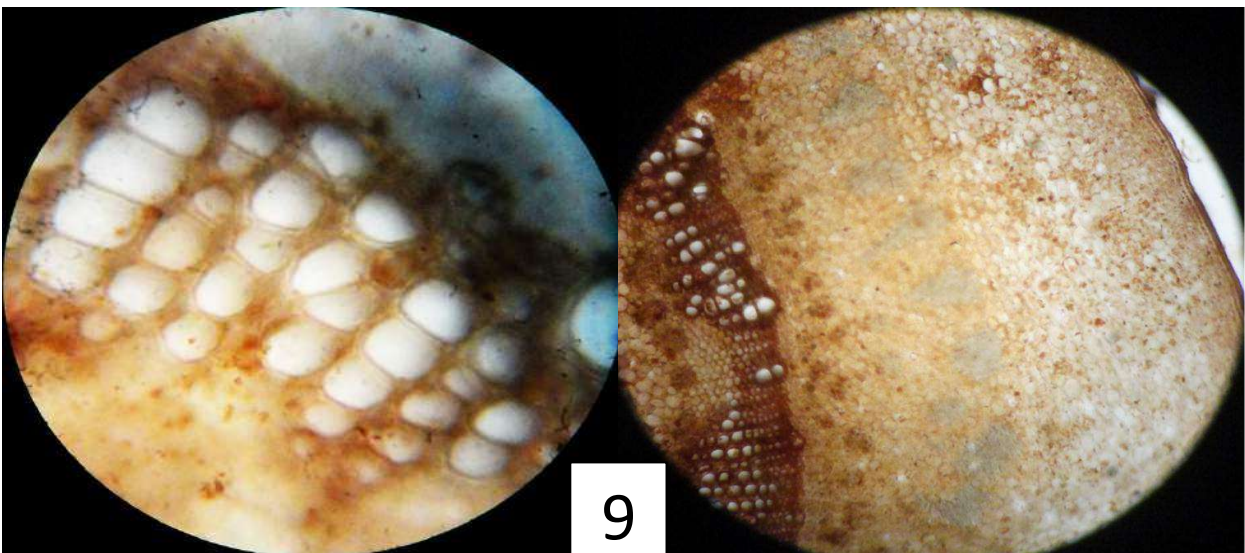
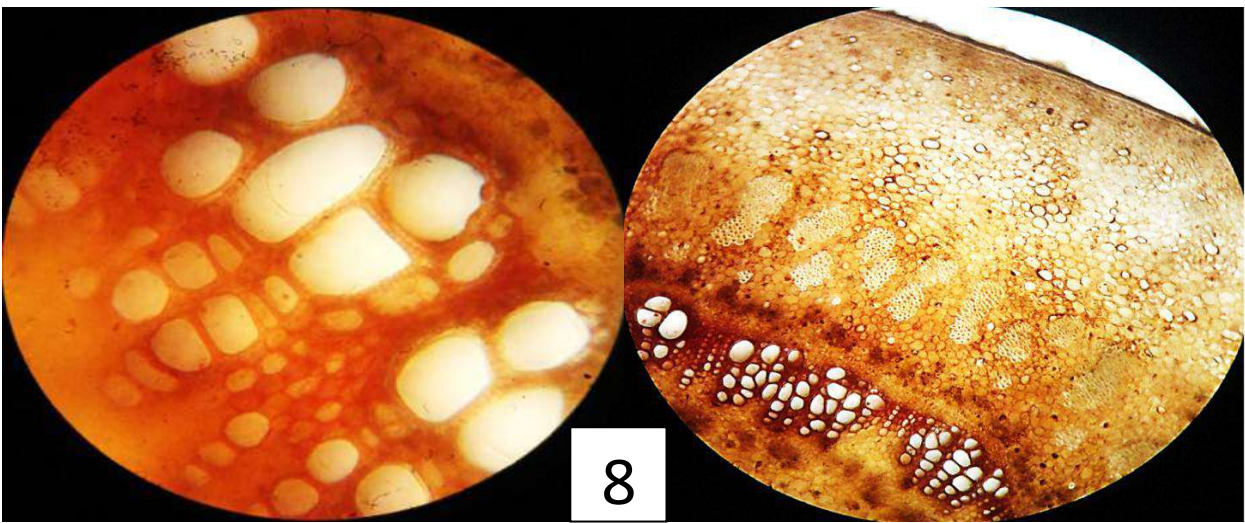
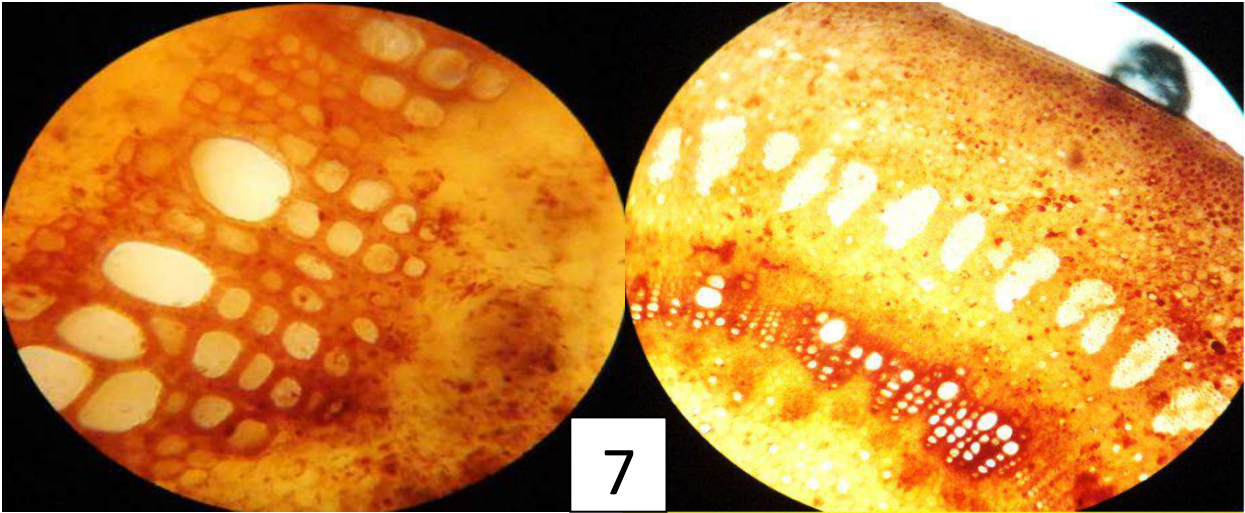


3

لوحة (1) A:مقطع عرضي في ساق نبات الديباج المعاملة بتراكيز مختلفة من النانو وطرق الإضافة والسماذ العضوي Drin (X10)، B:مقطع عرضي في اوعية الخشب المعاملة بتراكيز مختلفة من النانو وطرق الإضافة والسماذ العضوي Drin (X40)، [1:معاملة السيطرة، 2:المعاملة بالتركيز الموصى من نانو الحديد و3:المعاملة بالتركيز ضعف الموصى من نانو الحديد] بطريقة الرش الوقى

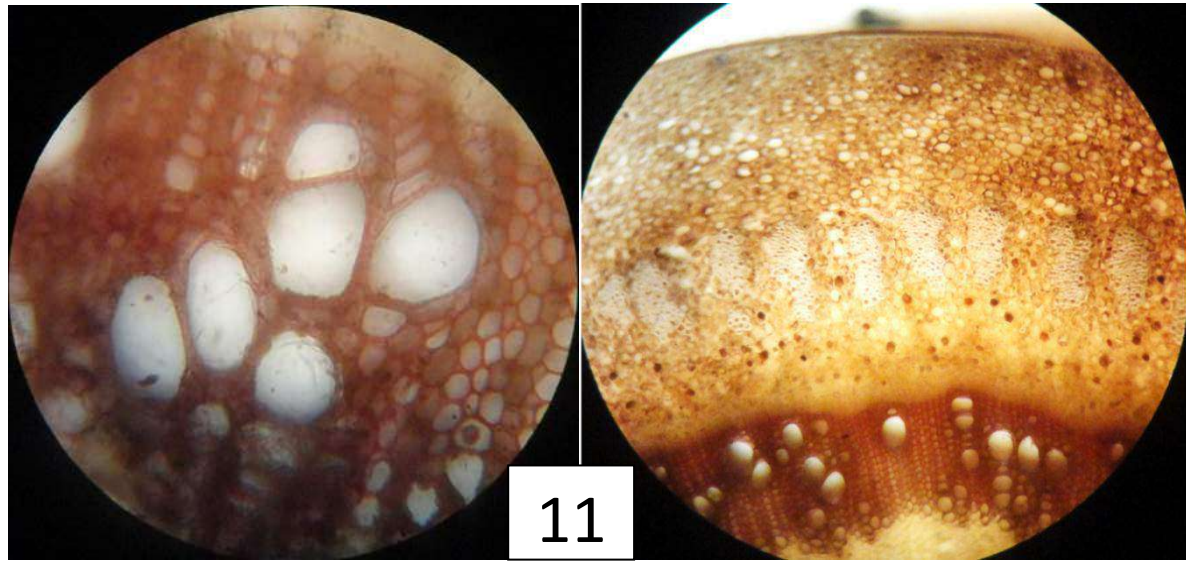
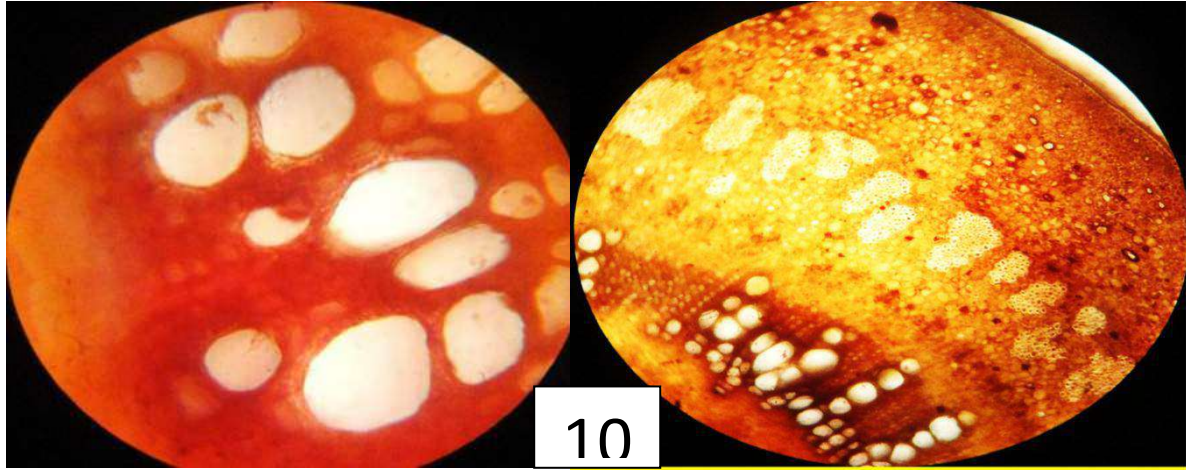


تكملة لوحة (1) [4: المعاملة بالتركيز الموصى من نانو الزنك، 5: المعاملة بالتركيز ضعف الموصى من نانو الزنك و6: المعاملة بالتركيز الموصى من نانو (الحديد+الزنك)] بطريقة الرش الوقى

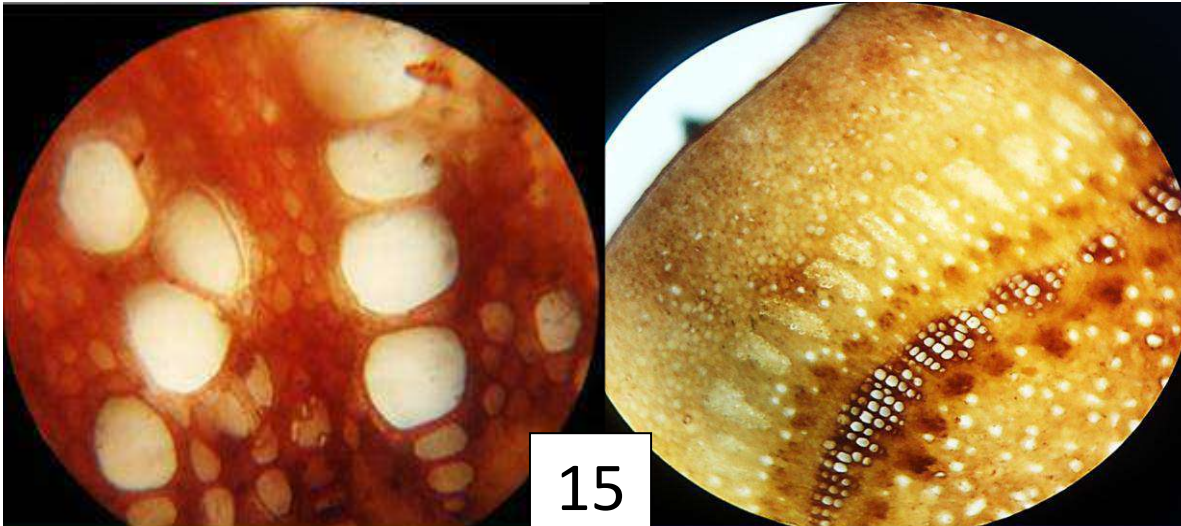
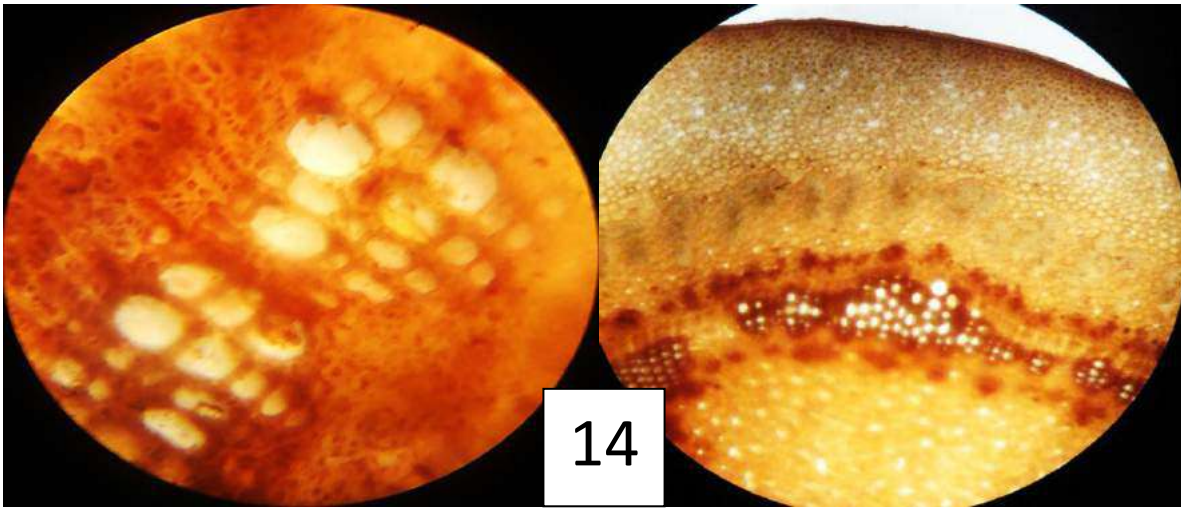
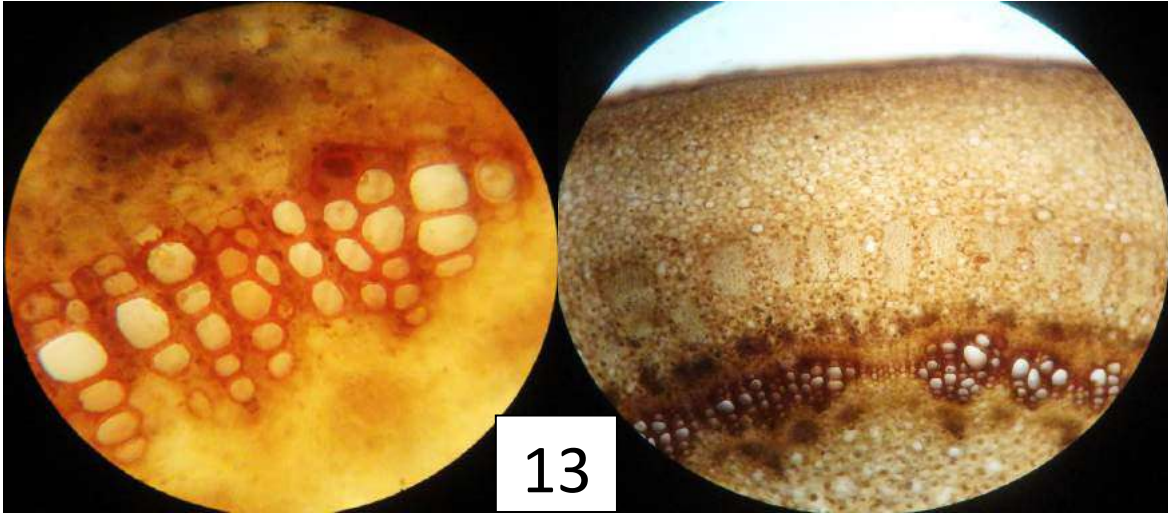


تكملة لوحة (1): 7: المعاملة بالتركيز ضعف الموصى من نانو(الحديد+ الزنك) بطريقة الرش الورقي ،
[8: المعاملة بالتركيز الموصى من نانو الحديد و9: المعاملة بالتركيز ضعف الموصى من نانو

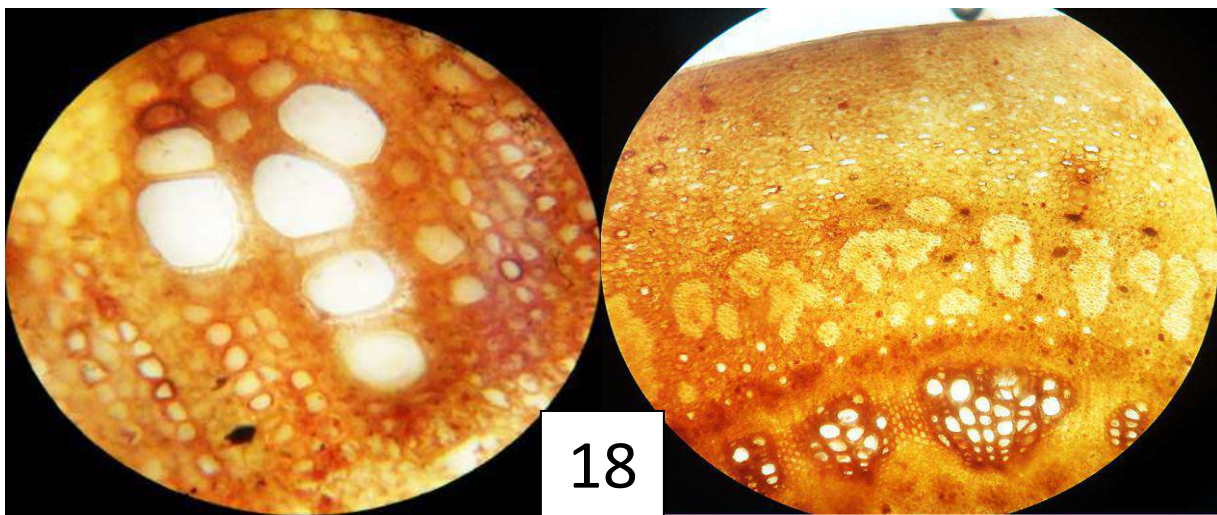
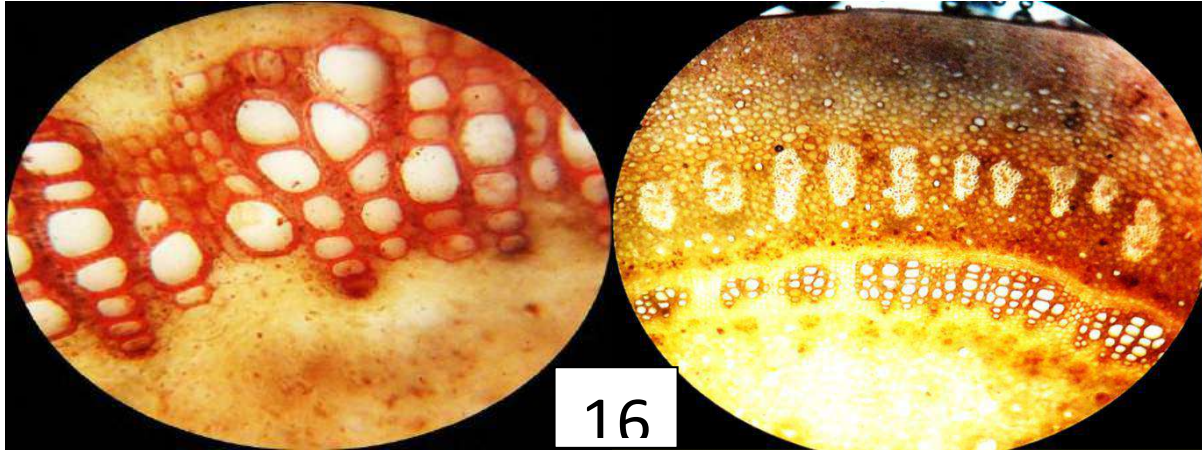
الحديد] بطريقة الرسمة



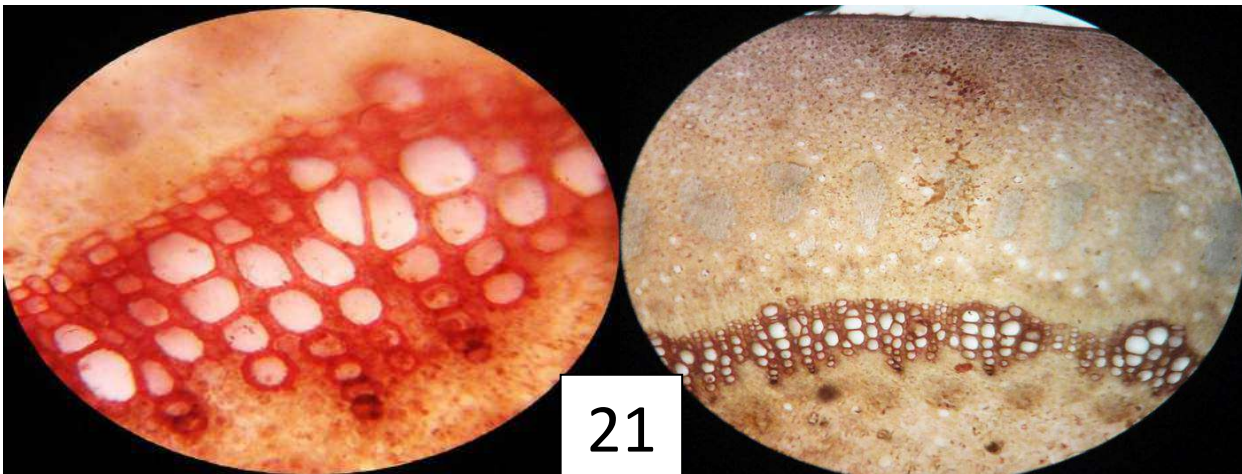
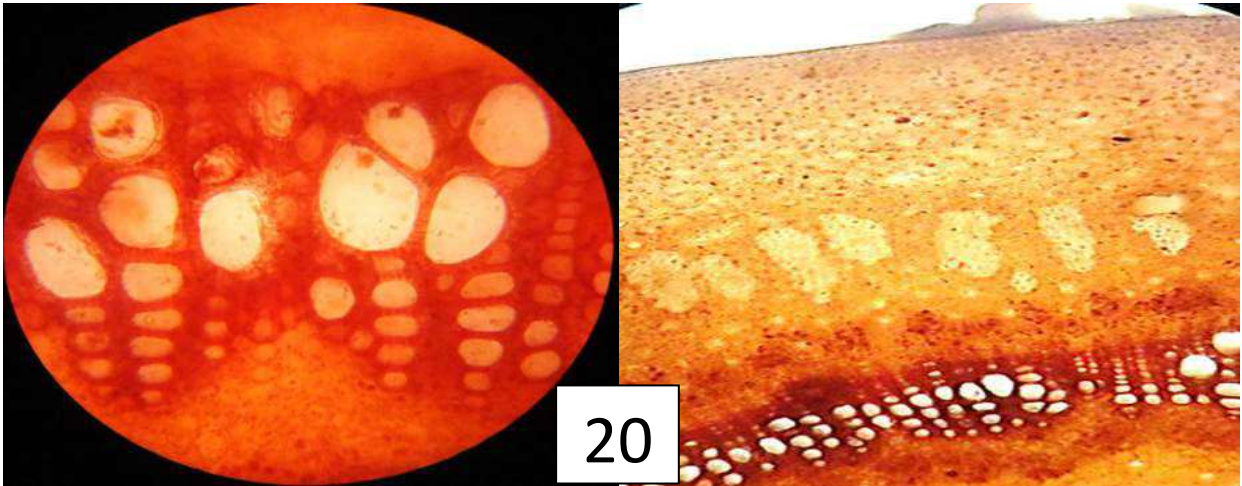
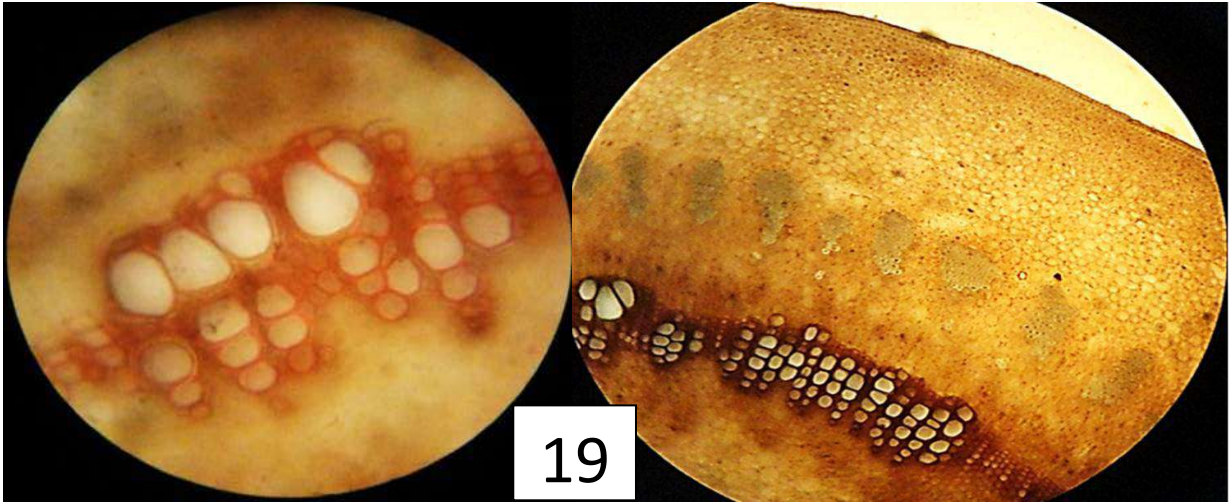
تكملة لوحة (1): [10:المعاملة بالتركيز الموصى من نانو الزنك، 11:المعاملة بالتركيز ضعف الموصى من نانو الزنك و12:المعاملة بالتركيز الموصى من نانو (الحديد+الزنك)] بطريقة الرسمة



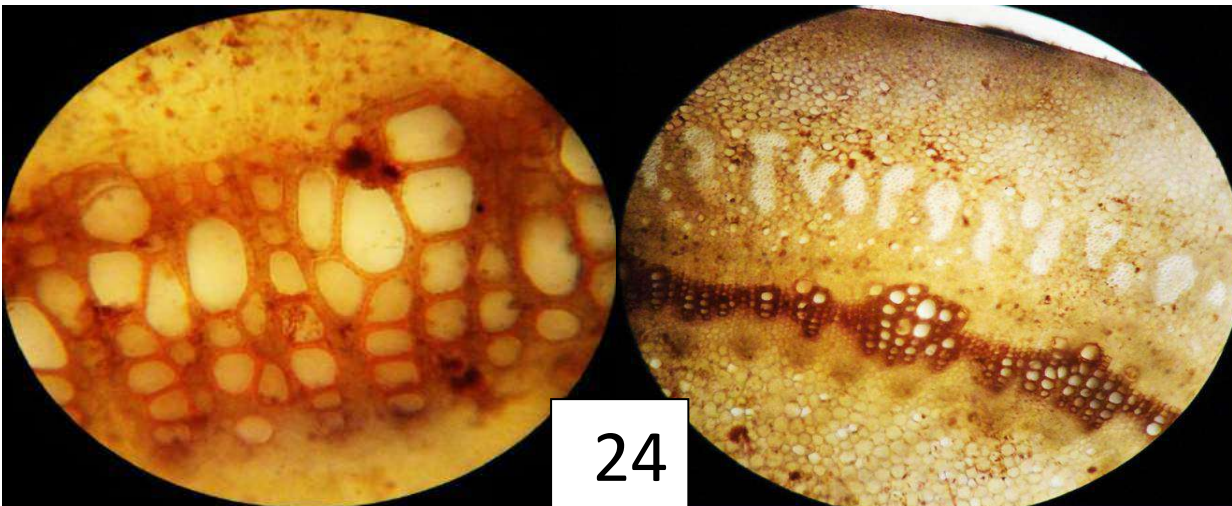
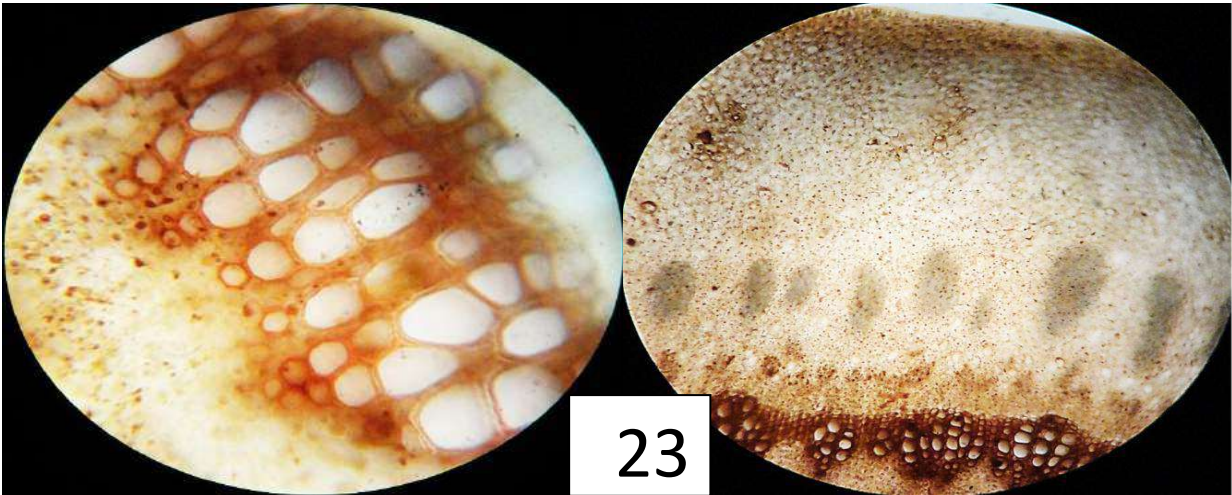
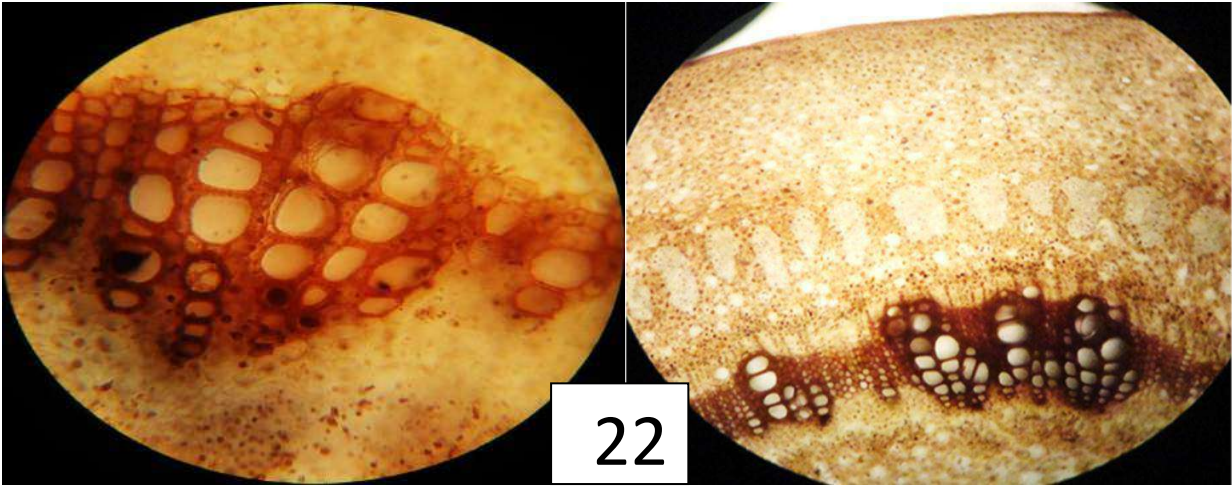
تكملة لوحة (1): 13: المعاملة بالتركيز ضعف الموصى من نانو (الحديد+الزنك) بطريقة الرسمدة،
14: المعاملة بالتركيز 5مل.لتر⁻¹ سماد عضوي و 15:المعاملة بالتركيز الموصى من نانو
الحديد المضاف بطريقة الرش الورقي والتركيز 5مل.لتر⁻¹ سماد عضوي



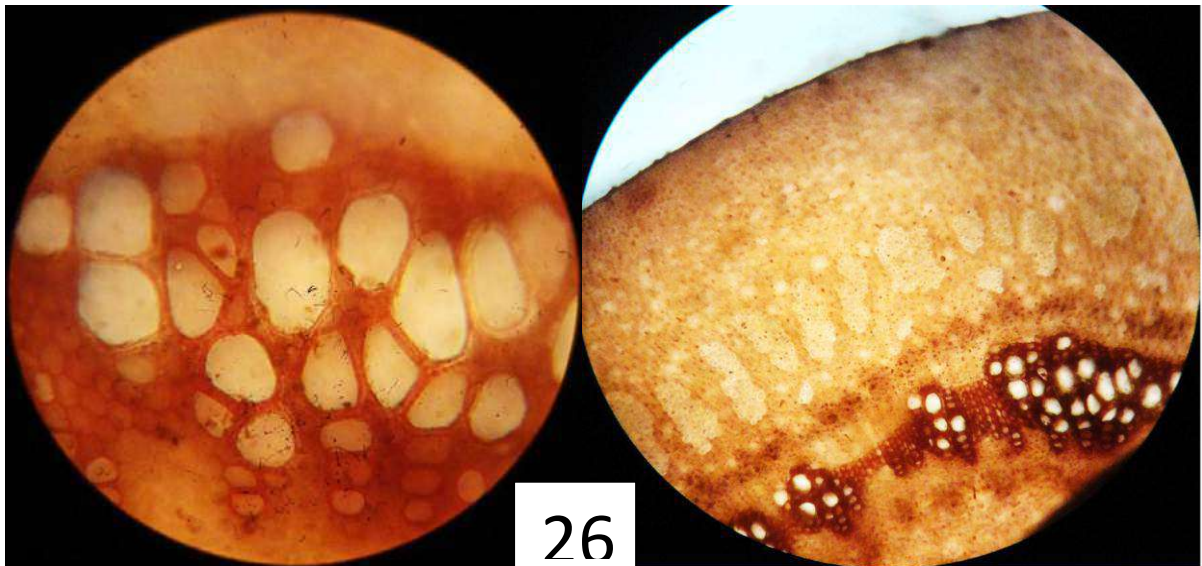
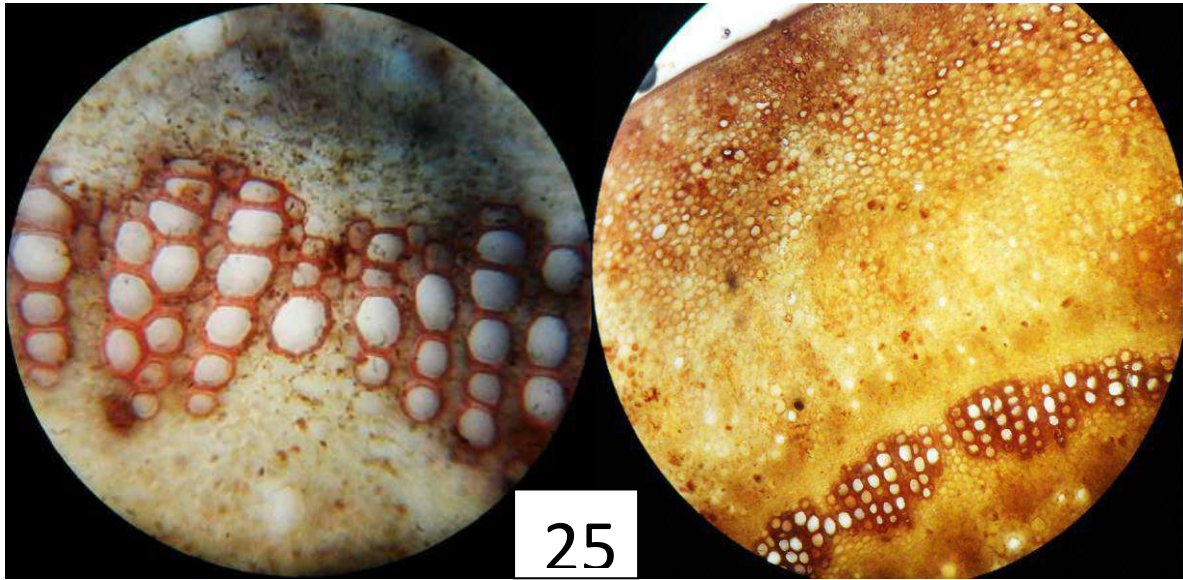
تكملة لوحة (1) [16: المعاملة بالتركيز ضعف الموصى من نانو الحديد 17: المعاملة بالتركيز الموصى من نانو الزنك و18: المعاملة بالتركيز ضعف الموصى من نانو الزنك] بطريقة الرش الورقي والتركيز 5مل.لتر⁻¹ سماد عضوي



تكملة لوحة (1): [19: المعاملة بالتركيز الموصى من نانو (الحديد+الزنك) 20: المعاملة بالتركيز ضعف الموصى من نانو(الحديد+ الزنك)] بطريقة الرش الورقي والتركيز 5مل.لتر⁻¹ سماد عضوي و 21:المعاملة بالتركيز الموصى من نانو الحديد بطريقة الرسمة والتركيز 5مل.لتر⁻¹ سماد عضوي



تكملة لوحة (1): [22: المعاملة بالتركيز ضعف الموصى من نانو الحديد 23: المعاملة بالتركيز الموصى من نانو الزنك و24: المعاملة بالتركيز ضعف الموصى من نانو الزنك] بطريقة الرسمة والتركيز 5مل.لتر⁻¹ سماد عضوي



تكملة لوحة (1): [25: المعاملة بالتركيز الموصى من نانو (الحديد+الزنك) 26: المعاملة بالتركيز
ضعف الموصى من نانو(الحديد+ الزنك)] بطريقة الرسمة والتركيز 5مل.لتر⁻¹ سماد عضوي

الفصل الخامس

المنافسة

Discussion



Discussion

5: المناقشة

أن استعمال تراكيز مختلفة من الحديد والزنك النانوي وطريقة إضافتهما والسماذ العضوي Drin وتداخلاتها أثرت في الكثير من صفات المجموع الخضري لنبات الديداج. إذ إنَّ زيادة ارتفاع النبات (جدول 3) باستعمال تراكيز نانو الحديد المخليبي يعود الى دوره في زيادة الجبرلينات GA في النبات Rui واخرون، (2016) التي لها تأثير رئيس في مرونة ولدونة جدران الخلايا النباتية ثمَّ استطلتها (Keyes وآخرون 1990). كما يساهم (اي الحديد) في العديد من العمليات الحيوية التي تحدث في النبات ومنها صنع الغذاء وتشجيع انتاج الأحماض الأمينية والأنزيمات التي تحث على زيادة الانقسامات الخلوية وزيادة نشاط الانزيمات المضادة للأكسدة Karimi وآخرون (2014) فيؤدي ذلك الى تنظيم نمو النبات وتعزيز نشاطه، وزيادة ارتفاعه (Rui واخرون، 2016; Boghori، 2016). وهذا يتفق مع ماتوصل اليه Bozorgi، (2012) على نبات الباذنجان *Solanum melongena L.* عندما استعمل التركيز 2غم.لتر⁻¹ من نانو الحديد و Harsini واخرون، (2014) على نبات الحنطة *Triticum aestivum L.* و Kaviani وآخرون، (2016) على نبات زهرة بنت القنصل *Euphorbia pulcherrima* عند استعماله التركيز 4.5 غم.لتر⁻¹ من نانو الحديد.

كما أنَّ نتائج زيادة قطر الساق (جدول 4) بتأثير نانو الحديد جاءت نتيجة لزيادة سمك منطقة القشرة وعدد مجاميع الياف القشرة الداخلية وأقطار أوعية الخشب وسمك اللب من ساق النبات الجداول (28 و 29 و 30 و 31) وزيادة قطر الساق نتيجة استعمال نانو الحديد جاءت متفقة مع ماتوصل اليه كل من Soliman واخرون (2015) على نبات المورنجا *Moringa peregrina* عندما استعمل التركيز 60ملغم.لتر⁻¹ منه و El-Nasr واخرون (2015) على نبات الكمثرى *Pyrus serotina L.* عند استعمال التركيز 250 ملغم.لتر⁻¹. اما زيادة عدد أوراق النبات نتيجة استعمال نانو الحديد (جدول 5) فتُعزى إلى دوره في زيادة الجبرلينات وتقليل تراكيز حامض الأبسيسيك (ABA) (Rui واخرون، 2016) وزيادة محتوى الأوراق من عنصر النتروجين الجدول (13) ممَّا يؤدي إلى تشجيع عمليات النمو والانقسام وإنتاج مواد غذائية بكميات كافية لإمداد مؤشرات النمو الخضري وإنتاج أوراق جديدة. ويتفق ذلك مع Soliman واخرون (2015) على نبات المورنجا عند التركيز 60ملغم.لتر⁻¹ و Kaviani وآخرون، (2016) على نبات زهرة بنت القنصل مع التركيز 1.8 غم.لتر⁻¹.

ويتميز نانو الحديد بأن له كفاءة اختراق عالية لأغشية الخلايا وصولاً الى مراكز العمل الوظيفية له وهو ضروري لتخليق الكلوروفيل جدول (8) وصنع الغذاء وتشجيع عمليات نقل الطاقة والتمثيل الغذائي وانقسام الخلايا وزيادة عددها تأثيراً في زيادة المساحة الورقية للنبات (جدول 6) و Nair واخرون

(2010). وتتفق هذه النتائج مع Mamyandi وآخرون (2012) على نبات البنجر *Beta vulgaris* و Al-Sherbini وآخرون (2015) على نبات البزاليا .

وفيما يخص عدد الفروع للنبات (جدول 7) وتأثير الحديد النانوي في زيادتها يعزى إلى ان زيادة تركيز الحديد يقلل من الاوكسينات التي تشجع النمو القمي ذلك ان الحديد ضروري لعمل انزيم IAA Oxidase، Cw وآخرون (2007) وهذا يؤدي الى زيادة عدد التفرعات، كما يوضح الجدول (10) زيادة نمو الجذور المتمثلة بوزنه الجاف والذي يشكل موقعا لإنتاج الساييتوكاينينات وتصديرها للجزء الخضري اذ يكون عملها مضاداً لعمل الأوكسينات فتحث النبات على انتاج فروع جديدة (Mapelli و Lombardi، 1982). وهذا يتفق مع Elfeky وآخرون (2013) على نبات الريحان من تحقيق زيادة معنوية في عدد الفروع عندما استعمل التركيز 2 ملغم. لتر⁻¹ و Rui وآخرون (2016) على نبات الفول السوداني *Arachis hypogaea* .

أما السبب في زيادة محتوى الأوراق من الكلوروفيل الكلي (جدول 8) من قبل نانو الحديد فإنه يرجع إلى دوره في العديد من العمليات الحيوية للنبات والتي اشترাকে المباشر في تركيب مواد البناء أو تنشيطه للفعاليات الأنزيمية داخل النبات إذ يدخل الحديد عاملاً مساعداً و منشطاً لتفاعلات تكوين الصبغات الخضراء عبر سلسلة مركبات تنتهي بتكوين جزئية الكلوروفيل. وجاءت هذه النتائج متفقة مع Nadi وآخرون (2013) على نبات الباقلاء، عندما استعمل التركيز 6غم. لتر⁻¹ و Roosta وآخرون (2015) على نبات الخس *Lactuca sativa* L. و El-Nasr وآخرون (2015) على نبات الكمثرى عندما استعمل التركيز 250 ملغم. لتر⁻¹ و Farahani وآخرون (2015) على نبات الزعفران عند التركيز 5كغم. هكتار⁻¹ .

ان زيادة الأوزان الجافة للمجموعين الخضري والجذري للنبات (جدول 9 و 10) بتأثير نانو الحديد فإنه يعود الى دوره في زيادة بعض الخصائص النوعية والكمية مثل محتوى الأوراق من النتروجين جدول (13) وزيادة المساحة الورقية الجدول(6) ، مما يؤدي إلى ارتفاع معدلات استيعاب CO₂، ومن ثم تراكم انتاج الكتلة الحية والكاربوهيدرات الجدول (21) وزيادة انتاج البروتين الجدول (14) (Thumma وآخرون 2001). كما أنه يُحافظ على التركيب الهيكلي والشكلي للبلاستيدات الخضراء من خلال دوره المهم في عملية تمثيل RNA للكلوروبلاست في الأوراق من خلال تنظيم البروتينات

ونقلها خلال الغشاء المزدوج لها Lefebvre-Legendre وآخرون (2015) و López-Millán وآخرون (2016) ، وزيادة نشاط الانزيمات المضادة للأوكسدة مثل الكاتلاز، البيروكسيداز، والاسكوربات Askary وآخرون (2017a) وهذا بدوره يحافظ على الكلوروفيل من التأكسد وبقاء نشاطه لمدة أطول، فضلاً عن أن زيادة الدليل الثغري الجدولان (32 و 33) بتأثير نانو الحديد أدى إلى زيادة في تمثيل CO₂ وامتصاص العناصر الغذائية المتواجدة في التربة وزيادة في تخليق المواد الكربوهيدراتية جدول(21)،

وزيادة ارتفاع النبات وقطر الساق وعدد الأوراق والمساحة الورقية وعدد الأفرع الجداول (3 و 4 و 5 و 6 و 7) ومن ثم زيادة الوزن الجاف للنبات (Harsini وآخرون، 2014 و Rout و Sahoo ، 2015). وزيادة المادة الجافة في هذه الدراسة جاءت متفقة مع Moosapoor وآخرون (2013) و Rezaeei وآخرون (2014) و Soliman وآخرون (2015) و Yousefzadeh و Sabaghnia (2016) على نباتات مختلفة.

وأن زيادة معدل النمو النسبي لنبات الديباج جدولي (11 و 12) يعزى لزيادة ارتفاع النبات الجدول (3) ذو العلاقة المباشرة بمعدل النمو النسبي.

ان التأثير المعنوي لنانو الزنك في زيادة ارتفاع النبات وقطر الساق وعدد الأوراق والمساحة الورقية وعدد الأفرع في النبات الجداول (3 و 4 و 5 و 6 و 7) يعزى الى دوره في تكوين الحامض الاميني التربتوفان المهم في تكوين IAA الذي يؤثر في زيادة انقسام الخلايا ويعزز نشاط الخلايا المرستيمية وانقسامها وزيادة طول السلاميات ويدخل في تركيب الغشاء البلازمي ويشترك في العديد من وظائف الخلايا النباتية وله دور أساسي في حماية الخلايا النباتية من الأكسدة (أبوضاحي واليونس، 1988 والصحاف، 1989 و Sharifi، 2016).

تعود الزيادة المعنوية في الكلوروفيل الكلي الجدول (8) بفعل استعمال الزنك النانوي الى دوره في التفاعلات الحيوية المؤدية لتشكل الكلوروفيل إذ يسهم الزنك بصورة غير مباشرة في تمثيل الكلوروفيل من خلال تأثيره المباشر في تكوين وانتاج الأحماض الأمينية ومركبات الطاقة Ruttkay-Nedecky وآخرون (2017) إذ انه عزز كفاءة النبات في امتصاص الفسفور كما هو موضح في الجدول (15) كما انه يعد عاملاً مساعداً لعمل انزيم Carbonic anhydrase الذي يلعب دور منظم buffer للرقم الهيدروجيني داخل البلاستيدات الخضراء ومن هنا يحافظ على البروتينات من فقدان طبيعتها الحيوية، أضف الى ذلك دوره الفعال بوصفه عاملاً مساعداً مضاداً للأكسدة Edwards و Mohamed (1972) ; Jacqueline وآخرون (2012) و Wu و Zhao (2017) وجاءت هذه النتائج متفقة مع Najafivafa وآخرون (2015) على نبات الزعر البري و Davarpanah وآخرون (2016) على نبات الرمان و Arshad و Ali (2016) على نبات الجوافة. *Psidium Guajava L.* و Pariona وآخرون (2016) على نبات الذرة; Javadimoghadam وآخرون (2015) على نبات الخيار *Cucumis sativus L.* و Sofy وآخرون (2016) على نبات الكينوا *Chenopodium quinoa*.

كما ان التأثير المعنوي لنانو الزنك في زيادة الوزن الجاف للمجموعتين الخضري والجذري يعزى الى مساهمة الزنك في نمو النبات مساهمة فعالة في العمليات الحيوية الرئيسية في النبات المتمثلة بالمسارات الحيوية للخلايا المرستيمية المؤدية الى تراكم الكتلة الحية (Venkatachalam وآخرون 2017). حيث اتضح انه يؤدي الى زيادة في تخليق وانتاج البروتينات جدول (14) وذلك من خلال

التحفيز الكيميائي أو أنه يحافظ على بنية البروتين واستقراره وتعزيز الخصائص الفيزيائية والبيولوجية للأوراق (Kisan وآخرون، 2015) والذي انعكس إيجابيا على الصفات الفسلجية لنبات الديباج كارتفاع النبات وقطر الساق وعدد الأوراق والمساحة الورقية وعدد الأفرع في النبات جداول (3 و 4 و 5 و 6 و 7 على التتابع) مما أدى الى زيادة الوزن الجاف للمجموعين الخضري والجذري للنبات (الجدولان 9 و 10). وهذا يتفق مع ماتوصل اليه Burman وآخرون (2013) على نبات الحمص و Mosanna و Behrozyar (2015) على نبات الذرة و Venkatachalam وآخرون (2017) على نبات القطن *Gossypium hirsutum* L.

إن زيادة معدل النمو النسبي جدولا (11 و 12) بفعل استعمال نانو الزنك تُعزى إلى أن تأثيره في تحسين معظم الصفات الفسلجية المتمثلة بقطر الساق وعدد الأوراق والفروع والمساحة الورقية جداول (4 و 5 و 6 و 7) مما أدى الى زيادة كفاءة النبات في تحويل نواتج التمثيل الضوئي وزيادة ارتفاع النبات (جدول 3) مما انعكس على هذه الصفة التي لها علاقة مباشرة بارتفاع النبات.

إن التأثير المعنوي لطريقة الرش الورقي في زيادة مؤشرات النمو الخضري لنبات الديباج يُعزى إلى التفوق المعنوي لطريقة الرش الورقي في صفات النمو الخضري المتمثلة بارتفاع النبات وقطر الساق وعدد الأوراق وعدد الفروع والمساحة الورقية والكلوروفيل الكلي والأوزان الجافة للمجموع الخضري والجذري جداول (3 و 4 و 5 و 6 و 7 و 8 و 9 و 10) يعود إلى سرعة وصول المغذيات المضافة بطريقة الرش الورقي وتمثيلها في مواقع الأيض عن طريق اختراق بشرة الأوراق أو الجروح والخدوش وصولا الى الخلايا بوقتٍ أسرع مما يساعد في إستمرارية المدد الغذائي وعمليات الأيض Rajasekar وآخرون، (2017) وإنعكاس ذلك في زيادة إرتفاع النبات وقطر الساق وعدد الأوراق والفروع والمساحة الورقية (جداول 3 و 4 و 5 و 6 و 7) والأوزان الجافة للمجموعين الخضري والجذري جداول (9 و 10). ويتفق ذلك مع نتائج Fang وآخرون (2008) على نبات الرز *Oryza sativa* و Leila وآخرون (2016) على نبات السلجم *Brassica napus* و Torabian وآخرون (2016) على نبات زهرة الشمس و Tanou وآخرون (2017) على عدد من الأشجار المثمرة.

وان الزيادة الحاصلة في ارتفاع النبات الجدول(3) نتيجة استعمال السماد العضوي Drin الحاوي على النتروجين والكاربون ونسبة كبيرة من خليط الأحماض الأمينية والتي تلعب دورا في زيادة نفاذية الاغشية الخلوية وتُسَهِّل انتقال المغذيات الصغرى كالزنك بعد حوصلتها (Fawy و Khaled ، 2011 و Yoneyama وآخرون (2015)، والذي يساعد في استمرار تفاعل السيرين مع حلقة الأندول لتكوين التربتوفان الذي هو منشأ هرمون الأوكسين الطبيعي (IAA) Mašev و Kutáček (1966) و Idayu وآخرون (2017) الذي يعمل على زيادة الانقسامات وليونة جدر الخلايا المؤدية الى الاستطالة وزيادة ارتفاع النبات وفروعه الجدولان (3 و 7). اصف الى ان النتروجين يشترك مباشرة في تركيب جزيئة

الكلوروفيل مع عنصر المغنيسيوم والأحماض الأمينية التي تعد وحدات البناء الأساسية للبروتين والانزيمات، لذا فهو يدخل في جميع الخطوات المرتبطة بتفاعلات البروتوبلازم وعمليات التمثيل الضوئي الرئيس، (1987) وكذلك يعمل عنصر النتروجين على زيادة المساحة الورقية الجدول (6) وما يتبع ذلك من زيادة في كفاءة التمثيل الضوئي وتراكم الكربوهيدرات بدليل ان استعماله ادى الى زيادة محتوى النبات من الكربوهيدرات جدول(21)، وزيادة تكوين بادئات الأوراق Leaf primordial، Almousa (2017) بالتالي زيادة اعدادها الجدول (5). كما ان النتروجين يحفز نمو النبات لانتاج السايبتوكينينات Ding وآخرون (2014) ذات الأثر الواضح في تحفيز النموات الجديدة ومن ثم زيادة حجم المجموع الخضري وزيادة الأوزان الجافة لهما (محمد واليونس، 1991). إن دور الاحماض العضوية الموجودة في تركيب هذا السماد لها القدرة على تكوين مركبات مخليبية طبيعية ومن ثم زيادة نفاذية الأغشية الخلوية وتسهيل عملية انتقال المغذيات التي لها دور مهم في تنشيط تمثيل البروتينات والانزيمات التي تصاحب تمثيل الكربوهيدرات (Teixeira وآخرون 2017) وتراكم الكتلة الحيوية وزيادة الاوزان الجافة للمجموعين الخضري والجذري جدولا (9 و10). وتتفق هذه النتائج مع Khat tab و Shaban (2012) على نبات الرمان والجوزري (2014) على نبات الديباج و Shekari و Javanmardi (2017) على نبات البروكلي. *Brassica oleracea* L.

وفيما يتعلق بزيادة محتوى الأوراق من الكلوروفيل الكلي جدول(8) المضاف إليها السماد العضوي رشا على الأوراق فيعود إلى إحتوائه على عنصر النتروجين الذي يساهم في تصنيع حلقة البورفيرين Porphyrin التي تدخل في بناء جزئية الكلوروفيل (Senge وآخرون، 2014)، مما ينعكس بالاجمال في زيادة النمو الخضري للنبات وأن للتسميد للعضوي دوراً مهماً في توفير المغذيات بشكل متوازن للنبات وزيادة نشاط الجبرلينات داخل أنسجة النبات والتي تعمل على زيادة استطالة الخلايا (Lucas وآخرون، 2008) وهو ما انعكس إيجاباً في زيادة الوزن الجاف للمجموعين الخضري والجذري الجدولان (9 و10). ويتفق ذلك مع ما وجدته كل من كاظم و كاظم (2013) على الطماطة و Rasmia وآخرون (2014) على نبات النخيل *Phoenix dactylifera* و Sadak وآخرون (2015) على نبات الباقلاء.

إنَّ زيادة محتوى الأوراق من العناصر الغذائية والكربوهيدرات والفينولات الكلية بتأثير نانو الحديد والزنك جداول (13 و14 و15 و16 و17 و18 و19 و20 و21 و22) يعود إلى أن الأسمدة النانوية توفر مساحة سطحية أكبر لتفاعلات الأيض المختلفة في النبات مما يزيد من معدل التمثيل الضوئي وبالنتيجة يشجع الطلب على العناصر المعدنية وينتج المزيد من المادة الجافة والغلة للمحصول، فضلاً عن أنها تحافظ على النبات من الإجهادات المختلفة الحيوية وغير الحيوية (Singh وآخرون (2017). ان الحديد يستهدف أغشية الخلايا ويزيد من فعالية عمليات التحويل البيوكيميائية Yang وآخرون (2016)، وأشار

Kim وآخرون (2015) الى ان استعمال نانو الحديد ادى الى زيادة كفاءة انزيم H⁺-ATPase في الغشاء البلازمي للخلايا الحارسة الذي بدوره يؤدي الى زيادة فتح الثغور خمسة اضعاف حالتها الطبيعية مما يعزز من دخول ثنائي اوكسيد الكربون وزيادة كفاءة عملية صنع الغذاء، مما يوفر طلباً مستمراً على العناصر المغذية التي يعمل النبات على أخذها من التربة (Hartmute، 2005 و Rout و Sahoo، 2015). اصف الى إن زيادة أقطار وحدات الخشب جدول (31) بتأثير نانو الحديد والزنك يؤثر في عملية امتصاص الأملاح بزيادته لكفاءة الجذور في امتصاص العناصر المعدنية من التربة وانتقالها داخل النبات. ودور نانو الحديد في تثبيت النتروجين جدول (13) تُحسّن مقدرة النبات على تصنيع البروتينات جدول(14) من خلال تأثيرها في العمليات الحيوية وبذلك تحدث زيادة في العمليات المؤدية إلى زيادة الانقسامات الخلوية ويلعبان دوراً في تشكيل الكربوهيدرات والكلوروفيل ونمو الجذور (Elfeky و آخرون 2013) ، مما يعزز من عملية امتصاص المغذيات بشكل اكبر وزيادة محتواها في النبات Mousavi و آخرون (2013) و Emamverdian و آخرون، (2015) و امتصاص الماء والمغذيات وزيادة الطلب عليها. كما انهما ينشطان عدداً من الإنزيمات، ويسهمان في تخليق ال DNA و RNA ويحسنان أداء الأنظمة الضوئية في النبات ويعززان النمو ويحثان عملية فتح الثغور وزيادتهما للدليل الثغري للبشرتين العليا والسفلى جدولاً (32 و33) في الأوراق مما يزيد من عملية النتج وبدوره يزيد من العناصر الممتصة من قبل الجذور Eلفكي و آخرون (2013) و Kim و آخرون (2016) Barrameda-Medina و آخرون (2017) وهذا يتفق مع Jokar و آخرون (2015) على نبات اللوبياء *Vigna unguiculata* و Soliman و آخرون (2015) على نبات المورنجا و El-Nasr و آخرون (2015) على نبات العرموط و Askary و آخرون (2017 b) على نبات عين البزون *Catharanthus roseus* و Kisan و آخرون (2015) على نبات السبانخ و Najafivafa و آخرون (2015) على نبات الزعفران و Mahmoud و آخرون (2016) على اشجار الكينوا و Davarpanaha و آخرون (2016) على نبات الرمان.

أو تُنسب الزيادة في بعض العناصر كالفسفور جدول (14) إلى التأثير المعنوي لنانو الحديد والزنك في مُنظمات النمو ومن ثم تحفيز النبات على أداء فعالياته الحيوية والبنائية بشكلٍ نشطٍ وفَعَالٍ مما يتطلب سحب كميات أكثر من الفسفور لسد حاجة النبات إليه؛ لكونه عنصراً مهماً في تكوين الأحماض النووية والبروتينات والأغشية الخلوية ومركبات الطاقة (Moore، 1979).

في حين تعود زيادة محتوى الأوراق من الحديد الى أن رش الحديد يزيد من امتصاصه في أنسجة النبات (الصحاف، 1989) كما أن صغر حجم دقائق النانو يُسهّل عليها اختراق مسام جدر الخلايا بسهولة وصولاً الى الحزم الوعائية Ma و آخرون (2010) فضلاً عن مقدرة الحديد في زيادة محتوى الكلوروفيل الذي رافقته زيادة في نواتج صنع الغذاء، مما أدى الى زيادة امتصاص النبات لهذا العنصر لإسهامه في

تكوين البروتين واشترائه في اختزال النترات (أبو ضاحي واليونس، 1988). في حين إن لمستويات نانو الحديد المخليبي تأثيراً في خفض تركيز الزنك في الورقة جدول (19) والسبب يعود إلى إن زيادة تركيز الحديد يؤدي إلى خفض جاهزية الزنك والعكس صحيح (Soltermann وآخرون، 2014).

وان زيادة محتوى الأوراق من النتروجين جدول (13) يعزز محتوى الأوراق من الفسفور جدول (14) وكلاهما له تأثير معنوي في زيادة مركبات البوليفينولات polyphenolic production ومنها مركب chicoric acid الذي يعد أحد المركبات الوسطية في التخليق الحيوي للفينولات الجدول (22) في حين زيادة نفس المركب نتيجة لاستعمال نانو الزنك فانها تعزي لدوره الفعال في تخليق التربتوفان والأحماض الأمينية Carolyn و Scagel (2012) إضافة الى ان الكاربوهيدرات جدول(21) ودورها في دورة حامض الستريك التي تلعب دوراً رئيسياً في زيادة حامض shikimic acid الذي يعد اللبنة الأساسية في تخليق الفينولات الكلية وكذلك دور هذا الحامض في تخليق الحامض الاميني التربتوفان Tryptophan (Jiang و Singh و Olivoto وآخرون 2017).

تعد المخصبات النانوية المخليبية أكثر أنواع أسمدة العناصر الصغرى كفاءة لبقائها مدة أطول حول محيط الجذر قابلة للامتصاص (Phogat وآخرون، 2016)، لذلك نلاحظ التفوق المعنوي لاستعمال طريقة الرسمدة في محتوى النبات من العناصر المعدنية والمركبات العضوية الجداول (13-22). ان إضافة المخصبات النانوية بطريقة الرسمدة تجعل الجذور ذات قدرة عالية على امتصاص العناصر الغذائية من محلول التربة وبذلك يكون الجذر اكثر ملامسة للعناصر الغذائية في المحلول الارضي. كما إن ظاهرة التدفق الكتلي للأيونات تساعد الجذور على امتصاص اكبر كمية من العناصر الغذائية حيث تنتقل العناصر الى سطح الجذور مع حركة الماء نظرا لسرعة تحركها مع حركة الماء لذا فان توفر الماء يساعد على زيادة حركة العناصر الى الجذور بطريقتي انسياب الكتلة Mass flow والانتشار (Silber وآخرون 2003). كما أكد Sathya وآخرون (2008) على ان استعمال طريقة الرسمدة في التسميد زاد من نفاذية المغذيات الى النبات بنسبة 40% مقارنة بالطرق التقليدية لتطبيقها. وان استعمال نانو الحديد والزنك أدى الى زيادة نمو الجذر وتطوره الجدول (10) والتغلغل في التربة ومن ثم زيادة امتصاص العناصر الغذائية.

وان التأثير المعنوي للسماد العضوي في زيادة النسبة المئوية للنتروجين والفسفور (جدول 13 و 15) في أوراق النبات عند الرش به يدل على إمكانيته في زيادة محتوى الأوراق من عنصري النتروجين والفسفور؛ ذلك لأن الأحماض الأمينية الحرة المكونة للسماد العضوي عند إضافتها تعد مصدراً نتروجينياً أساسياً في بناء البروتينات(جدول 14) والإنزيمات وتجهيز الطاقة والتي تشجع النمو الخضري والجذري وان إضافتها تؤدي إلى زيادة الانقسامات الخلوية وتوسيعها (Shekari و Javanmardi، 2017 و Teixeira وآخرون 2017)، وان زيادة النتروجين تزيد من جاهزية الفسفور وتحفز وتشجع امتصاص

الفسفور جدول(15) بواسطة جذور النبات من خلال زيادة النمو الخضري والجذوي وتحفيز البناء الحيوي للنبات. وأن توفر الفسفور في الأوراق له دورٌ أساسيٌّ في توفير الطاقة اللازمة للخلايا من خلال إنتاج مركبيّ NADPH و ATP في عمليات التحول للكاربوهيدرات داخل النبات مثل تحول النشا إلى سكر، إضافةً إلى اشتراكه في جزئيات حيوية عديدة (Wittmer وآخرون، 1993 و Wu و Liu ، 2017) ومن ثم زيادة الطلب على العناصر المعدنية جداول (13 و15 و16 و17 و18 و19 و20). وأن الأحماض الأمينية الموجودة في السماد العضوي لها دور في زيادة كفاءة عمليتي صنع الغذاء والتمثيل الكربوني، مما يؤدي إلى زيادة المواد الغذائية المصنّعة في النبات وتراكمها كالبروتينات والكاربوهيدرات جداول(14 و 21) (Sunithakumari وآخرون 2016). فضلاً عن كونها تزيد من الكاتيونات الموجبة (K و Mg و Ca) الجداول (17، 16 و 18) التي تعد منظمات ازوموزية تشترك في عمليتي فتح وغلق الثغور ومايتبع ذلك من تأثير في زيادة امتصاص CO_2 والماء والمغذيات (Oosterhuis، 2009 و Weiland وآخرون 2015). وهذه النتائج جاءت متفقة مع Koksai وآخرون، (1999) على نبات الكمثرى و El-Kosary وآخرون، (2011) على نبات المانكو *Mangifera indica* L. و Mills وآخرون، (2012) على نبات الدفلة *Nerium oleander* L. و El Sayed وآخرون، (2014) على نبات الرمان. كما ان الاحماض الامينية تلعب دور رئيسي في دورة حامض الشكميك Shikimic acid pathway التي تعد الاساس الحيوي في تخليق الفينولات الكلية في النبات Olivoto وآخرون (2017) وهذا مايفسر زيادة الفينولات الكلية الجدول (22) نتيجة استعمال السماد العضوي الحاوي على الأحماض الأمينية.

إنّ الزيادة الحاصلة في متوسطات الصفات قيد الدراسة نتيجة لتداخل عوامل الدراسة يُمكن تفسيره على أساس العلاقة التآزرية بين تراكيز النانو و طريقة الإضافة، وكذلك السماد العضوي في تجهيز النبات بكمياتٍ من المغذيات كافية لتحسين نمو المجموع الخضري والجذري للنبات على حدّ سواء والذي يقود بالنتيجة إلى زيادة مُحتوى النبات من الكلوروفيل والعناصر المعدنية والبروتينات والكاربوهيدرات والمواد الفعالة (Jamal وآخرون، 2007).

إن زيادة المواد الفعالة الستروولات الكلية والأميرين والسيلينين ومركب الفاتوكوفيرول والكالوتروبين الجداول (23 و 24 و 25 و 26 و 27) نتيجة المعاملة بالمخصبات النانوية يعود إلى دور الدقائق النانوية في زيادة سرعة التفاعلات الحيوية وبفعل المساحة السطحية الكبيرة والحجم الصغير لدقائق النانو Rutkay-Nedecky وآخرون (2017) التي تزيد من سرعة التفاعلات المؤدية إلى إنتاج مواد النمو وتحفيز النشاط الانزيمي، على اعتبار أن لكل إنزيماته الخاصة تؤدي إلى زيادة الصفات الخضرية للنبات وزيادة إنتاج مركبات الايض الثانوي في الأوراق (Agrawal و Rathore، 2014). كما ان نانو الحديد زاد من كفاءة الثغور (فتح الثغور) بفعل زيادة اعدادها جدولاً (32 و 33) مما انعكس بشكل ايجابي على زيادة كمية (CO_2) الداخل الى اوراق النبات وزيادة كفاءة عملية صنع

الغذاء والايض الثانوي ونواتجها Kim واخرون (2015) كما اشار Rui واخرون (2016) الى ان نانو الحديد يحفز نمو النبات من خلال تنظيم المحتوى الهرموني والانزيمي، ومن هذه الهرمونات الجبرينات GA₃ وحامض السالسليك الذي يعزز انتاج مركبات الايض الثانوي ويحافظ على العضيات لمدة اطول (Al-oubaidi وAmeen و2014، Kong واخرون، 2017 و Murcia وآخرون 2017). وبالمقابل فإن زيادة المواد الفعالة قيد الدراسة نتيجة إضافة نانو الزنك فتعود إلى تأثيره الإيجابي في تشجيع النمو الخضري ومن ثم زيادة كفاءة النبات لاسيما في عملية صنع الغذاء إذ تشير الدراسات الى اشتراك الزنك في فتح خلايا الثغور، لأنه مكونٌ لإنزيم carbonic anhydrase اللازم للحفاظ على [HCO] كاف في الخلايا الحارسة، كونه أيضاً عامل يؤثر في امتصاص K⁺ من قبل الخلايا الحارسة، مما تؤدي إلى زيادة المادة الفعالة المعتمدة على تصنيع وتراكم المواد الغذائية ونواتج الأيض الثانوية الناتجة من هذه العملية (Sharma واخرون، 1995 و Chamani وآخرون، 2015).

توصل كل من Hoshino (2017) و Terasawa وآخرون (2017) الى ان هناك علاقة طردية بين الستيرويدات ومركب الامايرين جدول (24) وأشاروا في الدراسة نفسها الى ان التخليق الحيوي للامايرين مرتبط بمركب lanosterol طرديا وهذا مايفسر الزيادة الحاصلة في هذا المركب نتيجة لزيادة مركبات الستيرويدات جدول(23) بتاثير عوامل الدراسة. تشير الدراسات الى وجود علاقة ايجابية بين تخليق مركب الـ Selisene جدول (25) وزيادة تركيز ايون المغنسيوم Mg جدول (16) لدوره الضروري في مسار التخليق الحيوي للمركب سابق الذكر لربط الانزيم على طول الركيزة (FHP) farnesyl diphosphate (Hohn و Plattner ، 1989 و Olivoto وآخرون 2017). ان البناء الحيوي للمركب الفعال α -tocopherol يتطلب توفر الزنك كعامل مساعد لعمل الانزيمات المكونه له Tzin واخرون (2012)، كما ان الحامض الاميني التايروسين (Tyrosine) يزداد بزيادة الزنك المجهز للنبات Navarro واخرون (2016) و Schenck واخرون (2017) الذي يعد المصدر الاساسي لتخليق هذه المادة الفعالة، وهذا مايفسر زيادة النسبة المئوية لمركب α -tocopherol مع استعمال نانو الزنك جدول (26). وتعزى الزيادة في النسبة المئوية لمركب calotropin الجدول(27) بتاثير عوامل الدراسة الى زيادة عنصر النتروجين الجدول (13) والكاربوهيدرات الجدول(21) المكون الرئيسي للكلايكوسيدات(Olivoto وآخرون 2017). وان زيادة دليل الثغور جدولا(32 و33) للبشرتين العليا والسفلى نتيجة استعمال نانو الحديد والزنك بطريقة الرش الورقي واستعمال السماد العضوي يؤدي الى زيادة كفاءة عملية صنع الغذاء في تثبيت CO₂ بالتالي زيادة مركبات الأيض الثانوي، والتي شملت على المركبات الفعالة في النبات Segev واخرون (2015) إذ أكدوا على العلاقة الإيجابية الطردية بين الدليل الثغري وكفاءة عملية صنع الغذاء.

ان الزيادة المعنوية في سمك القشرة ومجاميع ألياف القشرة واللبن وأقطار وحدات الخشب الجداول (28-31) نتيجة استعمال تراكيز نانو الحديد تعود الى دوره الرئيسي في المسار الحيوي لبناء حامض السالسليك إضافة الى ان وفرة المغنسيوم جدول (15) عاملٌ مساعد في تسريع هذا المسار Libbenga وآخرون (1999) اذ وجدت الغالبية (2012) تأثيراً معنوياً لحامض السالسليك في زيادة سمك القشرة ومجاميع السكر نكايما وسمك اللب لنبات الشبت *Anethum graveolens* L. ذلك لدوره الايجابي في زيادة حجم الخلايا البرنكيميية والكولنكيميية الموجودة في طبقة القشرة والدائرة المحيطية واللبن الجداول (28 و 29 و 31)، كما ان زيادة النمو الجذري جدول (10) واستعمال عنصر الحديد يحفز زيادة تكوين الجبرلينات في النبات Shabala (2017) ولا يخفى مالها من دور في زيادة النمو القطري للساق وتنشيط انقسام خلايا الكامبيوم وتوسيعها وهذا ما انعكس على زيادة قطر أوعية الخشب الجدول (30). وان استعمال نانو الزنك يزيد من مستوى الاوكسينات Sunithakumari وآخرون (2016) والتي تعمل على تنشيط إستطالة وتكشف الخلايا بفعل تأثيره في زيادة تحرير ايون الهيدروجين وزيادة لدونة (plasticity) الجدار الخلوي White (2017) وسهولة توسع الخلايا وبناء البروتينات الجديدة والاحماض النووية ومن ثم تحفيز الخلايا على الانقسام وزيادة أعدادها. إن زيادة النمو الجذري جدول (10) نتيجة لاستعمال عوامل الدراسة يزيد من محتوى الأوراق من الساييتوكينين Carmi و Staden (1983) الذي يشترك في تنظيم نمو النبات فهو عامل تنظيمي مهم لنشاط المرستيم النباتي والتشكل، اذ يعزز انقسام الخلايا وتأخير الشيخوخة، في البراعم والجذور وتحسين سلامة الأغشية الخلوية وزيادة الكثافة الثغرية جدول (32 و 33) في الأوراق (Farber وآخرون 2016).

الأستنتاجات والتوصيات

Conclusions

and

Recommendations



6- الاستنتاجات والتوصيات Conclusions and Recommendations

1-6: الاستنتاجات Conclusions

- 1- ان اضافة الحديد النانوي بالتركيز ضعف الموصى به شجع النمو الخضري للنبات، وتفوق في محتوى الاوراق من المادة الفعالة Selinene . ولم تكن تراكيز الحديد النانوية معنوية في زيادة محتوى الاوراق من الزنك.
- 2- أعطت الصفات التشريحية للساق أعلى متوسطاتها مع استعمال الزنك النانوي بالتركيز ضعف الموصى به فضلا عن المحتوى العضوي والمادتين الفعالتين Phytosterols و α -tocopherol
- 3- سجل أعلى محتوى من المادة الفعالة الـ Calotropin مع استعمال الحديد والزنك النانوي معا بالتركيز الموصى به. في حين استعمالهما معا بالتركيز ضعف الموصى تفوق في محتوى الأوراق من الكلوروفيل الكلي والنسبة المئوية للمغنيسيوم والمادة الفعالة Amyrin مقارنة بالمعاملات المنفردة.
- 4- إن الرش الورقي للحديد والزنك النانويين أدى الى تحسين غالبية الصفات الفسلجية ومحتوى النبات من المواد الفعالة باستثناء المادتين الفعالتين Amyrine و α -tocopherol اللتان تفوقتا بمتوسطهما مع طريقة الرسمدة ولم يستجب الكلوروفيل الكلي ومعدل النمو النسبي لطريقة الإضافة.
- 5- إن الرش الورقي بالسماذ العضوي عند التركيز (5مل.لتر⁻¹) أثر معنويا في زيادة أغلب الصفات قيد الدراسة، في حين اثر سلبا في أقطار وحدات الخشب.
- 6- استعمال نانو الزنك بتركيزه (الموصى به بطريقة الرش الورقي وضعف الموصى به مع طريقة الرسمدة) أعطى أعلى المتوسطات لمعظم الصفات قيد الدراسة عدا قطر الساق وعدد الأوراق والمادة الفعالة Selinene التي أعطت أعلى متوسطاتها مع الرش الورقي للحديد النانوي بالتركيز ضعف الموصى.
- 7- استجابت النباتات المرشوشة بالسماذ العضوي 5 مل.لتر⁻¹ لطريقة الرسمدة في زيادة غالبية الصفات قيد الدراسة بإستثناء قطر الساق والصفات التشريحية للساق التي لم تستجب لتداخل طريقة الإضافة مع السماذ العضوي.
- 8- أظهرت تراكيز النانو وطريقة الإضافة والسماذ العضوي تحسناً معنوياً لنبات الديباج في معظم صفاته الخضرية والمحتوى المعدني والعضوي والمادة الفعالة في الأوراق والخواص التشريحية للساق والدليل الثغري للأوراق ، وخاصةً مع توليفاته المكوّنة من تراكيز نانو الزنك (الموصى وضعف الموصى) بطريقة الرش الورقي واستعمال السماذ العضوي.

2-7: التوصيات Recommendations

- 1- للحصول على أفضل نمو خضري لنبات الديباج يتوجب استعمال نانو الحديد بالتركيز ضعف الموصى به ، واستعمال التركيز الموصى به من الزنك النانوي للحصول على أفضل محتوى معدني وعضوي وضعف الموصى منه (اي الزنك النانوي) للحصول على أفضل محتوى من المادة الفعالة في الأوراق وأفضل الصفات التشريحية للساق.
- 2- لزيادة إنتاج النبات من المادة الفعالة المهمة الـ Calotropine يستعمل التركيز الموصى به من خليط نانو الحديد والزنك معا.
- 3- تفضل طريقة الرش الورقي عند استهداف النمو الخضري والصفات التشريحية لساق نبات الديباج بينما تستعمل طريقة الرسمة في اضافة المخصبات النانوية عندما يكون الهدف زيادة المحتوى المعدني والعضوي والمادة الفعالة للنبات.
- 4- الابتعاد عن استعمال السماد العضوي بتراكيزه الحالية أو تغييرها عند استهداف زيادة المساحة الورقية والمادة الفعالة α -tocopherol وقطر أوعية الخشب لنبات الديباج.
- 5- ان تواجد مركب اللانوستيرول كأحد مكونات الستيروولات النباتية الذي يستعمل في علاج اعتمام عدسة العين يفتح المجال واسعا لزيادة كفاءة نبات الديباج في إنتاج هذا المركب لغرض الاستفادة منه طبيا.
- 6- إجراء المزيد من الدراسات والبحوث على نباتات أخرى لمعرفة مدى استجابتها لتراكيز الحديد والزنك النانوي ومقارنتها مع استعمال الحديد والزنك غير النانوي.

المصادر

References



References

المصادر

- أبو ضاحي، يوسف محمد ومؤيد أحمد اليونس (1988). دليل تغذية النبات- وزارة التعليم العالي والبحث العلمي. جامعة بغداد- العراق.
- الإسكندراني، محمد شريف (2010). تكنولوجيا النانو من أجل غدٍ أفضل. سلسلة كتب ثقافية شهرية يصدرها المجلس الوطني للثقافة والفنون والآداب - الكويت، عالم المعرفة، ط: 374، الكويت.
- باركر، فان الن (2014). علوم الزراعة العضوية وتكنولوجياها. ترجمة محمد خليل؛مراجعة هيثم الناهي وحسن الشريف. الطبعة الأولى:الحمراء، بيروت:124-126.
- البشبيشي، طلعت رزق ومحمد أحمد شريف(1998).اساسيات في تغذية النبات-الطبعة الأولى - دار النشر للجامعات مصر:243.
- بوراس،ميتادي؛زيدان، رياض وحلوم،وسام(2011). اثر الاحماض الامينية في نمو وانتاجية محصول البندورة ونوعية الثمار في البيوت البلاستيكية.مجلة جامعة تشرين للبحوث والدراسات العلمية - سلسلة العلوم البيولوجية،33(5):229-239.
- الجوزري، حياوي ويوه عطية (2014). تاثير الرش بالاحماض الامينية والعضويه واليوتاسيوم في بعض معالم النمو والكالوتروبين في اوراق العشار *Calotropis procera*. مجلة المثنى للعلوم الزراعية،2(2):59-64.
- الخرجي، طالب عويد وفلاح محمد عزيز (1989). العملي في تشريح النبات والتحضيرات المجهرية. جامعة صلاح الدين، وزارة التعليم العالي والبحث العلمي، العراق. ص: 324.
- الدوسري، محمد بن عتيق (2012). التقنية متناهية الصغر (النانو). المركز الوطني لبحوث التقنية متناهية الصغر، مدينة الملك عبد العزيز للعلوم والتقنية، الرياض، المملكة العربية السعودية.
- الراوي ، خاشع محمود وخلف الله عبد العزيز محمد (1980). تصميم وتحليل التجارب الزراعية. جامعة بغداد. وزارة التعليم العالي والبحث العلمي. العراق.
- الريس، عبد الهادي جواد (1987). التغذية النباتية الجزء الأول- اوجه التغذية النباتية . وزارة التعليم العالي والبحث العلمي . بغداد-العراق.
- الشاذلي، سعيد (1999). تكنولوجيا تسميد وري أشجار الفاكهة في الأراضي الصحراوية، جامعة عين شمس،كلية الزراعة، قسم البساتين، المكتبة الأكاديمية.

المصادر References

- الشراحي، صادق حسن ، صبري جثير عبود، خالدة عبد الرحمن شاكر(2009). استعمال بروتينيز الديدياج *Calotropis procera* في تسريع إنضاج جبن المونتيري Monterey Cheese،المجلة الاردنية في العلوم الزراعية 5(4) 556-578.
- الشمري، عزيز مهدي عبد (2015). تأثير التغذية العضوية الورقية في نمو وحاصل اربعة ترأيب وراثية من الفلفل الحلو. *Capsicum annuum* L. مجلة ديالى للعلوم الزراعية، 7(1):174-188.
- صالح، محمود محمد سليم(2015). تقنية النانو وعصر علمي جديد. مكتبة الملك فهد الوطنية، الرياض - السعودية ،ص152.
- الصحاف، فاضل حسين رضا (1989). تغذية النبات التطبيقي. جامعة بغداد. وزارة التعليم العالي والبحث العلمي- العراق.
- علي ، نورالدين شوقي (2012). تقانات الاسمدة واستعمالاتها. الدار الجامعة للطباعة والنشر والترجمة - جامعة بغداد. وزارة التعليم العالي والبحث العلمي.
- الغالبى، شيماء علي صخي (2012). تأثير حامضي الجبريلين والسالسليك في النمو والصفات التشريحية لنبات الشبت *Anethum graveolens* L. رسالة ماجستير، مجلس كلية التربية - جامعة القادسية .
- فضل، ناهدة ابراهيم ميرغني (2014). Some Qualitative and Quantitative Phytochemical Screening of Local Ushar *Calotropis Procera* (Ait) Stems and Leave رسالة ماجستير ، جامعة الجزيرة ، المملكة العربية السعودية
- فيربر، موسى (2008). الأبعاد الإخلاقية للتكنولوجيا النانومترية. مؤسسة طباعة للنشر والتوزيع، أبو ظبي، الإمارات العربية المتحدة.
- كاظم، مصطفى حميد و حمزة موسى كاظم (2013). تأثير رش منظم النمو والاحماض الامينية والسماذ الورقي في مؤشرات النمو الخضري لنبات الطماطة صنف شهيرة المزروع داخل البيوت البلاستيكية، مجلة الفرات للعلوم الزراعية، 5(4):272-279.
- محمد، عبد العظيم كاظم ومؤيد أحمد يونس (1991). أساسيات فسيولوجيا النبات. جامعة بغداد، وزارة التعليم العالي والبحث العلمي، دار الحكمة للطباعة والنشر، العراق.
- المسلماوي، سناء مراد عبدالكاظم (2015). دراسة تصنيفية مقارنة لأجناس العائلة العشارية Asclepiadaceae. رسالة ماجستير ،جامعة بابل ،كلية العلوم.

المصادر References

المطيري، طارق بن مطلق (2012). دور تقنيات النانو في الحد من الكوارث. منشورات الجامعة الإسلامية، ماليزيا.

معلا، غانية; نجلا صفاء وبديع سمرة (2015). أثر التغذية بطرق وتراكيز مختلفة من المخصب العضوي "هيوماكس" في نمو نبات الفاصولياء (*phaseolus vulgaris* L.) وإنتاجيته، مجلة جامعة دمشق للعلوم الزراعية المجلد 31 (2): 39-50.

النعيمي، سعد الله نجم عبد الله. (1987). مبادئ تغذية النبات. كلية الزراعة. جامعة الموصل.

الوكيل، محمد عبد الرحمن (2013). تأثير الجزيئات المتناهية الصغر على تركيب التربة وميكروباتها. منشورات جامعة الكويت للعلوم والتقنية، الكويت.

A.O.A.C. (2000). Official Methods of Analysis of the Association of Official Analytical Chemists. 17th Ed. Washington, D.C., USA.

Abd El-al, F.S. (2009). Effect of urea and some organic acids on plant growth, fruit yield and its quality of sweet pepper (*Capsicam annuns*). Res. J. Agri. And Biol. Sci. 5(4): 372-379.

Abdel-Mageed, W.M.; Mohamed, N.H.; Liu, M. ; Alwahibi , L. H. ; Dai, H. ; Ismail, M. A. ; Badr, G. ; Quinn, G.J. ; Liu, X. ; Zhang, L. and Shoreit, A.A. M. (2016). Lipxygenase inhibitors from the latex of *Calotropis Procera*. Arch. Pharm. Res.,1(1):1-10.

Abdel-Mawgoud, A.M.R; El-Bassiouny, A. M.; Ghoname A. and Abou-Hussein, S.D.(2011). Foliar Application of Amino Acids and Micronutrients Enhance Performance of Green Bean Crop under Newly Reclaimed Land Conditions. Australian Journal of Basic and Applied Sciences, 5(6): 51-55.

Abdullatif, B.M.; El-Kazan, M.M. and Al-Zahrani, M.A. (2016). Phytoremediation Ability of *Calotropis procera* in Reducing Air Pollution in Jeddah City-Kingdom of Saudi Arabia. Int. J. Curr. Microbiol. App. Sci. , 5(3): 212-225.

Adams, M.R. (1993). Perturbative QCD effects observed in 490 GeV deep-inelastic muon scattering. Phys Rev D Part Fields, 48(11): 5057-5066.

- Adebayo, O. R. ; Efunwole, O.O. ; Raimi M. M. ; Oyekanmi A. M and Onaolapo I.O.(2015).** Proximate, Mineral element, Antibacterial activity and Phytochemical screening of Bomubomu Leaves (*Calotropis procera*), International Journal of Contemporary Applied Sciences,2(9):40-51.
- Adewumi, O.O. and Akinloye, A.M. (2015).** Comparative assessment of the nutritional contents and sensory evaluation of cheese produced from cow and sheep milk using local coagulants. Nigerian Journal of Animal Production, 42(2): 218-229.
- Afshar, I.; Haghghi, A. R. and Shirazi, M. (2014).** Comparison arison the effect of spraying different amounts of nano zinc oxide and zinc oxide on, wheat. I.J.P.A.E.S.,4(3):688-693.
- Afshar,R.M.; Hadi,H.and Pirzad, A.(2013).** Effect of nano -Iron on the yield and yield component of Cowpea (*Vigna unguiculata*) under end season water deficit. International Journal of Agriculture, 3 (1):27-34.
- Agamy, R.A.; Mohamed, G.F. and Rady, M.M. (2012).** Influence of the Application of Fertilizer Type on Growth, Yield, Anatomical Structure and Some Chemical Components of Wheat (*Triticum aestivum* L.) Grown in Newly Reclaimed Soil. Australian Journal of Basic and Applied Sciences, 6(3): 561-570.
- Agrawa, A.A.; Petschenka, G.; Bingham, R.A.; Weber, M.G. and Rasmann, S. (2012) .** Toxic cardenolides: chemical ecology and coevolution of specialized plant-herbivore interactions. New Phytol. 194(1) : 28-45.
- Agrawal, S. and Rathore, P.(2014).** Nanotechnology Pros and Cons to Agriculture: A Review. Int .J. Curr. Microbiol. App. Sci ,3(3): 43-55.
- Ali, A. and Ali, S.(2016).** To Evaluate the Better Response of Foliar Spray over Soil Application of Potassium on Hybrid Maize Yield under Rainfed Conditions. Türk Tarım ve Doğa Bilimleri Dergisi, 3(1): 83–89.

- Ali, A.; Hussain, M.; Habib,H.S.; Kian,T.T. and Rahman, M.A. (2016)**
.Foliar spray surpasses soil application of potassium for Maize production under rainfed conditions. Turk. J. Field Crops 21(1): 36-43.
- Almoussa, M. (2017).** Effect of high leaf temperature and nitrogen concentration on barley (*Hordeum vulgare* L.) photosynthesis and flowering. PhD thesis,College of Medical, Universityof Glasgow, United Kingdom.
- Al-oubaidi, H. K. M. and Ameen, A. S. (2014).** Increasing secondary metabolites of *Calendula officinalis* L. using salicylic acid in vitro. World Journal of Pharmacy and Pharmaceutical Sciences, **3(5):**1146-1155.
- Al-Qahtani, K.M. (2012).** Assessment of Heavy Metals Accumulation in Native Plant Species from Soils Contaminated in Riyadh City, Saudi Arabia. Life Science Journal ,9(2):384 – 392.
- Al-Sherbini, A.; Abd El-Gawad, H.G. ; Kamal, M.A. and El-feky, A. (2015)**
) . Potential of He-Ne Laser Irradiation and Iron Nanoparticles to Increase Growth and Yield of Pea American-Eurasian J. Agric. & Environ. Sci., 15 (7): 1435-146
- Al-Snafi, A.E.(2015).** The constituents and pharmacological properties of *Calotropis procera* –An overview. International Journal of Pharmacy Review & Research, 5(3):259-275.
- Amiri, A. B.; Baninasab, C. ;Ghobadi, A. and Khoshgoftarmanesh, H. (2016).** Zinc soil application enhances photosynthetic capacity and antioxidant enzyme activities in almond seedlings affected by salinity stress. Photosynthetic, 54(2) : 267–274.
- Arnall, B. ; Mullock,J. and Seabourn, B.(2012).** Can Protein Levels Be Economically Increased?. Official Journal of the Fluid Fertilizer Foundation,. 20- 3(77):1-5.

- Arshad, I. and Ali, W.(2016).** Effect of Foliar Application of Zinc on Growth and Yield of Guava (*Psidium guajava* L.). *Advances in Science, Technology and Engineering Systems Journal*, 1 (1): 19-22.
- Asadollahi, M. ; Maury, J. ; Møller, K. ; Nielsen, K. F. ; Schalk, M. ; Clark, A, and Nielsen, J. (2008).** Production of Plant Sesquiterpenes in *Saccharomyces cerevisiae*: Effect of ERG9 Repression on Sesquiterpene Biosynthesis. *Biotechnology and Bioengineering (Print)*, 99(3): 666-677.
- Askary, M. ; Talebi, S.M. ; Amini, F. and Bangan, A.D. (2017a).** Effects of iron nanoparticles on *Mentha piperita* L. under salinity stress. *Biologija*, 63(1) : 65–75.
- Askary, M.; Amirjani, M.R. and Saberi,T.(2017b).** Comparison of the effects of nano-iron fertilizer with iron-chelate on growth parameters and some biochemical properties of *Catharanthus roseus*. *Journal of Plant Nutrition*, 40(7): 974-982.
- Atanasov, A.G., Waltenberger, B., Pferschy-Wenzig, E., Linder, T., Wawrosch, C., Uhrin, P., Temml, V., Wang, L., Schwaiger, S., Heiss, E.H., Rollinger, J.M., Schuster, D., Breuss, J.M., Bochkov,V., Mihovilovic, D. and Stuppne, H. (2015).** Discovery and resupply of pharmacologically active plant-derived natural products: A review. *Biotechnol Adv.*, 33(8): 1582–1614.
- Azhar, F.M.; Siddique, T.M.; Ishaque, M. and Tanveer, A.(2014).**Study of ethnobotany and indigenous use of *Calotropis procera* (Ait.) in Cholistan desert, Punjab. *Pakistan J. Agric.Res.*,52(1):117-126.
- Badi, H. N. ; Nazari, M. ; Mehrafarin, A. and Khalighi-sigaroodi, F. (2012).** Morphological traits of sweet basil (*Ocimum basilum* L.) as influenced by foliar application of methanol and nano-iron chelate fertilizers. *Annals of Biological Research*,3 (12):5511-5514.

- Barker, A.V. and Stratton, M.L.(2015).** Iron. Chapter11.In Barker, A.V. and Pilbeam, D.J.(eds):Handbook of Plant Nutrition. Second Edition. CRC Press Taylor and Francis Group. London. New York, pp:399-426.
- Barker, J. H. and Greweling,T.(1967).** Extraction Procedure for Quantitative Determination of Six Elements in Plant Tissue. J. Agr. Food Chem.,15(2): 340- 344.
- Barlóg, P.; Nowacka, A. and Błaszyk, R. (2016).** Effect of zinc band application on sugar beet yield, quality and nutrient uptake. Plant Soil Environ., 62(1): 30–35.
- Barrameda-Medina, Y.;Lentini, M.;Esposito, S.; Ruiz, J. M. and Blasco, B. (2017).** Zn-biofortification enhanced nitrogen metabolism and photorespiration process in green leafy vegetable *Lactuca sativa* L. J. Sci. Food Agric., 97(6): 1828–1836.
- Berry,W.L. and Johnson, C. M.(1966).** Determination of Calcium and Magnesium in Plant Material and Culture Solutions, Using Atomic-Absorption Spectroscopy. Applied Spectroscopy ,20(4): 209- 211.
- Boghor, M. (2016).** Investigating the effect of Iron chelated fertilizer on some quantitative and qualitative characteristics of sesame in Chah Golang in Yazd Province. In. J. of Ad. Biotic. and Rese. ,7(2): 391-397.
- Boulos, L. (2000).** Flora of Egypt, vol 2. Al Hadara Publisher, Cairo
- Bozorgi, H.,R.(2012).** Study effect of nitrogen fertilizer management under nano iron chelate foliar spraying on yield and yield components of eggplant (*Solanum melongena* L.). ARPN Journal of Agricultural and Biological Science,7(4):233-237.
- Briat, J.F.; Curie, C. and Gaymard, F. (2007).** Iron utilization and metabolism in plants. Curr. Opin. Plant Biol., 10(3): 276-282.
- Burke, D.J.; Pietrasiak, N.; Situ, S.F.; Abenojar, E.C.; Porche, M.; Kraj, P.; Lakliang ,Y. and Samia, A.C.(2015).** Iron Oxide and Titanium Dioxide

Referencesالمصادر

- Nanoparticle Effects on Plant Performance and Root Associated Microbes. International Journal of Molecular Sciences, 16(10): 23630-23650.
- Burman, U. ; Saini, M. and Kumar, P.(2013).** Effect of zinc oxide nanoparticles on growth and antioxidant system of chickpea seedlings. Toxicological & Environmental Chemistry , 95(4): 605-612.
- Camacho-Cristóbal, J.J.; Rexach, J. and Fontes, A.G. (2008).** Boron in plants: deficiency and toxicity. J. Integr. Plant Biol., 50(10): 1247-1255.
- Carmi, A. and Staden, J. V. (1983).** Role of Roots in Regulating the Growth Rate and Cytokinin Content in Leaves. Plant Physiol. , 73: 76-78.
- Carolyn, F. and Scagel, J.L. (2012).** Phenolic Composition of Basil Plants Is Differentially Altered by Plant Nutrient Status and Inoculation with Mycorrhizal Fungi. Hortscience, 47(5):660–671.
- Chamani, E.; Ghalehtaki,S.K.; Mohebodini,M. and Alireza Ghanbari, A.(2015).** The effect of Zinc oxide nano particles and Humic acid on morphological characters and secondary metabolite production in *Lilium ledebourii* Bioss. Iranian Journal of Genetics and Plant Breeding, 4(2):11-19.
- Chan, E.W. ; Sweidan, N.I. ; Wong, S.K. and Chan, H.T.(2017).** Cytotoxic Cardenolides from Calotropis Species: A Short Review. Rec. Nat. Prod., 11(4) : 334-344.
- Chapman, H. D., and Pratt, P. F. (1961).** Methods of Analysis for soils, plants and water. Univ. of Calif. Div. Agric. Sci., 162-165AA.
- Chaudhary, P. ; Ahamad, S. and Khan, N.A.(2017).** a review on medicinal utility of *calotropis procera* . World J. of Pharmaceutical and Medical Research,3(1): 335-342.
- Cresser, M.S. and Parsons J.W. (1979).** Sulphuric perchloric acid digestion of plant material for the determination of Nitrogen, Phosphours, Potassium, Calcium and magnesium . Analytric chemical Acta. 109: 43-436.

- Cw, J. ; Xx, H. and Zheng, S.J.(2007).** The Iron-Deficiency Induced Phenolics Accumulation May Involve in Regulation of Fe(III) Chelate Reductase in Red Clover. *Plant Signal Behav.*, 2(5):327-332.
- Dai, L. ; Liu,C. ; Zhu, Y. ; Zhang, J. ; Men, Y; Zeng,Y. and Sun,Y.(2015).** Functional Characterization of Cucurbitadienol Synthase and Triterpene Glycosyltransferase Involved in Biosynthesis of Mogrosides from *Siraitia grosvenorii*. *Plant Cell Physiol.*, 56(6): 1172–1182.
- Darwish, T. M. ; Atallah, T. W. ; Hajhasan, S. and Haidar, A. (2006).** (Nitrogen and water use efficiency of fertigated processing potato. *Agriculture Water Management*, 85: 95-104.
- Das, S. and Green, A. P.(2016).** Zinc in Crops and Human Health. Part1.In: Singh, U., Praharaj, C. S. , Singh, S. S. and Singh N.(eds): *Biofortification of Food Crops*. Springer.New Delhi Heidelberg. New York Dordrecht. London , pp:31-40
- Davarpanah, S.; Tehranifara, A.; Davarynejada, G.; Abadiab, J. and Khorasani, R.(2016).** Effects of foliar applications of zinc and boron nano-fertilizers on pomegranate (*Punica granatum* cv. Ardestani) fruit yield and quality. *Scientia Horticulturae*, 210 : 1–8.
- Ding, C. ; You, J. ; Chen, L. ; Wang, S. and Ding Y.(2014).** Nitrogen fertilizer increases spikelet number per panicle by enhancing cytokinin synthesis in rice. *Plant Cell Rep.*, 33(2):363-371.
- Dinkeloo, K. ; Boyd, S. and Pilot, G.(2017).** Update on amino acid transporter functions and on possible amino acid sensing mechanisms in plants. *Semin Cell Dev Biol*. In Press,69 (16): 1-182.
- Doshi, H. V.; Farzin ,M. P.; Falguni, K. S.; Indravadan, L. K.; Minoo, H. P.and Arabinda R.(2012).** Phytochemical Analysis Revealing the Presence of Two New Compounds from the Latex of *Calotropis Procera* (Ait.) R.Br. *International Journal of Plant Research*, 2(2): 28-30.

- Duhana, J.S. ; Kumara, R. ; Kumara, N. ; Kaura, P. ; Nehrab, K. and Duhanc, N.(2017).** Nanotechnology: The new perspective in precision agriculture. *Biotechnology Reports*, 15 (1) :11–23.
- Duke, C.C.; Haaften, C.V. and Tran,V.H.(2011).** Efficient Isolation of an Anti-Cancer Sesquiterpene Lactone from *Calomeria amaranthoides* by Steam Distillation. *Green and Sustainable Chemistry*, 1:123-127.
- Ebrahimian, H. and Playán, E. (2014).** Optimum Management of Furrow Fertigation to Maximize Water and Fertilizer Application Efficiency and Uniformity. *J. Agr. Sci. Tech.* 16(3): 591-607.
- Edwards, G. E. and Mohamed, A. K. (1972).** Reduction in Carbonic Anhydrase Activity in Zinc Deficient Leaves of *Phaseolus vulgaris*(L.). *American Society of Agronomy*, 13 (3) : 351-354
- El Sayed,O.M.; El Gammal, O.H.M. and Salama, A.S.M.(2014).** Effect of proline and tryptophan amino acids on yield and fruit qualityof Manfalouty pomegranate variety. *Scientia Horticulturae*, 169 : 1–5
- Elfeky, S. A.; Mohammed, A. M. ; Osman , A. H. and Elsherbini, E. (2013).** Effect of magnetite Nano-Fertilizer on Growth and yield of *Ocimum basilicum* L. . *International Journal of Indigenous Medicinal Plants*, 46 (3): 1286- 1293.
- Elhindi, K.; El-Hendawy, S.; Abdel-Salam, E.; Elgorban, A. and Ahmed, M.(2016).** Impacts of fertigation via surface and subsurface drip irrigation on growth rate, yield and flower quality of *Zinnia elegans*. *Bragantia*, Campinas , 75(1) :96-107.
- El-Khatib, A.A.; Barakat, N. A. and Nazeir, H.(2016).** Growth And Physiological Response Of Some Cultivated Species Under Allelopathic Stress Of *Calotropis Procera* (Aiton) W.T. *App. Sci. Report.* 14 (3): 237-246.

- El-Kosary, S.; El-Shenawy, I.E. and Radwan, S.I.(2011).** Effect of Microelements, Amino and Humic Acids on Growth, Flowering and Fruiting of Some Mango Cultivars. *Journal of Horticultural Science & Ornamental Plants*, 3 (2): 152-161.
- El-Magd, A. M. and El-Azab, M.E.(2015).** Comparison between foliage activator, root activator and soil fertilization in relation with onion growth , yield and quality of bulbs. *JIPBS*, 2 (4), 411-425.
- El-Midany, M. (2014).** Population dynamic of *Calotropis procera* in Cairo province. M.Sc. Thesis. Helwan University, Cairo, Egypt.
- El-Nasr, M. K.; El-Hennawy, H. M. ; El-Kereamy, A. M. H. ; Abou El-Yazied , A. and Salah Eldin, T. A.(2015).** Effect of Magnetite Nanoparticles (Fe₃O₄) as Nutritive Supplement on Pear Saplings Middle East Journal of Applied Sciences,5(3) : 777-785.
- Emamverdian, A.; Ding,Y. ; Mokhberdoran, F. and Xie,Y.(2015).** Heavy Metal Stress and Some Mechanisms of Plant Defense Response. *The Scientific World Journal*,1 (4) :1-18.
- Erskine, W. ; Saxena, N. P. and Saxena, M.C.(1993).** Iron deficiency in lentil: Yield loss and geographic distribution in a germplasm collection. *Plant and Soil*, 151(2) : 249–254.
- Esan, Y.O. and Fasasi ,O.S.(2013).** Amino acid composition and antioxidant properties of African yam bean (*Spenostylis stenocarpa*) protein hydrolysates. *African J. of Food Science and Technol.*, 4(5):100-105.
- Esfandiari, E.; Abdoli, M. and Mousavi, S. (2016).** Impact of foliar zinc application on agronomic traits and grain quality parameters of wheat grown in zinc deficient soil. *Ind J Plant Physiol.*,21(3): 263-270.
- Etxeberrria, E.; Gonzalez, P.; Borges, A.F. and Brodersen, C.(2016).** The Use of Laser Light to Enhance the Uptake of Foliar-Applied Substances into Citrus (*Citrus sinensis*) Leaves. *Applications in Plant Sciences*, 4(1):1-10.

- Faizan, M.A. ; Faraz, M. ;Yusuf, S. T. and Khan, S. H. (2017).**Zinc oxide nanoparticle-mediated changes in photosynthetic efficiency and antioxidant system of tomato plants. *Photosynthetica*, 55(4):1-9.
- Fang, Y.; Wang, L.; Xin, Z.; Zhao, L.; An, X. and Hu, Q.(2008).** Effect of Foliar Application of Zinc, Selenium, and Iron Fertilizers on Nutrients Concentration and Yield of Rice Grain in China. *J. Agric. Food Chem.*, 56 (6) : 2079–2084
- Fanish,S.A. and Muthukrishnan, P.(2013).** Nutrient Distribution Under Drip Fertigation Systems. *World Journal of Agricultural Sciences* 9 (3): 277-283.
- Farahani, S.M. ; Khaledi, A. and Sharghi, Y.(2015).** Effect of Nano Iron Chelate Fertilizer on Iron Absorption and Saffron (*Crocus sativus* L.) Quantitative and Qualitative Characteristics. *Asian Journal of Biological Sciences* 8 (2): 72-82.
- Farber, M.; Attia, Z. and Weiss, D.(2016).** Cytokinin activity increases stomatal density and transpiration rate in tomato. *J. of Experimental Botany*, 67(22): 6351–6362.
- Fernández, V.; Guzmán-Delgado, P.; José Graça, J.; Santos, S. and Gill, L.(2016).** Cuticle Structure in Relation to Chemical Composition: Re-assessing the Prevailing Model. *Frontiers in Plant Science*,7:1-14.
- Fernández, V.; Sotiropoulos, T. and Brown, P. (2013).** Foliar Fertilization: Scientific Principles and Field Practices. First edition, IFA, Paris, France,pp:144.
- Francis, J. K. ed. (2004).** Wildland shrubs of the United States and its Territories: taxonomic descriptions: volume 1. Gen. Tech. Rep. IITF-GTR-26. San Juan, PR: U.S. Department of Agriculture, Forest Service, International Institute of Tropical Forestry, and Fort Collins, CO: U.S. Department of Agriculture, Forest Service, Rocky Mountain Research Station,pp 137-139.

- Galal, T.M.; Farahat, E.A.; El-Midany, M.M. and Hassan, L.M.(2015).** Effect of temperature, salinity, light and time of dehiscence on seed germination and seedling morphology of *Calotropis procera* from urban habitats. African Journal of Biotechnology 14(15):1275-1282.
- Galal, T.M.; Farahat, E.A.and El-Midany, M.M. (2016).** Nutrients and heavy metals accumulation by the giant milkweed *Calotropis procera* (Aiton) W.T. Aiton in urbanized areas, Egypt. 27, (2) : 241–250.
- Galavi, M.; Yosef, K. and Ramrodi, M. (2011).** Effect of bio–phosphate and chemical phosphorus fertilizer accompanied with foliar application of micronutrients on yield, quality and phosphorus and zinc concentration of maize. J. Agric. Sci., 3(4): 22–29.
- Garg, J. and Kumari, A. (2013).** Some potential biofuel plants for production of biodiesel in semi-arid and arid conditions: A review, African Journal of Plant Science, 7(4): 124-127.
- Ghanbari, A.A.; Shabani, K. and Nejad, D.M.(2016).** Protective Effects of Vitamin E Consumption against 3MT Electromagnetic Field Effects on Oxidative Parameters in Substantia Nigra in Rats. Basic and Clinical Neuroscience, 7(4): 315-322.
- Ghorbani, H.R.; Safekordi, A.A.; Attar, H. and Sorkhabadi, S.M. (2011).** Biological and non-biological methods for silver nanoparticles synthesis. Chem. Biochem. Eng. Q., 25(3): 317-326.
- Golovina, N.B. and Kustov, L.M. (2013).** Toxicity of metal nanoparticles with a focus on silver. Mendeleev Communication, 23: 59-65.
- Gupta, V. and Mittal, P. (2010).** Phytochemical and pharmacological potential of *Nerium oleander*. Pharmaceutical Sci. Res., 1(3): 21–27.
- Gurung, A.B. ; Ali, M.A. ; Bhattacharjee, A.; Abul-Farah, M.; Al-Hemaid, F.; Abou-Tarboush, F.M. ; Al-Anazi, K.M. ; Al-Anazi, F.S.M. and Lee, J. (2016).**Molecular docking of the anticancer bioactive compound

proceraside with macromolecules involved in the cell cycle and DNA replication. *Genetics and Molecular Research*, 15 (2):1-8.

Hagin, j.; M. Sneh and Lowengart-Aycicegi, A. (2003). Fertigation Fertilization through Irrigation . Ed. Johnston, . A.E., IPI Research Topics, 23pp:82.

Harsini, M.G. ; Habibib, H. and Talaieic, G.H. (2014). Study the effects of iron nano chelated fertilizers foliar application on yield and yield components of new line of wheat cold region of kermanshah provence, *Agricultural Advances* , 3(4): 95 -102.

Hartmute, S. (2005). Effect of applied growth regulation on pod growth and seed protein composition in pea (*Pisum sativum* L.). *Oxford J.*, 1460–2431.

Hassan, H.S.A.; Sarrwy, S.M.A. and Mostafa, E.A.M. (2010). Effect of foliar spraying with liquid organic fertilizer, some micronutrients and gibberellins on leaf minerals content, fruit set, yield, and fruit quality of “Hollywood” plum trees. *Agriculture and Biology Journal of North America* 1(4): 638-643.

Hassan, L.M.; Galal, T.M.; Farahat, E.A. and El-Midany, M.M.(2015). The biology of *Calotropis procera* (Aiton) W.T., *Trees*, 29(2): 311–320.

Hattfiied, P.G.; Daniells, J.K.; Kott, R.W.; Burgess, D.E.; Aevans, I.J. (2001).Role of supplemental vitamin in lamb survival and production .*proc.Am.Soc.Anim.Sci.*;18(2):76-79.

Havlin, J. L.; Beaton, J. D.; Tisdale, S. L. and Nelson, W.L. (2005). Soil fertility & Fertilizers “*An Introduction to Nutrient Management*“7th Ed Prentice Hall . New J.

Hegazy, M.H.; Alzuaibr, F.M.; Mahmoud, A.A.; Mohamed, H.F. and Hussein A. H. (2016). The Effects of Zinc Application and Cutting on Growth, Herb, Essential Oil and Flavonoids in Three Medicinal Lamiaceae Plants. *European Journal of Medicinal Plant*, 12(3): 1-12.

- Hohn, T. M. and Plattner, R. D. (1989).** Purification and characterization of the sesquiterpene cyclase aristolochene synthase from *Penicillium roqueforti*. *Arch Biochem Biophys* 272, 137-143
- Holanda- Pinto, S.A.; Pinto, L. M. S. ; Cunha, G. M. A. ; Chaves, M. H. ; Santos, F. A. and Rao, V. S. (2008).** Anti-inflammatory effect of a, b-Amyrin, a pentacyclic triterpene from *Protium heptaphyllum* in rat model of acute periodontitis. *Inflammo pharmacology*, 16(1):48-52.
- Hoshino,T.(2017).** β -Amyrin biosynthesis: catalytic mechanism and substrate recognition. *Organic & Biomolecular Chemistry*,1 (14): 2869-2891.
- Hsieh, E. and Waters, B.M.(2016).** Alkaline stress and iron deficiency regulate iron uptake and riboflavin synthesis gene expression differently in root and leaf tissue: implications for iron deficiency chlorosis. *Journal of Experimental Botany*,67(19):2-15.
- Hu, Y. and Schmidhalter, U. (2005).** Drought and salinity: a comparison of their effects on mineral nutrition of plants. *J. Plant Nutr. Soil Sci.*, 168(4): 544–549.
- Hu, Y.; Burucs, Z. and Schmidhalter, U. (2008).** Effect of foliar fertilization application on the growth and mineral nutrient content of maize seedlings under drought and salinity. *Soil Sci. Plant Nutr.*, 54(1): 133–141.
- Hunt, R. (1982).** *Plant growth curves: The functional approach to plant growth analysis.* London, Edward Arnold, p:248.
- Hussein,Z.K. and Khursheed, M.Q.(2014).** Effect of Foliar Application of Ascorbic Acid on Growth, Yield Components and Some Chemical Constituents of Wheat Under Water Stress Conditions. *Jordan Journal of Agricultural Sciences*, 10(1):1-15.
- Hussien, H, I.; Kamel, A.; Abou-Zeid, M; El-Sebae, A, H. and Saleh, M. A. (1994).** Uscharin, the most potent molluscicidal compound tested against land snails. *J. Chem.. Eco.* 20(1): 135-140.

- Ibrahim, A. H. (2013).** Tolerance and avoidance responses to salinity and water stresses in *Calotropis procera* and *Suaeda aegyptiaca* . Turk J. Agric For. 37: 352-360.
- Idayu, O.N. ; Oradziah ; Saud, H. and Pmwedatroyati (2017).** Efficiency of zinc-solubilizing bacteria for in vitro zinc solubilization and its effects on IAA rice production. Bangladesh J. Bot., 46(1): 511-516.
- Jacqueline, D.; Ojeda-Barrios, D.L.; Hernández-Rodríguez, O.A.; Esteban Sánchez Chávez, E.S.; Ruíz-Anchondo, T. and Sida-Arreola ,J.P. (2012).** Carbonic anhydrase and Zinc in plant physiology. Chilean J. of Agricultural Research, 72(1):40-47.
- Jamal, Z.; Hamayun, M.; Ahmed, N. and Chaudhary, M. F. (2007).** Effect of soil and foliar application of $(\text{NH}_4)_2\text{SO}_4$ on different yield parameters in wheat (*Triticum aestivum* L.). Pak. J. Pl. Sci., 13 (2): 119-128.
- Jaradat, N.A.; , Zaid, A.N.; Al-Ramahi, R.; Alqub, M.A.; Hussein, F. and Hamdan, Z.(2017).** Ethnopharmacological survey of medicinal plants practiced by traditional healers and herbalists for treatment of some urological diseases in the West Bank/Palestine. BMC Complementary and Alternative Medicine , 17(1):2-18.
- Javadimoghadam, A.; Moghadam, A.L. and Danaee, E.(2015).** Response of Growth and Yield of Cucumber Plants (*Cucumis sativus* L.) to Different Foliar Applications of Nano- Iron and Zinc. International Research Journal of Applied and Basic Sciences, 9 (9): 1477-1478.
- Jiang, S. and Singh, G.(1998).**Chemical Synthesis of Shikimic Acid and Its Analogues.Tetrahedron, 54 (1) :4697-4753.
- Jokar, J.; Ronaghi, A.; Karimian, N. and Ghasemi-Fasaei, R.(2015).** Effects of different Fe levels from Fe-nano-chelate and Fe-EDDHA sources on growth and some nutrients concentrations in cowpea in a calcareous soil. J. Sci. & Technol. Greenhouse Culture, 6 (22):18-25.

- Jorge, L.F. ; Meniqueti, A.B. ; Silva, R.F. ; Santos, K.A. ; Da Silva, E.A. ; Gonçalves, J.E. ; De Rezende, C.M. ; Colauto, N.B. ; Gazim, Z.C. and Linde, G.A.(2017).** Antioxidant activity and chemical composition of oleoresin from leaves and flowers of *Brunfelsia uniflora*. Genet Mol Res., 17;16(3):1-13.
- Kachwaya, D. and Chandel, J.S.(2015).** Effect of fertigation on growth, yield, fruit quality and leaf nutrients content of strawberry (*Fragaria × ananassa*) cv Chandler. Indian Journal of Agricultural Sciences 85 (10): 1319–23.
- Kannan, S.(1986).** Physiology of foliar uptake of inorganic nutrients Proceedings: Plant Sciences, 96(6): 457–470.
- Karimi, Z. ; Pourakbar, L. and Feizi, H.(2014).** Comparison Effect of Nano-Iron Chelate and Iron Chelate on Growth Parameters and Antioxidant Enzymes Activity of Mung Bean (*Vigna radiate* L.). Adv. Environ. Biol, 8(13): 916-930.
- Kaviani, B. ; Ghaziani, M.V.F. and Negahdar, N.(2016).**The effect of Iron nano-cycocel (CCC)on some quantity and quality characters *Euphorbia pulcherrima* willd. J. of Medical and Bioengineering , 5(1):41-44.
- Kawo, A. H.; Abdullahi, B. A.; Sule, M. S.; Hayatu, M. and Dabai, Y. U.(2013).** Comparative Analysis of the Phytochemical, Proximate and Elemental Composition of *Calotropis procera* (Ait.F.) Ait.F. latex and *Maringa oleifera* (LAM) seed powder. Ife Journal of Science, 15(3):555-563.
- Kazeem, M.I.; Mayaki, A.M.; Ogungbe, B.F. and Ojekale, A.B.(2016).** In-vitro Studies on *Calotropis procera* Leaf Extracts as Inhibitors of Key Enzymes Linked to Diabetes Mellitus. Iranian Journal of Pharmaceutical Research, 15 (Special issue): 37-44.
- Keen, M.A. and Hassan, I.(2016).** Vitamin E in dermatology. Indian Dermatol Online J., 7(4):311-315.

- Kenganoral, M. ;Bhaskaran, M. ; Santhepete, M.N. and Hukkeri, V.I.(2017).** Antioxidant Potential of a Toxic Plant *Calotropis procera* R.Br. Original Article. Free Radicals and Antioxidants7(2): 143-151.
- Keyes, G. ; Sorrells, M.E. and Setter, T.L.(1990).** Gibberellic Acid Regulates Cell Wall Extensibility in Wheat (*Triticum aestivum* L.). Plant Physiol., 92: 242-245.
- Khairi, M; Nozilaudi, M.; Sarmila, A.M.; Naqib, S.A. and Jahan, S.(2016).** Compost and Zinc Application Enhanced Production of Sweet Potatoes in Sandy Soil. J. Agri. Res. 1(2):1-8.
- Khairnar, A. K.; Bhamare, S. R. and Bhamare, H. P.(2012).** *Calotropis procera*: An ethnopharmacological update. Advance Research Pharmaceuticals and Biologicals, 2(11): 142-158.
- Khaled, H. and Fawy, H. A. (2011).** Effect of different levels of humic acids on the nutrient content, plant growth and soil properties under conditions of salinity. Soil and Water Res., 6(1): 21–29.
- Khan, I.; Saeed, K. and Khan, I.(2017a).** Nanoparticles: Properties, Applications and Toxicities. Arabian Journal of Chemistry, In Press, 6-46.
- Khan, M. ; Mobin, M. ; Abbas, Z. ;Khalid, A. ; AlMutairi, K.A. and Siddiqui, z. (2017b).** Role of nanomaterials in plants under challenging environments. Plant Physiology and Biochemistry, 110 (1): 194-209.
- Khattab, M.M. and Shaban, A.E.(2012).** Effect of Humic Acid and Amino Acids on Pomegranate Trees under Deficit Irrigation. I: Growth, Flowering and Fruiting. Journal of Horticultural Science & Ornamental Plants 4 (3): 253-259
- Kim, J.; Oh, Y.; Yoon, H.; Hwang, I. and Chang Y.(2015).** Iron Nanoparticle-Induced Activation of Plasma Membrane H⁺-ATPase Promotes Stomatal Opening in *Arabidopsis thaliana* . Environ. Sci. Technol., 49(2): 1113–1119.

- Kisan, B.; Shruthi, H.; Sharanagouda, H.; Revanappa, S.B. and Pramod, N.K.(2015).** Effect of Nano-Zinc Oxide on the Leaf Physical and Nutritional Quality of Spinach. *Agrotechnology*,5(1):1-3.
- Koksal, A.I.;Dumanoglu, H.;Gunes, N.T. and Aktas, M.(1999).** The effects of different amino acid chelate foliar fertilizers on yield, fruit quality, shoot growth and Fe, Zn, Cu, Mn content of leaves in Williams pear cultivar (*Pyrus communis* L.). *Turkish Journal of Agriculture and Forestry*, 23(6): 651-658
- Kong, X. ; Tian, H. and Ding, Z. (2017).** Plant Hormone Signaling Mediates Plant Growth Plasticity in Response to Metal Stress,Ch8 in *Mechanism of Plant Hormone Signaling under Stress* (ed G. K. Pandey), John Wiley & Sons, Inc., Hoboken, NJ, USA. Pp:223-235.
- Kostevsek, N.; Sturm, S.; Sersa, I.; Sepe, A.; Bloemen, M.; Verbiest, T.; Kobe, S.; Zuzek Rozman, K.(2015) .** Single-” and “multi-core” FePt nanoparticles: From controlled synthesis via zwitterionic and silica bio-functionalization to MRI applications. *J. Nanopart. Res.*, 17(12): 464.
- Krishna , A.B.; Manikyam ,H.K.; Sharma ,V.K. and Sharma, N.(2015).** Plant Cardenolides in Therapeutics. *International Journal of Indigenous Medicinal Plants*, 48, (2) 721-42.
- Lefebvre-Legendre, L. ; Choquet, Y. ; Kuras, R. ; Loubéry, S. ; Douchi, D. and Goldschmidt-Clermont, M. (2015).** A Nucleus-Encoded Chloroplast Protein Regulated by Iron Availability Governs Expression of the Photosystem I Subunit PsaA in *Chlamydomonas reinhardtii*. *Plant Physiology*, 167(4), 1527–1540
- Leila, P.; Hossein, Z. and Younes, S.(2016).** Effect of foliar application of nano iron and manganese chelated on yield and yield component of canola (*Brassica napus* L.) under water deficit stress at different plant growth

Referencesالمصادر

- stages. *Agricultural Science Digest - A Research Journal*, 36, (3): 172 - 178.
- Libbenga, K.R.; Hall, M.A. and. Hooykaas, P.J.J.(1999).** *Biochemistry and Molecular Biology of Plant Hormones. New Comprehensive Biochemistry, Elsevier,33:395-415.*
- Lincheva, V.B. ; Petkova, N.T.and Ivanov, I.G.(2017).** Optimization of biologically active substances extraction process from *Potentilla reptans* L. aerial parts. *J. of Applied Pharmaceutical Science*, 7 (02): 174-179
- Liu, C. and Wu, Q.(2017).** Responses of Plant Growth, Root Morphology, Chlorophyll and Indoleacetic Acid to Phosphorus Stress in Trifoliate Orange. *Biotechnology*, 16: 40-44.
- Lopéz, L.M. ; Carolina, A. ; Viana, C.A. ; ErrastiMaría, L.M. ; GarroJosé, E. and Martegani A. M.(2017).** Latex peptidases of *Calotropis procera* for dehairing of leather as an alternative to environmentally toxic sodium sulfide treatment. *Bioprocess and Biosystems Engineering*, 40(9) : 1391–1398.
- López-Millán, A. F. ; Duy, D. and Philippar, K. (2016).** Chloroplast Iron Transport Proteins – Function and Impact on Plant Physiology. *Frontiers in Plant Science*, 7, 178.
- Lucas, D.M.; Daviere, J.M. ; Falcon, M.; Potin , J.M.and Iglesias- Pedraz , S. Lorrain , C .Fankhauser , M. A. Blazquez , E. Titarenko and S. Prat. (2008).** A molecular framework for light and gibberellins control of cell. *Nature.*, 451(7177):480-484.
- Ma, X.; Geiser-Lee, J. ; Deng , Y. and Kolmakov, A. (2010).** Interactions between engineered nanoparticles (ENPs) and plants: Phytotoxicity, uptake and accumulation. *Science of the Total Environment*, 408(16): 3053–3061.
- Mackinney, G. (1941).** Absorption of light by chlorophyll solutions. *Biol. Chem.*, 140: 315–322.

- Mahmoud, R. S. ;Abd El-Monem M. S. and Hossam M. F.(2016).** Effect of foliar application of proline and zinc on Growth, Yield and Some Metabolic Activities of *Chenopodium quinoa* Plants. International Journal of Advanced Research , 4(1): 1701- 1717.
- Mamyandi, M.M.; Pirzad, M.A. and Zardoshti, M.R.(2012).** Effect of Nano-iron spraying at varying growth stage of sugar beet (*Beta vulgaris* L.) on the size of different plant parts. Intl J Agri Crop Sci., 4 (12):740-745.
- Mapelli, S. and Lombardi, L. (1982).** A comparative auxin and cytokinin study in normal to 2 mutant tomato plouts. Plant cell Physiol., 23: 751–757.
- Marangoni, F. and Poli, A. (2010).** Phytosterols and cardiovascular health. Pharmacological Research, 61 : 193–199.
- Martin, P. (2002).** Micro–nutrient deficiency in Asia and the pacific. Borax Europe limited, UK, at IFA. Regional conference for Asia and the Pacific, Singapore, PP: 18–20.
- Mašev, N. and Kutáček ,M.(1966).**The effect of zinc on the biosynthesis of tryptophan, andol auxins and gibberellins in barley. Biologia Plantarum, 8(2) : 142-151.
- Mazaherinia, S.; Astaraei, A.R.; Fotovat, A. and Monshi, A. (2010).** Nano iron oxide particles efficiency on Fe, Mn, Zn and Cu concentrations in wheat plant. World Appl. Sci. J., 7(1): 36-40.
- McCall, K.A.; Huang, C. and Fierke, C.A. (2000).**Function and Mechanism of Zinc Metalloenzymes. The Journal of Nutrition, 130 (5) :1437-1446.
- Meena ,A.K.; Yadav, A. and Rao, M.M.(2011).** Ayurvedic uses and pharmacological activities of *Calotropis procera* Linn. Asian Journal of Traditional Medicines, 6 (2): 45-53.
- Melo, C.M.; Carvalho, K.M. ; Neves, J.C.; Morais, T.C.; Rao, V.S Santos, F.A. ; Brito, G.A.and Chaves, M.H.(2010).** α,β -amyrin, a natural

Referencesالمصادر

- triterpenoid ameliorates L-arginine-induced acute pancreatitis in rats. Article in World Journal of Gastroenterology 16(34): 4272-4280.
- Mielcarz-Skalska, L. and Smolińska, B. (2017).** Zinc and nano-ZnO – influence on living organisms. *Biotechnol Food Sci.*, 81 (2): 93-102
- Mills, D. K.; Asif, M.; Amjad, A. and Ahmad, S. (2012).** Fertilization enhances growth and medical contents of oleander (*Nerium oleander* L.). *Turk. J. Agric.*, 37: 622–638.
- Minzhe, M.S.,(2015).** On the Efficacy of Zinc Foliar Fertilizers: A Study Utilizing Micro XRF and ICPMS. Master thesis, University of California, Davis, USA.
- Mo, E.P.; Zhang, R.; Xu, J.; Zhang, H.; Wang, X.; Tan, Q. and Liu, F. (2016).** Calotropin from *Asclepias curasavica* induces cell cycle arrest and apoptosis in cisplatin-resistant lung cancer cells. *Biochemical and Biophysical Research communication*, 478(2) : 710–715.
- Moghadam, A.L. ; Vattani, H. ; Baghaei, N. and Keshavarz, N.(2012).** Effect of Different Levels of Fertilizer Nano_Iron Chelates on Growth and Yield Characteristics of Two Varieties of Spinach (*Spinacia oleracea* L.): Varamin 88 and Viroflay. *Res. J. Appl. Sci. Eng. Technol.*, 4(22): 4813-4818.
- Mohamadipoor, R. ; Sedaghatoor, S. and Khomami, A.M.(2013).** Effect of application of iron fertilizers in two methods 'foliar and soil application' on growth characteristics of *Spathyphyllum illusion*. *European Journal of Experimental Biology*, 3(1):232-240.
- Mohamed ,N.H.; Liu, M. ; Abdel-Mageed, W. M. ; Alwahibi , L. H. ; Dai, H. ; Ismail, M. A. ; Badr, G. ; Quinn, G.J. ; Liu, X. ; Zhang, L. and Shoreit, A.A. M.(2015).** Cytotoxic cardenolides from the latex of *Calotropis procera*. *Bioorganic & Medicinal Chemistry Letters*, 25(20-15): 4615–4620.

- Mohamed, N.H.; Ismail, M.A.; Abdel-Mageed ,W.M. and Shoreit, A.A.M. (2017).** Biodegradation of Natural Rubber Latex of *Calotropis procera* by Two Endophytic Fungal Species. J Bioremediat Biodegrad, 8(1): 2-5.
- Montenegro, J.M.; Grazu, V.; Sukhanova, A.; Agarwal, S.; Fuente, J.M.; Nabiev, I.; Greiner, A. and Parak,W.J. (2013).** Controlled antibody/(bio-) conjugation of inorganic nanoparticles for targeted delivery. Adv. Drug Deliv. Rev, 65 (5): 688–677
- Moore, T. C. (1979).** Biochemistry and Physiology of Plant Hormones. New York, Springer-Verlag, USA.
- Moosapoor, N,; Sadeghi, S.M. and Bidarigh ,S. (2013).** Effect of Bohr nanofertilizer and chelated iron on the yield of peanut in province Gulan, Iran. Indian J. of Fundamental and Applied Life Sciences, 3(4):45-62.
- Mosanna, R. and Behrozyar, K. E.(2015).** Zinc nano-chelate foliar and soil application on maize (*Zea mays* L.) physiological response at different growth stages, In. J. of Adv. L. Sci., 8(1):85-89.
- Mostafavi, K.(2012).** Grain yield and yield components of soybean upon application of different micronutrient foliar fertilizers at different growth stages. Intl. J. Agric: Res & Rev., 2(4): 389-394.
- Mousavi, M. ;Galavi, L. and Rezaei, M. (2013).**“Zinc (Zn) importance Zinc (Zn) Importance for Crop Production– A Review.International journal of Agronomy and Plant Production, 4 (1):64-68.
- Moustafa, A.R.A. and Sarah, S.Q.(2017).** Population Ecology and Economic Importance of *Calotropis procera* as an Exotic Medicinal Plant. J Ecol & Nat Resources,1(1):1-11.
- Murcia, G. ;Fontana, A. ; Mariela, M. ; Baraldi, R. ; Bertazza, G.and Piccoli, N. (2017).** ABA and GA3 regulate the synthesis of primary and secondary metabolites related to alleviation from biotic and abiotic stresses in grapevine.Phytochemistry, 135(1): 34-52.

- Murthi, Y.; Yogi, B. and Pathak, D.(2010).**Pharmacognostics standardization of leaves *Calotropis procera* (Ait.)R.Br. (Asclepiadaceae) .Int.J. Ayurveda Res.,1(1):14-17.
- Murtic, S.; Civic, H. and Krsmanovic, M. (2012).** Foliar nutrition in apple production. Afric. J. Biotech., 11(46): 10462–10468.
- Nadi, E.; Aynehband, A. and Mojaddam, M.(2013).** Effect of nano-iron chelate fertilizer on grain yield, protein percent and chlorophyll content of Faba bean (*Vicia faba* L.), International Journal of Biosciences, 3(9) : 267-272.
- Nair, S.H. ; Nair, B.G.; Maekawa, T.; Y. Yoshida and Kumar, D. S.(2010).** Nanoparticulate material delivery to plants. Plant Science, 179: 154-163.
- Najafivafa, Z.; Falahi, N.; Zare, M.; Bohloli,S.N. and Sirousmehr, A.R. (2015).**The Effects of Different levels of using Zinc nano chelated fertilizers and humic acid on Growth Parameters and on some quality and quantity Characteristics of Medicinal Plants of Savory. Bull. Env. Pharmacol. Life Sci., (4) 6: 56-67.
- Navarro, E.; Barrameda-Medinaa, Y.; Lentinib, M.; Espositob, S. and Ruiza, J.M.(2016).** Comparative study of Zn deficiency in *L. sativa* and *B. oleracea* plants:NH₄⁺assimilation and nitrogen derived protective compounds. Plant Science, 248:(8):11-20.
- Noaema, A.H.; Sawicka, B.; Kieltyka-Dadasiewicz, A.and Bienia,B.(2016).** The application of foliar fertilizer in potato. “Bioeconomy in agriculture”, At Pulawy, 1:56-57.
- Ogbe, R. J. ; Ochalefu, D.O. ; Mafulul, S.G. and Olaniru, O.B.(2015).** A review on dietary phytosterols: Their occurrence, metabolism and health benefits. Asian Journal of Plant Science and Research, 5(4):10-21.
- Olivoto,T. ; Nardino, M. ; Carvalho, I.R. ; Follmann, D.N. ; Szareski, V. ; Ferrari, M. ; Pelegrin,A.J. and Souza,V.Q.(2017).** Plant secondary

Referencesالمصادر

- metabolites and its dynamical systems of induction in response to environmental factors: A review. *Afr. J. Agric. Res.*, 12(2): 71-84.
- Oloumi, H.(2014).** Phytochemistry and Ethno-Pharmaceutics of *Calotropis procera* . *Ethno-Pharmaceutical products*, 1 (2):1-8.
- Oosterhuis, D.(2009).** Foliar fertilization: mechanisms and magnitude uptake. *Fluid Fertilizer Foundation*, 1: 15-17
- Orhevba, B. A. and Taiwo, A.D.(2016).** Comparative Assessment of Wara (Local Cheese) Produced using Three Natural Additives as Coagulants. *Journal of Food and Dairy Technology*, 4(3) :1-7.
- Osman, E.A.; El- Galad, M.A. ; Khatab, K.A. and El-Sherif ,M. A. (2014).** Effect of compost rates and foliar application of ascorbic acid on yield and nutritional status of sunflower plants irrigated with saline water. *GJSR.* , 2(6): 193-200.
- Paramo, B.G.(2015).** Unravelling the role of zinc in the resistance to necrotrophic fungi in *Arabidopsis thaliana* and *Noccaea caerulea*. PhD thesis ,Plant Biology and Ecology ,Autonomous university of Barcelona.
- Paré, D.; Meyer, W. L. and Camiré, C.(1993).** Nutrient Availability and Foliar Nutrient Status of Sugar Maple Saplings following Fertilization. *Soil Sci. Soc. Am. J.* 57(4):1107-1114.
- Pariona, N.; Arturo, I. M.; Hdz-Garci, H.M.; Cruz , L. A. and Hernandez-Valdes, A.(2016).** Effects of hematite and ferrihydrite nanoparticles on germination and growth of maize seedlings. *Saudi Journal of Biological Sciences*, In Press, Corrected Proof — Note to users.
- Pawar, P.R.(2017).** Separation and identification of active constituents of *Calotropis gigantea* latex, by HPLC, FTIR, UV-Visible and classical techniques. *World Journal of Pharmaceutical and Life Sciences*, 2(6): 590-596.

- Payal, C. and Sharma R. A.(2015).** An overview on giant milkweed (*Calotropis procera* (Ait.) Ait. f.). Medicinal Plants, 3(1-1): 19-24.
- Payal,C., and Sharma R. A.(2016).** The Genus Calotropis: An Overview on Bioactive Principles and their Bioefficacy. Research Journal of Recent Sciences , 5(1): 61-70.
- Phogat, N.; Khan, N.S.; Shankar, S.; Ansary, Abu A. and Uddin, I. (2016).** Fate of inorganic nanoparticles in agriculture. Adv. Mater. Lett. , 7(1): 3-12.
- Pii, Y. ; Cesco, S. and Mimmo, T.(2015).** Shoot ionome to predict the synergism and antagonism between nutrients as affected by substrate and physiological status. Plant Physiology and Biochemistry 94 : 48-56.
- Ping-tao, L.; Gilbert, M. G. and W. D. Stevens(1995).** Asclepiadaceae , Flora of China 16: 189–270.
- Piper, C.S.(1950).** In: Soil and Plant Analysis, Interscience Publishers, Inc, New York,pp:342-343.
- Pokhrel, L.P. and Dubey, B. (2013).** Evaluation of developmental responses of two crop plants exposed to silver and zinc oxide nanoparticles. Science of the Total Environment, 452–453 : 321–332.
- Pozveh, Z. T.; Roya ,R. and Fatemeh, R. (2014).** Changes occurring in canola (*Brassica napus* L.) in response silver nanoparticles treatment under in vitro conditions. Indian Journal of Fundamental and Applied Life Sciences .4(3) :797-807.
- Prajna, P.S.; Bhat, R. P. and Kumar, N.(2016).** Identification of bioactive compounds in *Loeseneriella arnottiana* wight root by GC-MS analysis. World Journal of Pharmaceutical Research. 5(4): 1559-1569.
- Prasad, R. ; Kumar, V. and Prasad, K.,S.(2014).** Nanotechnology in sustainable agriculture: Present concerns and future aspects, African Journal of Biotechnology, 13(6):705-713.

- Raab, C.; Simko, M.; Fiedeler, U.; Nentwich, M. and Gazso, A. (2011).** What are synthetic nanoparticles? Nano Trust-Dossier and Plant Production, 4(1) : 64–68.
- Rahman, M.A. and Wilcock, C.C. (1991).** A taxonomic revision of *Calotropis* (Asclepiadaceae). Nordic Journal of Botany,11(3): 301-308.
- Rajasekar, M.; Nandhini, D.U. and Suganthi, S. (2017).** Supplementation of Mineral Nutrients through Foliar Spray-A Review .Int.J.Curr. Microbiol. App. Sci., 6(3): 2504-2513.
- Rajesh, K.; Priyadharshni, S.P.; Kumar, K.E. and Satyanarayana T. (2014).** Phytochemical Investigation on Stem of *Calotropis Procera* (Ait.) R.Br. (Asclepiadaceae), IOSR Journal of Pharmacy and Biological Sciences, 9 (3) : 25-29.
- Ranade, A. ;Acharya, R. ; Shukla,V. and Roy,R.(2017).** Exposition of Role of Diurnal and Seasonal Variation on Latex of *Calotropis procera* Ait. and *Calotropis gigantea* L.R.BR. European Journal of Medicinal Plants, 19(1):1-7.
- Ranjan, N. ; Singh,S. and Kumari,C.(2017).** Biological Morphology and Ethano-Pharmacological Importance of *Calotropis* Species-A Review. Int.J.Curr.Microbiol.App.Sci .,6(4): 1640-1648.
- Rasmia, S. S. ; Abd-El Kareim,A. H. E. and Mona, H. M. (2014).** Effect of Foliar Spraying With 5- Aminolevulinic Acid and Different Types Amino Acids on Growth of Date Palm of Plantlets after Acclimatization in the Green House. International Journal of Plant & Soil Science, 3(10): 1317-1332.
- Rasool, S. and Ahmad, P. (2014).**Plant Responses to Iron, Manganese, and Zinc Deficiency Stress,Chapter 13,In Emerging Technologies and Management of Crop Stress Tolerance. Biological Techniques, Academic Press,1:293-310.

- Rezaeei, M.; Daneshvarb, M. and Shiranic, A.H. (2014).**Effect of iron nano chelated fertilizers foliar application on three wheat cultivars in Khorramabad climatic conditions.Scientific Journal of Crop Science . 3(2) 9-16.
- Rizvi, S. ; Raza, S. T. ; Ahmed, F. ; Ahmad, A. ; Abbas, S., and Mahdi, F. (2014).** The Role of Vitamin E in Human Health and Some Diseases. Sultan Qaboos University Medical Journal, 14(2):157–165.
- Romhold, V. and El-Fouly, M. M. (2000).** Foliar Nutrient Application: Challenge and Limits in Crop Production. 2nd ed. International Workshop on Foliar Fertilization. Bangkok, Thailand, PP: 1–32.
- Roosta, H.R.; Jalali, M. and Shahrababaki, S.M.(2015).** Effect of Nano Fe-Chelate, Fe-Eddha and FeSO₄ on Vegetative Growth, Physiological Parameters and Some Nutrient Elements Concentrations of Four Varieties of Lettuce (*Lactuca sativa* L.). Journal of Plant Nutrition , 38 (14). 2176-2184.
- Rout, G.R. and Sahoo, S. (2015).** Role of iron in plant growth and metabolism. Reviews in Agricultural Science, 3(1):1-24.
- Rui, M.; Ma, C.; Hao,Y.; Guo, J.; Rui, Y.; Tang, X.; Zhao, Q.; Fan, X.; Zhang, Z.; Hou, T. and Zhu ,S.(2016).** Iron Oxide Nanoparticles as a Potential Iron Fertilizer for Peanut (*Arachis hypogaea*). Front. Plant Sci. 7(815):1-10.
- Ruttkay-Nedecky, B.; Krystofova,O.; NejdL. and Adam,V.(2017).** Nanoparticles based on essential metals and their phytotoxicity. J.Nanobiotechnol, 15(33):2-19.
- Sadak, S.H. M.; Abdelhamid, M. T.and Schmidhalter, U.(2015).** Effect of foliar application of aminoacids on plant yield and physiological parameters in bean plants irrigated with seawater. Acta biol. Colomb., 20(1):141-152.

- Saeidnia,S.; Manayi, A. ; Gohari, A. and Abdollahi, M.(2014).** The Story of Beta-sitosterol- A Review. *European Journal of Medicinal Plants*, 4(5): 590-609.
- Samreen, T.; Humaira; Shah, H.U.; Ullah, S. and Javid, M. (2013).** Zinc effect on growth rate, chlorophyll, protein and mineral contents of hydroponically grown mungbeans plant (*Vigna radiata*). *Arabian Journal of Chemistry*,1: 1-7.
- Sathya, S.; Pitchai, G. ; Indirani, R. and Kannathasan, M.(2008).** Effect of fertigation on availability of nutrients (N, P & K) in soil – A review. *Agricultural Reviews*, 29(3):213 - 219.
- Schenck, C.; Holland, C.; Schneider, M.; Joseph Jez, J. and Maeda, H.(2017).** Molecular Basis of TyrA Substrate Specificity Underlying the Evolution of Alternative Tyrosine Biosynthetic Pathways. *The FASEB Journal*, 31 (1): 628-634.
- Schmelzer, G.H. and Gurib-Fakim, A.(2013).**Plantes médicinales . *PROTA* , 11 :38-45.
- Segev, R.; Nannapaneni,R.; Sindurakar,P.; Kim,H.; Read,H. and Lijek,S. (2015).** The Effect of the Stomatal Index on the Net Rate of Photosynthesis in the Leaves of *Spinacia oleracea*, *Vinca minor*, *Rhododendron* spp, *Epipremnum aureum*, and *Hedera* spp. *Journal of Emerging Investigators*, (<http://creativecommons.org/licenses/by-nc-nd/3.0/>).
- Senge ,M.O.; Ryan, A.A.; Letchford,K.A. ;MacGowan,S.A. and Mielke ,T.(2014).** Chlorophylls, Symmetry, Chirality, and Photosynthesis. *Review Symmetry*, 6(3): 781-843.
- Shabala, S.(2017).** *Plant Stress Physiology*, 2nd Edition ,CABI, Pp:302.
- Shanmugam, P.M.; Barigali, A.; Kadaskar. J.; Borgohain. S.; Mishra, D. K. and Ramanjulu, R. (2015).** Effect of lanosterol on human cataract nucleus. *Indian J. Ophthalmol*, 63(12):888-900.

- Sharifi, R.(2016).** Application of biofertilizers and zinc increases yield, nodulation and unsaturated fatty acids of soybean. *Zemdirbyste-Agriculture*, 103 (3): 251–258.
- Sharma, A.K.; Kharb, R. and Kaur, R. (2011).** Pharmacognostical aspects of *Calotropis procera* (Ait.) R. Br. *Int J Pharm Bio Sci*, 2(3):480–488.
- Sharma, P.N.; Kumar, N. and Bisht, S.S. (1994).** Effect of zinc deficiency on chlorophyll content , photosynthesis and water relations of cauliflower plants. *Photosynthetica*, 30(3): 353-359.
- Sharma, P.N.; Tripathi, A. and Bisht,S. S.(1995).** Zinc Requirement for Stomatal Opening in Cauliflower'. *Plant Physiol.*, 107: 751-756
- Sharma, R.; Thakur, G.S.; Sanodiya, B.S.; Savita, A.; Pandey, M.; Sharma, A. and Bisen, P.S. (2012).** Therapeutic Potential of *Calotropis procera*: agiant milkweed. *J. Pharm. Bio. Sci.*, 4(2):42–57.
- Sharma, V.K.(2015).** Plant Cardenolides in Therapeutics. *International Journal of Indigenous Medicinal Plants*, 48(2): 1871- 1896.
- Shekari, G., Javanmardi, J. (2017).** Effects of Foliar Application Pure Amino Acid and Amino Acid Containing Fertilizer on Broccoli (*Brassica oleracea* L. var. italica) Transplant. *Adv Crop Sci Tech* 5(3):1-4.
- Silber, A. ; Xu, G. ; Levkovitch, I. ; Soriano, S.; Bilu, A. and Wallach, R. (2003).** High fertigation frequency: the effects on uptake of nutrients, water and plant growth. *Plant and Soil*, 253(2): 467–477.
- Šimůnek, J.; Bristow, K.L. and Helalia, S.A. (2016).** The effect of different fertigation strategies and furrow surface treatments on plant water and nitrogen use. *Irrig. Sci.*, 34, (1): 53–69.
- Singh, M.D.; Chirag, G.; Prakash, P.; Mohan, M.H.; Prakasha ,G. and Vishwajith, K. (2017).** Nano-Fertilizers is a New Way to Increase Nutrients Use Efficiency in Crop Production. *International Journal of Agriculture Sciences*, 9(7) :3831-3833.

- Siva, G.V. and Benita, L.F.J. (2016).**Iron Oxide Nanoparticles Promotes Agronomic Traits of Ginger (*Zingiber officinale* Rosc). Int. J. Adv. Res. Biol. Sci., 3(3): 230-237.
- Sofy, M. R. ; Sharaf, A. M. and Fouda, H.M. (2016).** Effect of foliar application of proline and zinc on Growth, Yield and Some Metabolic Activities of *Chenopodium quinoa* Plants. I. J. of Advanced Research ,4(1) : 1701- 1717.
- Soliman, A. S.; El-feky, S. A .and Darwish, E. (2015).** Alleviation of salt stress on *Moringa peregrina* using foliar application of nanofertilizers. J. Hortic. For., 7 (2):36-47.
- Soltermann, D.; Baeyens, B.; Bradbury,M.H. and Fernandes,M.M. (2014).** Fe(II) Uptake on Natural Montmorillonites. II. Surface Complexation Modeling. Environmental Science & Technology , 48 (15): 8698-8705.
- Srivastava, P.; Tripathi,V. and Mishra, D.K.(2016).** Floral anomalies in *Calotropis procera* (Aiton) dryand -nature's bizarre play.23(1): 79-81.
- Staugaitis, G.; Aleknavičienė, L.; Brazienė, Z.; Marcinkevičius, A.and Paltanavičius, V.(2017).** The influence of foliar fertilization with nitrogen, sulphur, amino acids and microelements on spring wheat. Zemdirbyste-Agriculture, 104 (2): 123–130.
- Stewart, W. M.; Dibb, D. W.; Johnston, A. E. and Smyth, T. J. (2005).** The contribution of commercial fertilizer nutrients to food production. Agron. J., 97(1): 1–6.
- Subasree, S.(2014).** Role of Vitamin C and Vitamin E in Health and Disease.J. Pharm. Sci. & Res., 6(1): 52 – 55.
- Sunithakumari, K. ; Padma, S. N. and Vasandha, S.(2016).** Zinc solubilizing bacterial isolates from the agricultural fields of Coimbatore, Tamil Nadu, India. Current Science, 110(2): 196-205.

- Sutens ,B.; Swusten, T. ; Zhong, K.; Jochum,J.K. and Margriet, J.(2016).** Tunability of Size and Magnetic Moment of Iron Oxide Nanoparticles Synthesized by Forced Hydrolysis. *Materials*, 9: 2 -10.
- Swain, P.S.; Rao, S.B.; Rajendran, D. ; Dominic, G. and Selvaraju, S. (2016).** Nano zinc, an alternative to conventional zinc as animal feed supplement: A review. *Animal Nutrition* , 2(3): 134-141.
- Tanou,G.; Ziogas,V. and Molassiotis, A. (2017).** Foliar Nutrition, Biostimulants and Prime-Like Dynamics in Fruit Tree Physiology: New Insights on an Old Topic. *Front. Plant Sci.* 8(75):1-9.
- Tarraf, S. A.; Talaat, I. M.; EL-Sayed A. E. and Balbaa , L. K.(2015).** Influence of foliar application of algae extract and amino acids mixture on fenugreek plants in sandy and clay soils, *Nusant ARA Bioscienc*, 1(7) : 33-37.
- Teixeira, W.F. ; Fagan, E.B. ; Soares, L.H. ; Umburanas, R.C. ; Reichardt, K. and Neto, D.D. (2017).** Foliar and Seed Application of Amino Acids Affects the Antioxidant Metabolism of the Soybean Crop. *Front. Plant Sci.* 8:327.
- Terasawa, Y. ; Sasaki, y. ; Yamaguchi, Y. and Takahashi, K. (2017).**β-Amyrin Biosynthesis: Effect of Steric Bulk at the 6-, 10- and 15-Positions in the 2,3-Oxidosqualene Backbone on Polycyclisation Cascades. *Eur. J.of O.C.*, 1(2):287-295.
- Thimmaiah, S.K. and Campus, G.K.(2004).**Standard Methods of Biochemical Analysis. Kalyani Publisher's, New Delhi, India,14.1:286.
- Thumma, B.R.; Naidu, B.P.; Chandra, A.; Cameron, D.F.; Bahnisch, L.M. and Liu, C. (2001).** Identification of causal relationship among traits related to drought resistance in *Stylosanthes scabra* using QTL analysis, *Journal of Experimental Botany*, 52 (355): 203-214.

- Torabian, S.; Zahedi, M. and Khoshgoftar, A.(2016).** Effects of foliar spray of two kinds of zinc oxide on the growth and ion concentration of sunflower cultivars under salt stress. *J. of Plant Nutrition*, 39(2):172-180.
- Tudor, E. ; Cioroianu, T. ;Sirbu, C. and Parvan, L. (2017).** Fertilizer for the treatment of iron chlorosis: Physico-chemical and agro-chemical properties. *Revista de Chimie.(Bucharest)*,68(1):65-71.
- Tufarelli, V. and Laudadio, V. (2016).** Antioxidant activity of vitamin E and its role in avian reproduction. *J. of Experimental Biology and Agricultural Sciences*, 4(3): 266-273 .
- Tzin,V.; Malitsky, S.; Zvi, M.B., Bedair,M.; Sumner, L.; Aharoni,A. and Galili ,G. (2012).** Expression of a bacterial feedback-insensitive 3-deoxy-D-arabinoheptulosonate -7 phosphate synthase of the shikimate pathway in *Arabidopsis* elucidates potential metabolic bottlenecks between primary and secondary metabolism *New Phytologist* ,194: 430–439.
- Varner, K. (2010).** Everything nanosilver and more. U.S. Environmental Protection Agency Office of Research and Development Washington, PP: 197
- Venkatachalam, P. ; Priyanka , N. ; Manikandan, K. ; Ganeshbabu, I. ; Indiraarulsevi, P. ; Geetha, N. ; Muralikrishna, K. ; Bhattacharya, R.C. ; Tiwari, M. ; Sharma, N. and Sahi, S.V. (2017).** Enhanced plant growth promoting role of phycomolecules coated zinc oxide nanoparticles with P supplementation in cotton (*Gossypium hirsutum* L.). *Plant Physiology and Biochemistry*, 110 (1): 118-127.
- Venkatesha, S.H.; Rajaiah, R. and Vishwanath, B.S.(2016).** Hemostatic Interference of Plant Latex Proteases. *SM Journal of Clinical Pathology* 1(1):2-7.

- Verma, R. ; Satsangi, G. P. and Shrivastava, J. N. (2010).** Ethno-Medicinal Profile of Different Plant Parts of *Calotropis procera* (Ait.) R.Br. Ethnobotanical Leaflets 14: 721-42.
- Vilas-Boas, V.; Guldris, N.; Carbó-Argibay, E.; Stroppa, D.G.; Cerqueira, M.F.; Espiña, B.; Rivas, J. Rodríguez-Abreu, C.; Kolen'ko, Y.V. (2015).** Straightforward phase-transfer route to colloidal iron oxide nanoparticles for protein immobilization. RSC Adv., 5: 47954–47958.
- Wang, P. T. and Song, C. P. (2008).** Guard cells signaling for hydrogen peroxide and abscisic acid. New Phytol. J. Plant Physiol., 178(4): 703–718.
- Weiland, M. ; Mancuso, S. and Baluska, F. (2015).** Signalling via glutamate and GLRs in *Arabidopsis thaliana*. Funct. Plant Biol., 23(1): 1–25.
- White, D.W.R.(2017).** PEAPOD limits developmental plasticity in *Arabidopsis*. J. of Global Pharma Technology,10(2):1-9.
- White, J.C.; Xing, B.; Newman, L.A. and Ma, X.(2013).** Nanoparticle Contamination of Agricultural Crop Species. NSF Nanoscale Science and Engineering Grantees Conference, 4-6:1-2.
- Winkler, U. and Zotz, G. (2009).** Highly efficient uptake of phosphorus in epiphytic bromeliads. J. Annu. Bot., 103(3): 477–484.
- Wittmer, S.; Bukovac, M. and Tukey, H. (1993).** Advances in Foliar Feeding of Plant Nutrients. In: Vickar, M.; Bridger, G. and Nelson, L. (eds.), Fertilizer, Technology and Usage. Soil Science Society of America, Madison, Wisconsin, USA.
- Wojcik, P. (2004).** Uptake of mineral nutrients from foliar fertilization. J. Fruit and Ornamental Plant Res., 12(31): 201–218.
- Yang, H.; Wei, H.; Ma, G.; Antunes, M.S.; Vogt, S.; Cox ,J. and Zhang,X. (2016).** Cell wall targeted in planta iron accumulation enhances biomass conversion and seed iron concentration in *Arabidopsis* and rice. Plant Biotechnology Journal, 14(1): 1998–2009.

- Yeats, T.H. and Rose, J.K. (2013).** The Formation and Function of Plant Cuticles. *Plant Physiology*, 163(1): 5–20.
- Yogi, B.; Gupta, S.B. and Mishra,A. (2016).***Calotropis procera* (Madar): A Medicinal Plant of Various Therapeutic Uses-A Review. *Bull. Env. Pharmacol. Life Sci.*, 5 (7): 74-81.
- Yoneyama,T.; Ishikawa ,S. and Shu Fujimaki, S.(2015).** Route and Regulation of Zinc, Cadmium, and Iron Transport in Rice Plants (*Oryza sativa* L.) during Vegetative Growth and Grain Filling: Metal Transporters, Metal Speciation, Grain Cd Reduction and Zn and Fe Biofortification. *Int. J. Mol. Sci.*, 16: 19111-19129
- Yousefzadeh, N. and Sabaghnia,S.(2016).** Growth characters and yield of dragonhead in relation to Fe₂O₃ nano-scale fertilizer and sowing density. *Agriculture & Forestry*, 62 (2): 59-70.
- Zarandi, A.; Roozbahani,M. and Dolatabad,S.S.(2015).** Effect of biological fertilizer and nano zinc on morphophysiological traits and yield of maize (*Zea mays* L.). *Crop Res.*, 50 (1, 2 & 3) : 43-47.
- Zhao, A.; Tian, X.; Cao, Y.; Lu, X. and Liu,T.(2014).** Comparison of soil and foliar zinc application for enhancing grain zinc content of wheat when grown on potentially zinc-deficient calcareous soils. *Journal of the Science of Food and Agriculture*,94(10):2016-2022.
- Zhao, K. and Wu , Y.(2017).** Effects of Zn Deficiency and Bicarbonate on the Growth and Photosynthetic Characteristics of Four Plant Species. *PLOS*, 12 (1):1-14.
- Zhao, L.; Chen, X.; Zhu, J.; Xi, Y.; Yang, X.; Hu, L.D.; Ouyang, H.; Patel, S.H. and Jin, X.(2015).** Lanosterol reverses protein aggregation in cataracts. *Nature*, 523 (7562):607-11.
- Zhao, X.; Li, Y.Y.; Xiao, H.L.; Xu, C.S. and Zhang, X. (2013).** Nitric oxide blocks blue light-induced K⁺ influx by elevating the cytosolic Ca²⁺

Referencesالمصادر

concentration in *Vicia faba* L. guard cells. *J. Integr. Plant Biol.* 55(6), 527–536.

Zhong, Z.; Zhao, D. ; Liu, Z.; Jiang, S. and Zhang, Y.(2017). A New Human Cancer Cell Proliferation Inhibition Sesquiterpene, Dryofraterpene A, from Medicinal Plant *Dryopteris fragrans* (L.) Schott. *Molecules*, 22(180):2-7.

Servin, A.D. and White, J.C.(2016).Nanotechnology in agriculture: Next steps for understanding engineered nanoparticle exposure and risk. *NanoImpact*, 1 (1) 9–12.

الملاحق

Appendixes



Method

Date : Sat : 11 / 02 / 2017
Time : 08: 52 : 14

[Comment]

GC MS Report

===== Analytical Line 1 =====

[AOC-20i+s]

of Rinses with Presolvent :1
 # of Rinses with Solvent(post) :2
 # of Rinses with Sample :1
 Plunger Speed(Suction) :High
 Viscosity Comp. Time :0.2 sec
 Plunger Speed(Injection) :High
 Syringe Insertion Speed :High
 Injection Mode :Normal
 Pumping Times :5
 Inj. Port Dwell Time :0.3 sec
 Terminal Air Gap :No
 Plunger Washing Speed :Middle
 Washing Volume :8uL
 Syringe Suction Position :0.0 mm
 Syringe Injection Position :0.0 mm
 Solvent Selection :only C

[GC-2010]

Column Oven Temp. :40.0 °C
 Injection Temp. :250.00 °C
 Injection Mode :Split
 Flow Control Mode :Linear Velocity
 Pressure :49.5 kPa
 Total Flow :34.0 mL/min
 Column Flow :1.00 mL/min
 Linear Velocity :36.1 cm/sec
 Purge Flow :3.0 mL/min
 Split Ratio :30.0
 High Pressure Injection :OFF
 Carrier Gas Saver :OFF
 Splitter Hold :OFF

Oven Temp. Program

Rate	Temperature(°C)	Hold Time(min)
-	40.0	3.00
15.00	180.0	1.00
10.00	300.0	3.00

< Ready Check Heat Unit >

Column Oven : Yes
 SPL1 : Yes
 MS : Yes

< Ready Check Detector(FTD) >

< Ready Check Baseline Drift >

< Ready Check Injection Flow >

SPL1 Carrier : Yes
 SPL1 Purge : Yes

< Ready Check APC Flow >

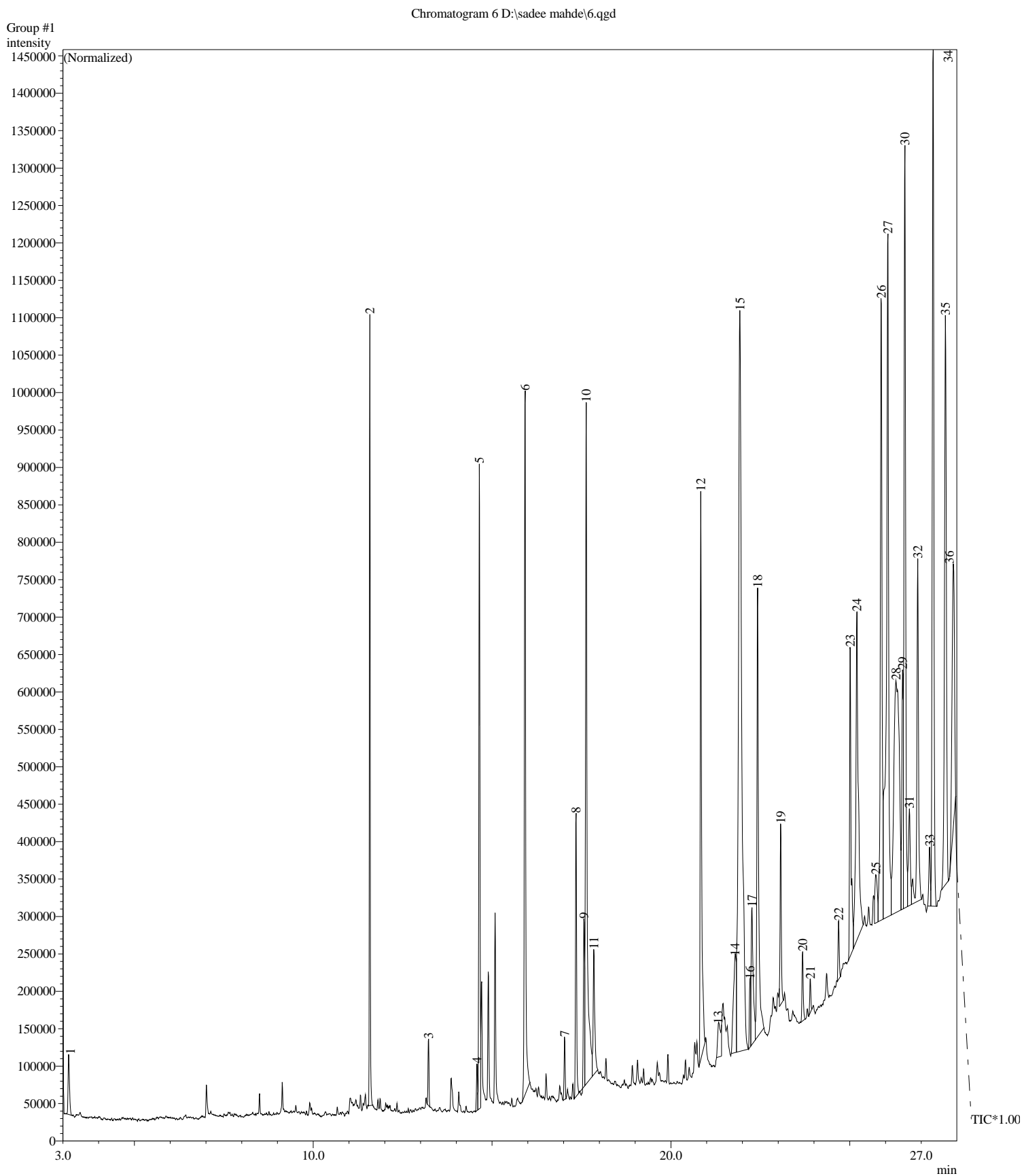
< Ready Check Detector APC Flow >

External Wait :No
 Equilibrium Time :1.0 min

[GC Program]

[GCMS-QP2010 Ultra]

IonSourceTemp :200.00 °C
 Interface Temp. :250.00 °C
 Solvent Cut Time :3.00 min
 Detector Gain Mode :Relative
 Detector Gain :0.69 kV +0.10 kV
 Threshold :0
 \$If\$(--Group 1 - Event 1--
 Start Time :3.00min
 End Time :28.00min
 ACQ Mode :Scan
 Event Time :0.50sec
 Scan Speed :1000
 Start m/z :50.00
 End m/z :500.00
 !=)



chromatogram of GC- MS

Peak Report TIC

Peak#	R.Time	Area	Area%	Name
1	3.161	216943	0.41	Heptane, 2,4-dimethyl-
2	11.582	1656815	3.15	Butylated Hydroxytoluene
3	13.221	170192	0.32	1-Allyl-1-but-3-enyl-1-silacyclobutane
4	14.578	129298	0.25	2-Hexadecene, 3,7,11,15-tetramethyl-, [R-[R*,R*-(E)]]-
5	14.644	1822339	3.47	3,7,11,15-Tetramethyl-2-hexadecen-1-ol
6	15.921	2388211	4.54	1-(+)-Ascorbic acid 2,6-dihexadecanoate
7	17.027	167510	0.32	Cyclic octaatomic sulfur
8	17.347	833951	1.59	Phytol
9	17.567	539606	1.03	9,12-Octadecadienoic acid (Z,Z)-
10	17.631	2803650	5.33	9,12,15-Octadecatrienoic acid, (Z,Z,Z)-
11	17.844	509153	0.97	Octadecanoic acid
12	20.835	2028763	3.86	Hexadecanoic acid, 2-hydroxy-1-(hydroxymethyl)ethyl ester
13	21.325	289219	0.55	A'-Neogammacer-22(29)-en-3-ol, acetate, (3.beta.,21.beta.)-
14	21.792	752768	1.43	Lup-20(29)-en-3-ol, acetate, (3.beta.)-
15	21.926	6354646	12.09	Lup-20(29)-en-3-ol, acetate, (3.beta.)-
16	22.208	262401	0.50	9,12-Octadecadienoic acid (Z,Z)-, 2,3-dihydroxypropyl ester
17	22.264	704797	1.34	Methyl (Z)-5,11,14,17-eicosatetraenoate
18	22.422	1985300	3.78	Octadecanoic acid, 2,3-dihydroxypropyl ester
19	23.069	559568	1.06	Fumaric acid, 2,4-dimethylpent-3-yl heptadecyl ester
20	23.681	221724	0.42	Hexatriacontane
21	23.896	99185	0.19	2-Thiophenecarboxylic acid, 5-nonyl-
22	24.688	178873	0.34	.gamma.-Tocopherol
23	25.012	1188195	2.26	Hentriacontane
24	25.199	2116203	4.02	.alpha.-Tocopherol-.beta.-D-mannoside
25	25.729	298567	0.57	Eicos-9-ene-1,20-diacetate
26	25.879	2794254	5.31	Campesterol
27	26.063	3988171	7.59	Stigmasterol
28	26.292	3323596	6.32	A'-Neogammacer-22(29)-en-3-one
29	26.475	940598	1.79	1-Triacontanol
30	26.540	3083164	5.86	.gamma.-Sitosterol
31	26.667	467554	0.89	Fucoesterol
32	26.900	1499468	2.85	.beta.-Amyrin
33	27.232	225707	0.43	9,19-Cyclolanost-24-en-3-ol, (3.beta.)-
34	27.330	3525874	6.71	.alpha.-Amyrin
35	27.675	2759003	5.25	12-Oleanen-3-yl acetate, (3.alpha.)-
36	27.896	1691489	3.22	Naphthalene, 1,2,3,4,4a,5,6,8a-octahydro-4a,8-dimethyl-2-(1-methylethenyl)-, [2R-(2-
		52576755	100.00	

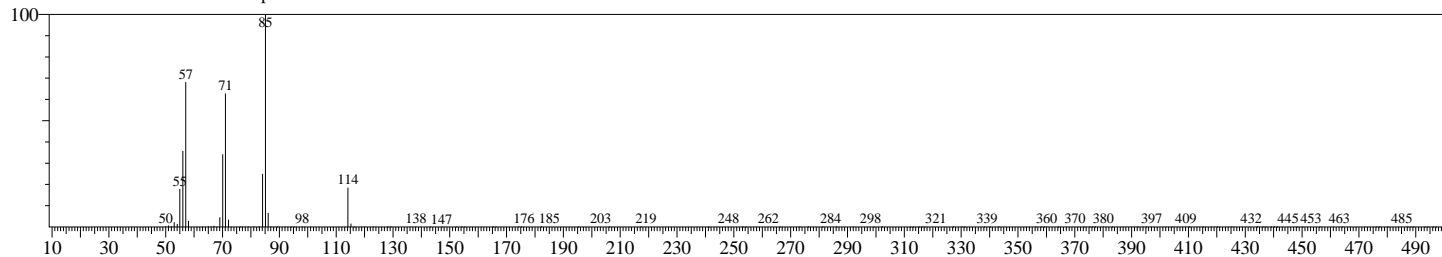
Library

<< Target >>

Line#:1 R.Time:3.158(Scan#:20) Retention Index:899! MassPeaks:204

RawMode:Averaged 3.150-3.167(19-21) BasePeak:85.10(18940)

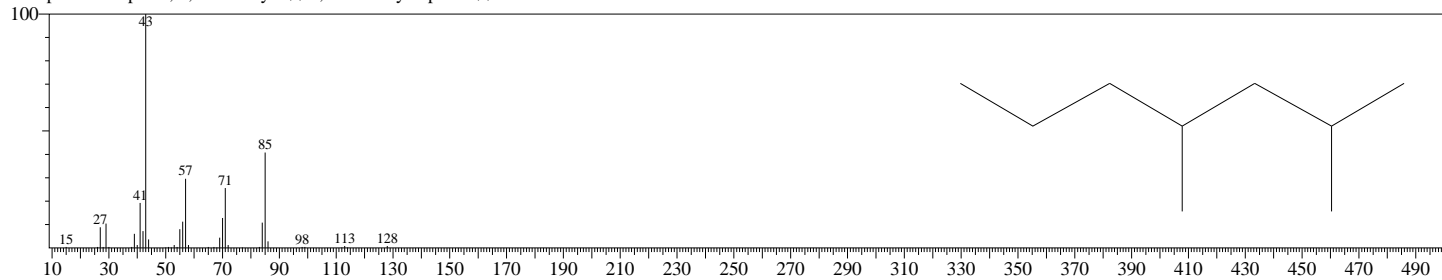
BG Mode:Calc. from Peak Group 1 - Event 1



Hit#:1 Entry:7404 Library:NIST08.LIB

SI:96 Formula:C9H20 CAS:2213-23-2 MolWeight:128 RetIndex:788

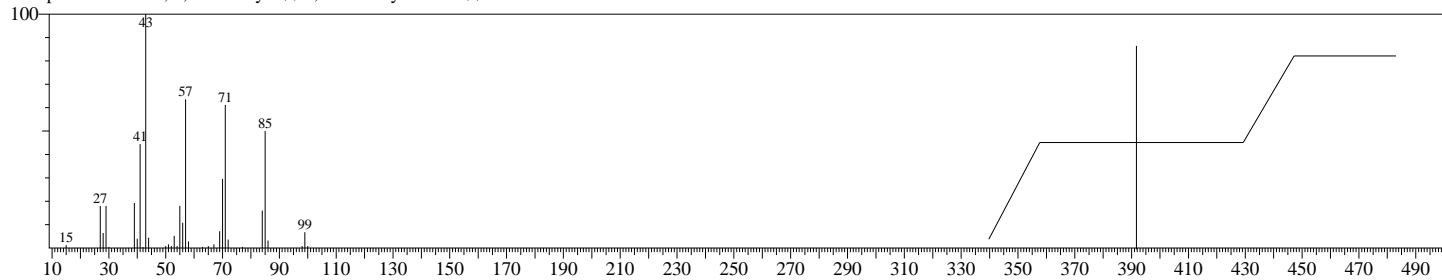
CompName:Heptane, 2,4-dimethyl- \$\$ 2,4-Dimethylheptane \$\$



Hit#:2 Entry:4234 Library:NIST08.LIB

SI:87 Formula:C8H18 CAS:563-16-6 MolWeight:114 RetIndex:732

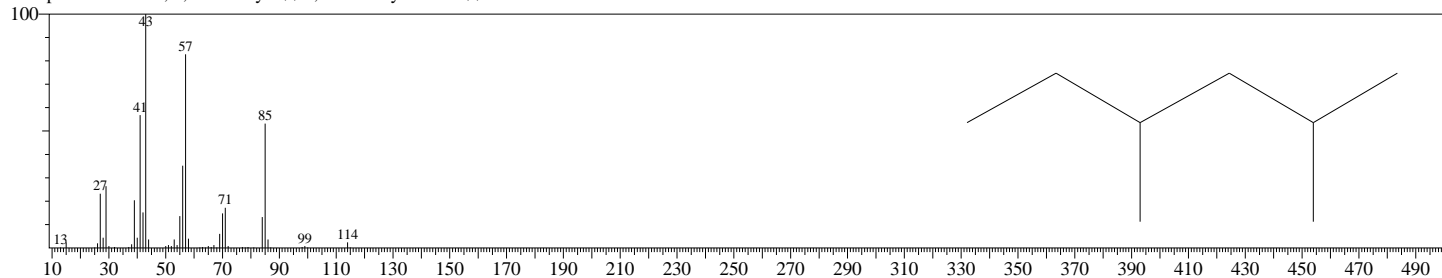
CompName:Hexane, 3,3-dimethyl- \$\$ 3,3-Dimethylhexane \$\$



Hit#:3 Entry:4231 Library:NIST08.LIB

SI:87 Formula:C8H18 CAS:589-43-5 MolWeight:114 RetIndex:688

CompName:Hexane, 2,4-dimethyl- \$\$ 2,4-Dimethylhexane \$\$

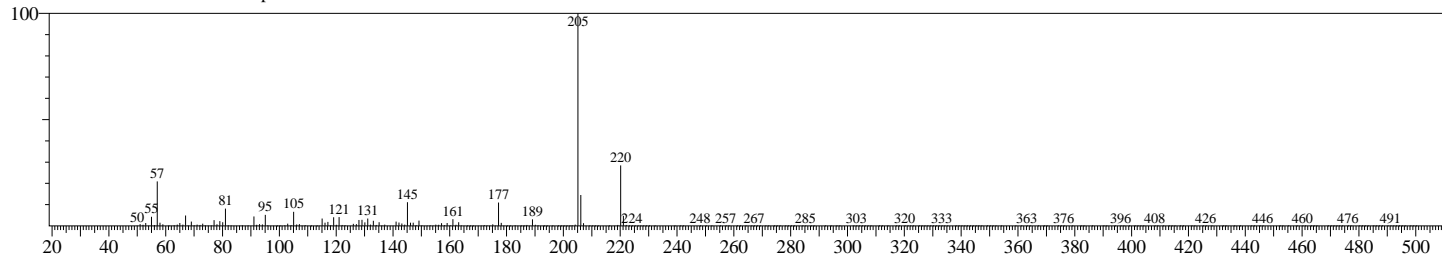


<< Target >>

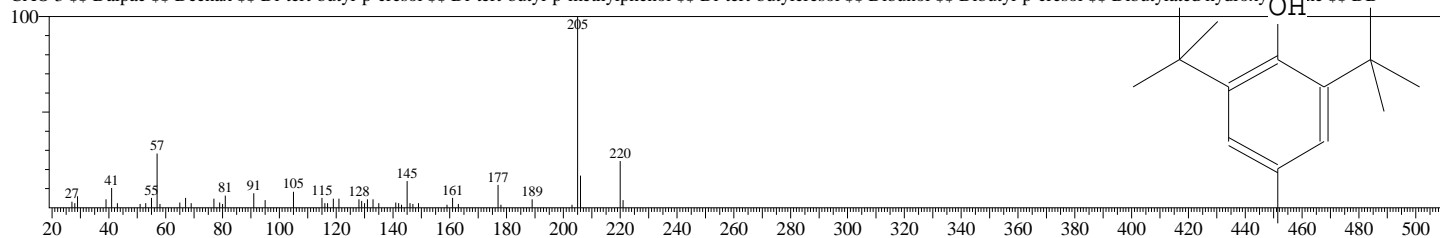
Line#:2 R.Time:11.583(Scan#:1031) Retention Index:1792 MassPeaks:328

RawMode:Averaged 11.575-11.592(1030-1032) BasePeak:205.10(265147)

BG Mode:Calc. from Peak Group 1 - Event 1



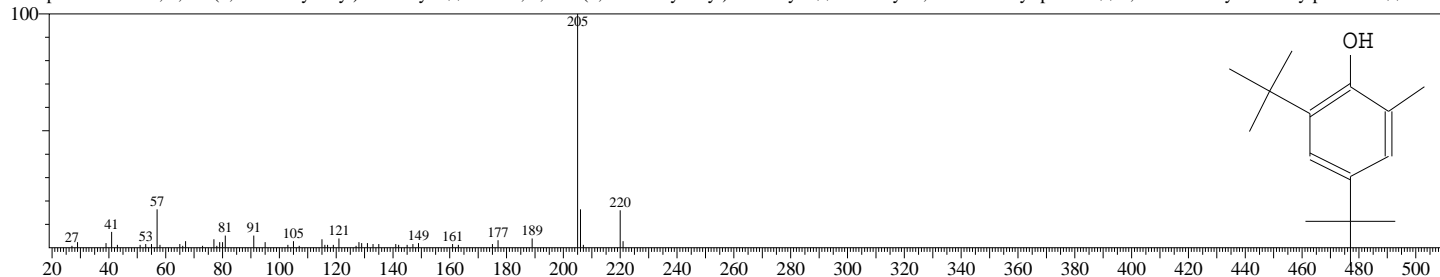
Hit#:1 Entry:56018 Library:NIST08.LIB

SI:94 Formula:C₁₅H₂₄O CAS:128-37-0 MolWeight:220 RetIndex:1668CompName:Butylated Hydroxytoluene \$ Phenol, 2,6-bis(1,1-dimethylethyl)-4-methyl- \$ p-Cresol, 2,6-di-tert-butyl- \$ Advstab 401 \$ Antioxidant DBPC \$ Antioxidant KB \$ Antioxi
dant 29 \$ Antioxidant 30 \$ Antioxidant 4K \$ AO 29 \$ AO 4K \$ Butylhydroxytoluene \$ BHT \$ BUKS \$ Catalin Antioxydant 1 \$ Catalin CAO-3 \$ Chemanox 11 \$ CAO 1 \$ \$
CAO 3 \$ Dalpac \$ Deenax \$ Di-tert-butyl-p-cresol \$ Di-tert-butyl-p-methylphenol \$ Di-tert-butylcresol \$ Dibunol \$ Dibutyl-p-cresol \$ Dibutylated hydroxy

Hit#:2 Entry:56017 Library:NIST08.LIB

SI:91 Formula:C₁₅H₂₄O CAS:616-55-7 MolWeight:220 RetIndex:1668

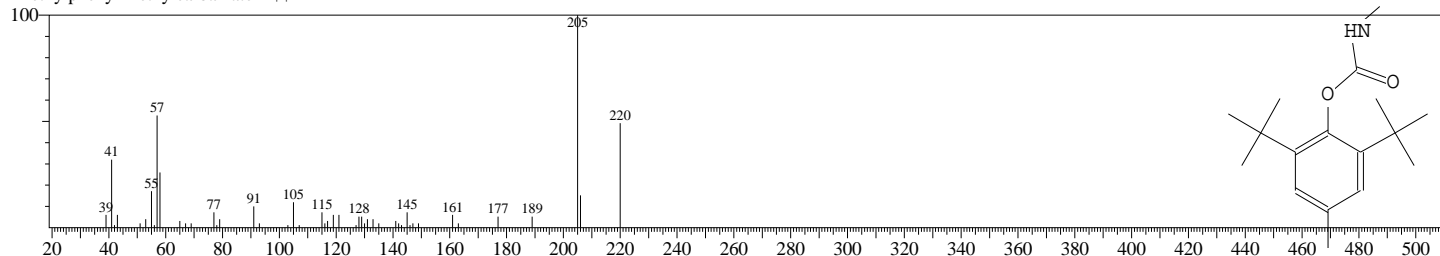
CompName:Phenol, 4,6-di(1,1-dimethylethyl)-2-methyl- \$ Phenol, 2,4-bis(1,1-dimethylethyl)-6-methyl- \$ 6-Methyl-2,4-di-tert-butyl-phenol \$ 2,4-Ditert-butyl-6-methylphenol # \$



Hit#:3 Entry:95568 Library:NIST08.LIB

SI:85 Formula:C₁₇H₂₇NO₂ CAS:1918-11-2 MolWeight:277 RetIndex:2026

CompName:Phenol, 2,6-bis(1,1-dimethylethyl)-4-methyl-, methylcarbamate \$ Carbamic acid, methyl-, 2,6-di-tert-butyl-p-tolyl ester \$ Azak \$ Terbutol \$ Terbutcarb \$ 2,6-Ditert-butyl-4-methylphenyl methylcarbamate # \$

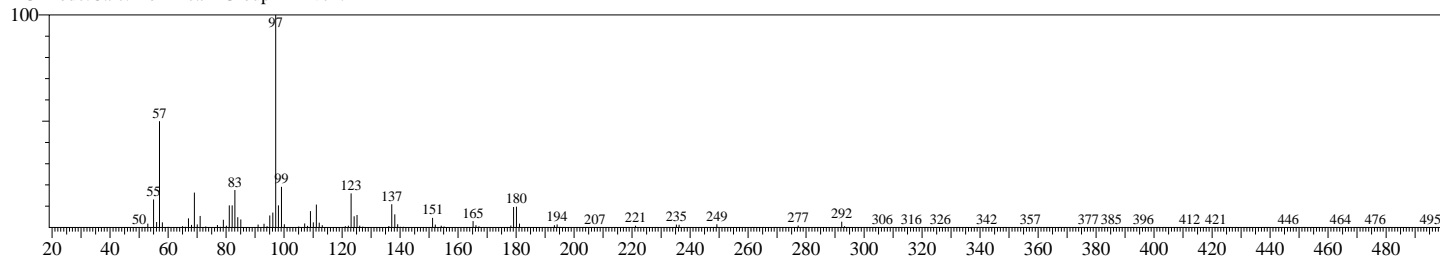


<< Target >>

Line#:3 R.Time:13.225(Scan#:1228) Retention Index:1961 MassPeaks:268

RawMode:Averaged 13.217-13.233(1227-1229) BasePeak:97.10(18158)

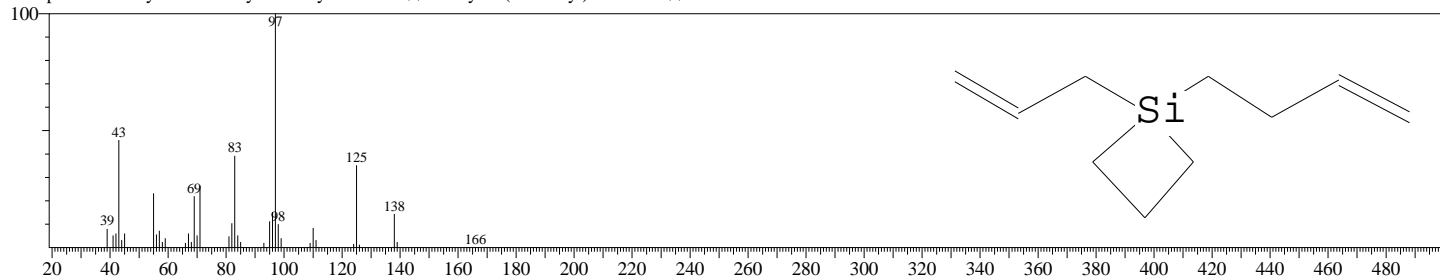
BG Mode:Calc. from Peak Group 1 - Event 1



Hit#:1 Entry:23254 Library:NIST08.LIB

SI:76 Formula:C₁₀H₁₈Si CAS:127597-51-7 MolWeight:166 RetIndex:935

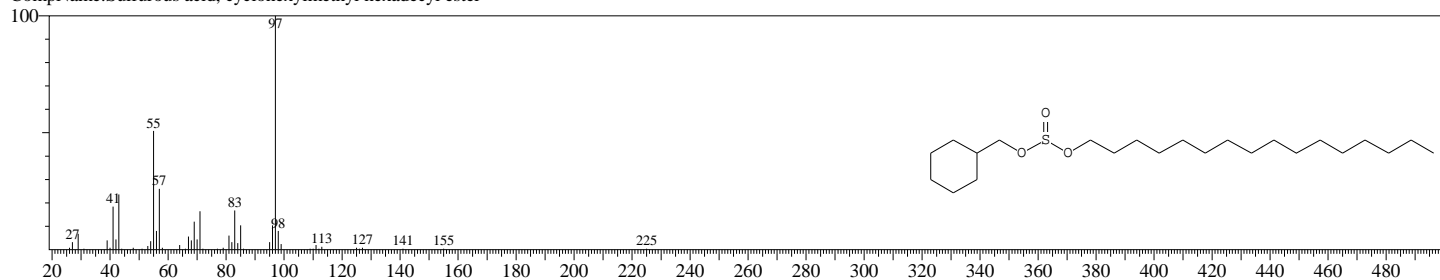
CompName:1-Allyl-1-but-3-enyl-1-silacyclobutane \$ 1-Allyl-1-(3-butenyl)siletane # \$



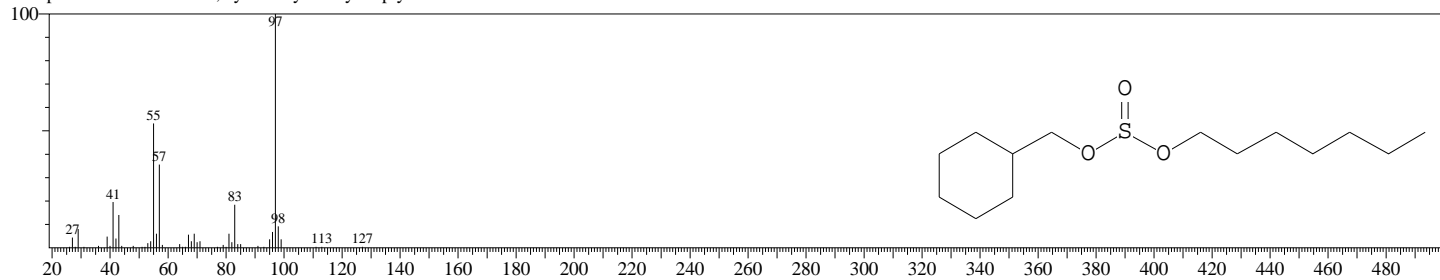
Hit#:2 Entry:168543 Library:NIST08.LIB

SI:75 Formula:C₂₃H₄₆O₃S CAS:0-00-0 MolWeight:402 RetIndex:2994

CompName:Sulfurous acid, cyclohexylmethyl hexadecyl ester

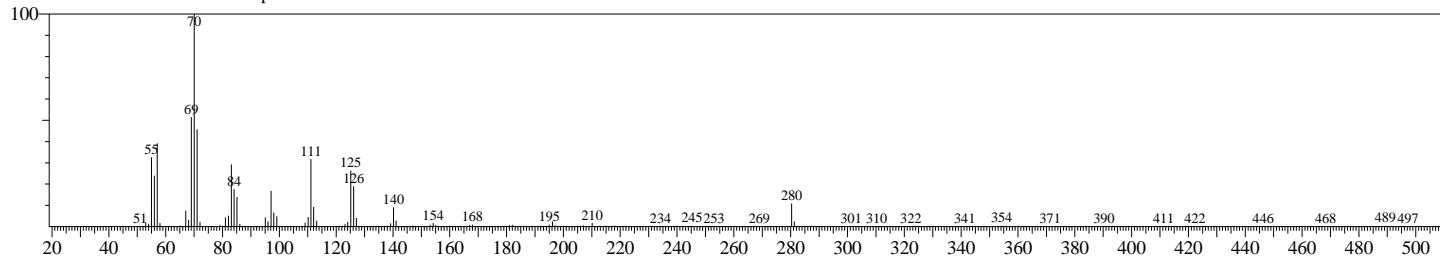


Hit#:3 Entry:94735 Library:NIST08.LIB
 SI:75 Formula:C14H28O3S CAS:0-00-0 MolWeight:276 RetIndex:2100
 CompName:Sulfurous acid, cyclohexylmethyl heptyl ester

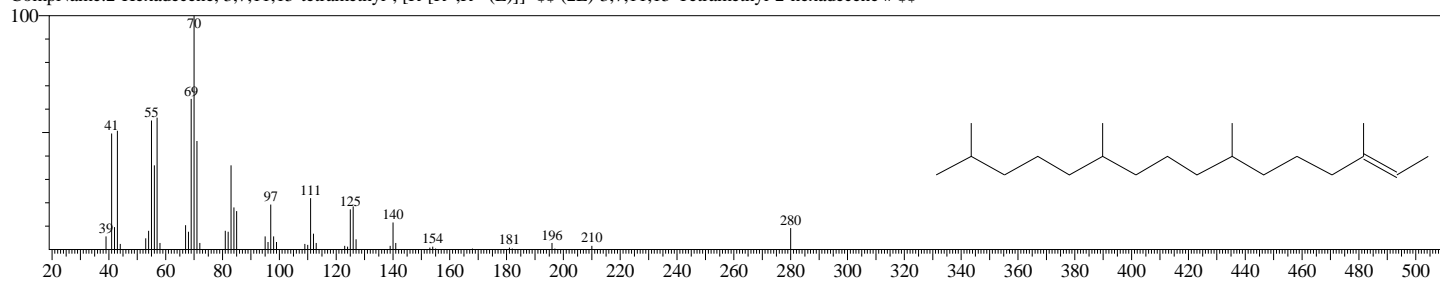


<< Target >>

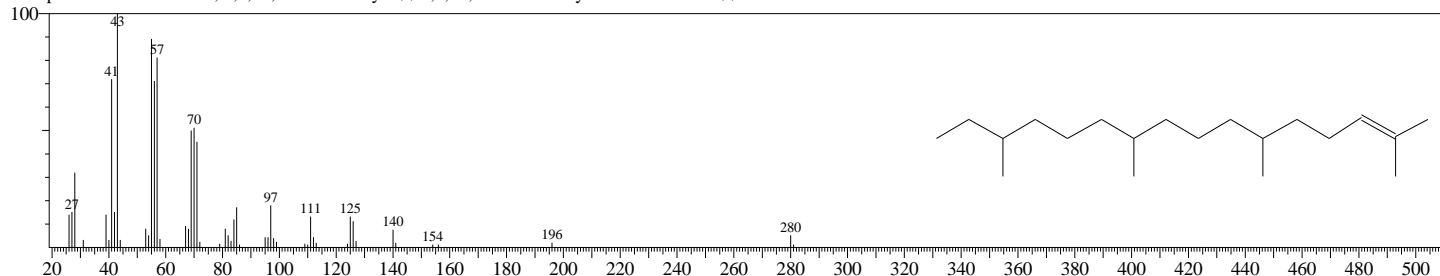
Line#:4 R.Time:14.575(Scan#:1390) Retention Index:2107 MassPeaks:252
 RawMode:Averaged 14.567-14.583(1389-1391) BasePeak:70.05(7163)
 BG Mode:Calc. from Peak Group 1 - Event 1



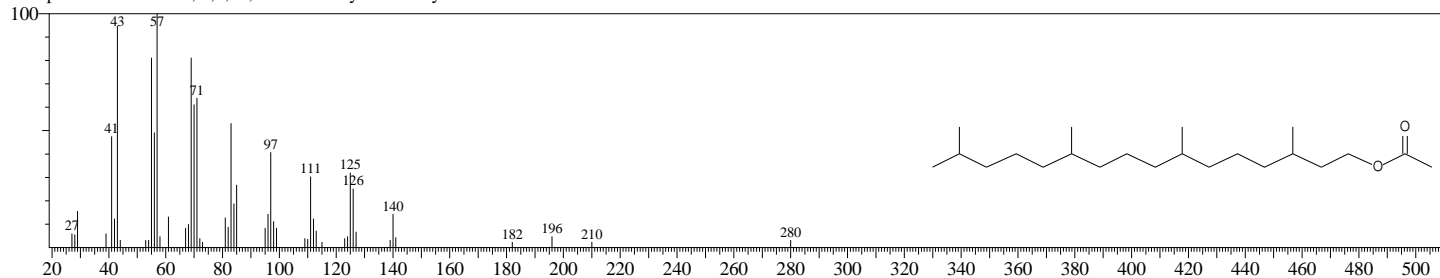
Hit#:1 Entry:97786 Library:NIST08.LIB
 SI:94 Formula:C20H40 CAS:14237-73-1 MolWeight:280 RetIndex:1802
 CompName:2-Hexadecene, 3,7,11,15-tetramethyl-, [R-[R*,R*-(E)]]- (2E)-3,7,11,15-Tetramethyl-2-hexadecene # \$\$



Hit#:2 Entry:97775 Library:NIST08.LIB
 SI:84 Formula:C20H40 CAS:56554-34-8 MolWeight:280 RetIndex:1802
 CompName:2-Hexadecene, 2,6,10,14-tetramethyl- (2E)-2,6,10,14-Tetramethyl-2-hexadecene # \$\$

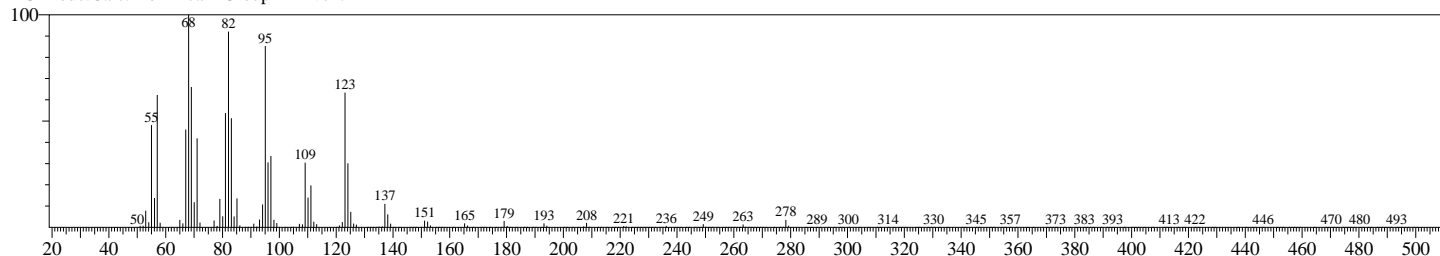


Hit#:3 Entry:139317 Library:NIST08.LIB
 SI:84 Formula:C22H44O2 CAS:0-00-0 MolWeight:340 RetIndex:2119
 CompName:Acetic acid, 3,7,11,15-tetramethyl-hexadecyl ester

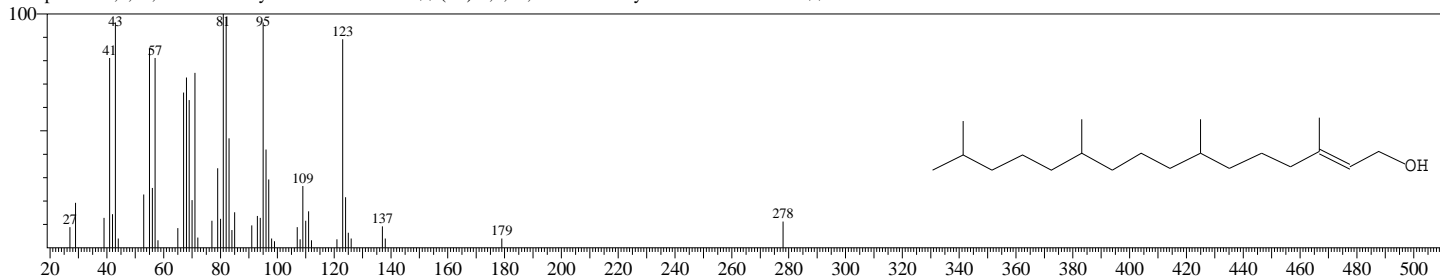


<< Target >>

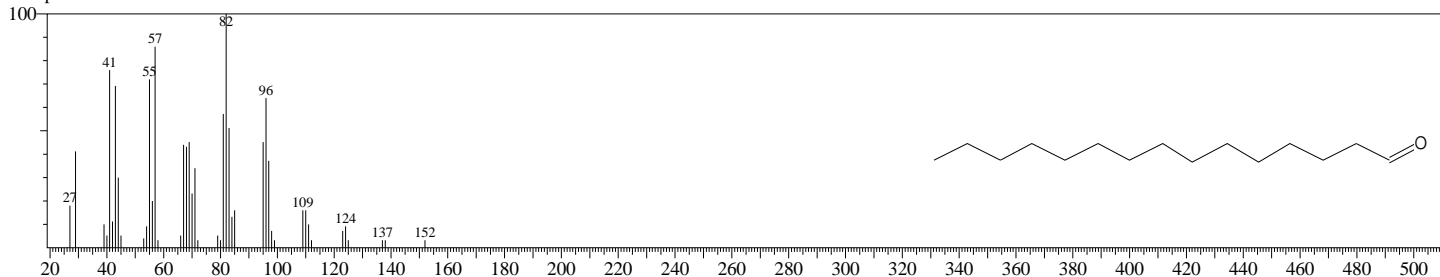
Line#:5 R.Time:14.642(Scan#:1398) Retention Index:2114 MassPeaks:299
 RawMode:Averaged 14.633-14.650(1397-1399) BasePeak:68.05(66714)
 BG Mode:Calc. from Peak Group 1 - Event 1



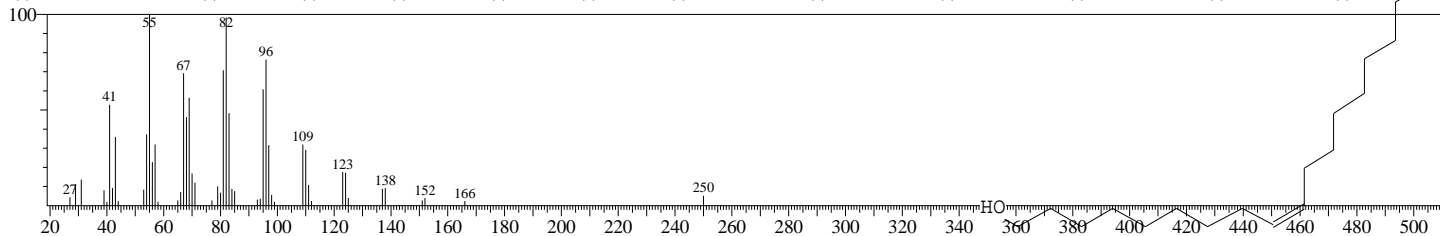
Hit#:1 Entry:109355 Library:NIST08.LIB
 SI:90 Formula:C20H40O CAS:102608-53-7 MolWeight:296 RetIndex:2045
 CompName:3,7,11,15-Tetramethyl-2-hexadecen-1-ol (2E)-3,7,11,15-Tetramethyl-2-hexadecen-1-ol # \$\$



Hit#:2 Entry:60326 Library:NIST08.LIB
 SI:87 Formula:C15H30O CAS:2765-11-9 MolWeight:226 RetIndex:1701
 CompName:Pentadecanal-

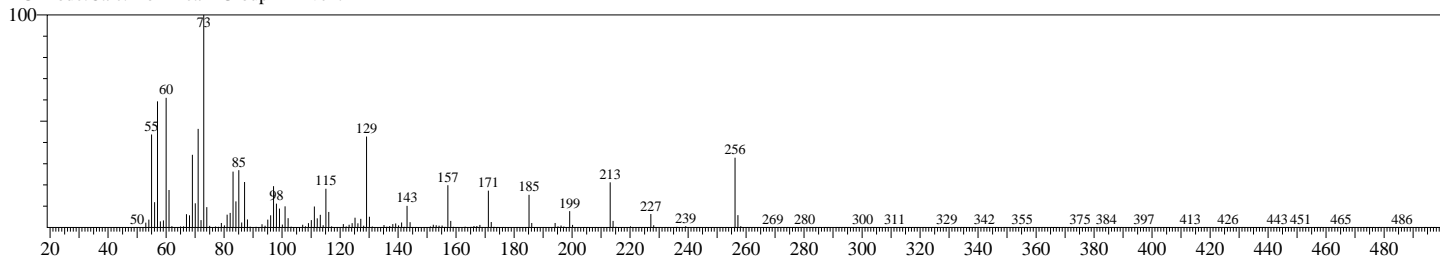


Hit#:3 Entry:89232 Library:NIST08.LIB
 SI:87 Formula:C18H36O CAS:143-28-2 MolWeight:268 RetIndex:2061
 CompName:Oleyl Alcohol \$ 9-Octadecen-1-ol, (Z)- \$ cis-9-Octadecen-1-ol \$ cis-9-Octadecenyl Alcohol \$ Adol 320 \$ Adol 85 \$ Atalco O \$ Cachalot O-1 \$ Conditioner 1 \$ Crod
 acol-O \$ Dermaffine \$ HD-Ocenoil 90/95 \$ Loxanol M \$ Loxanol 95 \$ Ocenoil \$ Oleic alcohol \$ Oleo alcohol \$ Oleol \$ Satol \$ Sipol O \$ Siponol OC \$ (Z)-9-Octadecen-1-ol
 \$ cis-9-Octadecen-1-ol \$ Adol 330 \$ Adol 34 \$ Adol 340 \$ Adol 80 \$ Adol 90 \$ Cachalot O-15 \$ Cachalot O-3 \$ Cachalot O-8 \$ Crodacol A.10 \$ H.D. eutanol \$

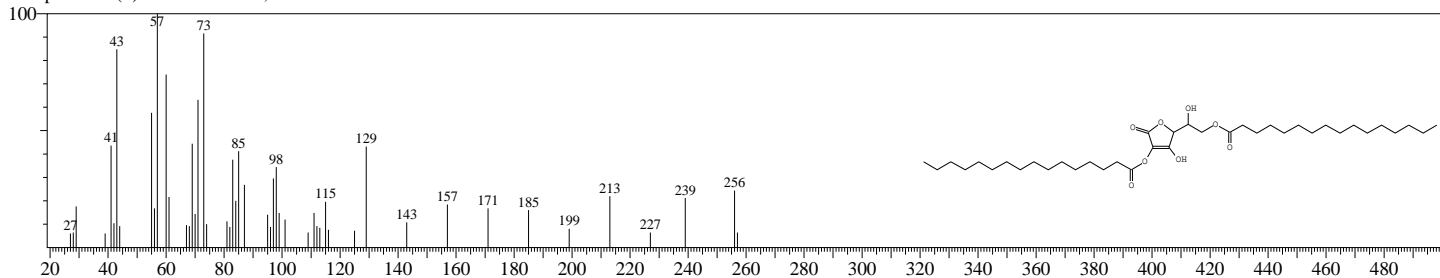


<< Target >>

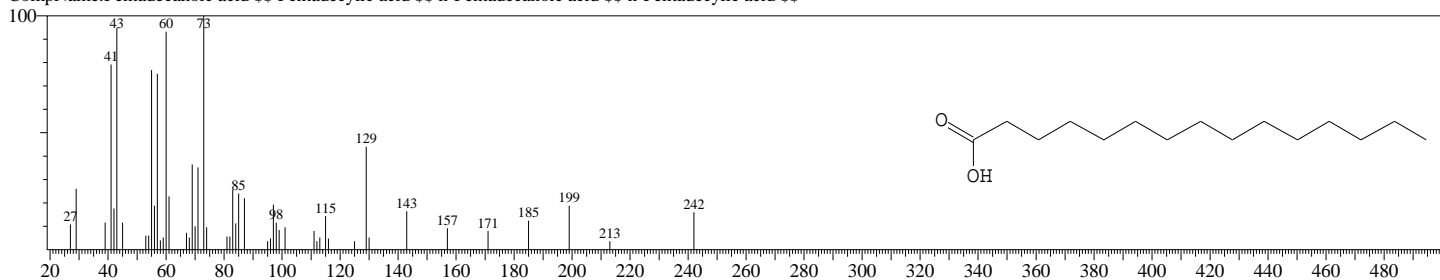
Line#:6 R.Time:15.925(Scan#:1552) Retention Index:2262 MassPeaks:319
 RawMode:Averaged 15.917-15.933(1551-1553) BasePeak:73.00(92521)
 BG Mode:Calc. from Peak Group 1 - Event 1



Hit#:1 Entry:189990 Library:NIST08.LIB
 SI:90 Formula:C38H68O8 CAS:28474-90-0 MolWeight:652 RetIndex:4765
 CompName:l-(+)-Ascorbic acid 2,6-dihexadecanoate



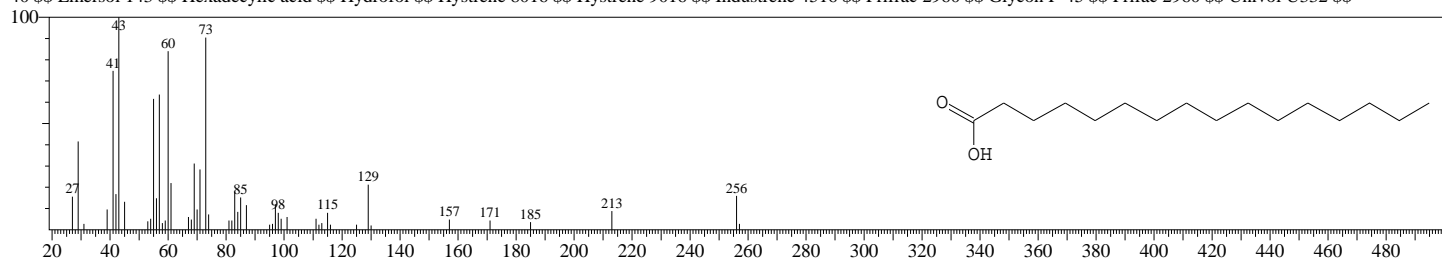
Hit#:2 Entry:70950 Library:NIST08.LIB
 SI:89 Formula:C15H30O2 CAS:1002-84-2 MolWeight:242 RetIndex:1869
 CompName:Pentadecanoic acid \$ Pentadecylic acid \$ n-Pentadecanoic acid \$



Hit#:3 Entry:80732 Library:NIST08.LIB

SI:88 Formula:C16H32O2 CAS:57-10-3 MolWeight:256 RetIndex:1968

CompName:n-Hexadecanoic acid \$ Hexadecanoic acid \$ n-Hexadecanoic acid \$ Palmitic acid \$ Pentadecanecarboxylic acid \$ 1-Pentadecanecarboxylic acid \$ Cetyllic acid \$ Emersol 140 \$ Emersol 143 \$ Hexadecyl acid \$ Hydrofol \$ Hystrene 8016 \$ Hystrene 9016 \$ Industrene 4516 \$ Prifrac 2960 \$ Glycon P-45 \$ Prifac 2960 \$ Univol U332 \$

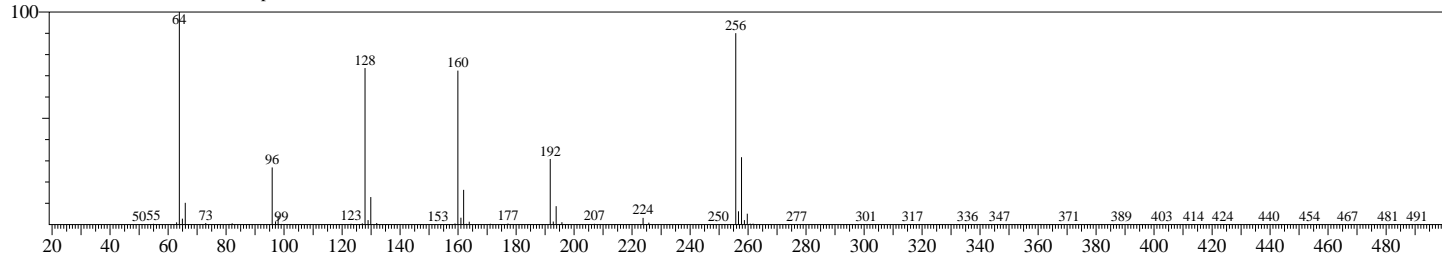


<< Target >>

Line#:7 R.Time:17.025(Scan#:1684) Retention Index:2394 MassPeaks:242

RawMode:Averaged 17.017-17.033(1683-1685) BasePeak:63.90(14146)

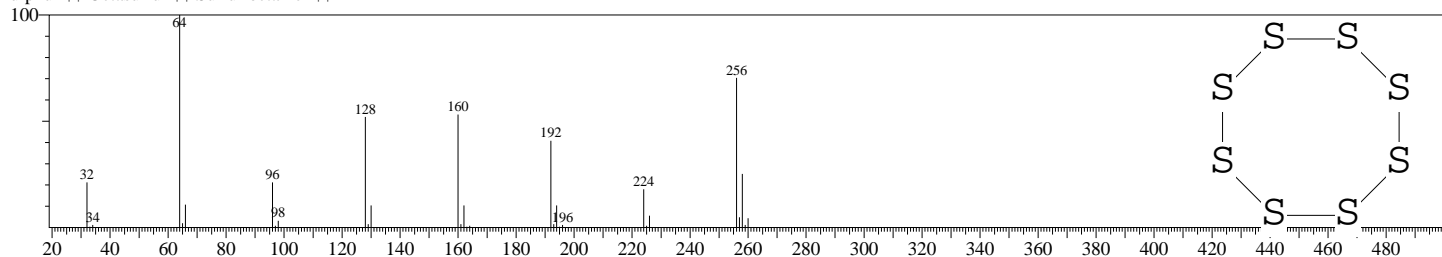
BG Mode:Calc. from Peak Group 1 - Event 1



Hit#:1 Entry:80887 Library:NIST08.LIB

SI:93 Formula:S8 CAS:10544-50-0 MolWeight:256 RetIndex:0

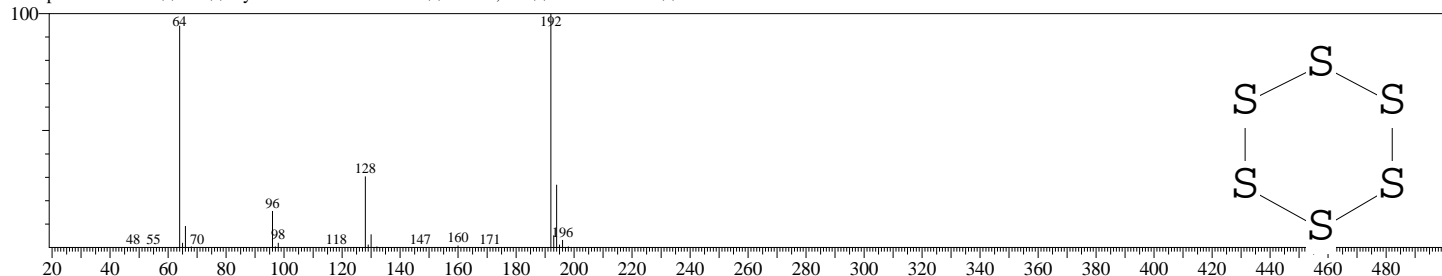
CompName:Cyclic octaatomic sulfur \$ Sulfur, mol. (S8) \$ Cyclooctasulfur \$ Octathiocane \$ Orthorhombic sulfur \$ Sulfur (S8) \$ Sulfur molecule (S8) \$ S8 \$ Sulfur \$ Cyclooctasulphur \$ Octasulfur \$ Sulfur octamer \$



Hit#:2 Entry:38066 Library:NIST08.LIB

SI:66 Formula:S6 CAS:13798-23-7 MolWeight:192 RetIndex:0

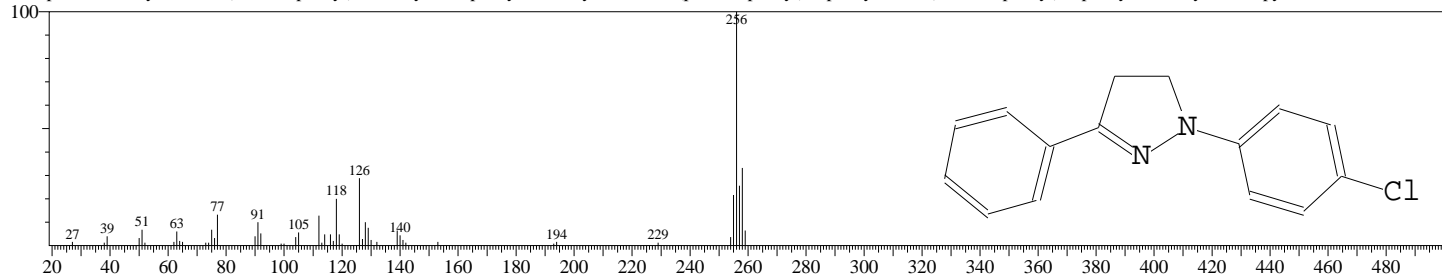
CompName:Sulfur \$ S6 \$ Cyclic hexaatomic sulfur \$ Sulfur, S6 \$ Hexathiane # \$



Hit#:3 Entry:80536 Library:NIST08.LIB

SI:48 Formula:C15H13ClN2 CAS:2535-78-6 MolWeight:256 RetIndex:2149

CompName:1H-Pyrazole, 1-(4-chlorophenyl)-4,5-dihydro-3-phenyl- \$ 2-Pyrazoline, 1-(p-chlorophenyl)-3-phenyl- \$ 1-(4-Chlorophenyl)-3-phenyl-4,5-dihydro-1H-pyrazole # \$

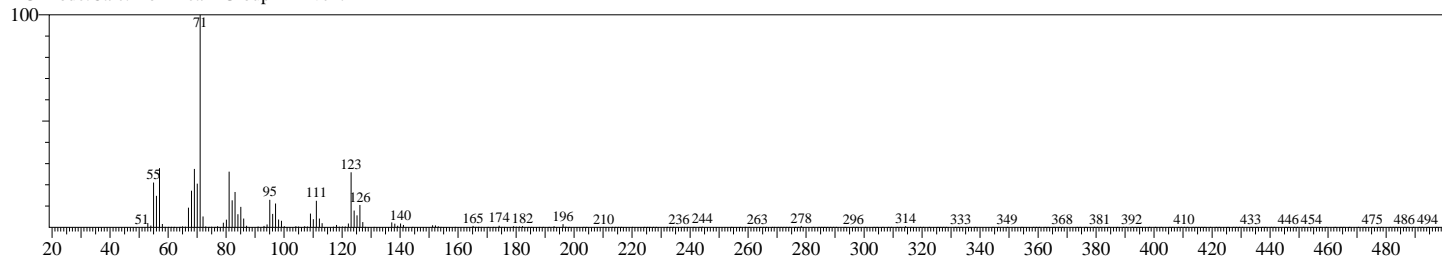


<< Target >>

Line#:8 R.Time:17.350(Scan#:1723) Retention Index:2435 MassPeaks:332

RawMode:Averaged 17.342-17.358(1722-1724) BasePeak:71.05(69264)

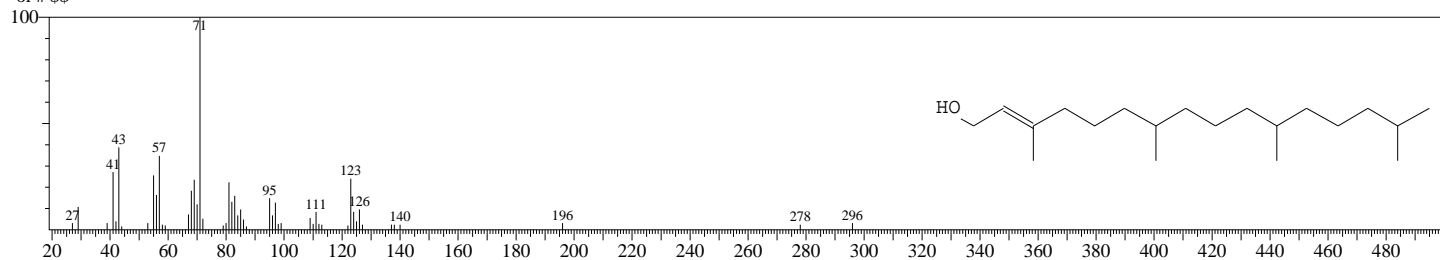
BG Mode:Calc. from Peak Group 1 - Event 1



Hit#:1 Entry:109353 Library:NIST08.LIB

SI:95 Formula:C₂₀H₄₀O CAS:150-86-7 MolWeight:296 RetIndex:2045

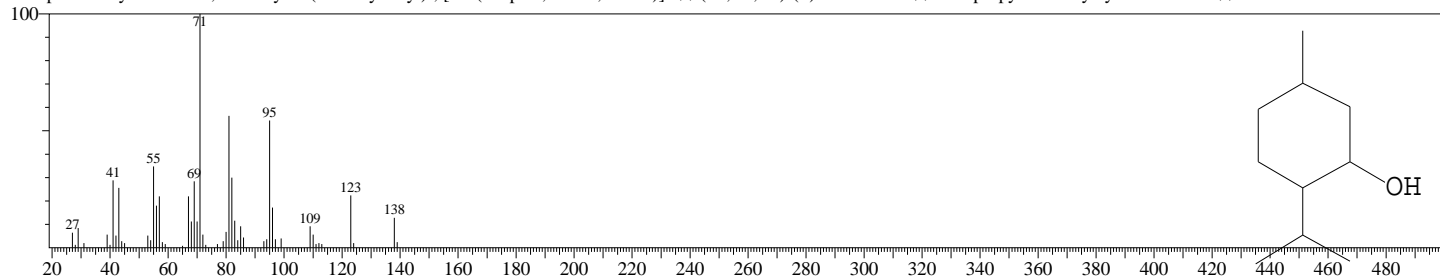
CompName:Phytol \$\$ 2-Hexadecen-1-ol, 3,7,11,15-tetramethyl-, [R-[R*,R*(E)]]- \$\$ trans-Phytol \$\$ 3,7,11,15-Tetramethyl-2-hexadecen-1-ol (2E)-3,7,11,15-Tetramethyl-2-hexadecen-1-ol # \$\$



Hit#:2 Entry:18478 Library:NIST08.LIB

SI:85 Formula:C₁₀H₂₀O CAS:23283-97-8 MolWeight:156 RetIndex:1164

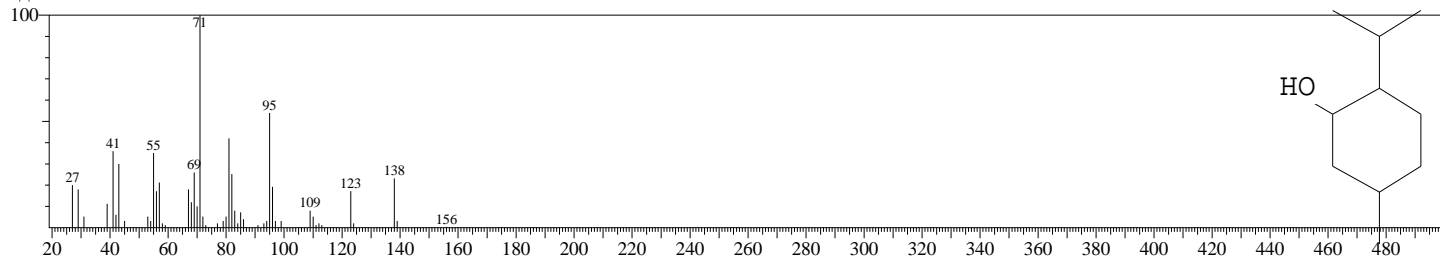
CompName:Cyclohexanol, 5-methyl-2-(1-methylethyl)-, [1S-(1.alpha.,2.beta.,5.beta.)]- (1S,2R,5R)-(+)-Isomenthol \$\$ 2-Isopropyl-5-methylcyclohexanol # \$\$



Hit#:3 Entry:18486 Library:NIST08.LIB

SI:84 Formula:C₁₀H₂₀O CAS:491-01-0 MolWeight:156 RetIndex:1164

CompName:Cyclohexanol, 5-methyl-2-(1-methylethyl)-, (1.alpha.,2.alpha.,5.beta.)- \$\$ Menthol, trans-1,3,trans-1,4- \$\$ Neo-Menthol \$\$ Neomenthol \$\$ 2-Isopropyl-5-methylcyclohexanol # \$\$

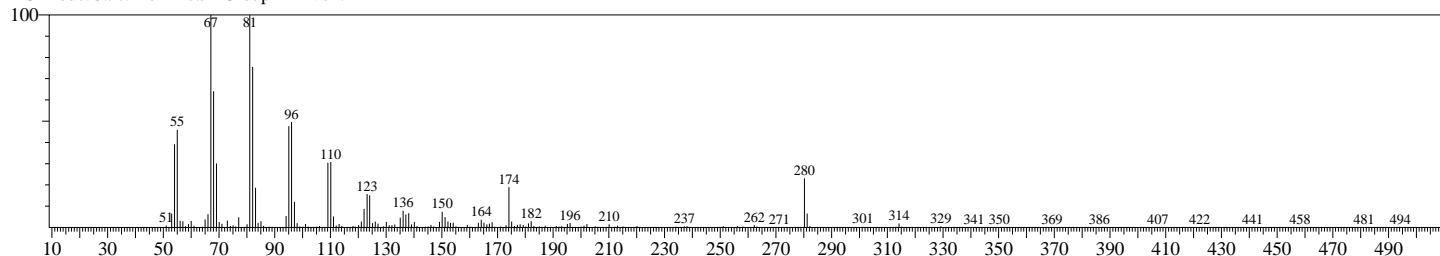


<< Target >>

Line#:9 R.Time:17.567(Scan#:1749) Retention Index:2463 MassPeaks:290

RawMode:Averaged 17.558-17.575(1748-1750) BasePeak:67.05(8356)

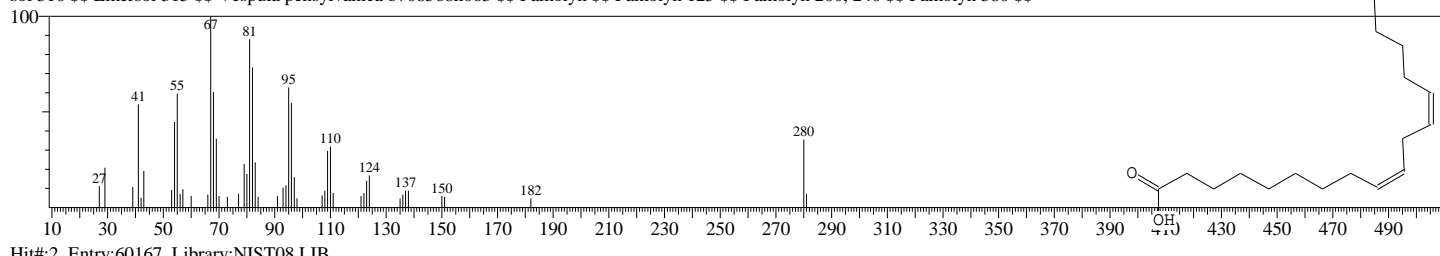
BG Mode:Calc. from Peak Group 1 - Event 1



Hit#:1 Entry:97690 Library:NIST08.LIB

SI:89 Formula:C₁₈H₃₂O₂ CAS:60-33-3 MolWeight:280 RetIndex:2183

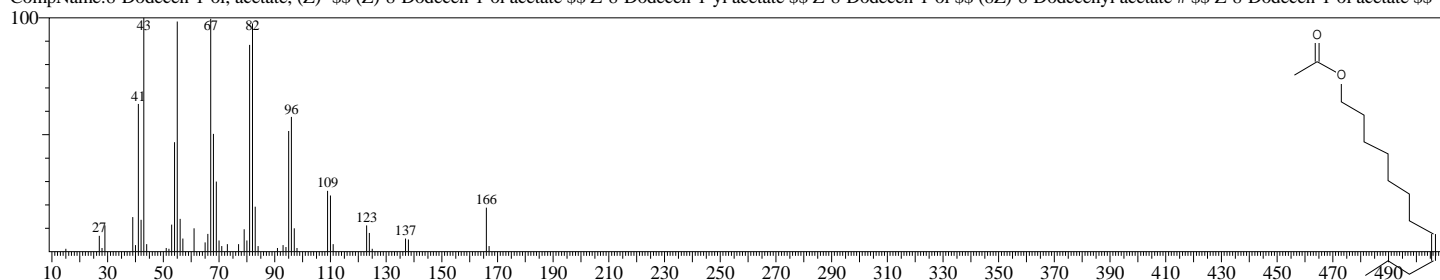
CompName:9,12-Octadecadienoic acid (Z,Z)- \$\$ cis-9,cis-12-Octadecadienoic acid \$\$ Grape seed oil \$\$ Linoleic acid \$\$ Linoleic acid \$\$ Linoleic acid \$\$ Polylin No. 515 \$\$ Telfairic acid \$\$ Unifac 6550 \$\$ 9,12-Octadecadienoic acid \$\$ Leinoic acid \$\$ 9,12-Linoleic acid \$\$ cis,cis-9,12-octadecadienoic acid \$\$ Linoelaidic acid \$\$ Linoleic acid 95 \$\$ Emer sol 310 \$\$ Emersol 315 \$\$ Vesputa pensylvanica b708568k063 \$\$ Pamolyn \$\$ Pamolyn 125 \$\$ Pamolyn 200, 240 \$\$ Pamolyn 380 \$\$



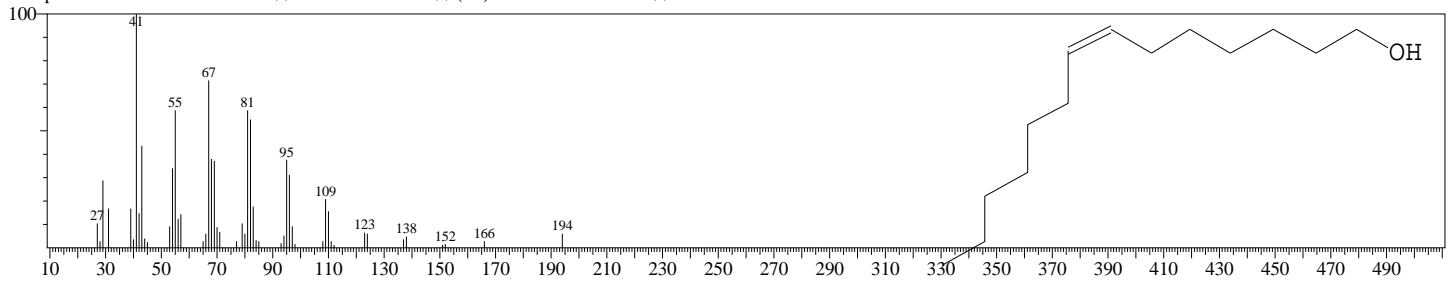
Hit#:2 Entry:60167 Library:NIST08.LIB

SI:84 Formula:C₁₄H₂₆O₂ CAS:28079-04-1 MolWeight:226 RetIndex:1588

CompName:8-Dodecen-1-ol, acetate, (Z)- \$\$ (Z)-8-Dodecen-1-ol acetate \$\$ Z-8-Dodecen-1-yl acetate \$\$ Z-8-Dodecenyl acetate # \$\$ Z-8-Dodecen-1-ol acetate \$\$

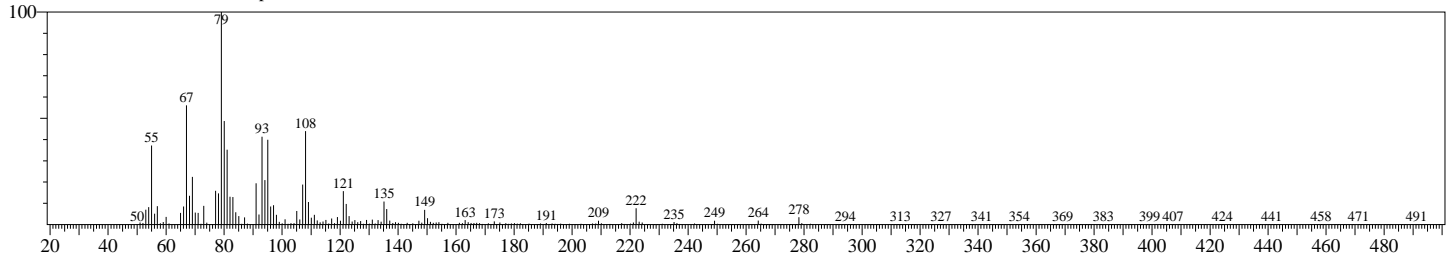


Hit#:3 Entry:50907 Library:NIST08.LIB
 SI:84 Formula:C14H28O CAS:40642-43-1 MolWeight:212 RetIndex:1664
 CompName:cis-7-Tetradecen-1-ol \$\$ Z-7-Tetradecenol \$\$ (7Z)-7-Tetradecen-1-ol # \$\$

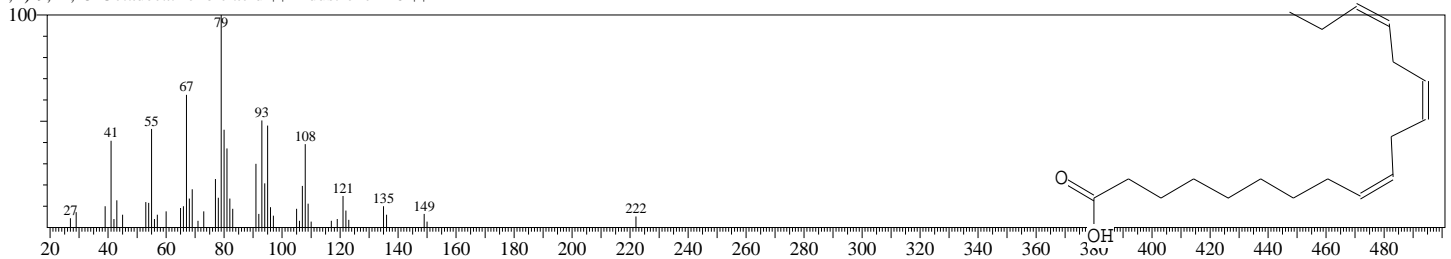


<< Target >>

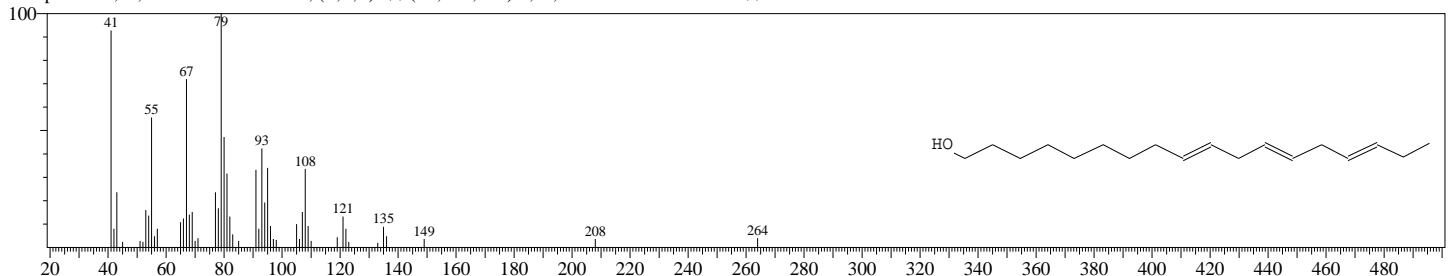
Line#:10 R.Time:17.633(Scan#:1757) Retention Index:2471 MassPeaks:317
 RawMode:Averaged 17.625-17.642(1756-1758) BasePeak:79.05(81047)
 BG Mode:Calc. from Peak Group 1 - Event 1



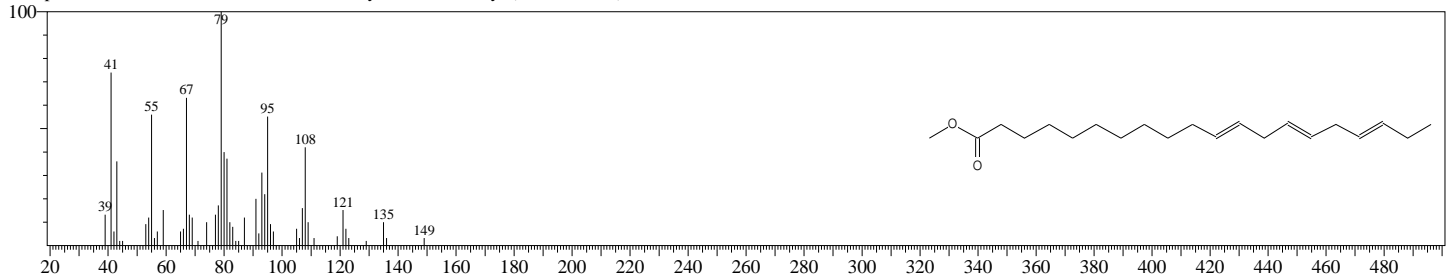
Hit#:1 Entry:96366 Library:NIST08.LIB
 SI:94 Formula:C18H30O2 CAS:463-40-1 MolWeight:278 RetIndex:2191
 CompName:9,12,15-Octadecatrienoic acid, (Z,Z,Z)- \$\$ Linolenic acid \$\$.alpha.-Linolenic acid \$\$ All-cis-9,12,15-Octadecatrienoic acid \$\$ cis,cis,cis-9,12,15-Octadecatrienoic acid \$\$ (Z,Z,Z)-9,12,15-Octadecatrienoic acid \$\$ Industrene 120 \$\$



Hit#:2 Entry:86366 Library:NIST08.LIB
 SI:91 Formula:C18H32O CAS:506-44-5 MolWeight:264 RetIndex:2077
 CompName:9,12,15-Octadecatrien-1-ol, (Z,Z,Z)- \$\$ (9E,12E,15E)-9,12,15-Octadecatrien-1-ol # \$\$

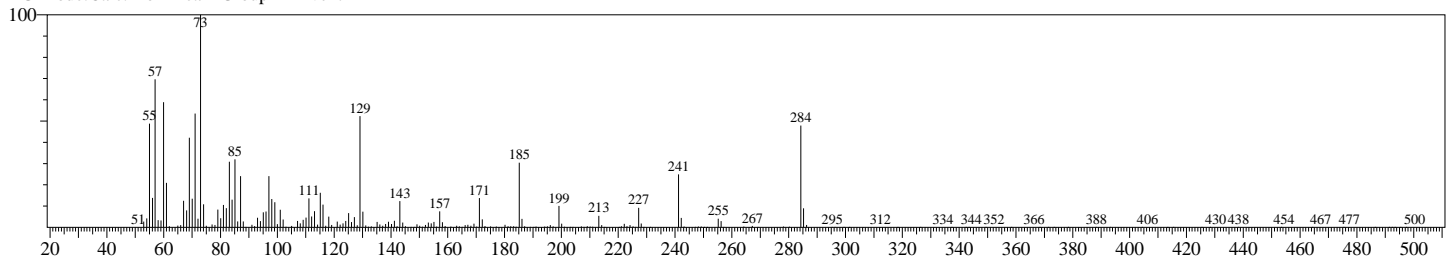


Hit#:3 Entry:126278 Library:NIST08.LIB
 SI:90 Formula:C21H36O2 CAS:55682-88-7 MolWeight:320 RetIndex:2300
 CompName:11,14,17-Eicosatrienoic acid, methyl ester \$\$ Methyl (11E,14E,17E)-11,14,17-icosatrienoate # \$\$



<< Target >>

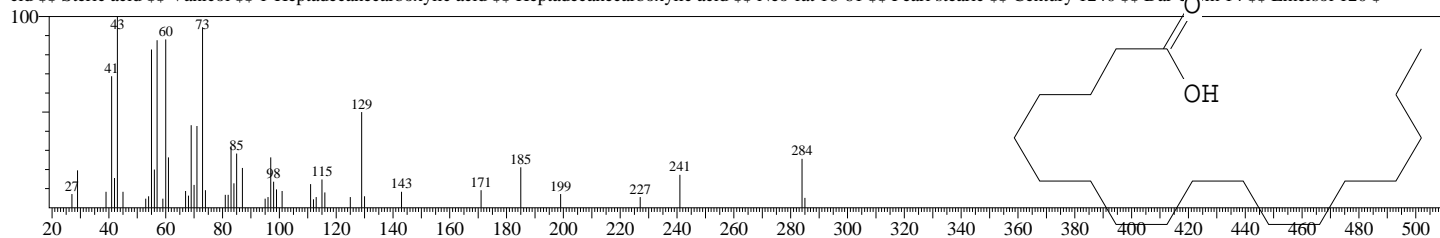
Line#:11 R.Time:17.842(Scan#:1782) Retention Index:2497 MassPeaks:293
 RawMode:Averaged 17.833-17.850(1781-1783) BasePeak:73.00(11745)
 BG Mode:Calc. from Peak Group 1 - Event 1



Hit#:1 Entry:100791 Library:NIST08.LIB

SI:92 Formula:C18H36O2 CAS:57-11-4 MolWeight:284 RetIndex:2167

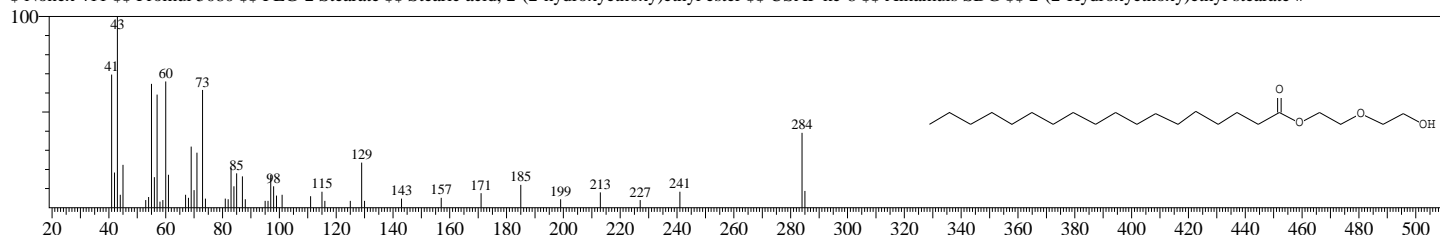
CompName:Octadecanoic acid \$\$\$\$ Stearic acid \$\$\$\$ n-Octadecanoic acid \$\$\$\$ Humko Industrere R \$\$\$\$ Hydrofol Acid 150 \$\$\$\$ Hystrene S-97 \$\$\$\$ Hystrene T-70 \$\$\$\$ Hystrene 80 \$\$\$\$ Industrere R \$\$\$\$ Kam 1000 \$\$\$\$ Kam 2000 \$\$\$\$ Kam 3000 \$\$\$\$ Neo-Fat 18 \$\$\$\$ Neo-Fat 18-53 \$\$\$\$ Neo-Fat 18-54 \$\$\$\$ Neo-Fat 18-55 \$\$\$\$ Neo-Fat 18-59 \$\$\$\$ NAA 173 \$\$\$\$ PD 185 \$\$\$\$ Stearex Beads \$\$\$\$ Stearophanic acid \$\$\$\$ Steric acid \$\$\$\$ Vanicol \$\$\$\$ 1-Heptadecanecarboxylic acid \$\$\$\$ Heptadecanecarboxylic acid \$\$\$\$ Neo-fat 18-61 \$\$\$\$ Pearl stearic \$\$\$\$ Century 1240 \$\$\$\$ Dar-c-m 14 \$\$\$\$ Emersol 120 \$



Hit#:2 Entry:156739 Library:NIST08.LIB

SI:90 Formula:C22H44O4 CAS:106-11-6 MolWeight:372 RetIndex:2694

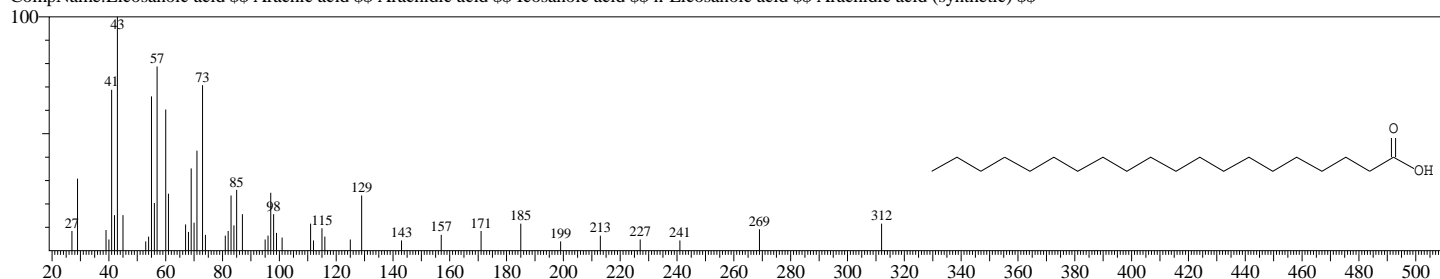
CompName:Octadecanoic acid, 2-(2-hydroxyethoxy)ethyl ester \$\$\$\$ Aqua Cera \$\$\$\$ Atlas G 2146 \$\$\$\$ Cerasynt \$\$\$\$ Cerasynt Special \$\$\$\$ Clindrol SDG \$\$\$\$ Diethylene glycol monostearate \$\$\$\$ Diethylene glycol stearate \$\$\$\$ Diethylene glycol, monoester with stearic acid \$\$\$\$ Diglycol monostearate \$\$\$\$ Diglycol stearate \$\$\$\$ Emcol CAD \$\$\$\$ Emcol ds-50 cad \$\$\$\$ Emcol ETS \$\$\$\$ Glyco stearin \$\$\$\$ Nonex 411 \$\$\$\$ Promul 5080 \$\$\$\$ PEG-2 Stearate \$\$\$\$ Stearic acid, 2-(2-hydroxyethoxy)ethyl ester \$\$\$\$ USAF ke-8 \$\$\$\$ Alkamuls SDG \$\$\$\$ 2-(2-Hydroxyethoxy)ethyl stearate #



Hit#:3 Entry:120718 Library:NIST08.LIB

SI:87 Formula:C20H40O2 CAS:506-30-9 MolWeight:312 RetIndex:2366

CompName:Eicosanoic acid \$\$\$\$ Arachic acid \$\$\$\$ Arachidic acid \$\$\$\$ Icosanoic acid \$\$\$\$ n-Eicosanoic acid \$\$\$\$ Arachidic acid (synthetic) \$\$\$\$

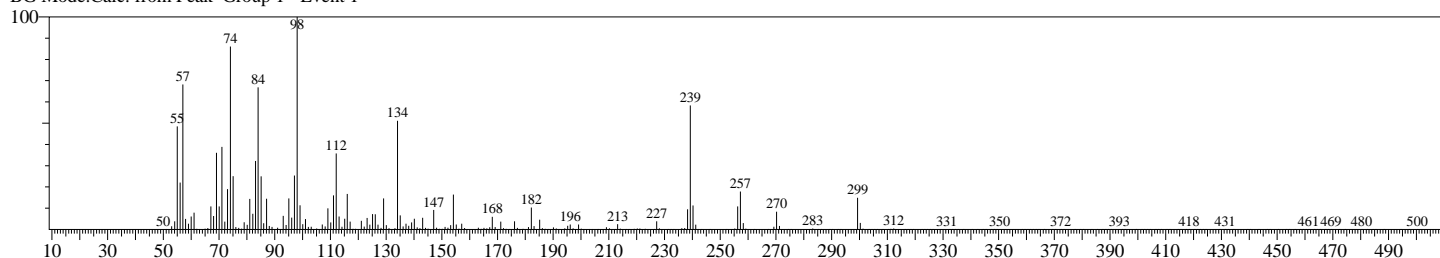


<< Target >>

Line#:12 R.Time:20.833(Scan#:2141) Retention Index:2913 MassPeaks:350

RawMode:Averaged 20.825-20.842(2140-2142) BasePeak:98.05(55023)

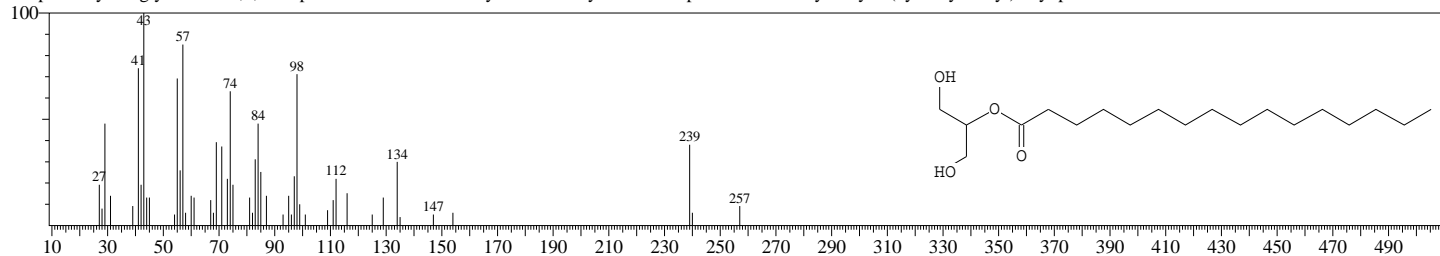
BG Mode:Calc. from Peak Group 1 - Event 1



Hit#:1 Entry:132705 Library:NIST08.LIB

SI:88 Formula:C19H38O4 CAS:23470-00-0 MolWeight:330 RetIndex:2498

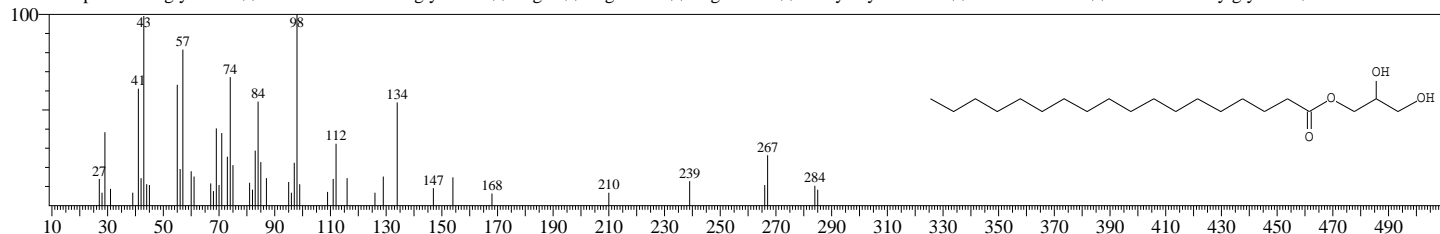
CompName:Hexadecanoic acid, 2-hydroxy-1-(hydroxymethyl)ethyl ester \$\$\$\$ Palmitin, 2-mono- \$\$\$\$ Palmitic acid .beta.-monoglyceride \$\$\$\$ 2-Hexadecanoyl glycerol \$\$\$\$ 2-Monopalmitin \$\$\$\$ 2-Monopalmitoyl-sn-glycerol \$\$\$\$ 1,2,3-Propanetriol 2-hexadecanoyl ester \$\$\$\$ Glycerol .beta.-palmitate \$\$\$\$ 2-Hydroxy-1-(hydroxymethyl)ethyl palmitate # \$\$\$\$



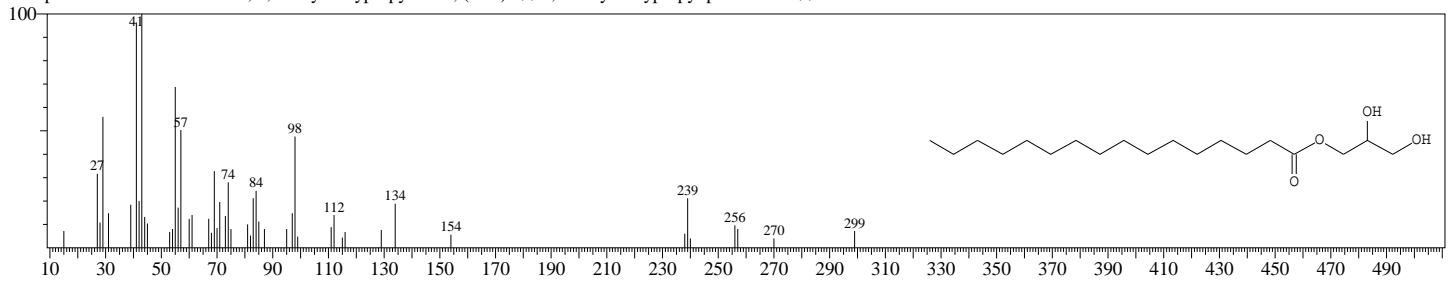
Hit#:2 Entry:149479 Library:NIST08.LIB

SI:86 Formula:C21H42O4 CAS:123-94-4 MolWeight:358 RetIndex:2681

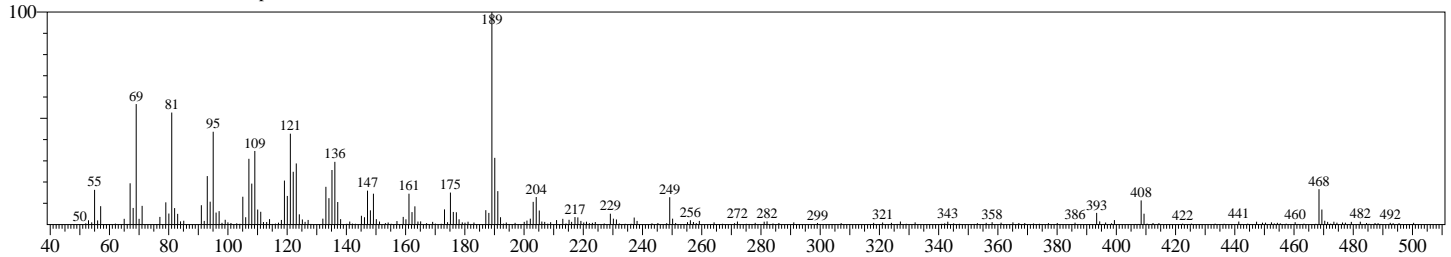
CompName:Octadecanoic acid, 2,3-dihydroxypropyl ester \$\$\$\$ Stearin, 1-mono- \$\$\$\$.alpha.-Monostearin \$\$\$\$ Aldo MSD \$\$\$\$ Aldo MSLG \$\$\$\$ Aldo 33 \$\$\$\$ Aldo 75 \$\$\$\$ Arlancel 165 \$\$\$\$ Emerest 240 \$\$\$\$ 7 \$\$\$\$ Glycerin 1-monostearate \$\$\$\$ Glycerin 1-stearate \$\$\$\$ Glycerol .alpha.-monostearate \$\$\$\$ Glycerol 1-monostearate \$\$\$\$ Glycerol 1-stearate \$\$\$\$ Glyceryl 1-monostearate \$\$\$\$ Sandin EU \$\$\$\$ Stearic acid .alpha.-monoglyceride \$\$\$\$ Stearic acid 1-monoglyceride \$\$\$\$ Tegin \$\$\$\$ Tegin 515 \$\$\$\$ Tegin 55G \$\$\$\$ 1-Glyceryl stearate \$\$\$\$ 1-Monostearin \$\$\$\$ 1-Monostearoylglycerol \$



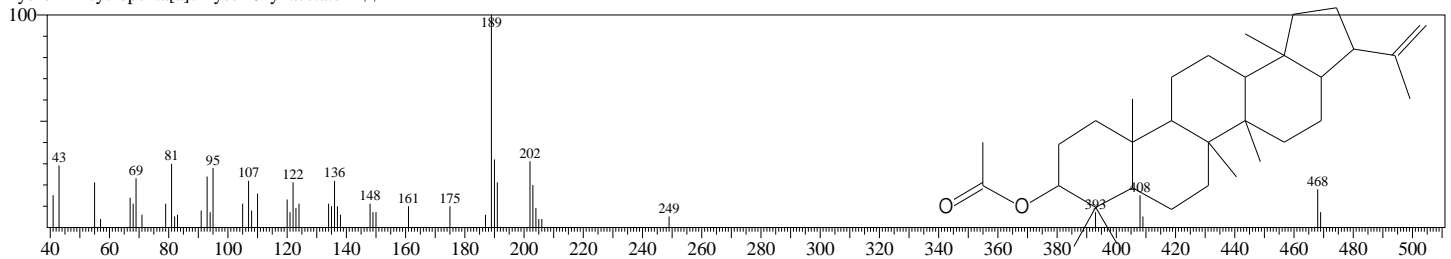
Hit#:3 Entry:132704 Library:NIST08.LIB
 SI:85 Formula:C19H38O4 CAS:19670-51-0 MolWeight:330 RetIndex:2482
 CompName:Hexadecanoic acid, 2,3-dihydroxypropyl ester, (+/-)- \$\$ 2,3-Dihydroxypropyl palmitate # \$\$



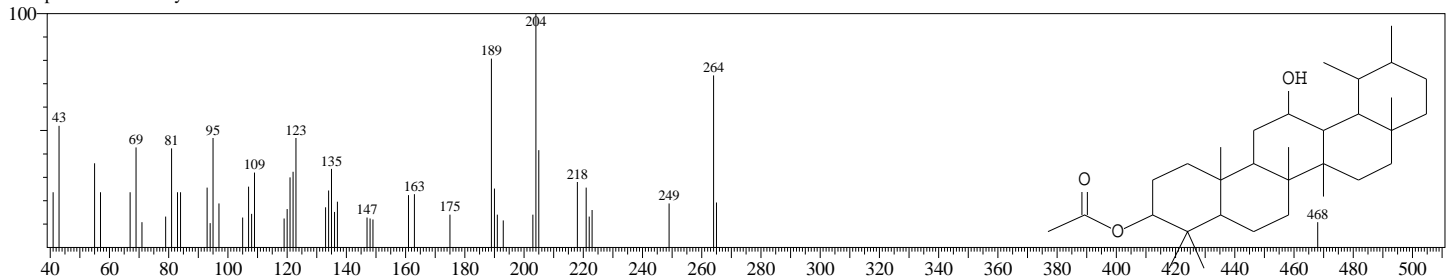
<< Target >>
 Line#:13 R.Time:21.325(Scan#:2200) Retention Index:2987 MassPeaks:296
 RawMode:Averaged 21.317-21.333(2199-2201) BasePeak:189.15(2467)
 BG Mode:Calc. from Peak Group 1 - Event 1



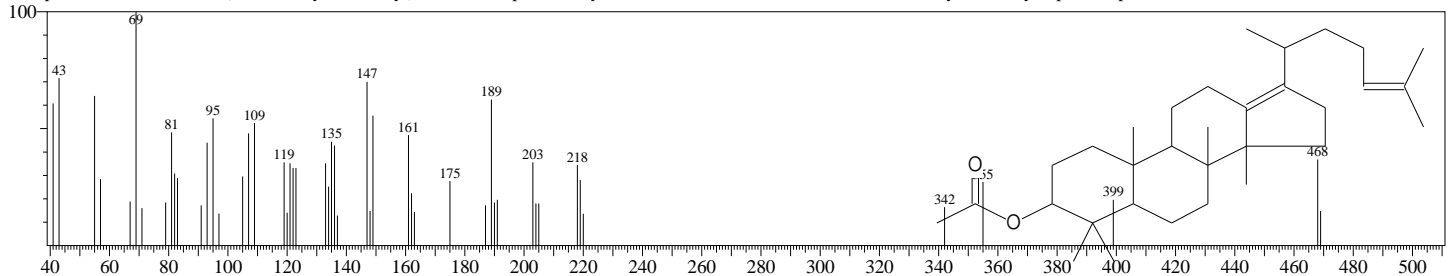
Hit#:1 Entry:181520 Library:NIST08.LIB
 SI:79 Formula:C32H52O2 CAS:2085-25-8 MolWeight:468 RetIndex:2987
 CompName:A'-Neogammacer-22(29)-en-3-ol, acetate, (3.beta.,21.beta.)- \$\$ A'-Neo-21.alpha.H-gammacer-22(29)-en-3.beta.-ol, acetate \$\$ 3-Isopropenyl-5a,5b,8,8,11a,13b-hexamethylcoso hydro-1H-cyclopenta[a]chrysen-9-yl acetate # \$\$



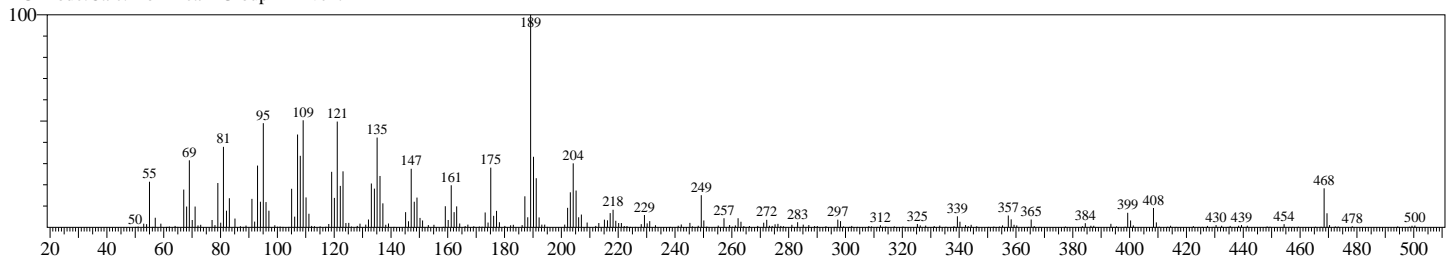
Hit#:2 Entry:183521 Library:NIST08.LIB
 SI:77 Formula:C32H54O3 CAS:0-00-0 MolWeight:486 RetIndex:3190
 CompName:3-Acetoxy-12-ursanol



Hit#:3 Entry:181516 Library:NIST08.LIB
 SI:77 Formula:C32H52O2 CAS:0-00-0 MolWeight:468 RetIndex:3022
 CompName:Acetic acid, 17-(1,5-dimethylhex-4-enyl)-4,4,8,10,14-pentamethyl-2,3,4,5,6,7,8,9,10,11,12,14,15,16-tetradecahydro-1H-cyclopenta[a]phenanthrene



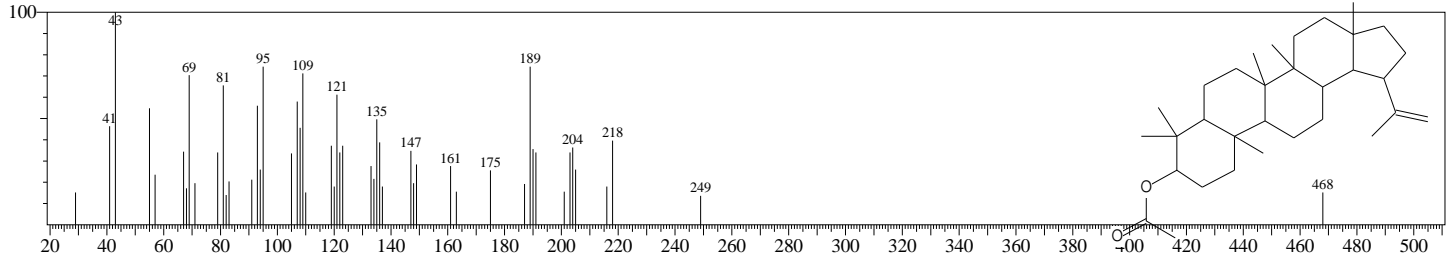
<< Target >>
 Line#:14 R.Time:21.792(Scan#:2256) Retention Index:3056 MassPeaks:295
 RawMode:Averaged 21.783-21.800(2255-2257) BasePeak:189.15(2771)
 BG Mode:Calc. from Peak Group 1 - Event 1



Hit#:1 Entry:181513 Library:NIST08.LIB

SI:81 Formula:C32H52O2 CAS:1617-68-1 MolWeight:468 RetIndex:2987

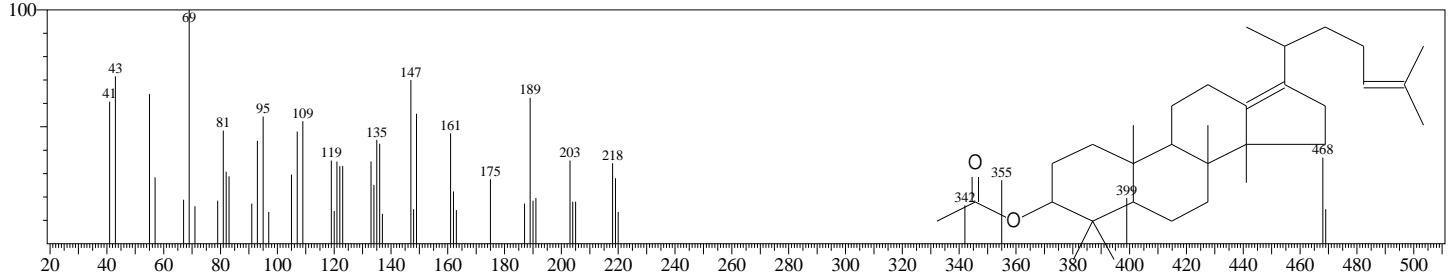
CompName:Lup-20(29)-en-3-ol, acetate, (3.beta.)- \$ \$ Lup-20(29)-en-3.beta.-ol, acetate \$ \$ Lupenyl acetate \$ \$ Lupeol acetate \$ \$ Lupeyl acetate \$ \$ 3-O-Acetyllopeol \$ \$ Lup-20(29)-en-3-yl acetate # \$ \$



Hit#:2 Entry:181516 Library:NIST08.LIB

SI:78 Formula:C32H52O2 CAS:0-00-0 MolWeight:468 RetIndex:3022

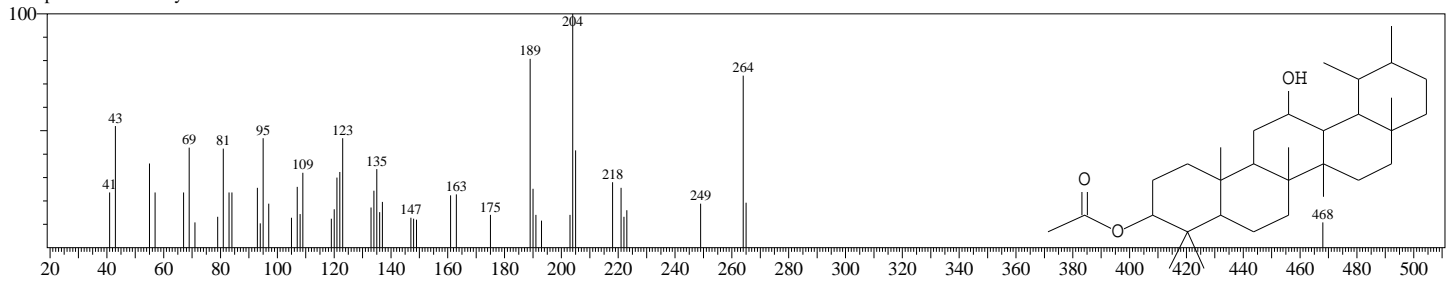
CompName:Acetic acid, 17-(1,5-dimethylhex-4-enyl)-4,4,8,10,14-pentamethyl-2,3,4,5,6,7,8,9,10,11,12,14,15,16-tetradecahydro-1H-cyclopenta[a]phenanthrene



Hit#:3 Entry:183521 Library:NIST08.LIB

SI:78 Formula:C32H54O3 CAS:0-00-0 MolWeight:486 RetIndex:3190

CompName:3-Acetoxy-12-ursanol

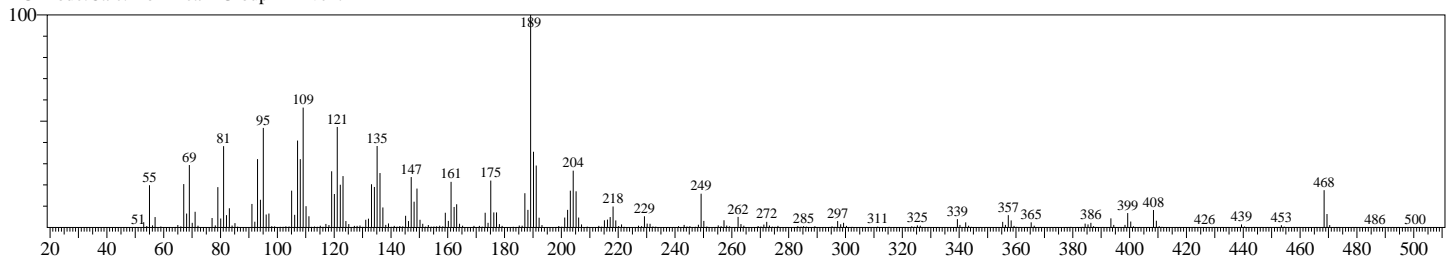


<< Target >>

Line#:15 R.Time:21.925(Scan#:2272) Retention Index:3075 MassPeaks:392

RawMode:Averaged 21.917-21.933(2271-2273) BasePeak:189.15(63049)

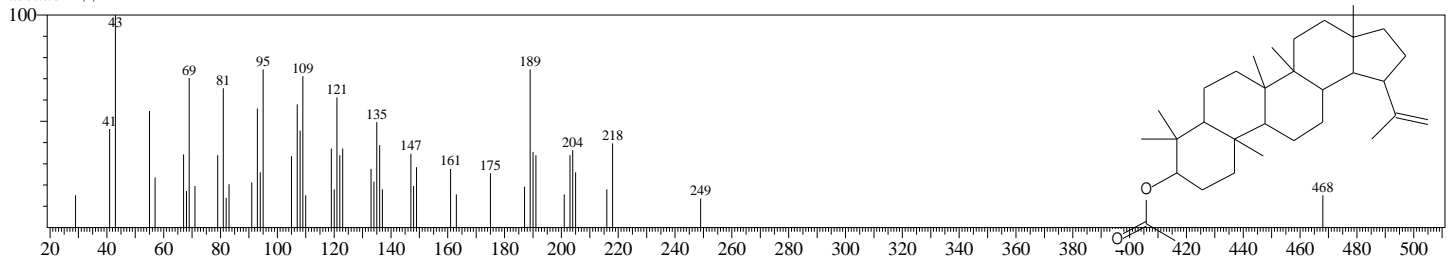
BG Mode:Calc. from Peak Group 1 - Event 1



Hit#:1 Entry:181513 Library:NIST08.LIB

SI:79 Formula:C32H52O2 CAS:1617-68-1 MolWeight:468 RetIndex:2987

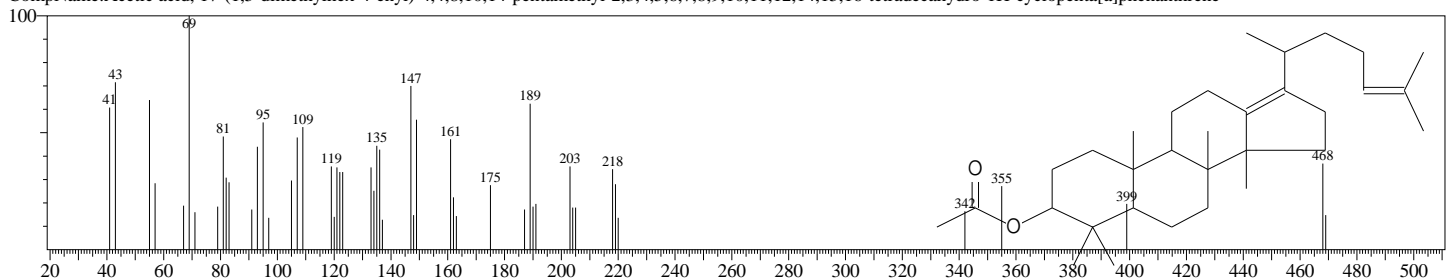
CompName:Lup-20(29)-en-3-ol, acetate, (3.beta.)- \$ \$ Lup-20(29)-en-3.beta.-ol, acetate \$ \$ Lupenyl acetate \$ \$ Lupeol acetate \$ \$ Lupeyl acetate \$ \$ 3-O-Acetyllopeol \$ \$ Lup-20(29)-en-3-yl acetate # \$ \$



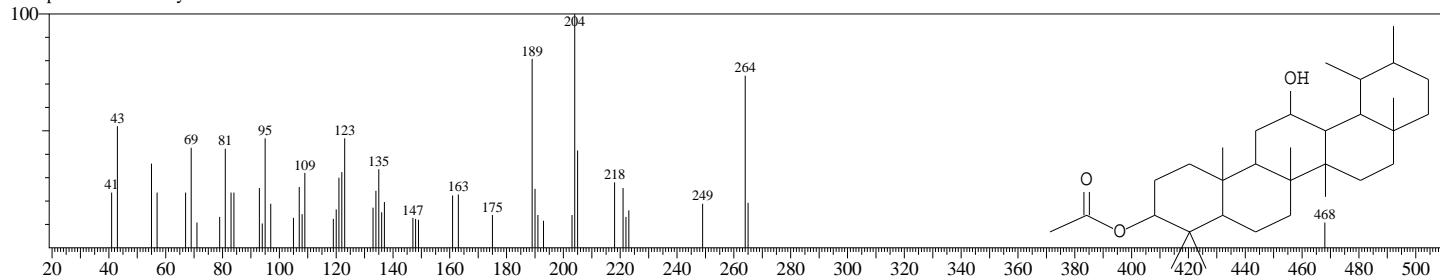
Hit#:2 Entry:181516 Library:NIST08.LIB

SI:78 Formula:C32H52O2 CAS:0-00-0 MolWeight:468 RetIndex:3022

CompName:Acetic acid, 17-(1,5-dimethylhex-4-enyl)-4,4,8,10,14-pentamethyl-2,3,4,5,6,7,8,9,10,11,12,14,15,16-tetradecahydro-1H-cyclopenta[a]phenanthrene

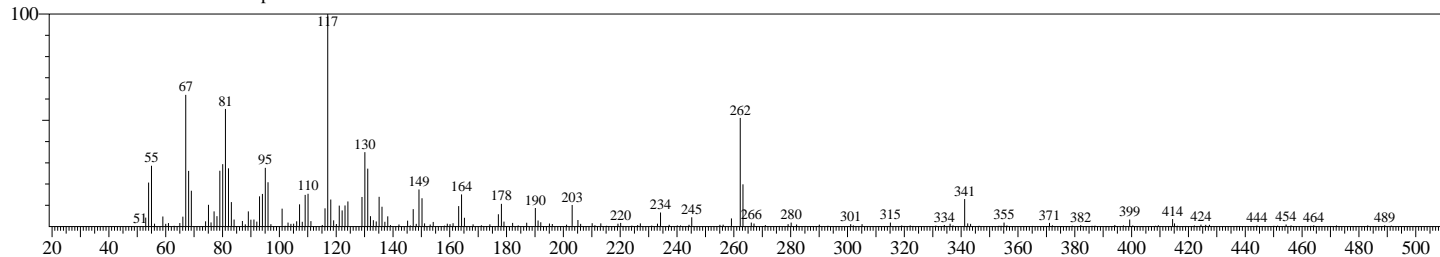


Hit#:3 Entry:183521 Library:NIST08.LIB
 SI:77 Formula:C32H54O3 CAS:0-00-0 MolWeight:486 RetIndex:3190
 CompName:3-Acetoxy-12-ursanol

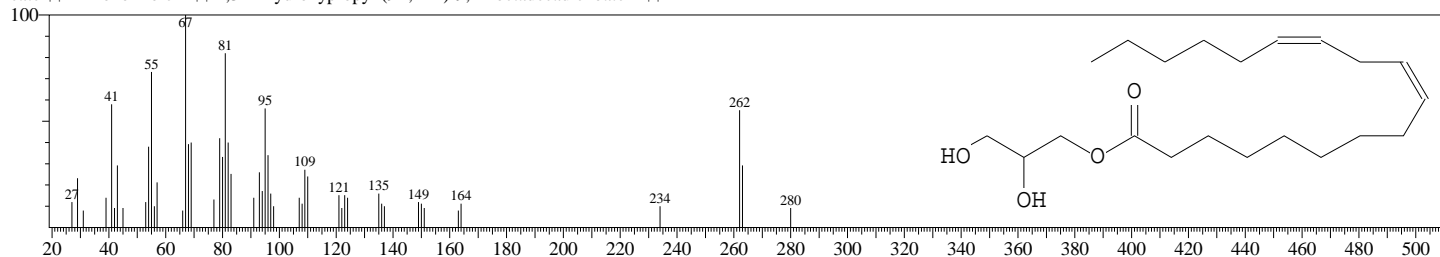


<< Target >>

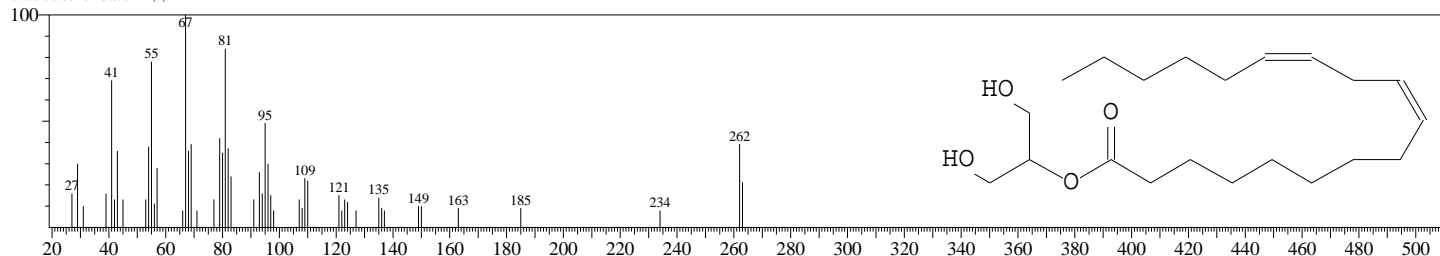
Line#:16 R.Time:22.208(Scan#:2306) Retention Index:3115 MassPeaks:261
 RawMode:Averaged 22.200-22.217(2305-2307) BasePeak:117.05(2856)
 BG Mode:Calc. from Peak Group 1 - Event 1



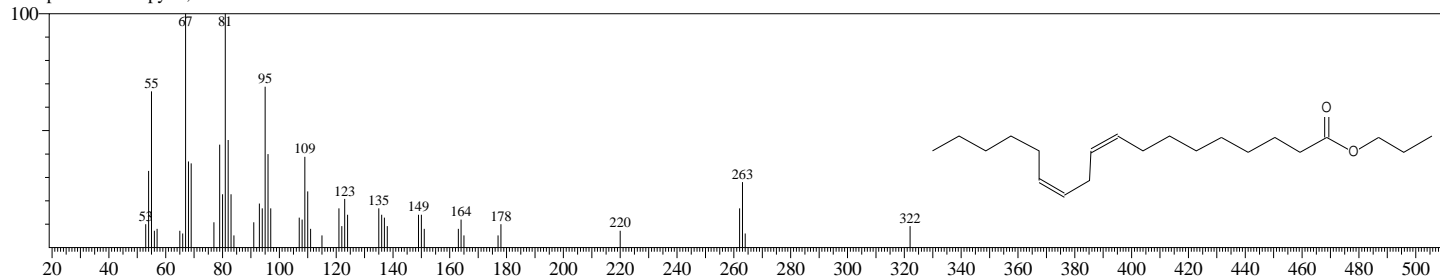
Hit#:1 Entry:147270 Library:NIST08.LIB
 SI:70 Formula:C21H38O4 CAS:2277-28-3 MolWeight:354 RetIndex:2697
 CompName:9,12-Octadecadienoic acid (Z,Z)-, 2,3-dihydroxypropyl ester \$\$ Linolein, 1-mono- \$\$.alpha.-Glyceryl linoleate \$\$ Glycerol 1-monolinolate \$\$ Oleinate 288 \$\$ 1-Glyceryl linoleate \$\$ 1-Monolinolein \$\$ 2,3-Dihydroxypropyl (9Z,12Z)-9,12-octadecadienoate # \$\$



Hit#:2 Entry:147269 Library:NIST08.LIB
 SI:69 Formula:C21H38O4 CAS:3443-82-1 MolWeight:354 RetIndex:2713
 CompName:9,12-Octadecadienoic acid (Z,Z)-, 2-hydroxy-1-(hydroxymethyl)ethyl ester \$\$ Linolein, 2-mono- \$\$.beta.-Monolinolein \$\$ 2-Hydroxy-1-(hydroxymethyl)ethyl (9Z,12Z)-9,12-octadecadienoate # \$\$

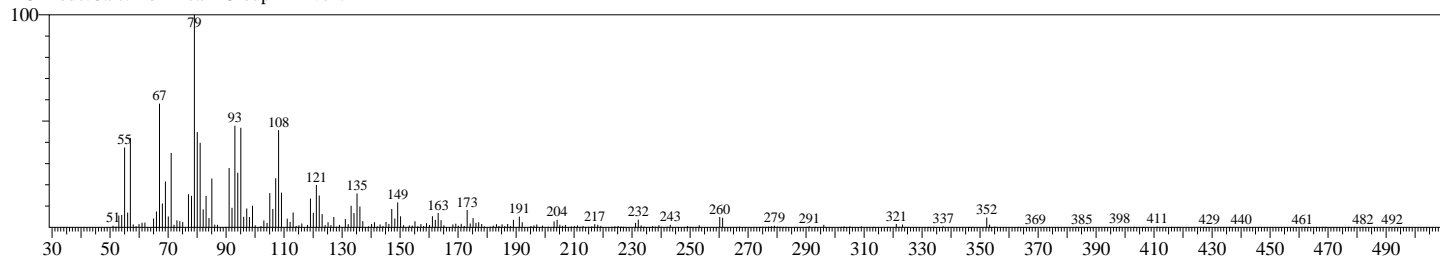


Hit#:3 Entry:127505 Library:NIST08.LIB
 SI:69 Formula:C21H38O2 CAS:0-00-0 MolWeight:322 RetIndex:2292
 CompName:n-Propyl 9,12-octadecadienoate

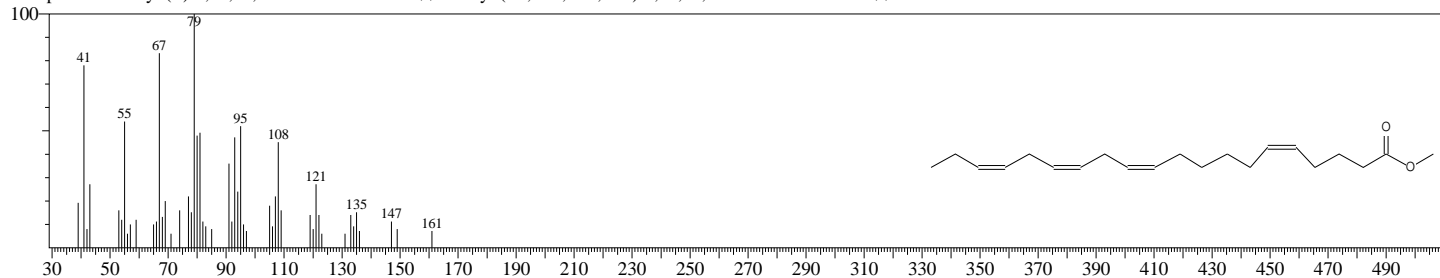


<< Target >>

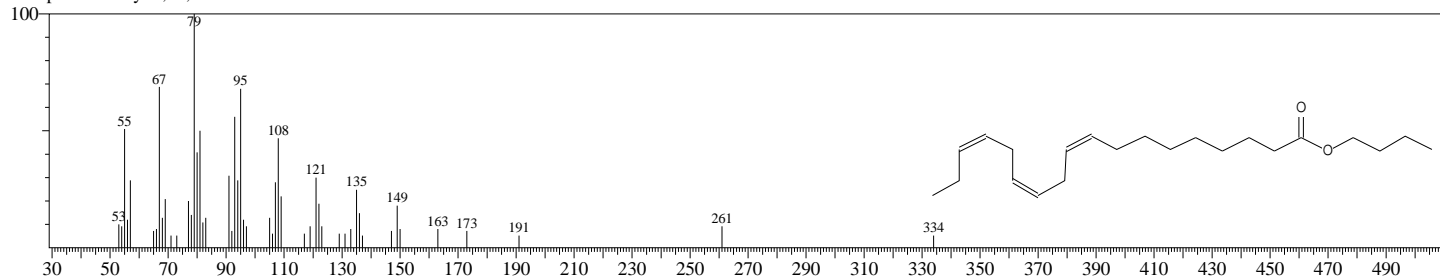
Line#:17 R.Time:22.267(Scan#:2313) Retention Index:3122 MassPeaks:312
 RawMode:Averaged 22.258-22.275(2312-2314) BasePeak:79.05(8708)
 BG Mode:Calc. from Peak Group 1 - Event 1



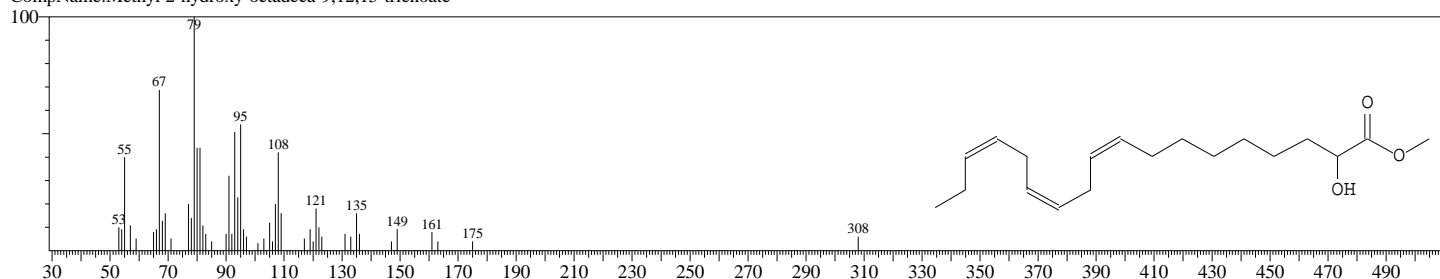
Hit#:1 Entry:124920 Library:NIST08.LIB
 SI:89 Formula:C21H34O2 CAS:59149-01-8 MolWeight:318 RetIndex:2308
 CompName:Methyl (Z)-5,11,14,17-eicosatetraenoate \$\$ Methyl (5Z,11Z,14Z,17Z)-5,11,14,17-icosatetraenoate # \$\$



Hit#:2 Entry:135715 Library:NIST08.LIB
 SI:89 Formula:C22H38O2 CAS:0-00-0 MolWeight:334 RetIndex:2399
 CompName:Butyl 9,12,15-octadecatrienoate

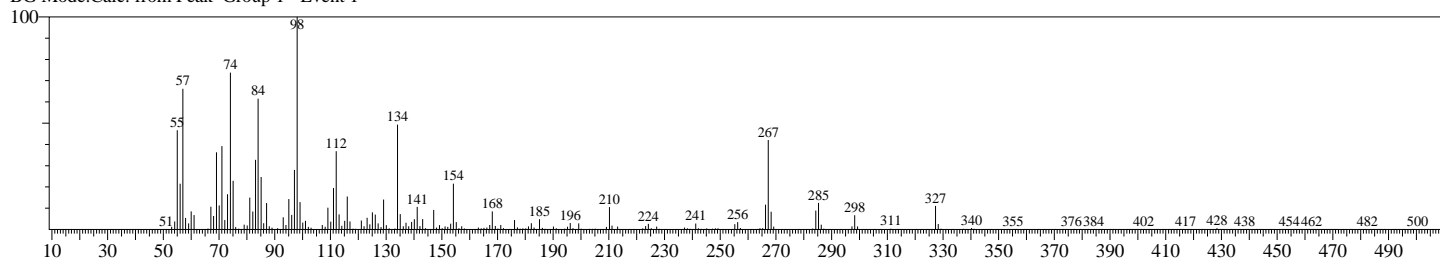


Hit#:3 Entry:117765 Library:NIST08.LIB
 SI:88 Formula:C19H32O3 CAS:0-00-0 MolWeight:308 RetIndex:2263
 CompName:Methyl 2-hydroxy-octadeca-9,12,15-trienoate

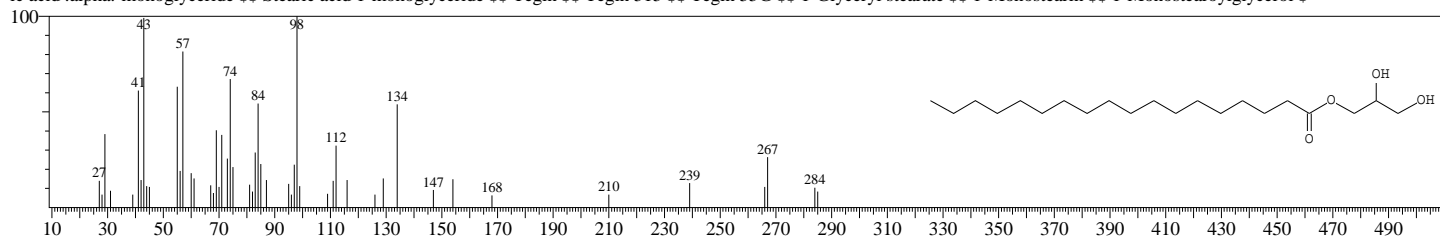


<< Target >>

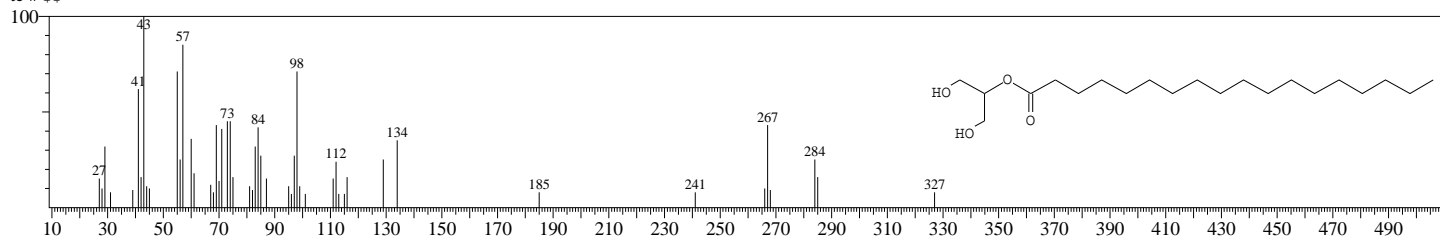
Line#:18 R.Time:22.425(Scan#:2332) Retention Index:3143 MassPeaks:373
 RawMode:Averaged 22.417-22.433(2331-2333) BasePeak:98.05(43844)
 BG Mode:Calc. from Peak Group 1 - Event 1



Hit#:1 Entry:149479 Library:NIST08.LIB
 SI:91 Formula:C21H42O4 CAS:123-94-4 MolWeight:358 RetIndex:2681
 CompName:Octadecanoic acid, 2,3-dihydroxypropyl ester \$\$ Stearin, 1-mono- \$\$.alpha.-Monostearin \$\$ Aldo MSD \$\$ Aldo MSLG \$\$ Aldo 33 \$\$ Aldo 75 \$\$ Arlancel 165 \$\$ Emerst 240 7 \$\$ Glycerin 1-monostearate \$\$ Glycerol 1-stearate \$\$ Glycerol .alpha.-monostearate \$\$ Glycerol 1-monostearate \$\$ Glycerol 1-stearate \$\$ Glyceryl 1-monostearate \$\$ Sandin EU \$\$ Stearic acid .alpha.-monoglyceride \$\$ Stearic acid 1-monoglyceride \$\$ Tegin \$\$ Tegin 515 \$\$ Tegin 55G \$\$ 1-Glyceryl stearate \$\$ 1-Monostearin \$\$ 1-Monostearoylglycerol \$



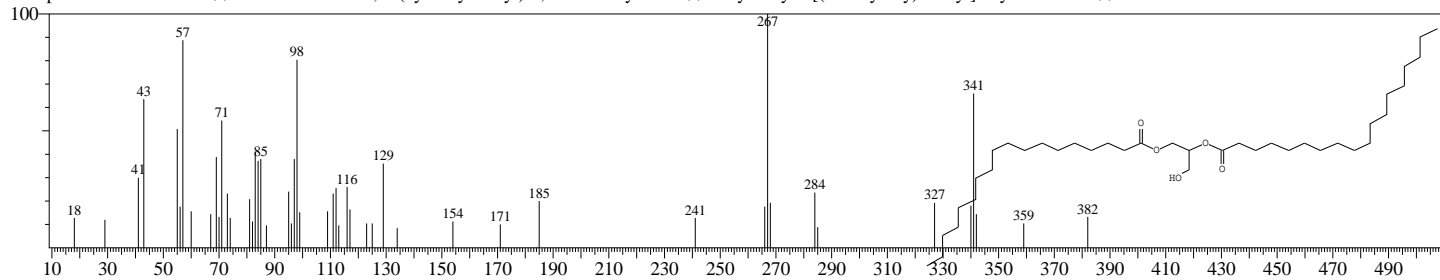
Hit#:2 Entry:149477 Library:NIST08.LIB
 SI:85 Formula:C21H42O4 CAS:621-61-4 MolWeight:358 RetIndex:2697
 CompName:Octadecanoic acid, 2-hydroxy-1-(hydroxymethyl)ethyl ester \$\$ Stearin, 2-mono- \$\$.beta.-Glyceryl monostearate \$\$.beta.-Monostearin \$\$ Glycerol .beta.-monostearate \$\$ Stearic acid .beta.-monoglyceride \$\$ 2-Monostearin \$\$ 2-Monostearoylglycerol \$\$ 1,2,3-Propanetriol 2-octadecanoyl ester \$\$ Glycerol .beta.-stearate \$\$ 2-Hydroxy-1-(hydroxymethyl)ethyl stearate # \$\$



Hit#:3 Entry:189518 Library:NIST08.LIB

SI:77 Formula:C₃₉H₇₆O₅ CAS:1188-58-5 MolWeight:624 RetIndex:4411

CompName:DISTEARIN \$\$ Octadecanoic acid, 1-(hydroxymethyl)-1,2-ethanediyl ester \$\$ 2-Hydroxy-1-[(stearoyloxy)methyl]ethyl stearate # \$\$

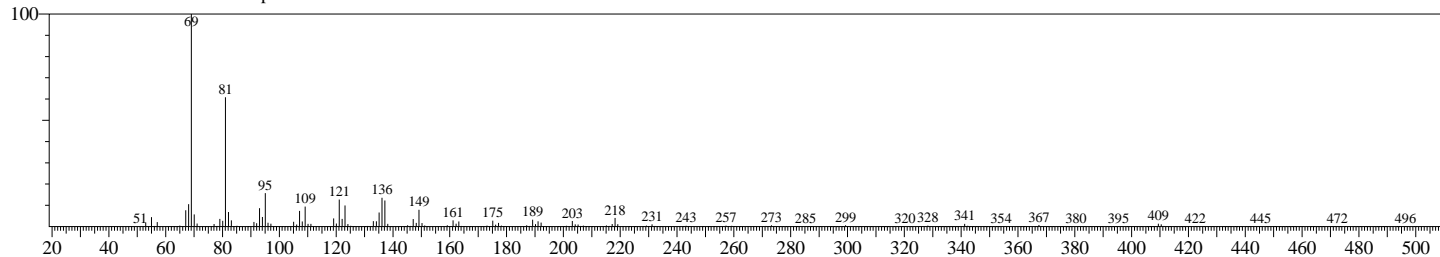


<< Target >>

Line#:19 R.Time:23.067(Scan#:2409) Retention Index:3223 MassPeaks:346

RawMode:Averaged 23.058-23.075(2408-2410) BasePeak:69.05(47615)

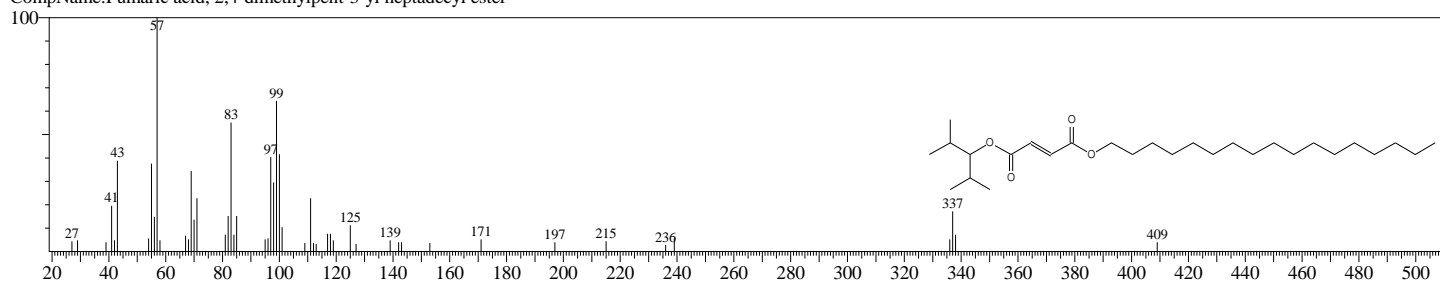
BG Mode:Calc. from Peak Group 1 - Event 1



Hit#:1 Entry:179279 Library:NIST08.LIB

SI:37 Formula:C₂₈H₅₂O₄ CAS:0-00-0 MolWeight:452 RetIndex:2955

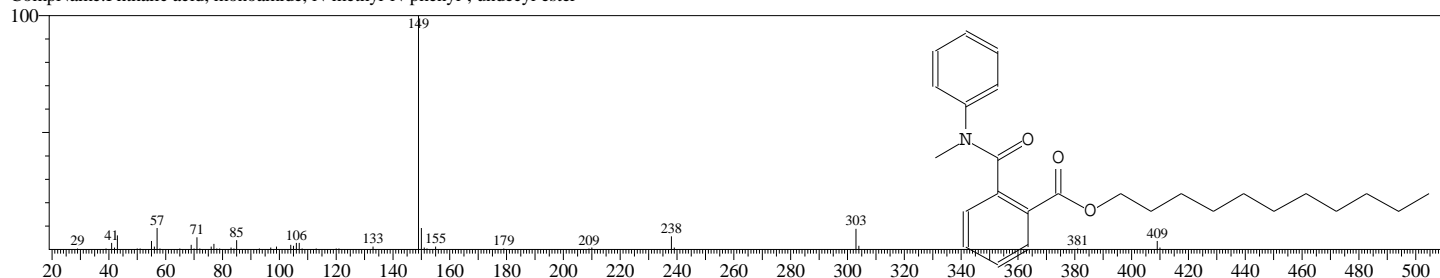
CompName:Fumaric acid, 2,4-dimethylpent-3-yl heptadecyl ester



Hit#:2 Entry:170357 Library:NIST08.LIB

SI:33 Formula:C₂₆H₃₅NO₃ CAS:0-00-0 MolWeight:409 RetIndex:3141

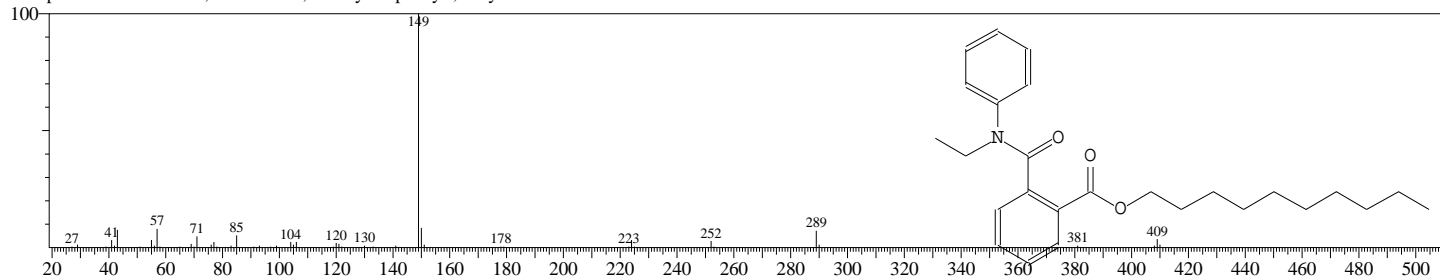
CompName:Phthalic acid, monoamide, N-methyl-N-phenyl-, undecyl ester



Hit#:3 Entry:170358 Library:NIST08.LIB

SI:32 Formula:C₂₆H₃₅NO₃ CAS:0-00-0 MolWeight:409 RetIndex:3141

CompName:Phthalic acid, monoamide, N-ethyl-N-phenyl-, decyl ester

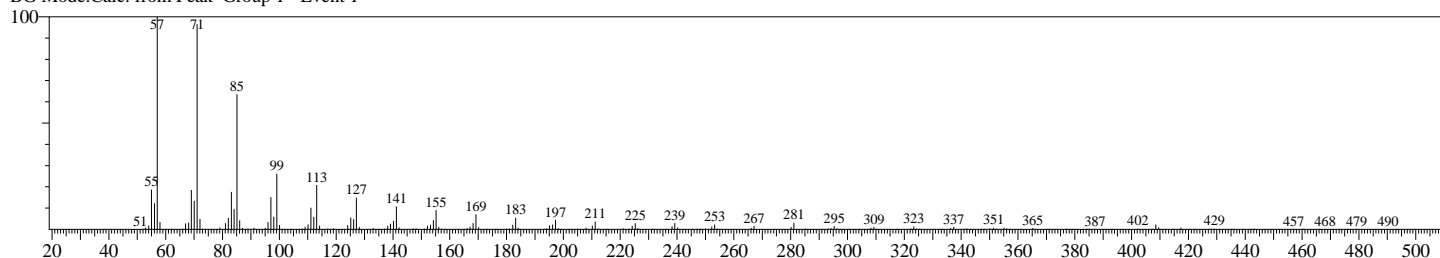


<< Target >>

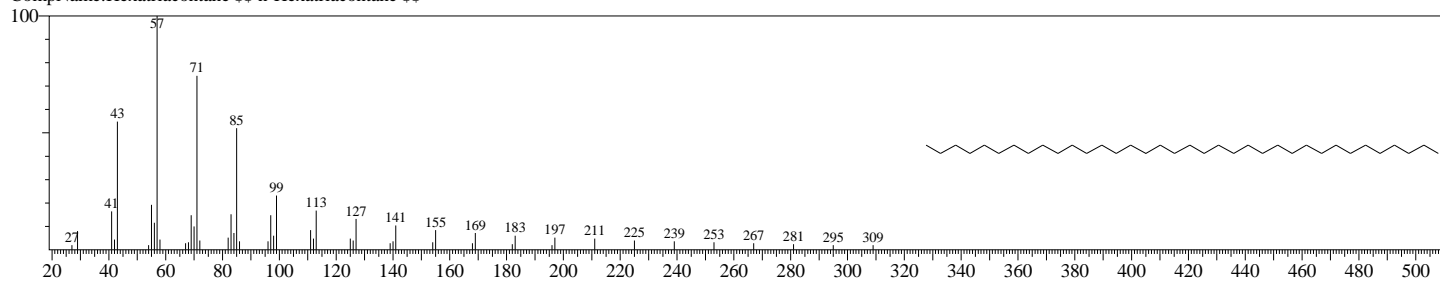
Line#:20 R.Time:23.683(Scan#:2483) Retention Index:3292 MassPeaks:318

RawMode:Averaged 23.675-23.692(2482-2484) BasePeak:57.05(13193)

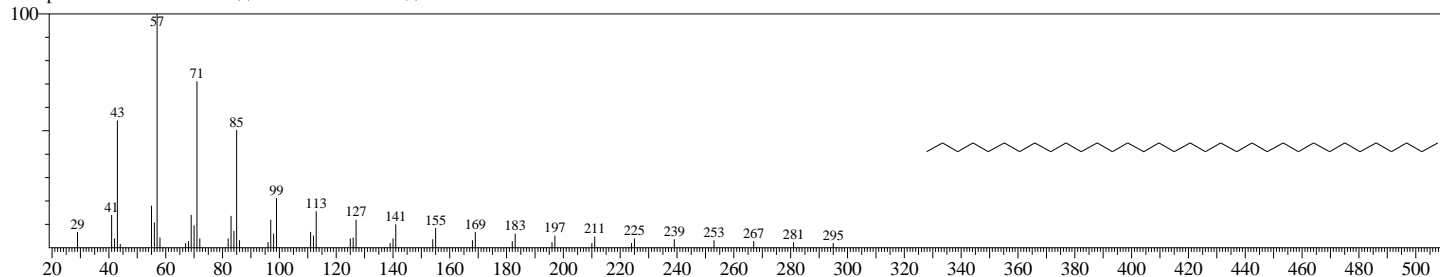
BG Mode:Calc. from Peak Group 1 - Event 1



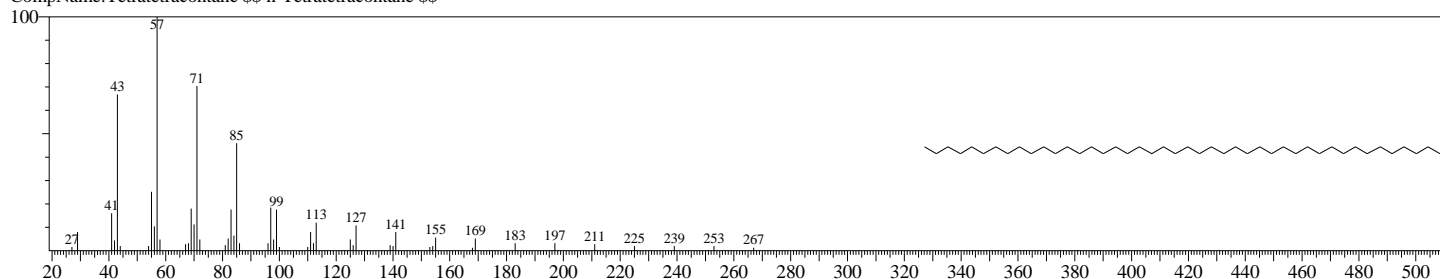
Hit#:1 Entry:185135 Library:NIST08.LIB
 SI:95 Formula:C36H74 CAS:630-06-8 MolWeight:506 RetIndex:3600
 CompName:Hexatriacontane \$\$ n-Hexatriacontane \$\$



Hit#:2 Entry:182633 Library:NIST08.LIB
 SI:93 Formula:C34H70 CAS:14167-59-0 MolWeight:478 RetIndex:3401
 CompName:Tetatriacontane \$\$ n-Tetatriacontane \$\$

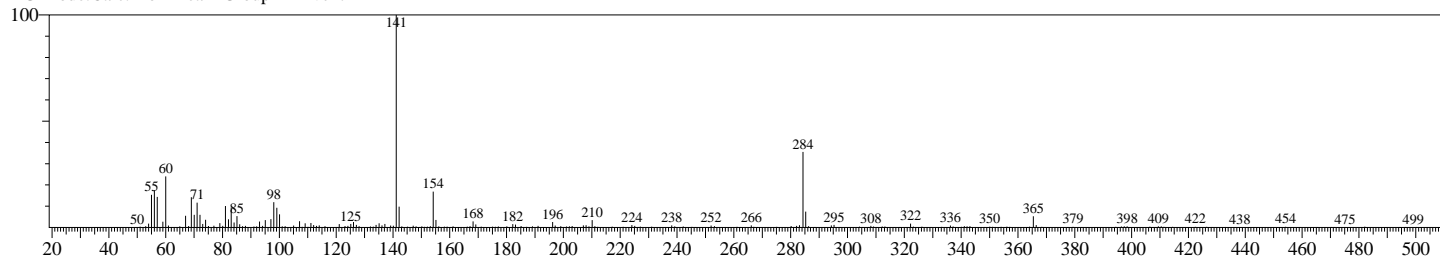


Hit#:3 Entry:189407 Library:NIST08.LIB
 SI:93 Formula:C44H90 CAS:7098-22-8 MolWeight:618 RetIndex:4395
 CompName:Tetretetracontane \$\$ n-Tetretetracontane \$\$

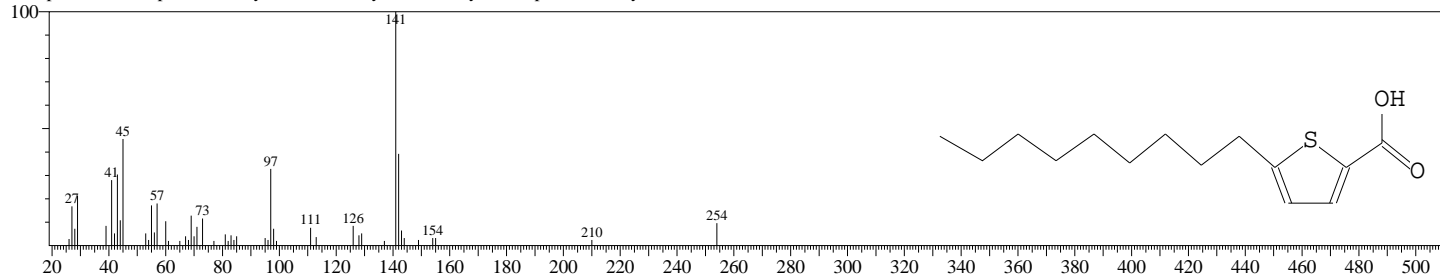


<< Target >>

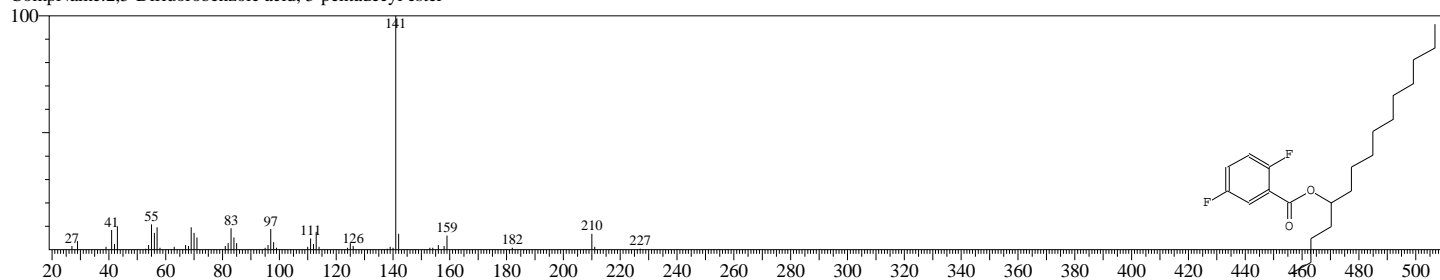
Line#:21 R.Time:23.892(Scan#:2508) Retention Index:3316! MassPeaks:338
 RawMode:Averaged 23.883-23.900(2507-2509) BasePeak:141.15(8364)
 BG Mode:Calc. from Peak Group 1 - Event 1



Hit#:1 Entry:78867 Library:NIST08.LIB
 SI:71 Formula:C14H22O2S CAS:59782-34-2 MolWeight:254 RetIndex:2036
 CompName:2-Thiophenecarboxylic acid, 5-nonyl- \$\$ 5-Nonyl-2-thiophenecarboxylic acid # \$\$



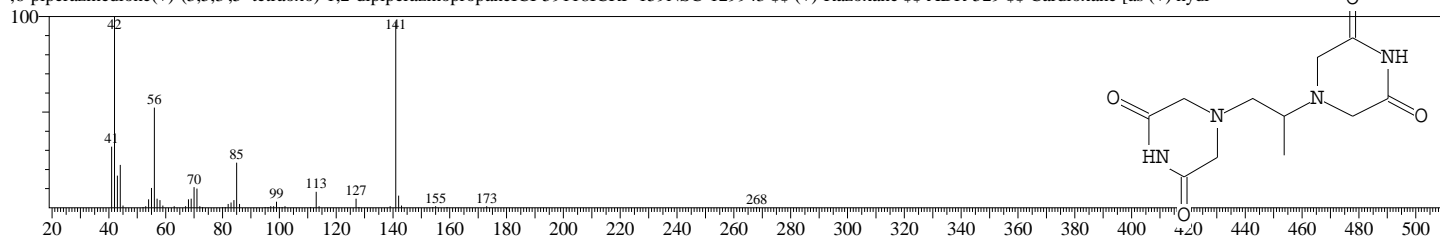
Hit#:2 Entry:154517 Library:NIST08.LIB
 SI:68 Formula:C22H34F2O2 CAS:0-00-0 MolWeight:368 RetIndex:2338
 CompName:2,5-Difluorobenzoic acid, 5-pentadecyl ester



Hit#:3 Entry:88530 Library:NIST08.LIB

SI:68 Formula:C11H16N4O4 CAS:24584-09-6 MolWeight:268 RetIndex:2348

CompName:2,6-Piperazinedione, 4,4'-(1-methyl-1,2-ethanediy)bis-, (S)- \$\$ Soluble ICRF (L-isomer) \$\$ 2,6-Piperazinedione, 4,4'-(1-methyl-1,2-ethanediy)bis-, (+)- \$\$ 2,6-Piperazinedione, 4,4'-propylenedi-, (+)- \$\$ dyzoxane \$\$ ICRF-187 \$\$ (+)-(S)-4,4'-Propylenedi-2,6-piperazinedione \$\$ (+)-4,4'-Propylenedi-2,6-piperazinedione(+)-(3,5,3',5'-tetraoxo)-1,2-dipiperazinopropaneICI-59118ICRF-159NSC-129943 \$\$ (+)-Razoxane \$\$ ADR-529 \$\$ Cardioxane [as (+) hydr

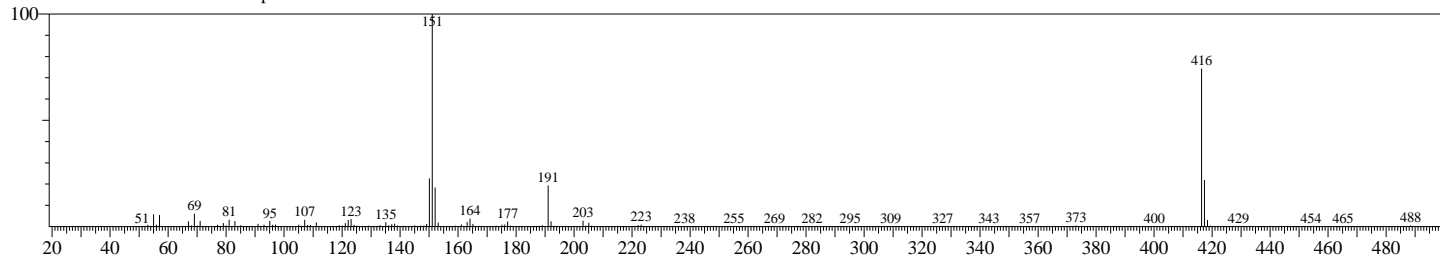


<< Target >>

Line#:22 R.Time:24.692(Scan#:2604) Retention Index:3406! MassPeaks:292

RawMode:Averaged 24.683-24.700(2603-2605) BasePeak:151.10(19564)

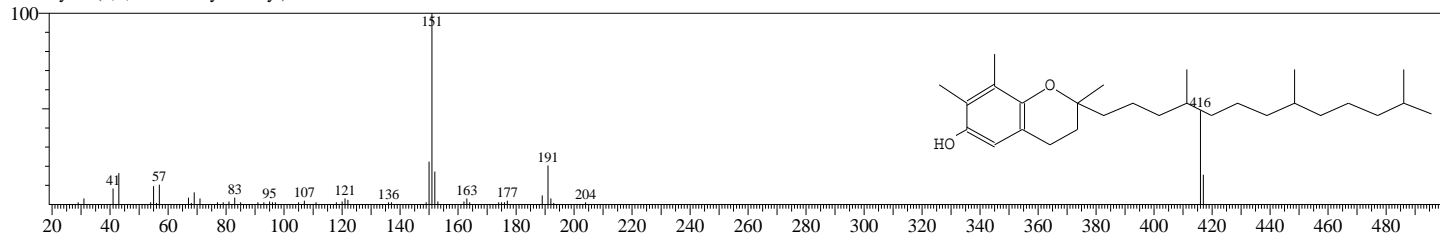
BG Mode:Calc. from Peak Group 1 - Event 1



Hit#:1 Entry:172351 Library:NIST08.LIB

SI:90 Formula:C28H48O2 CAS:7616-22-0 MolWeight:416 RetIndex:3036

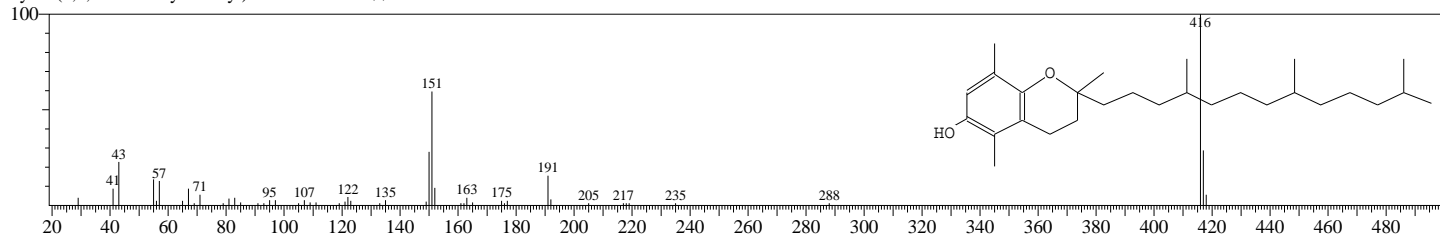
CompName:.gamma.-Tocopherol \$\$ 2H-1-Benzopyran-6-ol, 3,4-dihydro-2,7,8-trimethyl-2-(4,8,12-trimethyltridecyl)- \$\$ 6-Chromanol, 2,7,8-trimethyl-2-(4,8,12-trimethyltridecyl)- \$\$.gamma.a.-Tokoferol \$\$ o-Xylotocopherol \$\$ 7,8-Dimethyltolcol \$\$ 3,4-Dihydro-2,7,8-trimethyl-2-(4,8,12-trimethyltridecyl)-2H-1-benzopyran-6-ol \$\$ 7,8-Dimethyltolcolo-xylotocopherol \$\$ 2,7,8-Trimethyl-2-(4,8,12-trimethyltridecyl)-6-chromanol # \$\$



Hit#:2 Entry:172359 Library:NIST08.LIB

SI:86 Formula:C28H48O2 CAS:148-03-8 MolWeight:416 RetIndex:3036

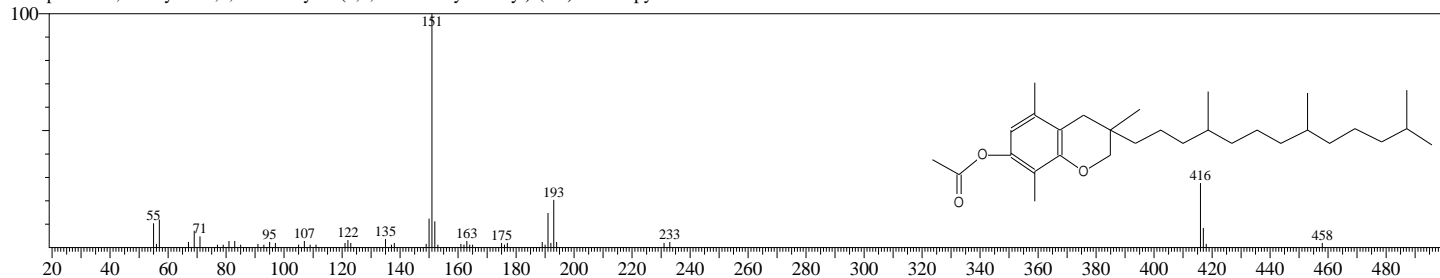
CompName:.beta.-Tocopherol \$\$ 2H-1-Benzopyran-6-ol, 3,4-dihydro-2,5,8-trimethyl-2-(4,8,12-trimethyltridecyl)- \$\$ 6-Chromanol, 2,5,8-trimethyl-2-(4,8,12-trimethyltridecyl)- \$\$.beta.-Tokoferol \$\$ p-Xylotocopherol \$\$ Cumotocopherol \$\$ Neotocopherol \$\$ 5,8-Dimethyltolcol \$\$ 3,4-Dihydro-2,5,8-trimethyl-2-(4,8,12-trimethyltridecyl)-2H-1-benzopyran-6-ol \$\$ 2,5,8-Trimethyl-2-(4,8,12-trimethyltridecyl)-6-chromanol # \$\$



Hit#:3 Entry:180234 Library:NIST08.LIB

SI:84 Formula:C30H50O3 CAS:0-00-0 MolWeight:458 RetIndex:3195

CompName:3,4-Dihydro-3,5,8-trimethyl-3-(4,8,12-trimethyltridecyl)-(2H)1-benzopyran-6-acetate

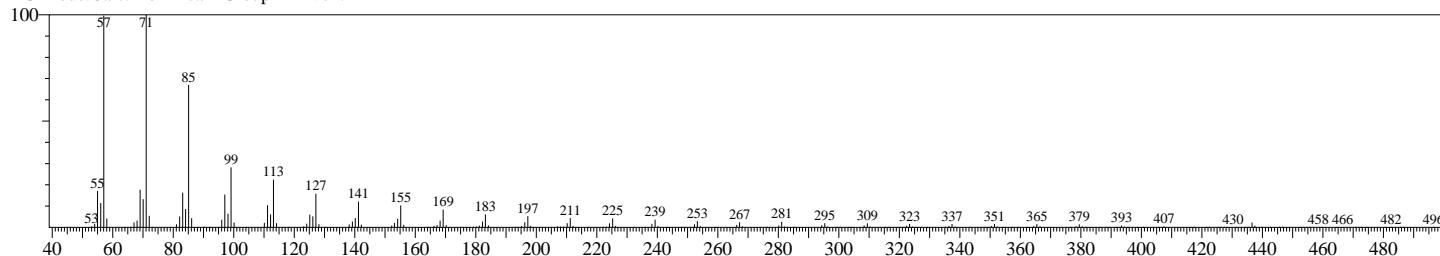


<< Target >>

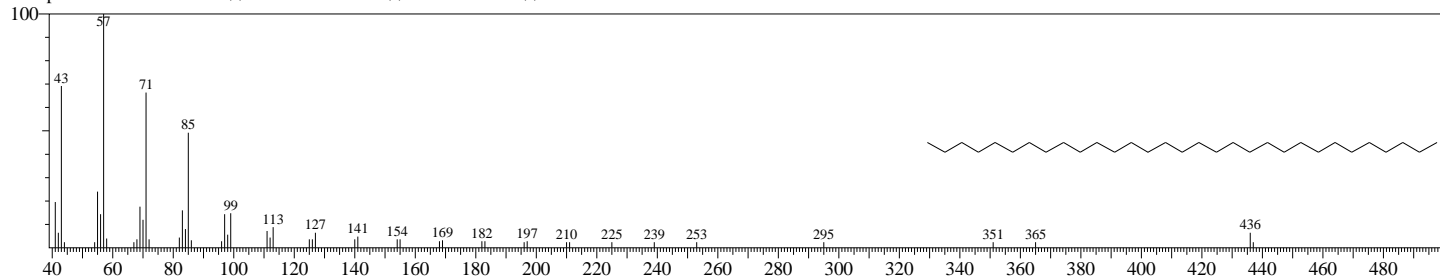
Line#:23 R.Time:25.008(Scan#:2642) Retention Index:3441! MassPeaks:252

RawMode:Averaged 25.000-25.017(2641-2643) BasePeak:71.05(57281)

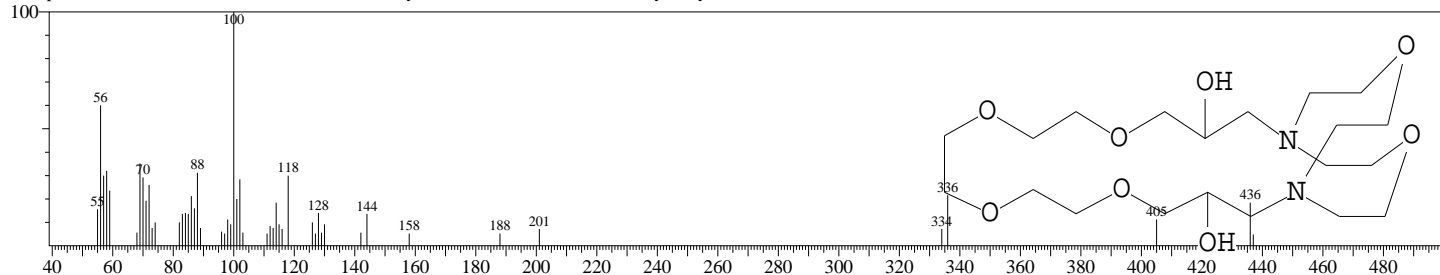
BG Mode:Calc. from Peak Group 1 - Event 1



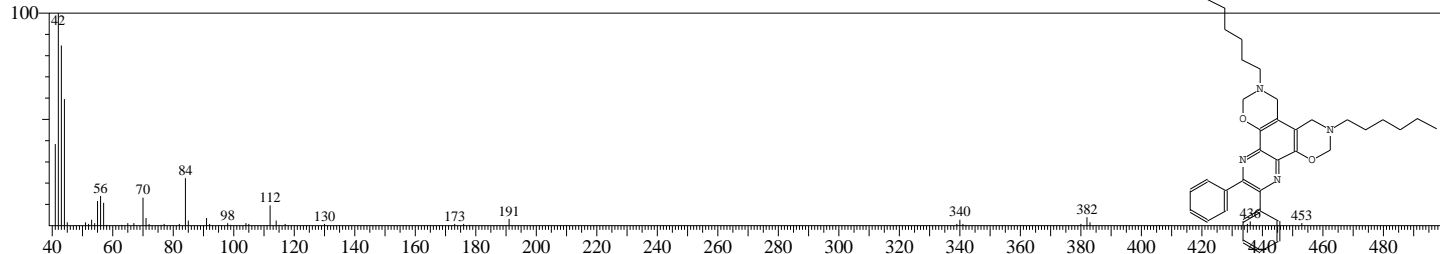
Hit#:1 Entry:176627 Library:NIST08.LIB
 SI:90 Formula:C31H64 CAS:630-04-6 MolWeight:436 RetIndex:3103
 CompName:Hentriacontane \$\$ n-Hentriacontane \$\$ Untriacontane \$\$



Hit#:2 Entry:176468 Library:NIST08.LIB
 SI:52 Formula:C20H40N2O8 CAS:0-00-0 MolWeight:436 RetIndex:3674
 CompName:5,8,11,14,21,26-Hexaoxa-1,18-diazabicyclo[16.5.5]octacosane, 3,16-dihydroxy-

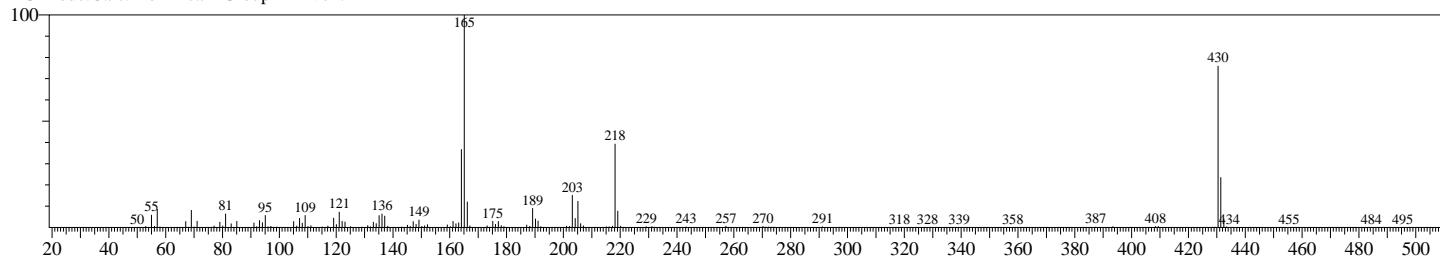


Hit#:3 Entry:187974 Library:NIST08.LIB
 SI:47 Formula:C36H44N4O2 CAS:41193-11-7 MolWeight:564 RetIndex:4640
 CompName:2,3,4,5,6,7-Hexahydro-3,6-dihexyl-10,11-diphenyl-bis[1,3]oxazino[6,5-f:5',6'-H]quinoxaline \$\$ 3,6-Dihexyl-10,11-diphenyl-2,3,4,5,6,7-hexahydrodi[1,3]oxazino[6,5-f:5,6-H]quinoxaline # \$\$

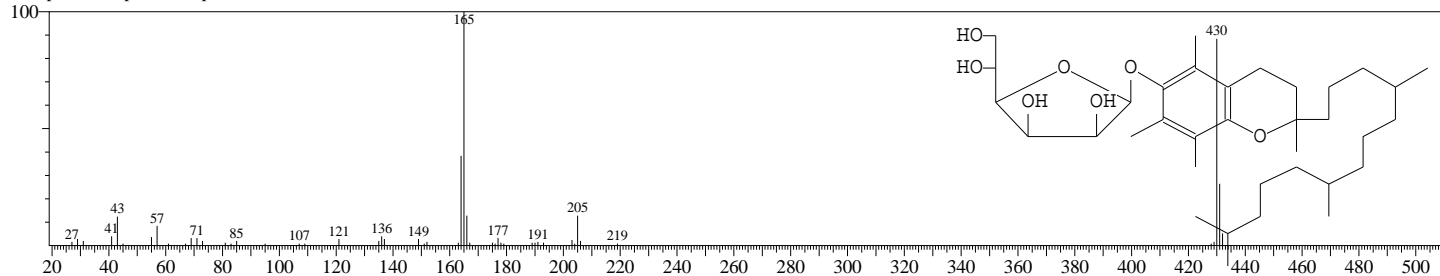


<< Target >>

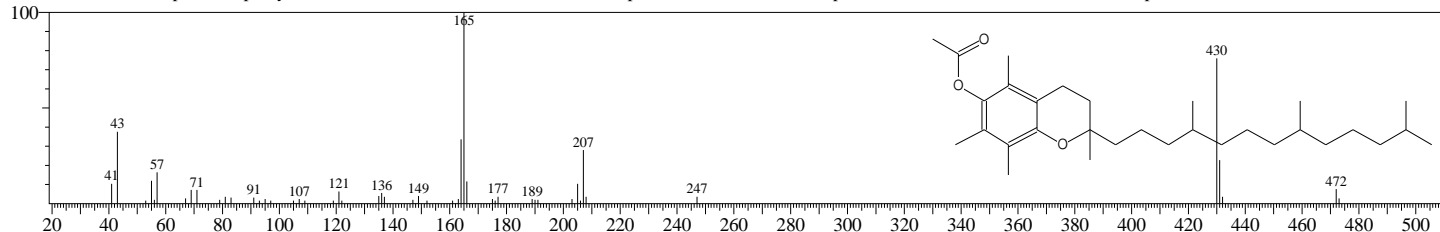
Line#:24 R.Time:25.200(Scan#:2665) Retention Index:3463! MassPeaks:390
 RawMode:Averaged 25.192-25.208(2664-2666) BasePeak:165.10(72013)
 BG Mode:Calc. from Peak Group 1 - Event 1



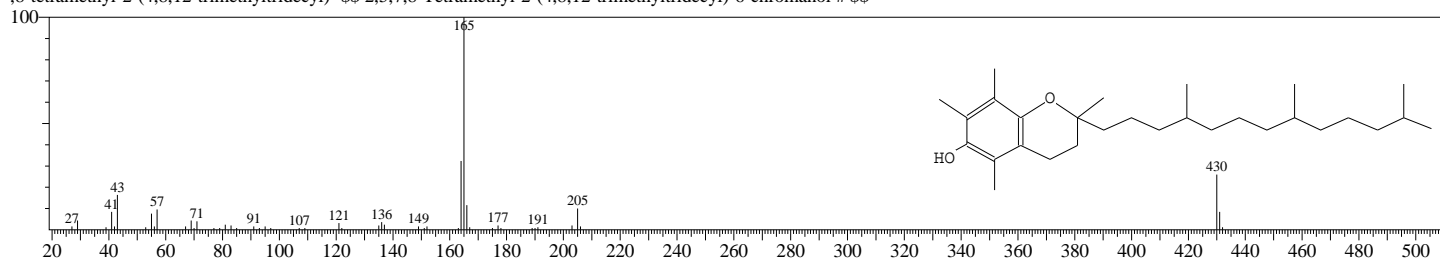
Hit#:1 Entry:188803 Library:NIST08.LIB
 SI:83 Formula:C35H60O7 CAS:0-00-0 MolWeight:592 RetIndex:4489
 CompName:.alpha.-Tocopherol-.beta.-D-mannoside



Hit#:2 Entry:181985 Library:NIST08.LIB
 SI:82 Formula:C31H52O3 CAS:58-95-7 MolWeight:472 RetIndex:3308
 CompName:2H-1-Benzopyran-6-ol, 3,4-dihydro-2,5,7,8-tetramethyl-2-(4,8,12-trimethyltridecyl)-, acetate, [2R-[2R*(4R*,8R*)]]- \$\$ Vitamin E acetate \$\$ 6-Chromanol, 2,5,7,8-tetramethyl-2-(4,8,12-trimethyltridecyl)-, acetate, (+)- \$\$.alpha.-Tocopherol acetate \$\$.alpha.-Tocopheryl acetate \$\$ (+)-.alpha.-Tocopherol acetate \$\$ (+)-.alpha.-Tocopheryl acetate \$\$ D-.alpha.-tocopherol acetate \$\$ D-.alpha.-tocopheryl acetate \$\$ Alfafcol \$\$ Combial E \$\$ Contopheron \$\$ E-Ferol \$\$ E-Toplex \$\$ Ecofrol \$\$ Econ \$\$ Endo E Dompe \$\$ E



Hit#:3 Entry:175526 Library:NIST08.LIB

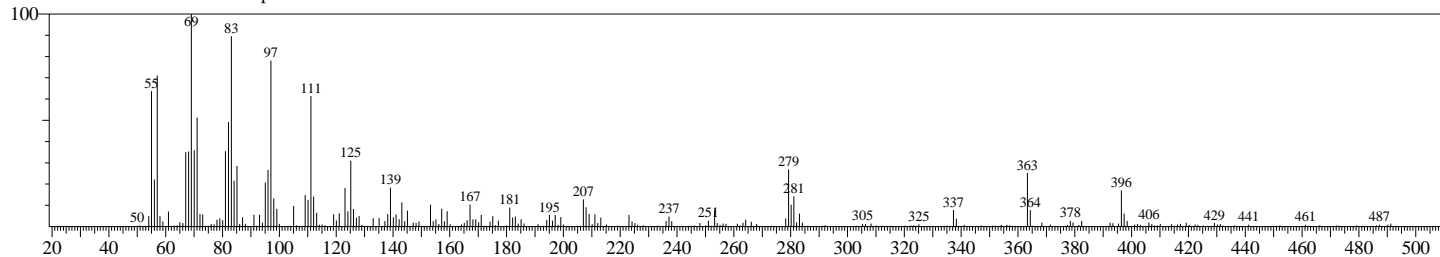
SI:77 Formula:C₂₉H₅₀O₂ CAS:10191-41-0 MolWeight:430 RetIndex:3149CompName:dl- α -Tocopherol $\$$ (.+/-)- α -Tocopherol $\$$ Vitamin E $\$$ 2H-1-Benzopyran-6-ol, 3,4-dihydro-2,5,7,8-tetramethyl-2-(4,8,12-trimethyltridecyl)- $\$$ 6-Chromanol, 2,5,7,8-tetramethyl-2-(4,8,12-trimethyltridecyl)- $\$$ 2,5,7,8-Tetramethyl-2-(4,8,12-trimethyltridecyl)-6-chromanol # $\$$ 

<< Target >>

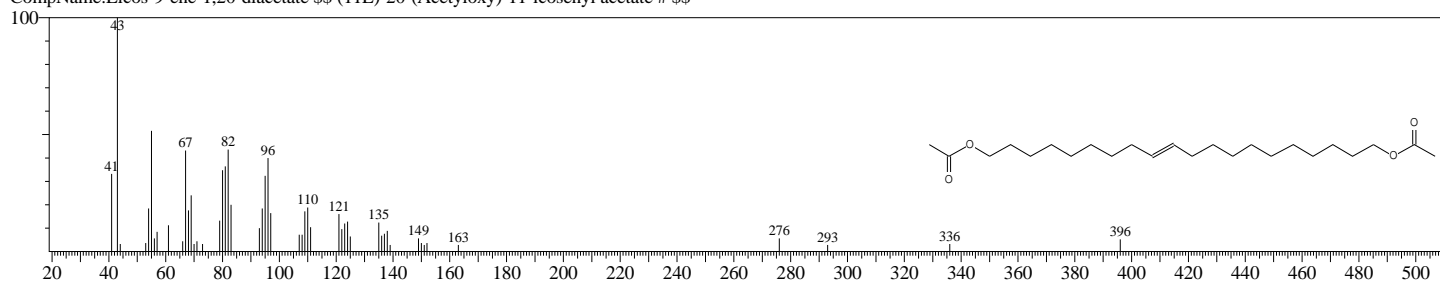
Line#:25 R.Time:25.725(Scan#:2728) Retention Index:3522! MassPeaks:280

RawMode:Averaged 25.717-25.733(2727-2729) BasePeak:69.05(2201)

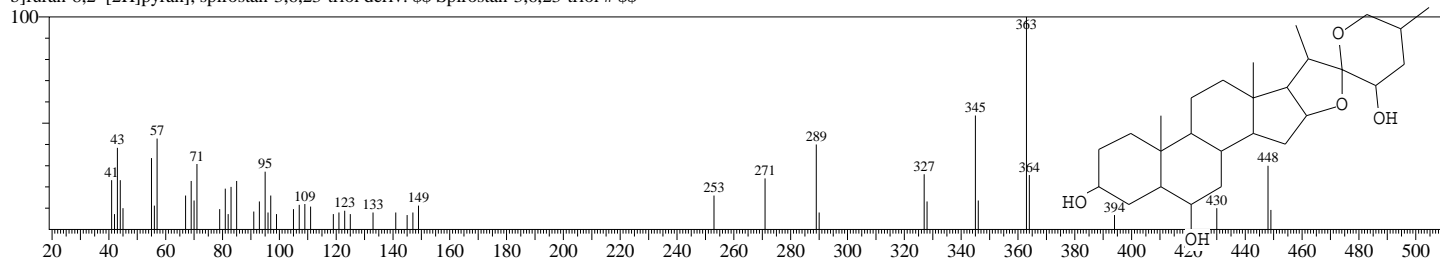
BG Mode:Calc. from Peak Group 1 - Event 1



Hit#:1 Entry:166426 Library:NIST08.LIB

SI:59 Formula:C₂₄H₄₄O₄ CAS:153444-61-2 MolWeight:396 RetIndex:2749CompName:Eicos-9-ene-1,20-diacetate $\$$ (11E)-20-(Acetyloxy)-11-icosenyl acetate # $\$$ 

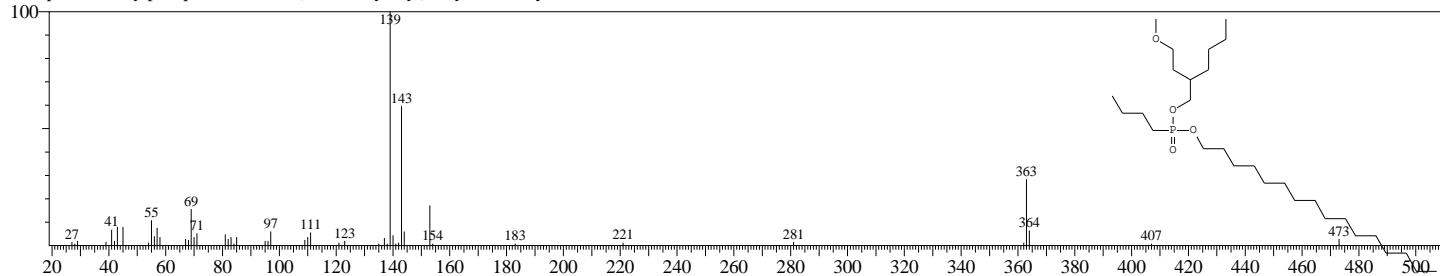
Hit#:2 Entry:178732 Library:NIST08.LIB

SI:54 Formula:C₂₇H₄₄O₅ CAS:16750-37-1 MolWeight:448 RetIndex:3209CompName:Spirostan-3,6,23-triol, (3 β .,5 α .,6 α .,23S,25S)- $\$$ 5 α -Spirostan-3 β .,6 α .,23-triol, (23S,25S)- $\$$ Paniculogenin $\$$ Spiro[8H-naphth[2',1':4,5]indeno[2,1-b]furan-8,2'-[2H]pyran], spirostan-3,6,23-triol deriv. $\$$ Spirostan-3,6,23-triol # $\$$ 

Hit#:3 Entry:184971 Library:NIST08.LIB

SI:52 Formula:C₂₉H₆₁O₄P CAS:0-00-0 MolWeight:504 RetIndex:0

CompName:Butylphosphonic acid, 2-(2-methoxyethyl)hexyl hexadecyl ester

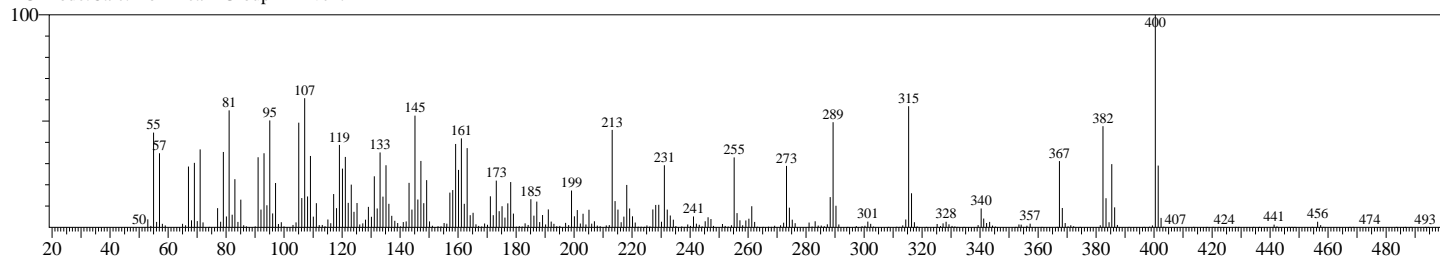


<< Target >>

Line#:26 R.Time:25.875(Scan#:2746) Retention Index:3539! MassPeaks:373

RawMode:Averaged 25.867-25.883(2745-2747) BasePeak:400.40(27438)

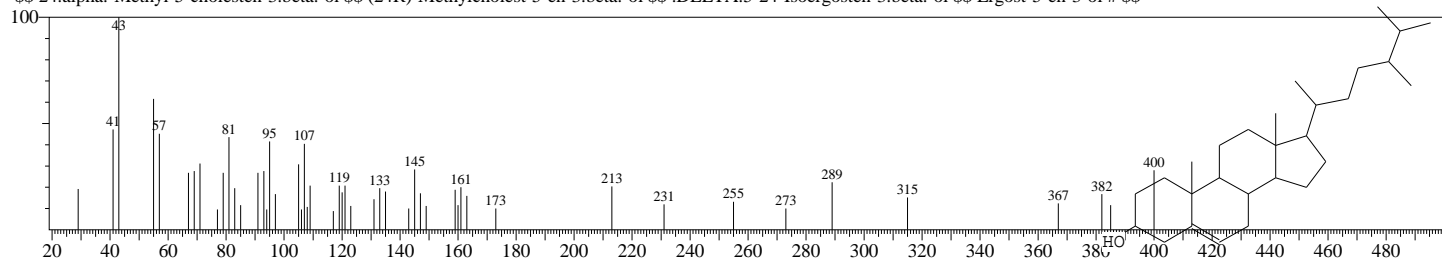
BG Mode:Calc. from Peak Group 1 - Event 1



Hit#:1 Entry:168084 Library:NIST08.LIB

SI:86 Formula:C₂₈H₄₈O CAS:474-62-4 MolWeight:400 RetIndex:2632

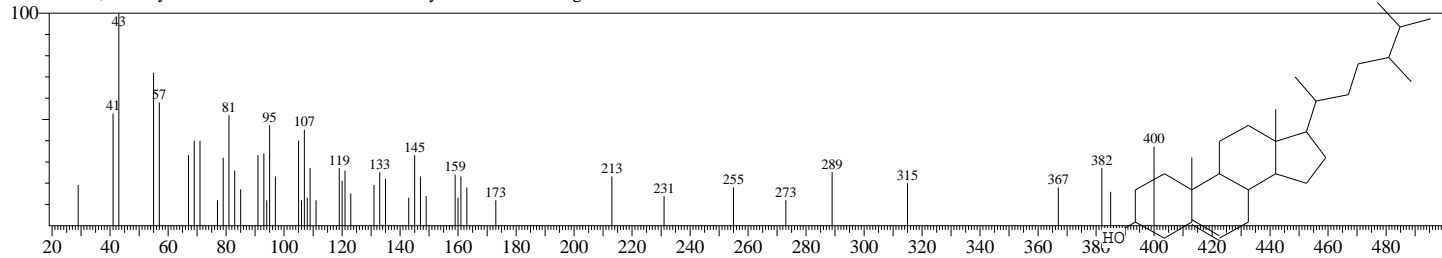
CompName:Campesterol \$\$ Ergost-5-en-3-ol, (3.beta.,24R)- \$\$ Ergost-5-en-3.beta.-ol, (24R)- \$\$ (24R)-5-Ergosten-3.beta.-ol \$\$ Campesterin \$\$ Campesterol \$\$ 24.alpha.-Methylcholesterol \$\$ 24.alpha.-Methyl-5-cholesten-3.beta.-ol \$\$ (24R)-Methylcholest-5-en-3.beta.-ol \$\$.DELTA.5-24-Isoergosten-3.beta.-ol \$\$ Ergost-5-en-3-ol # \$\$



Hit#:2 Entry:168088 Library:NIST08.LIB

SI:85 Formula:C₂₈H₄₈O CAS:4651-51-8 MolWeight:400 RetIndex:2632

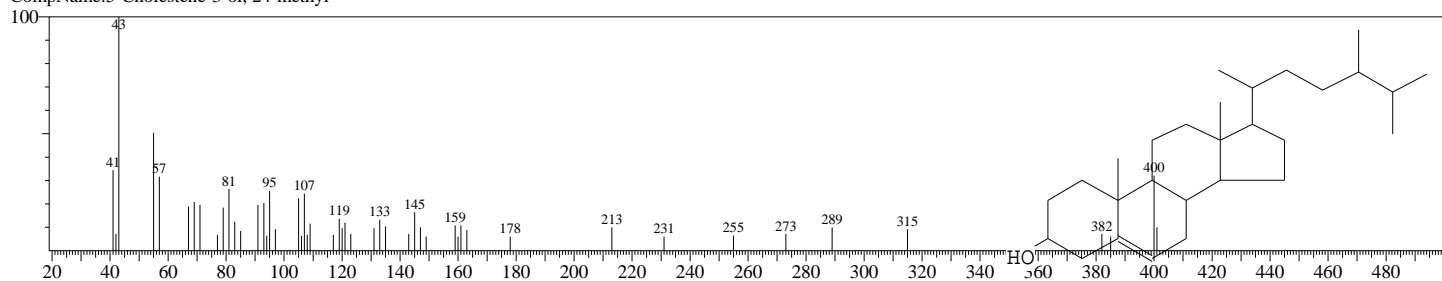
CompName:Ergost-5-en-3-ol, (3.beta.)- \$\$ Ergost-5-en-3.beta.-ol \$\$.delta.22-Dihydrobrassicasterol \$\$.delta.5-Ergostenol \$\$ Dihydrobrassicasterol \$\$ Ergost-5-enol \$\$ 22-Dihydrobrassicasterol \$\$ 22,23-Dihydrobrassicasterol \$\$ 24.beta.-Methylcholesterol \$\$ Ergost-5-en-3-ol # \$\$



Hit#:3 Entry:168083 Library:NIST08.LIB

SI:83 Formula:C₂₈H₄₈O CAS:0-00-0 MolWeight:400 RetIndex:2632

CompName:5-Cholestene-3-ol, 24-methyl-

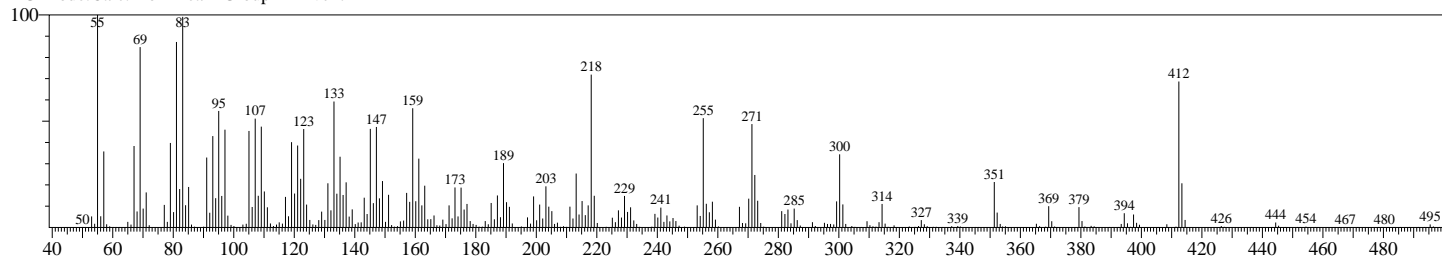


<< Target >>

Line#:27 R.Time:26.067(Scan#:2769) Retention Index:3560! MassPeaks:386

RawMode:Averaged 26.058-26.075(2768-2770) BasePeak:55.00(26524)

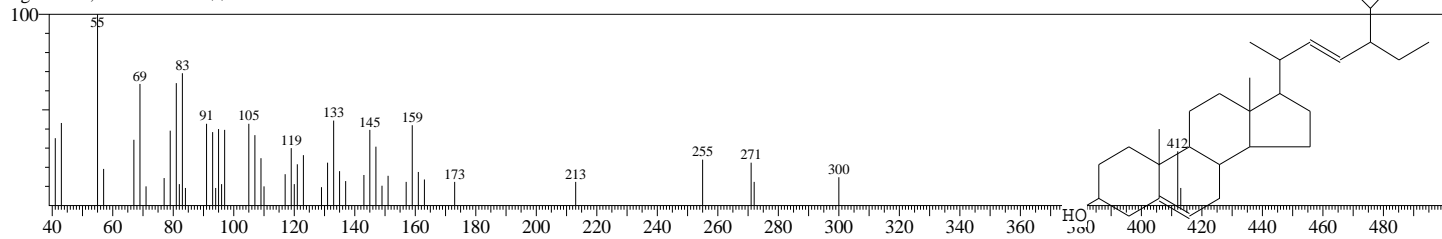
BG Mode:Calc. from Peak Group 1 - Event 1



Hit#:1 Entry:171275 Library:NIST08.LIB

SI:82 Formula:C₂₉H₄₈O CAS:83-48-7 MolWeight:412 RetIndex:2739

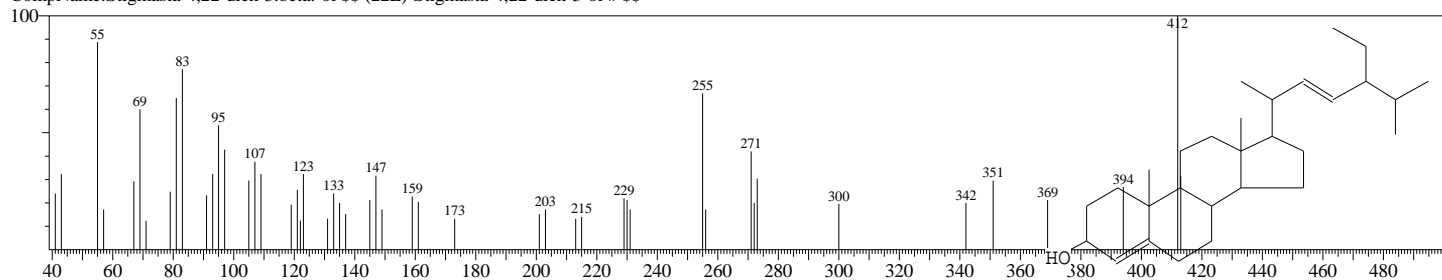
CompName:Stigmasterol \$\$ Stigmasta-5,22-dien-3-ol, (3.beta.,22E)- \$\$ Stigmasta-5,22-dien-3.beta.-ol \$\$.beta.-Stigmasterol \$\$ (24S)-5,22-Stigmastadien-3.beta.-ol \$\$ Stigmasta-5,22-dien-3-ol, (3.beta.)- \$\$ Stigmasterin \$\$ Phytosterol \$\$ 5,22-Cholestadien-24-ethyl-3.beta.-ol \$\$.DELTA.5,22-Stigmastadien-3.beta.-ol \$\$ I-Stigmasterol \$\$ Stigmasta-5,22-dien-3-ol # \$\$



Hit#:2 Entry:171296 Library:NIST08.LIB

SI:78 Formula:C₂₉H₄₈O CAS:57815-94-8 MolWeight:412 RetIndex:2739

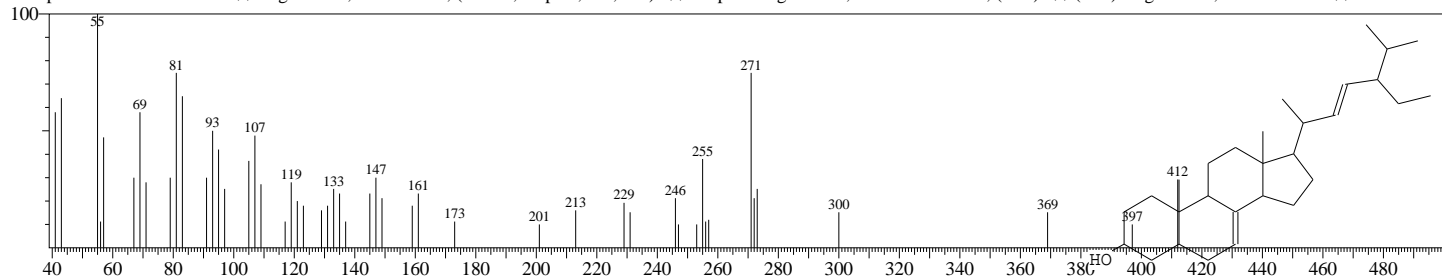
CompName:Stigmasta-4,22-dien-3.beta.-ol \$\$ (22E)-Stigmasta-4,22-dien-3-ol # \$\$



Hit#:3 Entry:171274 Library:NIST08.LIB

SI:75 Formula:C₂₉H₄₈O CAS:481-17-4 MolWeight:412 RetIndex:2739

CompName:Chondrillasterol \$\$ Stigmasta-7,22-dien-3-ol, (3.beta.,5.alpha.,22E,24R)- \$\$ 5.alpha.-Stigmasta-7,22-dien-3-ol, (24R)- \$\$ (22E)-Stigmasta-7,22-dien-3-ol # \$\$

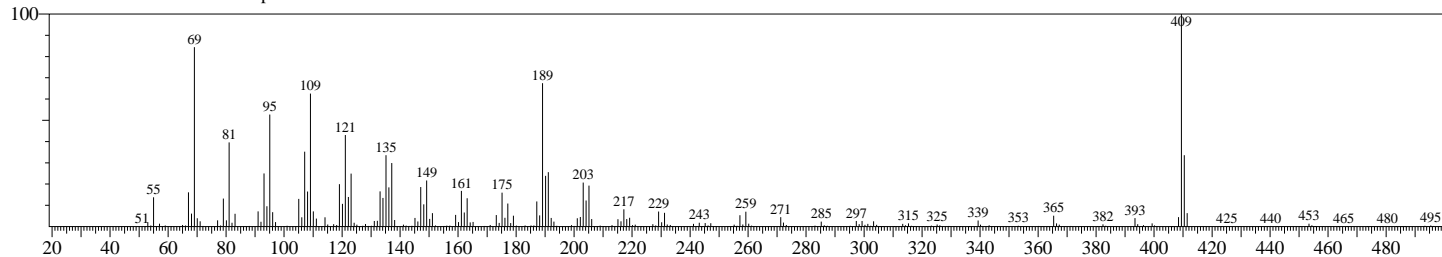


<< Target >>

Line#:28 R.Time:26.292(Scan#:2796) Retention Index:3585! MassPeaks:312

RawMode:Averaged 26.283-26.300(2795-2797) BasePeak:409.40(18402)

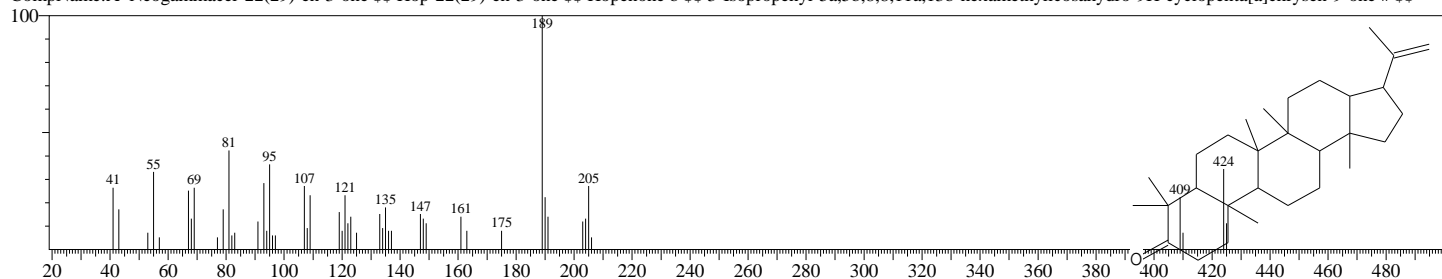
BG Mode:Calc. from Peak Group 1 - Event 1



Hit#:1 Entry:174152 Library:NIST08.LIB

SI:79 Formula:C₃₀H₄₈O CAS:25615-11-6 MolWeight:424 RetIndex:2831

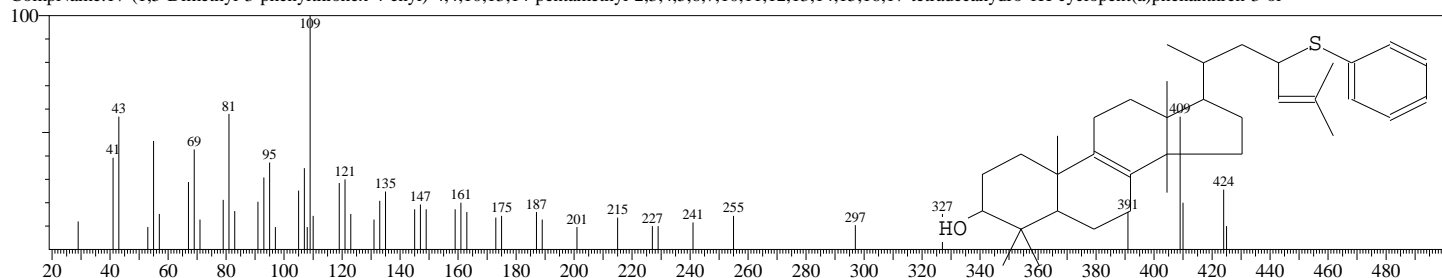
CompName:A'-Neogammacer-22(29)-en-3-one \$\$ Hop-22(29)-en-3-one \$\$ Hopenone b \$\$ 3-Isopropenyl-5a,5b,8,8,11a,13b-hexamethylcosahydro-9H-cyclopenta[a]chrysen-9-one # \$\$



Hit#:2 Entry:186709 Library:NIST08.LIB

SI:67 Formula:C₃₆H₅₄OS CAS:0-00-0 MolWeight:534 RetIndex:3742

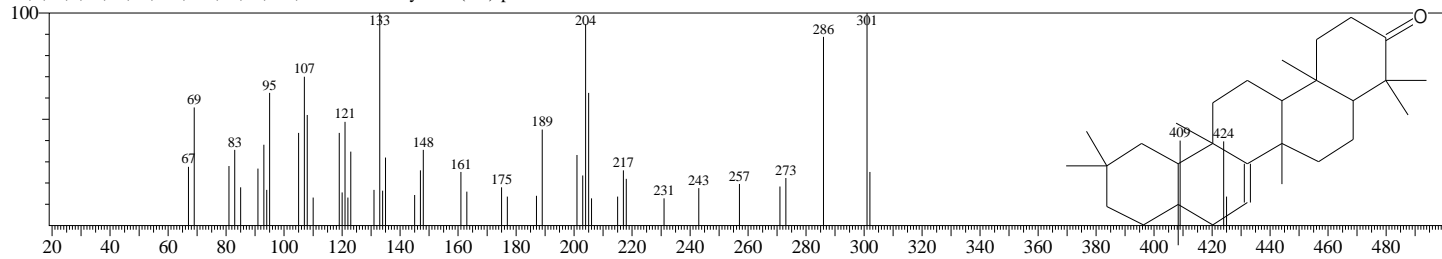
CompName:17-(1,5-Dimethyl-3-phenylthiohex-4-enyl)-4,4,10,13,14-pentamethyl-2,3,4,5,6,7,10,11,12,13,14,15,16,17-tetradecahydro-1H-cyclopenta(a)phenanthren-3-ol



Hit#:3 Entry:174147 Library:NIST08.LIB

SI:61 Formula:C₃₀H₄₈O CAS:514-07-8 MolWeight:424 RetIndex:2869

CompName:D-Friedolean-14-en-3-one \$\$.delta.14-Taraxene-3-one \$\$ Skimmione \$\$ Taraxer-14-en-3-one \$\$ Taraxeron \$\$ Taraxerone \$\$ 4,4,6a,8a,11,11,12b,14b-Octamethyl-1,4,4a,5,6,6a,8,8a,9,10,11,12,12a,12b,13,14,14a,14b-octadecahydro-3(2H)-picenone # \$\$

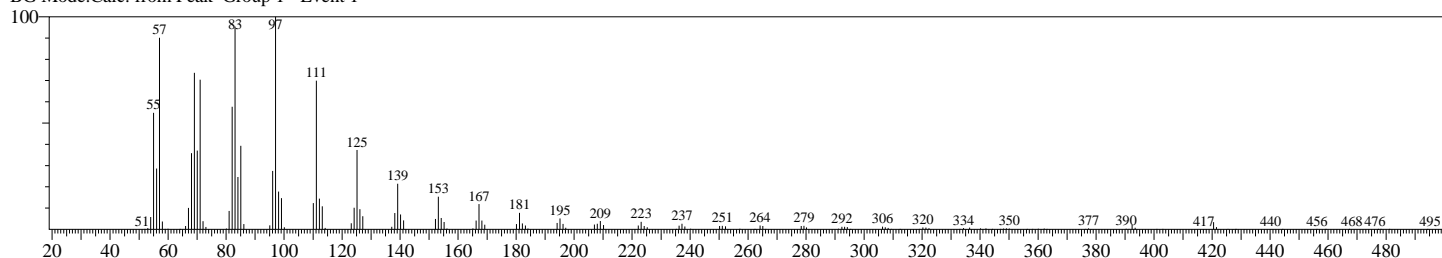


<< Target >>

Line#:29 R.Time:26.475(Scan#:2818) Retention Index:3606! MassPeaks:182

RawMode:Averaged 26.467-26.483(2817-2819) BasePeak:97.05(12208)

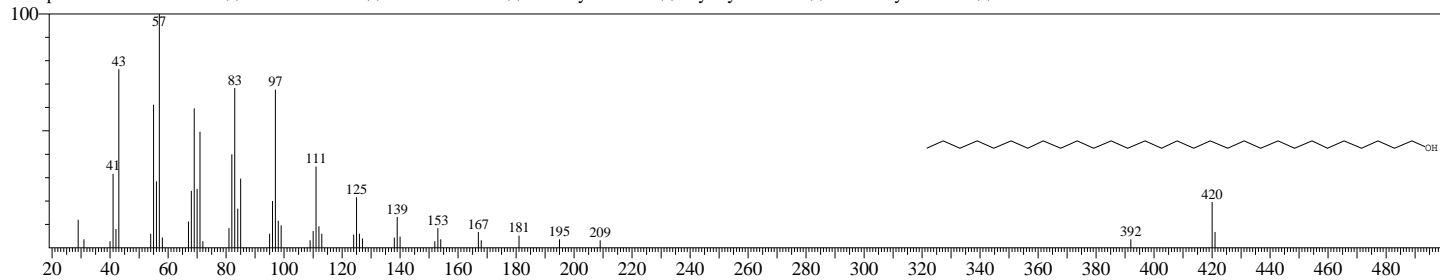
BG Mode:Calc. from Peak Group 1 - Event 1



Hit#:1 Entry:177011 Library:NIST08.LIB

SI:89 Formula:C30H62O CAS:593-50-0 MolWeight:438 RetIndex:3246

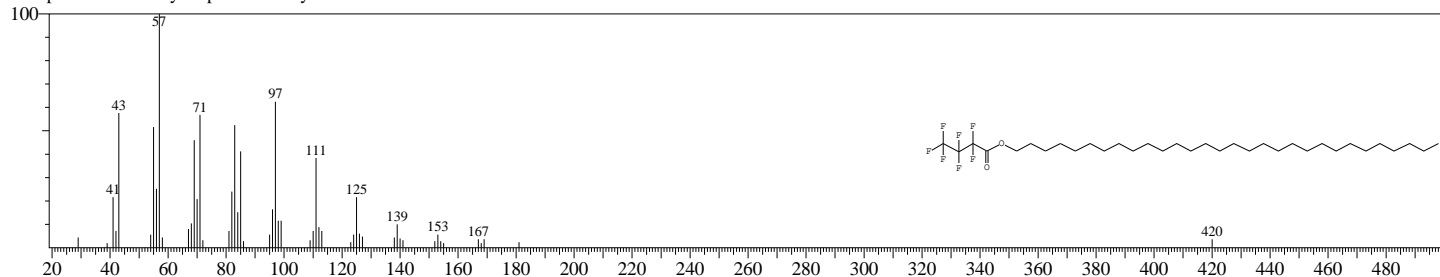
CompName:1-Triacontanol \$\$ Triacontanol-1- \$\$ n-Triacontanol \$\$ Melissyl alcohol \$\$ Myricyl alcohol \$\$ Triacontyl alcohol \$\$



Hit#:2 Entry:189686 Library:NIST08.LIB

SI:87 Formula:C34H61F7O2 CAS:0-00-0 MolWeight:634 RetIndex:3125

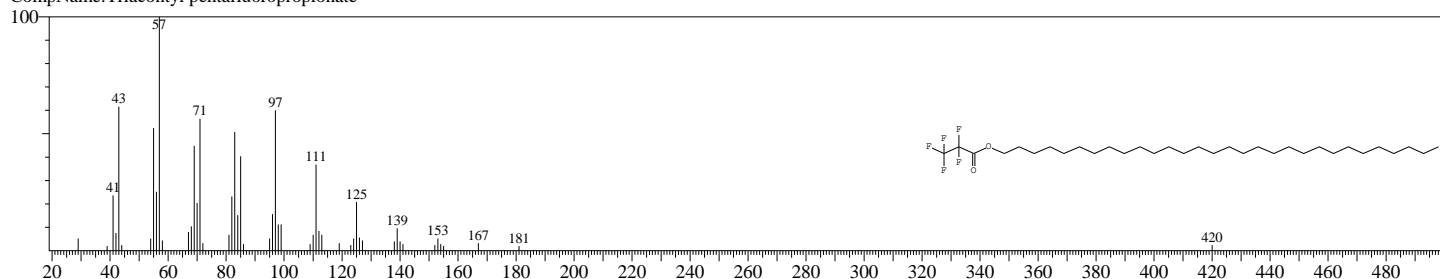
CompName:Triacontyl heptafluorobutyrate



Hit#:3 Entry:188608 Library:NIST08.LIB

SI:87 Formula:C33H61F5O2 CAS:0-00-0 MolWeight:584 RetIndex:3164

CompName:Triacontyl pentafluoropropionate

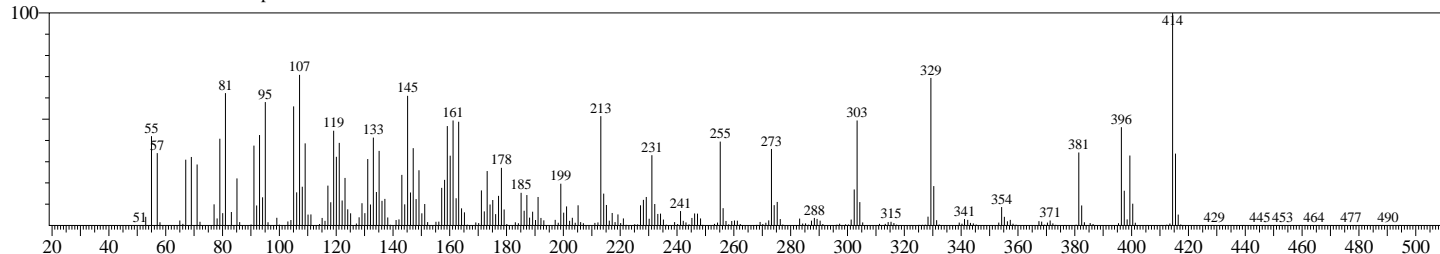


<< Target >>

Line#:30 R.Time:26.542(Scan#:2826) Retention Index:3613! MassPeaks:343

RawMode:Averaged 26.533-26.550(2825-2827) BasePeak:414.40(28558)

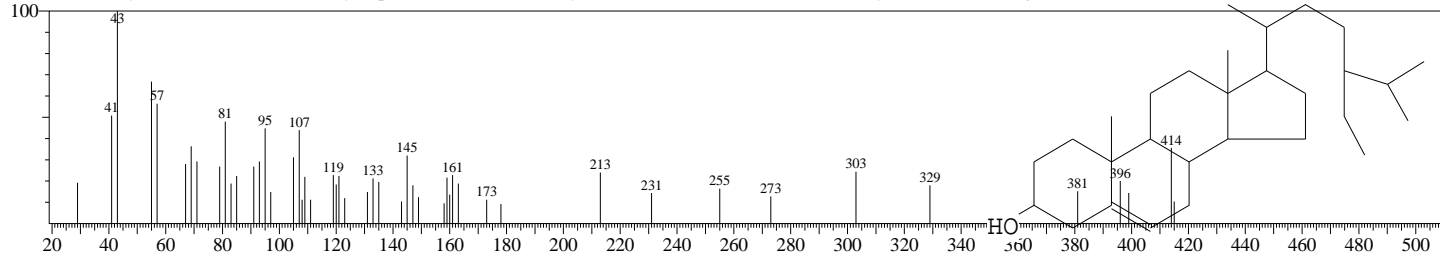
BG Mode:Calc. from Peak Group 1 - Event 1



Hit#:1 Entry:171855 Library:NIST08.LIB

SI:86 Formula:C29H50O CAS:83-47-6 MolWeight:414 RetIndex:2731

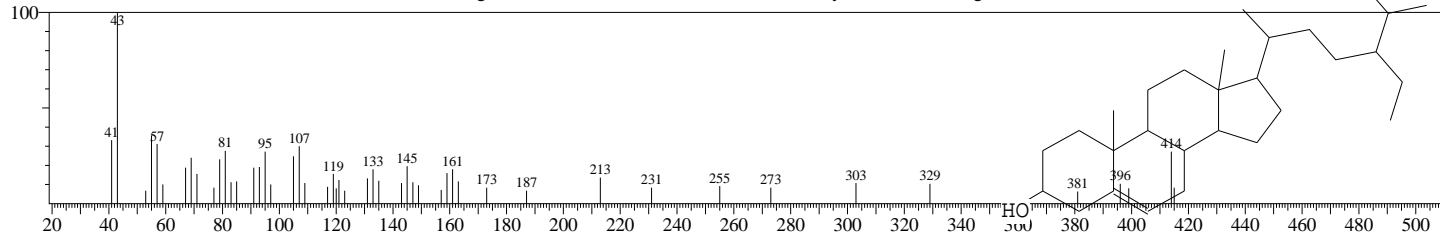
CompName:.gamma.-Sitosterol \$\$ Stigmast-5-en-3-ol, (3.beta.,24S)- \$\$ Stigmast-5-en-3.beta.-ol, (24S)- \$\$ Chionasterol \$\$ Fucosterol, .beta.-dihydro- \$\$ 24.beta.-Ethyl-5-cholesten-3.beta.-ol \$\$.beta.-Dihydrofucosterol \$\$ 22,23-Dihydroporiferasterol \$\$ 24S-Ethylcholest-5-en-3.beta.-ol \$\$ 24.beta.-Ethylcholesterol \$\$ Stigmast-5-en-3-ol # \$\$



Hit#:2 Entry:171854 Library:NIST08.LIB

SI:85 Formula:C29H50O CAS:83-46-5 MolWeight:414 RetIndex:2731

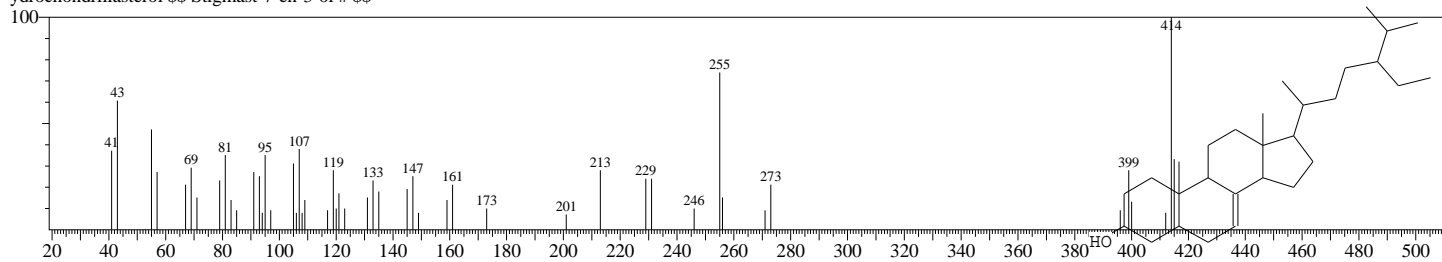
CompName:.beta.-Sitosterol \$\$ Stigmast-5-en-3-ol, (3.beta.)- \$\$ Stigmast-5-en-3.beta.-ol \$\$.alpha.-Dihydrofucosterol \$\$.beta.-Sitosterin \$\$ Angelicin \$\$ Angelicin (steroid) \$\$ Cinchol \$\$ Cupreol \$\$ Quebrachol \$\$ Rhamnol \$\$ Stigmasterol, 22,23-dihydro- \$\$ SKF 14463 \$\$ 22,23-Dihydrostigmasterol \$\$ 24.alpha.-Ethylcholesterol \$\$ Phytosterol \$\$ Sitosterol \$\$ Harzol \$\$ S ito-Lande \$\$ Sitosterol, .beta. \$\$ Triastonal \$\$.DELTA.-5-Stigmasten-3.beta.-ol \$\$ 5-Cholesten-24.beta.-ethyl-3.beta.-ol \$\$ Stigmast-5-en-3-ol # \$\$



Hit#:3 Entry:171874 Library:NIST08.LIB

SI:71 Formula:C₂₉H₅₀O CAS:18525-35-4 MolWeight:414 RetIndex:2731

CompName:Stigmast-7-en-3-ol, (3.beta.,5.alpha.,24S)- \$\$ 5.alpha.-Stigmast-7-en-3.beta.-ol, (24S)- \$\$.delta.7-Chondrillastenol \$\$ Chondrillast-7-enol \$\$ 22-Dihydrochondrillasterol \$\$ Dihydrochondrillasterol \$\$ Stigmast-7-en-3-ol # \$\$

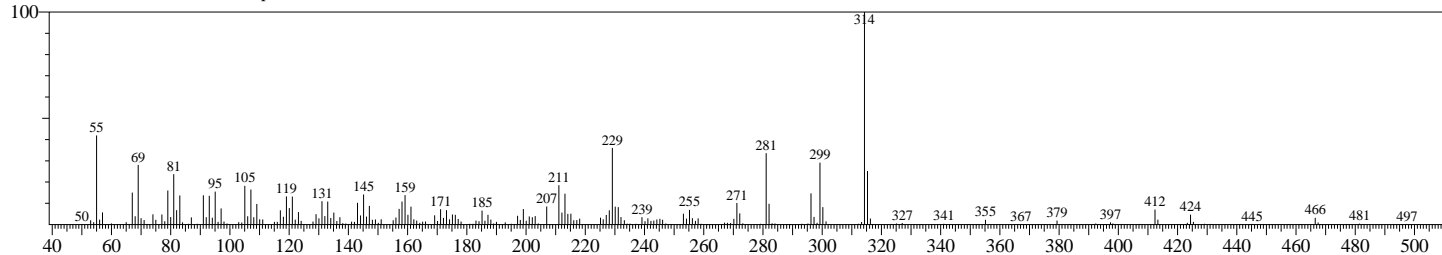


<< Target >>

Line#:31 R.Time:26.667(Scan#:2841) Retention Index:3628! MassPeaks:313

RawMode:Averaged 26.658-26.675(2840-2842) BasePeak:314.30(8312)

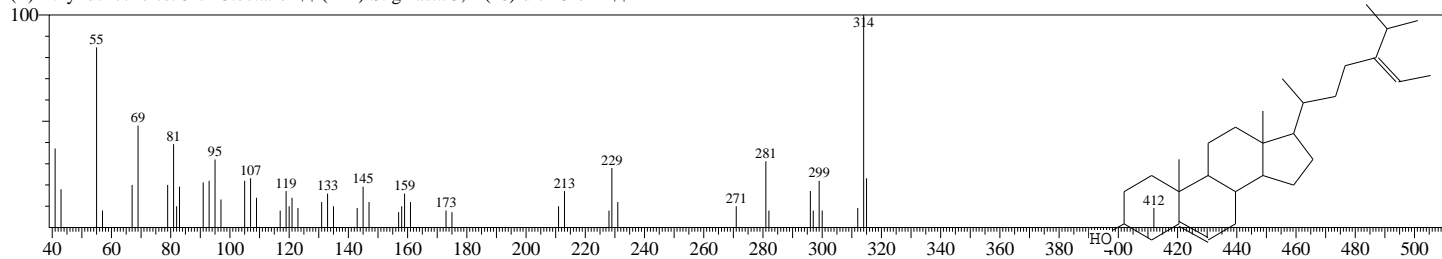
BG Mode:Calc. from Peak Group 1 - Event 1



Hit#:1 Entry:171285 Library:NIST08.LIB

SI:89 Formula:C₂₉H₄₈O CAS:17605-67-3 MolWeight:412 RetIndex:2780

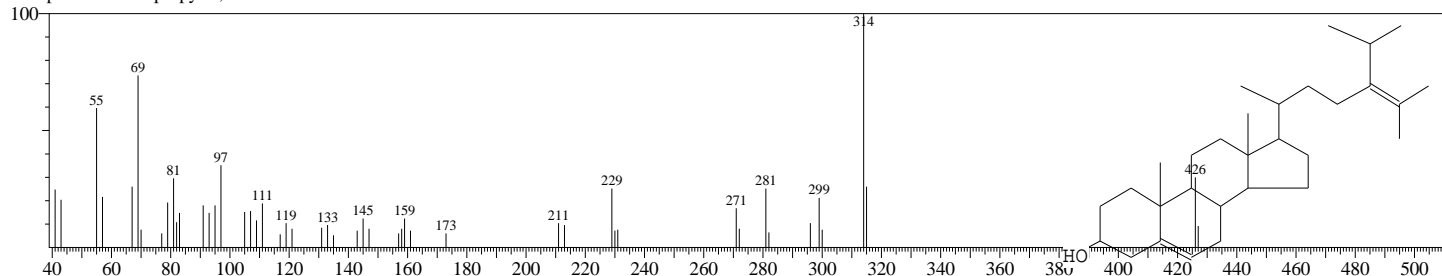
CompName:Fucosterol \$\$ Stigmasta-5,24(28)-dien-3-ol, (3.beta.,24E)- \$\$ Stigmasta-5,24(28)-dien-3.beta.-ol, (E)- \$\$ trans-24-Ethylidenecholesterol \$\$ Fucosterin \$\$ 28-Isopucosterol \$\$ 24(E)-Ethylidenecholesterol-5-en-3.beta.-ol \$\$ (24Z)-Stigmasta-5,24(28)-dien-3-ol # \$\$



Hit#:2 Entry:174653 Library:NIST08.LIB

SI:84 Formula:C₃₀H₅₀O CAS:77643-24-4 MolWeight:426 RetIndex:2857

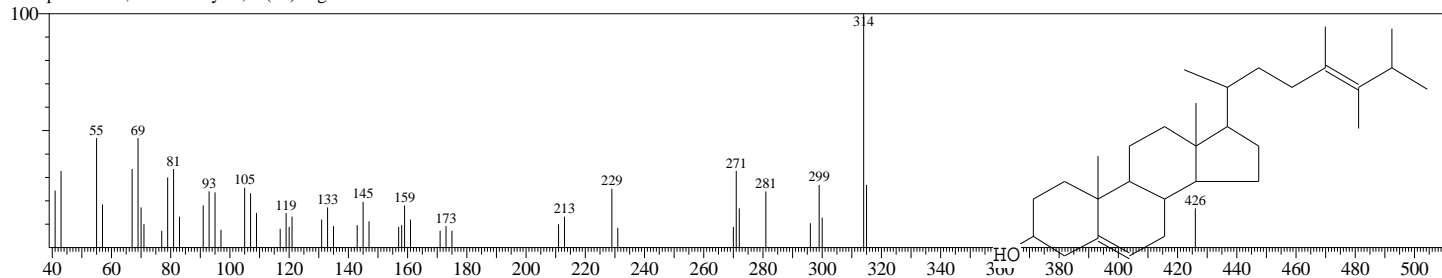
CompName:24-Isopropyl-5,24-cholestadien-3.beta.-ol



Hit#:3 Entry:174652 Library:NIST08.LIB

SI:84 Formula:C₃₀H₅₀O CAS:0-00-0 MolWeight:426 RetIndex:2857

CompName:26,26-Dimethyl-5,24(28)-ergostadien-3.beta.-ol

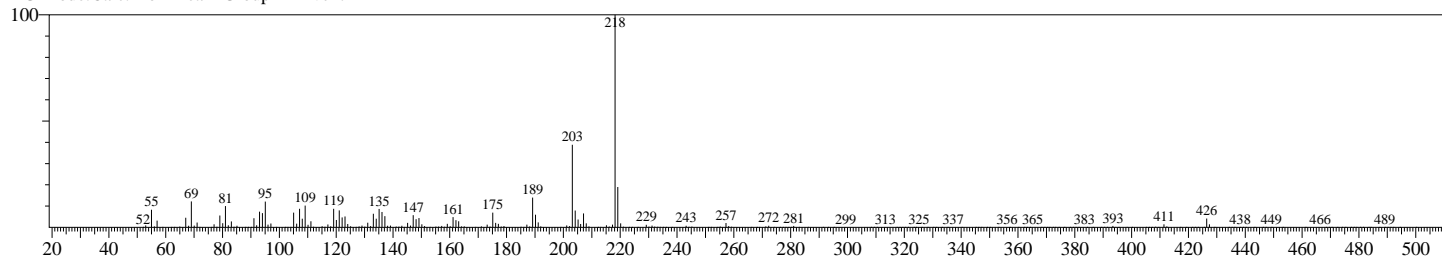


<< Target >>

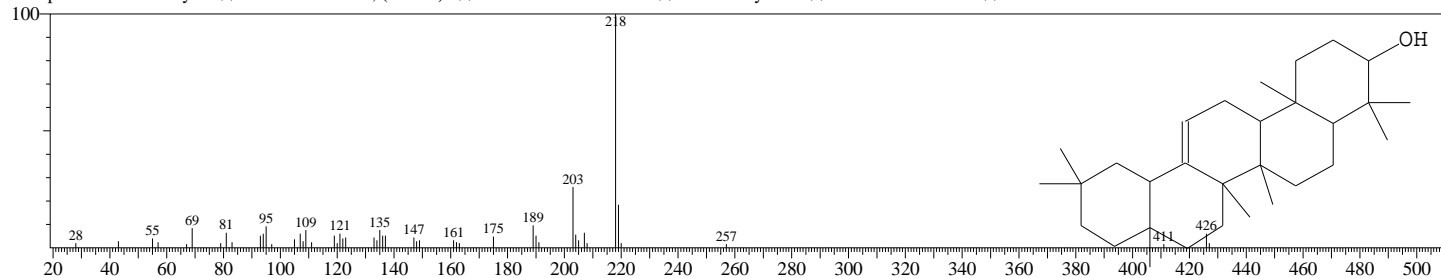
Line#:32 R.Time:26.900(Scan#:2869) Retention Index:3654! MassPeaks:348

RawMode:Averaged 26.892-26.908(2868-2870) BasePeak:218.20(84941)

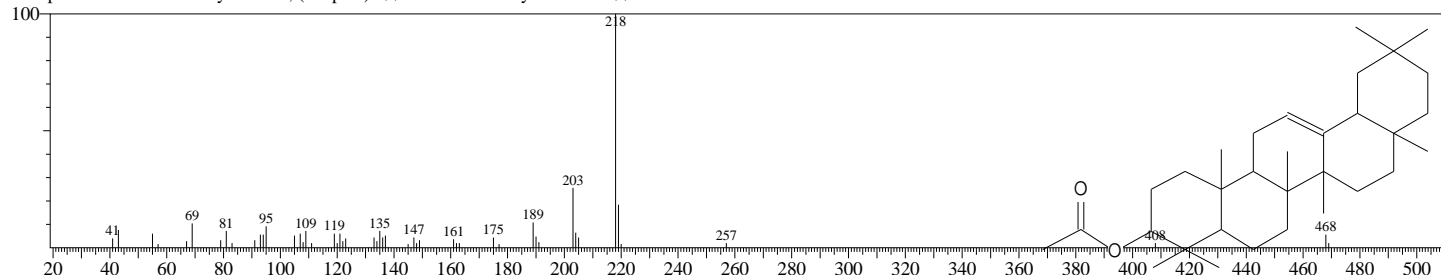
BG Mode:Calc. from Peak Group 1 - Event 1



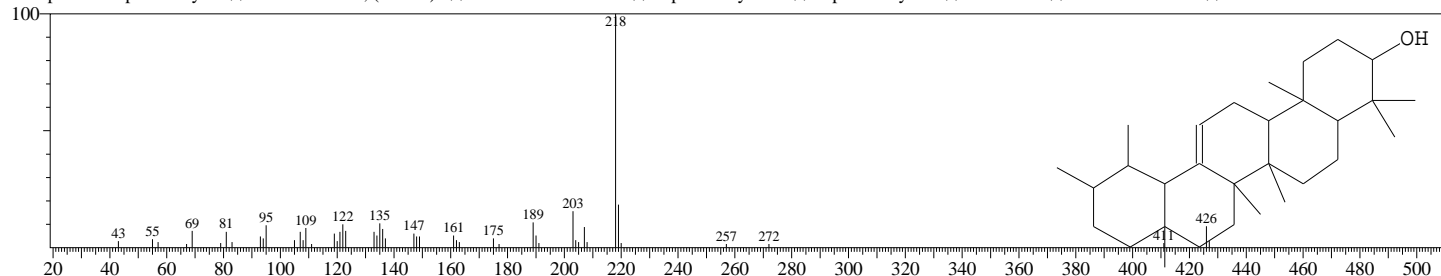
Hit#:1 Entry:174643 Library:NIST08.LIB
 SI:92 Formula:C30H50O CAS:559-70-6 MolWeight:426 RetIndex:2886
 CompName:.beta.-Amyrin \$\$ Olean-12-en-3-ol, (3.beta.)- \$\$ Olean-12-en-3-ol .beta.-Amyrenol \$\$ Olean-12-en-3-ol # \$\$



Hit#:2 Entry:181521 Library:NIST08.LIB
 SI:91 Formula:C32H52O2 CAS:33055-28-6 MolWeight:468 RetIndex:3025
 CompName:12-Oleanen-3-yl acetate, (3.alpha.)- \$\$ Olean-12-en-3-yl acetate # \$\$

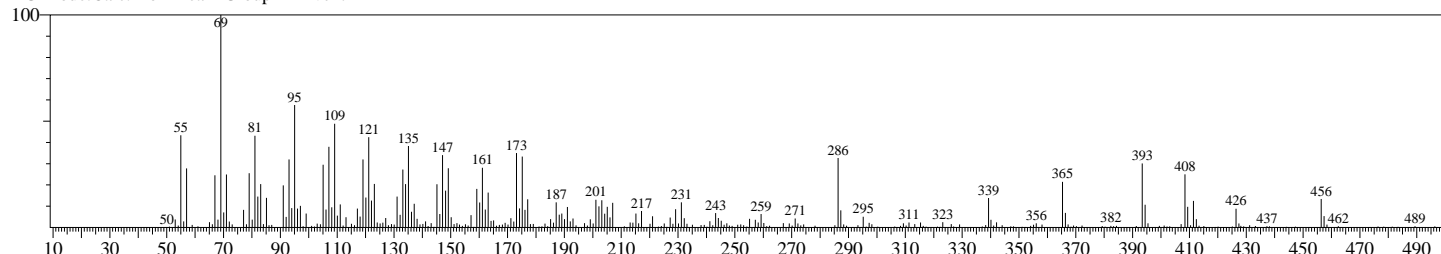


Hit#:3 Entry:174644 Library:NIST08.LIB
 SI:90 Formula:C30H50O CAS:638-95-9 MolWeight:426 RetIndex:2873
 CompName:.alpha.-Amyrin \$\$ Urs-12-en-3-ol, (3.beta.)- \$\$ Urs-12-en-3-ol .beta.-Amyrenol \$\$.alpha.-Amyrine \$\$ Viminalol \$\$ Urs-12-en-3-ol # \$\$

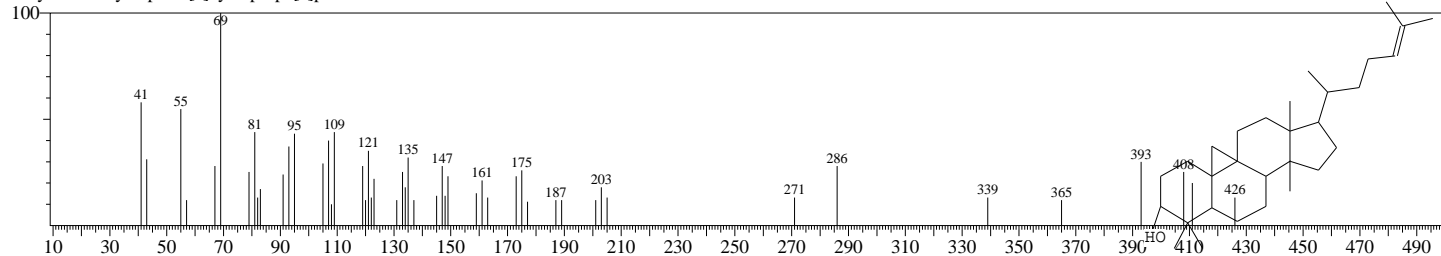


<< Target >>

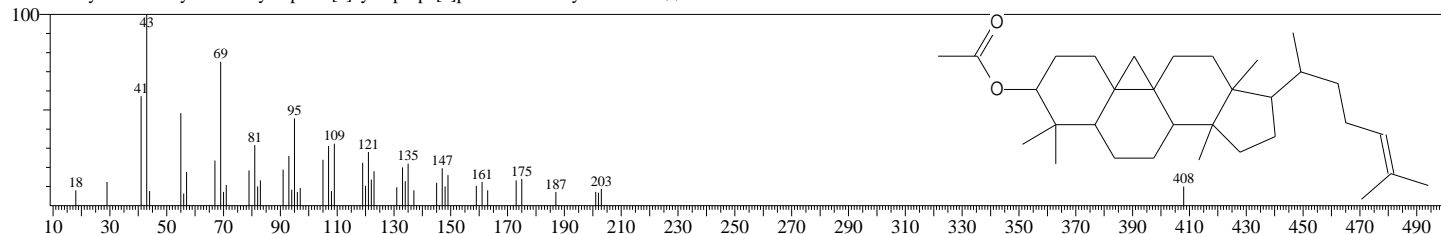
Line#:33 R.Time:27.233(Scan#:2909) Retention Index:3691! MassPeaks:323
 RawMode:Averaged 27.225-27.242(2908-2910) BasePeak:69.05(3415)
 BG Mode:Calc. from Peak Group 1 - Event 1



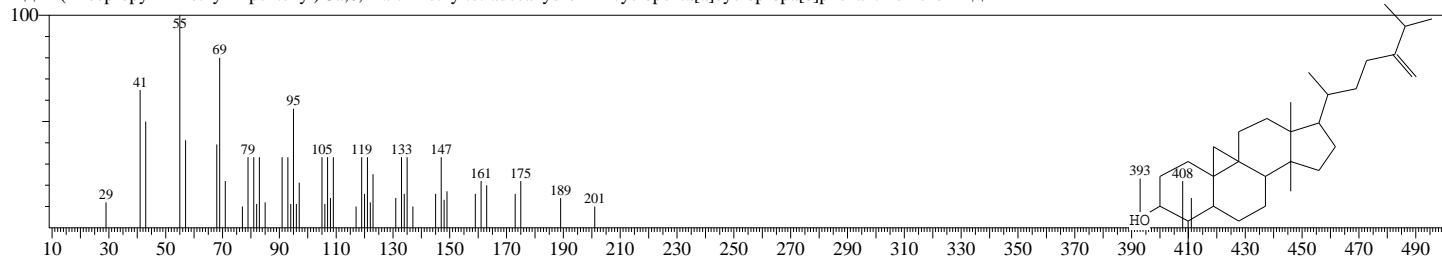
Hit#:1 Entry:174622 Library:NIST08.LIB
 SI:90 Formula:C30H50O CAS:469-38-5 MolWeight:426 RetIndex:2816
 CompName:9,19-Cyclolanost-24-en-3-ol, (3.beta.)- \$\$ 9,19-Cyclo-9.beta.-lanost-24-en-3.beta.-ol \$\$ Cycloartenol \$\$ Handianol \$\$ 1-(1,5-Dimethyl-4-hexenyl)-3a,6,6,12a-tetramethyltetradecahydro-1H-cyclopenta[a]cyclopropa[e]phenanthren-7-ol # \$\$



Hit#:2 Entry:181512 Library:NIST08.LIB
 SI:84 Formula:C32H52O2 CAS:1259-10-5 MolWeight:468 RetIndex:2956
 CompName:9,19-Cyclolanost-24-en-3-ol, acetate, (3.beta.)- \$\$ 9,19-Cyclo-9.beta.-lanost-24-en-3.beta.-ol, acetate \$\$ Cycloartenol acetate \$\$ Cycloartenyl acetate \$\$ 3-O-Acetylcycloartenol \$\$ 1H,19H-Cyclopenta[9,10]cyclopenta[a]phenanthrene, 9,19-cyclolanost-24-en-3-ol deriv. \$\$ Cycloartenol 3-acetate \$\$ 3-O-Acetyl-cycloartenol \$\$ 1-(1,5-Dimethyl-4-hexenyl)-3a,6,6,12a-tetramethyltetradecahydro-1H-cyclopenta[a]cyclopropa[e]phenanthren-7-yl acetate # \$\$



Hit#:3 Entry:174617 Library:NIST08.LIB

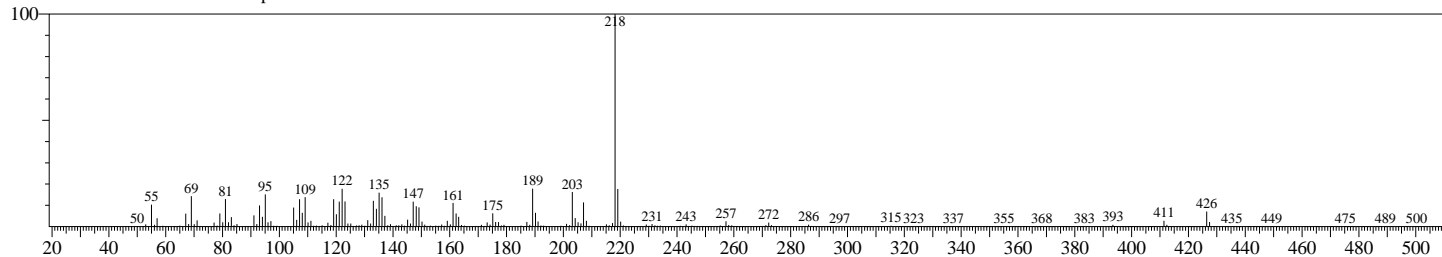
SI:81 Formula:C₃₀H₅₀O CAS:469-39-6 MolWeight:426 RetIndex:2760CompName:9,19-Cycloergost-24(28)-en-3-ol, 4,14-dimethyl-, (3.beta.,4.alpha.,5.alpha.)- \$\$ 9,19-Cyclo-5.alpha.,9.beta.-ergost-24(28)-en-3.beta.-ol, 4.alpha.,14-dimethyl- \$\$ Cycloeucaleno
1 \$\$ 1-(4-Isopropyl-1-methyl-4-pentenyl)-3a,6,12a-trimethyltetradecahydro-1H-cyclopenta[a]cyclopropa[e]phenanthren-7-ol # \$\$

<< Target >>

Line#:34 R.Time:27.333(Scan#:2921) Retention Index:3702! MassPeaks:385

RawMode:Averaged 27.325-27.342(2920-2922) BasePeak:218.20(170601)

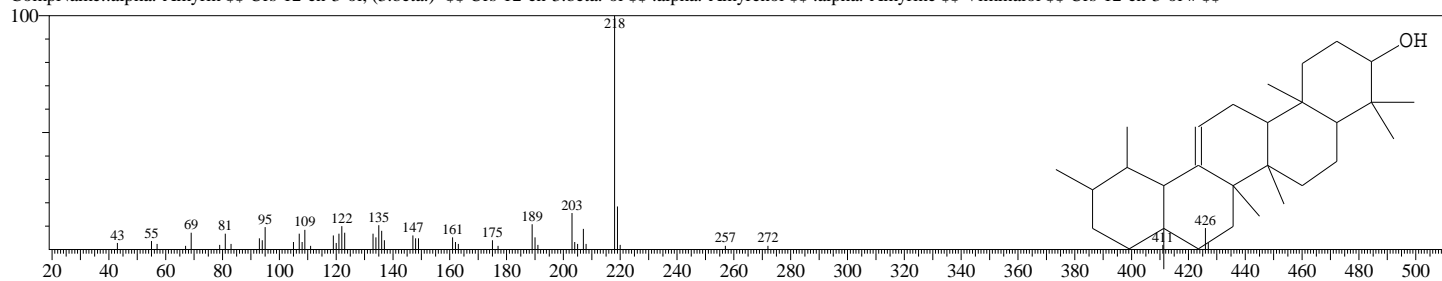
BG Mode:Calc. from Peak Group 1 - Event 1



Hit#:1 Entry:174644 Library:NIST08.LIB

SI:87 Formula:C₃₀H₅₀O CAS:638-95-9 MolWeight:426 RetIndex:2873

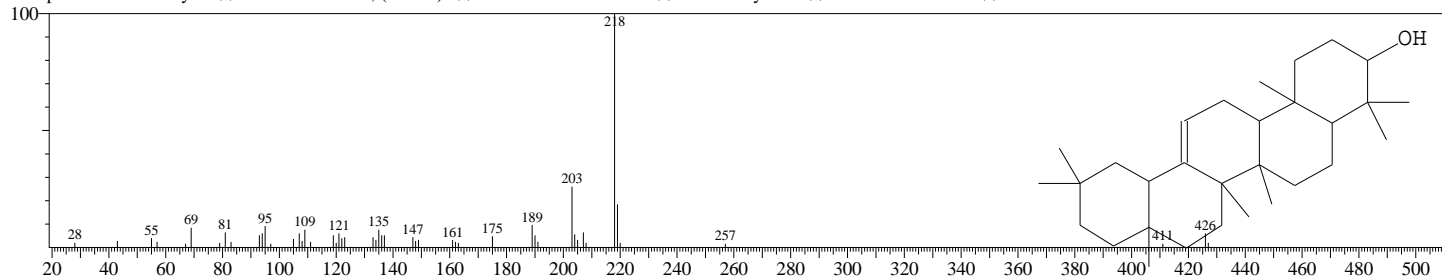
CompName:.alpha.-Amyrin \$\$ Urs-12-en-3-ol, (3.beta.)- \$\$ Urs-12-en-3.beta.-ol \$\$.alpha.-Amyrenol \$\$.alpha.-Amyrine \$\$ Vimalol \$\$ Urs-12-en-3-ol # \$\$



Hit#:2 Entry:174643 Library:NIST08.LIB

SI:85 Formula:C₃₀H₅₀O CAS:559-70-6 MolWeight:426 RetIndex:2886

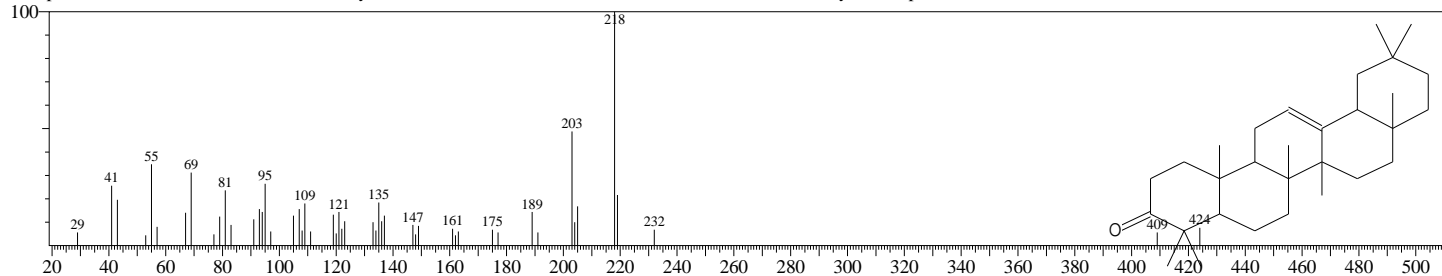
CompName:.beta.-Amyrin \$\$ Olean-12-en-3-ol, (3.beta.)- \$\$ Olean-12-en-3.beta.-ol \$\$.beta.-Amyrenol \$\$ Olean-12-en-3-ol # \$\$



Hit#:3 Entry:174157 Library:NIST08.LIB

SI:82 Formula:C₃₀H₄₈O CAS:0-00-0 MolWeight:424 RetIndex:2869

CompName:4,4,6a,6b,8a,11,11,14b-Octamethyl-1,4,4a,5,6,6a,6b,7,8,8a,9,10,11,12,12a,14,14a,14b-octadecahydro-2H-picen-3-one

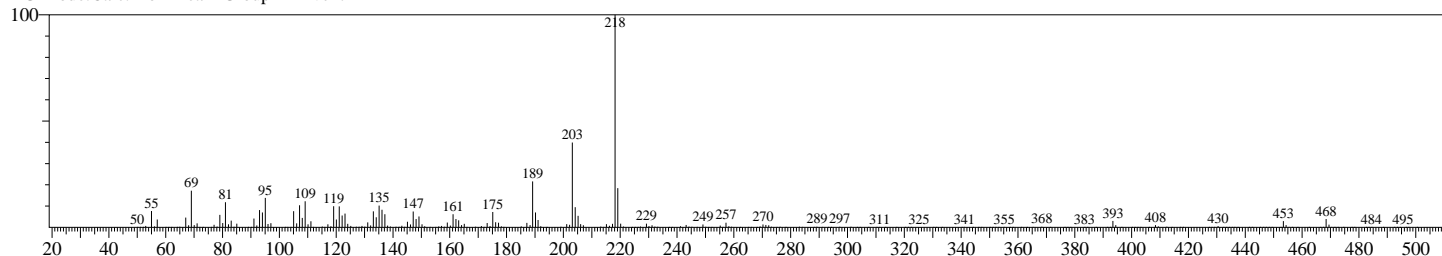


<< Target >>

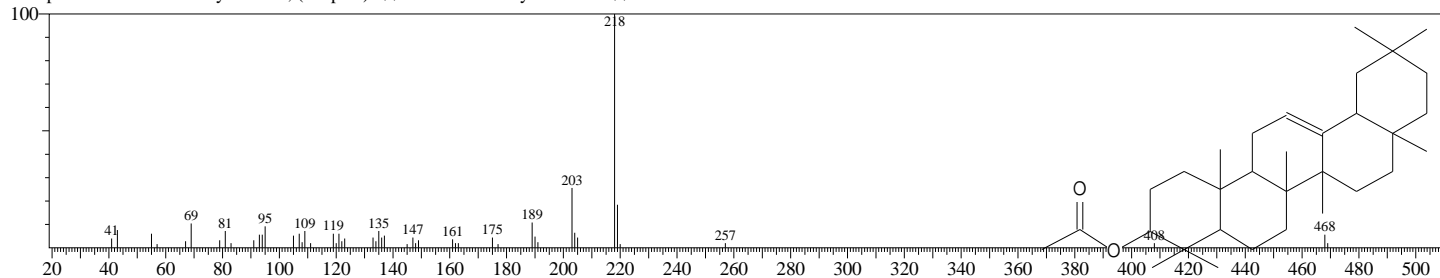
Line#:35 R.Time:27.675(Scan#:2962) Retention Index:3741! MassPeaks:367

RawMode:Averaged 27.667-27.683(2961-2963) BasePeak:218.15(130028)

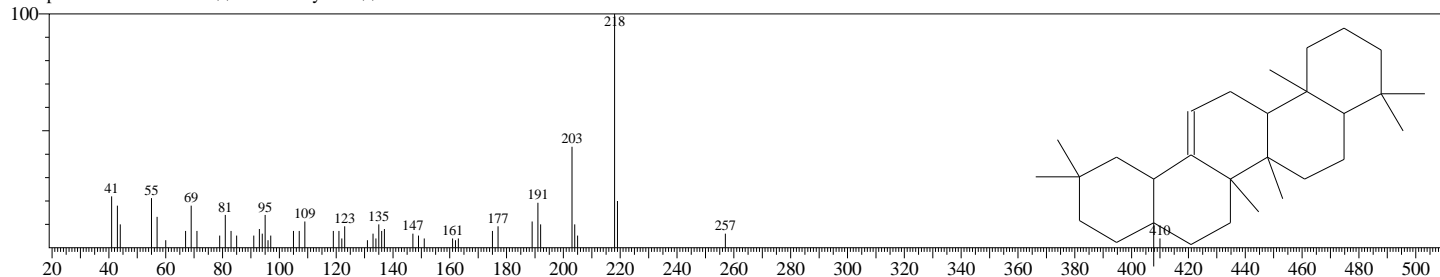
BG Mode:Calc. from Peak Group 1 - Event 1



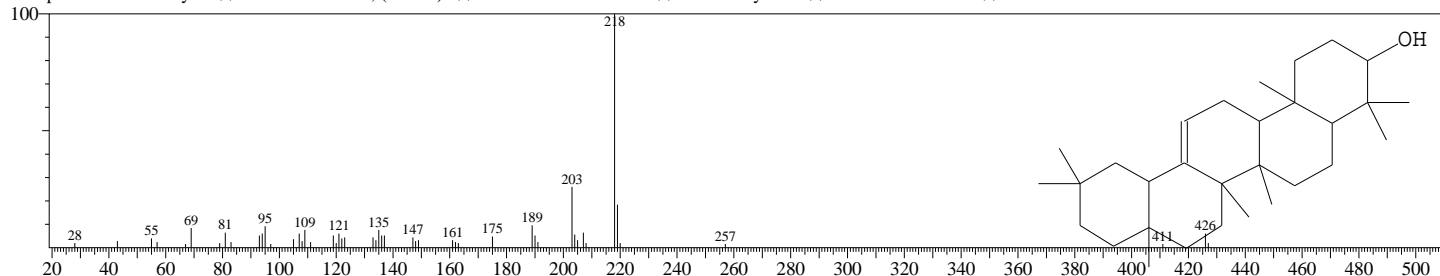
Hit#:1 Entry:181521 Library:NIST08.LIB
 SI:90 Formula:C32H52O2 CAS:33055-28-6 MolWeight:468 RetIndex:3025
 CompName:12-Oleanen-3-yl acetate, (3.alpha.)- \$\$ Olean-12-en-3-yl acetate # \$\$



Hit#:2 Entry:170760 Library:NIST08.LIB
 SI:86 Formula:C30H50 CAS:471-68-1 MolWeight:410 RetIndex:2697
 CompName:Olean-12-ene \$\$.beta.-Amyrene \$\$

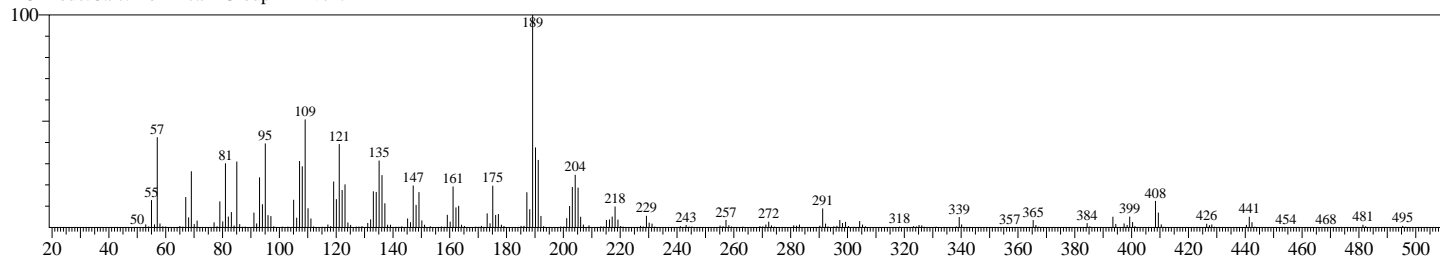


Hit#:3 Entry:174643 Library:NIST08.LIB
 SI:86 Formula:C30H50O CAS:559-70-6 MolWeight:426 RetIndex:2886
 CompName:.beta.-Amyrin \$\$ Olean-12-en-3-ol, (3.beta.)- \$\$ Olean-12-en-3.beta.-ol \$\$.beta.-Amyrenol \$\$ Olean-12-en-3-ol # \$\$

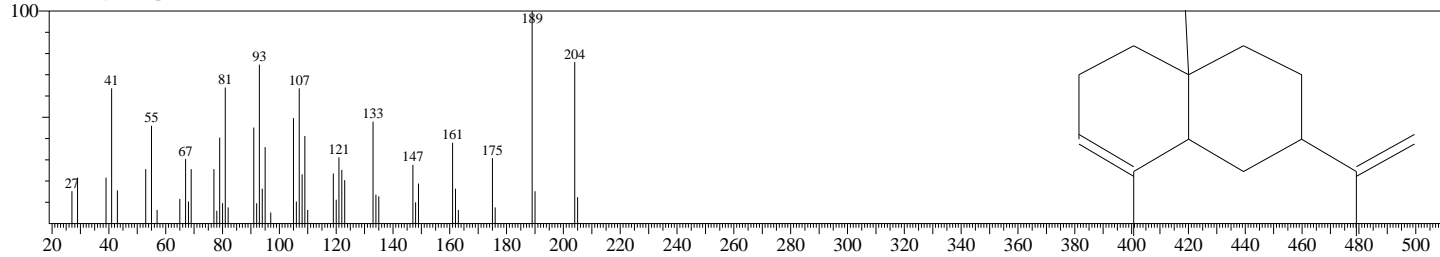


<< Target >>

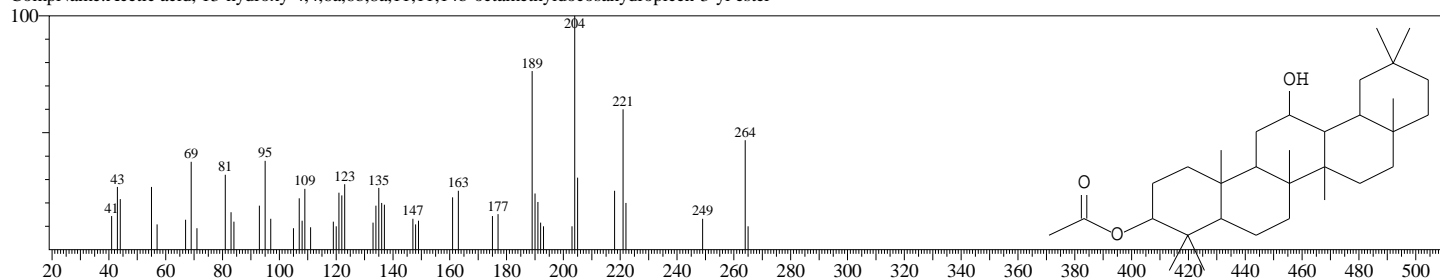
Line#:36 R.Time:27.892(Scan#:2988) Retention Index:3765! MassPeaks:360
 RawMode:Averaged 27.883-27.900(2987-2989) BasePeak:189.15(26835)
 BG Mode:Calc. from Peak Group 1 - Event 1



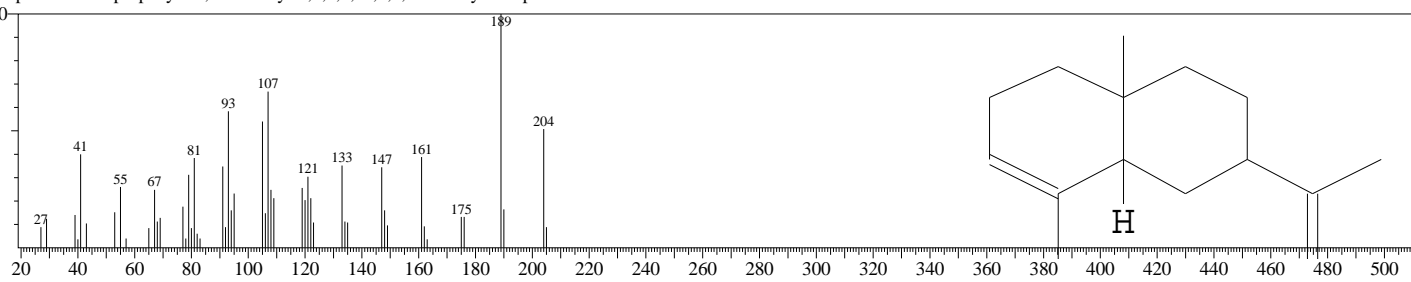
Hit#:1 Entry:45550 Library:NIST08.LIB
 SI:74 Formula:C15H24 CAS:473-13-2 MolWeight:204 RetIndex:1474
 CompName:Naphthalene, 1,2,3,4,4a,5,6,8a-octahydro-4a,8-dimethyl-2-(1-methylethenyl)-, [2R-(2.alpha.,4a.alpha.,8a.beta.)]- \$\$.alpha.-Selinene \$\$ 2-Isopropenyl-4a,8-dimethyl-1,2,3,4,4a,5,6,8a-octahydronaphthalene # \$\$



Hit#:2 Entry:183520 Library:NIST08.LIB
 SI:73 Formula:C32H54O3 CAS:0-00-0 MolWeight:486 RetIndex:3203
 CompName:Acetic acid, 13-hydroxy-4,4,6a,6b,8a,11,11,14b-octamethyldocosahypicen-3-yl ester



Hit#:3 Entry:45543 Library:NIST08.LIB
SI:73 Formula:C₁₅H₂₄ CAS:0-00-0 MolWeight:204 RetIndex:1474
CompName:2-Isopropenyl-4a,8-dimethyl-1,2,3,4,4a,5,6,8a-octahydronaphthalene



ABSTRACT:

Pots experiment was conducted in a nursery affiliated to the Al-Qasim city Located at (Longitude 44.68 and Latitude 32.30 and a height of 20 m above sea level) during the spring season of (2016 - 17). The aim of the experiment was to find the effect chelated nano iron and zinc fertilizer (seven concentration) in two application methods: foliar applied (0 ,1^{Fe}, 2^{Fe},1^{Zn}, 2^{Zn}, 1^{Fe} +1^{Zn}, 2^{Fe}+2^{Zn}) g.L⁻¹ and fertigation (0 ,80^{Fe}, 160^{Fe},80^{Zn}, 160^{Zn}, 80^{Fe} +80^{Zn}, 160^{Fe} +160^{Zn}) mg.L⁻¹and organic fertilizer Drin (0.0 , 5) ml.L⁻¹ and their interactions on growth parameter, and the production of active substances as well as mineral and organic content of the leaves, and some anatomical features of *Calotropis procera* (Ait.) R.Br.

The experiment was designed in a randomized complete blocks (RCBD), in a Factorial arrangement (7*2*2) with three replications. The Least Significant Difference (LSD) at 0.05 probability level was used to compare treatments means, whenever treatment effects were evident. The nano iron and zinc fertilizer and the application of the methods (first treatment), as well as organic fertilizer Drin, were applied at (6- 10 fully expanded leaves) stage. While the second application of nano fertilizer and organic fertilizer was after three months of the first treatment.

Growth parameters, vegetative growth parameters and the production of active substances, as well as mineral and organic content of the leaves as well as some anatomical features characteristics, were measured and results showed:

1. The use of doubled recommended of nano-iron was recorded the highest of the number of leaves, leaf area, branches and content of Fe and active substance Selinen the rate of those qualities (83.17 leaf.plant⁻¹, 16001.0 cm², 3.583 branche.plant⁻¹,389.60 µg.g⁻¹ and 5.774%) respectively. While The use of recommended concentration of nano-iron fertilizer had given highest percentages N1.298%, total protein 7.401%. And nano iron fertilizer did not significant effect on the zinc percentage in the leaves
2. The use of nano zinc fertilizer by the concentration of recommended had increased plant height, , relative growth rate after first foliar , the percentages of P, Zn, total carbohydrates, total phenols, the stomatal index of the adaxial leaf surface and the rate of those qualities(122.58cm, 0.187 cm.cm⁻¹.week⁻¹, 0.61008% ,44.26 µg.g⁻¹ ,10.524mg.g⁻¹ and 12.93) respectively. Doubled concentrations for nano zinc increased stem diameter 3.190cm, dry weights for vegetative79.87 g.plant⁻¹ and root parts 25.58 g.plant⁻¹, relative growth rate after second foliar 0.031 cm.cm⁻¹.week⁻¹ , content of total carbohydrate 21.00% and the percentages of active substances Phytosterols20.47%, α-tocopherol 4.896% and cortex thickness645.4µm, cortical fibers171.3 group.plant⁻¹, pith thickness 6494.0µm, the stomatal index of the abaxial leaf surface 9.27. The addition of both nano iron and nano zinc in recommended concentration had superior percentages of K 0.964% and active substances of Calotropin 12.86% and largest diameter of xylem

- vessels is 55.46 μm . while the use of both nano iron and zinc in a doubled concentration had superior total chlorophyll content 18.809 mg.g^{-1} , Mg 1.388% and active substance Amyrin 16.01% compared with the single treatment.
3. Foliar application of nano fertilizer had increased plant height, stem diameter, leaves number, leaf area, dry weights vegetative and root parts and relative growth rate after primary foliar, percentages active substances (Phytophysterols, Selinen and Calotropin), cortex thickness, Cortical fibres, the vessel diameter in the vascular bundles of stem, the stomatal index of the adaxial leaf surface. Total phenols content and percentage of active substances of (Amyrin and α -tocopherol) and pith thickness, as well as all mineral, constitutes of leaves except Zn with fertigation application of nano fertilizer plant content. The application method had no significant effect on total chlorophyll and relative growth rate after second foliar.
 4. Foliar application of organic fertilizer (5ml. L^{-1}) increased all parameters studied except leaf area, cortex thickness, and α -tocopherol % while the addition of foliar organic fertilizer had a negative impact on the vessel diameter in the vascular bundles of the stem.
 5. The interaction between nano fertilizer and application method by combinations of (Nano zinc recommended concentration in the Foliar application and 5 ml. L^{-1} organic fertilizer, or versa) and (Nano zinc double concentration in fertigation applied and 5 ml. L^{-1} organic fertilizer) increased in the most studied parameter. The application method did not have a significant effect on the dry weight of shoot plant, relative growth rate, zn%, Calotropin%, critical fiber, the stomatal index of the abaxial leaf surface.
 6. The interaction between nano fertilizers and organic fertilizer revealed highest rates for the majority of traits in plants in especially doubled concentrations nano zinc with use 5ml. L^{-1} of organic fertilizer and did not have a significant effect on N%, total protein %, and phytosterols %.
 7. The Interaction between application method and organic fertilizer showed the superior effect on majority studied parameters, by combinations of fertigation method applied with use 5ml. L^{-1} of organic fertilizer. The same interaction did not reveal a significant difference in plant height, stem diameter, total chlorophyll, relative growth rate, the percentages of active substances Selinen and all anatomical traits of the stem.
 8. Three-way interaction revealed a significant improvement of the *C. procera* plant in most vegetative floral traits and mineral content, organic and active substance and anatomical characters of stem especially with the combinations constituent nano zinc and foliar application method with organic fertilizer (5 ml. L^{-1}). The same interaction showed no significant effect on leaves number, total chlorophyll, relative growth rate and the percentages of active substances Amyrin.

Ministry of Higher Education & Scientific Research
University of AL– Qadisiya University/College of
Education
Department of Biology



Effect of Nano – Iron and Zinc Fertilizer, Addition of
Method and Organic fertilizer on Growth , produce of Active
substances and some Anatomical characteristics of *Calotropis*
procera (Ait.) R.Br

A Dissertation

Submitted to the Deanry of College of Education/ University of
AL– Qadisiya in Partial Fulfillment of the Requirements for
ph. D. Philosophy Certificate in Biology/ Botany

By

Sadia Mehdy Kadim Al- juthery

Supervised by

Prof. Dr. Abdulameer Ali Yaseen

1439 A. H.

2017A.C

رقم الايداع في دار الكتب والوثائق الوطنية.....سنة.....